

პაატა ბარბაქაძე

**წევის გაანგარიშების
ანალიზური მეთოდის სრულყოფა**

წარმოდგენილია დოქტორის აკადემიური ხარისხის
მოსაპოვებლად

საქართველოს ტენქივური უნივერსიტეტი
თბილისი, 0175, საქართველო
აპრილი 2012

საქართველოს ტექნიკური უნივერსიტეტი

სატრანსპორტო და მანქანათმშენებლობა

ჩვენ, ქვემოთ ხელისმომწერნი ვადასტურებთ, რომ გავეცანით პაატა ბარბაქაძის მიერ შესრულებულ სადისერტაციო ნაშრომს დასახელებით: „წევის გაანგარიშების ანალიზური მეთოდის სრულყოფა“ და ვაძლევთ რეკომენდაციას საქართველოს ტექნიკური უნივერსიტეტის სატრანსპორტო და მანქანათმშენებლობის ფაკულტეტის სადისერტაციო საბჭოში მის განხილვას დოქტორის აკადემიური ხარისხის მოსაპოვებლად.

თარიღი -----

ხელმძღვანელი: სერგო კარიპიძისი

რეცენზენტი:

რეცენზენტი:

რეცენზენტი:

საქართველოს ტექნიკური უნივერსიტეტი

2012 წელი

ავტორი: პაატა ბარბაქაძე
დასახელება: „წევის გაანგარიშების ანალიზური
მეთოდის სრულყოფა“
ფაკულტეტი: სატრანსპორტო და მანქანათმშენებლობა
ხარისხი: დოქტორი
სხდომა ჩატარდა: -----
ინდივიდუალური პიროვნებების ან ინსტიტუტების მიერ
ზემომოყვანილი დასახელების დისერტაციის გაცნობის მიზნით მოთხოვნის
შემთხვევაში მისი არაკომერციული მიზნებით კოპირებისა და გავრცელების
უფლება მინიჭებული აქვს საქართველოს ტექნიკურ უნივერსიტეტს.

ავტორის ხელმოწერა

ავტორი ინარჩუნებს დანარჩენ საგამომცემლო უფლებებს და არც
მთლიანი ნაშრომის და არც მისი ცალკეული კომპონენტების გადაბეჭდვა ან
სხვა რაიმე მეთოდით რეპროდუქცია დაუშვებელია ავტორის წერილობითი
ნებართვის გარეშე.

ავტორი ირწმუნება, რომ ნაშრომში გამოყენებული საავტორო
უფლებებით დაცული მასალებზე მიღებულია შესაბამისი ნებართვა (გარდა
ის მცირე ზომის ციტატებისა, რომლებიც მოითხოვენ მხოლოდ სპეციფიურ
მიმართებას ლიტერატურის ციტირებაში, როგორც ეს მიღებულია
სამეცნიერო ნაშრომების შესრულებისას) და ყველა მათგანზე იღებს
პასუხისმგებლობას.

რეზიუმე

წევის გაანგარიშებას საფუძვლად უდევს მოძრაობის არაწრფივი დიფერენციალური განტოლების ინტეგრირება. რადგან მოძრაობის განტოლებები არაწრფივია და დღემდე მსგავსი განტოლებების ამონენა შეუძლებელია ისეთი ფორმით, როგორც ეს ხდება წრფივი დიფერენციალური განტოლებების შემთხვევაში, ბევრი სპეციალისტი მიმართავდა და დღესაც მიმართავს ყველა ტიპის მიახლოებით (ასიმპტოტურ) მეთოდებს. გარდა ამისა სხვადასხვა შეზღუდვების გამო, როგორიცაა ჩაჭიდება, წევის ძრავის ველის შესუსტება და ა.შ. რეზულტირებული წევის მახასიათებელის ნაწილს ხდის ტეხილს და არაწრფივი ფორმის ქქონეს, რაც, დამატებით პრობლებს ქმნის ამოცანის გადაწვეტისას. ამ მიზეზით, სამწუხაროდ, დიფერენციალური განტოლების ინტეგრირების ძირითად მეთოდს წარმოადგენს გრაფო-ანალიზური (საანგარიშო-გრაფიკული) მეთოდები. სასწავლო ლიტერატურაში კი აღწერილია ეს მეთოდები, როგორც ერთადერთი და უალტერნატივო.

XXI საუკუნეში, როცა კომპიუტერული ტექნიკა მკვიდრდება ადამიანის მოდგაწეობის ყველა სფეროში, აუცილებელია აქცენტი გაკეთდეს ახალ მეთოდებზე თანამედროვე ე.გ.მ.-ის გამოყენებით. გამოთვლითი ტექნიკის გამოყენებით მოძრაობის განტოლების, როგორც ანალიზური, ისე რიცხვითი მეთოდით ამონენისას რთულდება მოსამზადებელი სამუშაოს ჩატარების გამო, განსაკუთრებით ბიჯის შერჩევისას, ეს გამოწვეულია იმით, რომ რკინიგზის გრძივი პროფილის მონაცემები მოიცავს მანძილის მონაკვეთებს s – სიგრძით 100, 150, 200, 250მ-ს, რომლის ფარგლებშიც იცვლება როგორც ქანობი, ისე მოსახვევების რადიუსები და რკალის სიგრძეები. და ამის რეალური ასახვა პროგრამაში პრაქტიკულად შეუძლებელია, რადგან პროგრამირების დროს უნდა შემოვიდოთ ცვალებადი ბიჯი, რომლის დასაწყისის და ბოლოს ფიქსირება პრაქტიკულად შეუძლებელია ამის გარდა, მთლიანი ინფორმაცია უბნებზე, მოძრავ შემადგენლობაზე გაივლის წინასწარ დამუშავებას და ორგანიზდება შესაბამისი ბიბლიოთეკებით, რომელიც ინახება მანქანის გარე მეხსიერებაში. ამასთან აუცილებელია ე.გ.მ.-ის მიერ მოხდეს პროფილის დამუშავება და საანგარიშო ქანობის არჩევა, მატარებლის მასის და წონის განსაზღვრა, შემადგენლობაზე მოქმედი ამაჩქარებელი და შემანელებელი ძალების განსაზღვრა და მათი მახასიათებელი მრუდების აგება. ყოველივე ეს განეკუთვნება განეკუთვნება მოსამზადებელ სამუშაოს, რის საფუძველზეც გაანგარიშების შედეგად უნდა მივიღოთ შემდეგი რეზულტატები: სვლის და დამუხრუჭების დრო გადასარბენზე, ენერგიის ხარჯის სიდიდე, ელექტრომავლის მოძრაობის რეჟიმების მიხედვით, გამომოვლელმა მანქანამ ცალკე წარმოადგინოს გრაფიკები $v = v(s)$; $t = (s)$.

აღსანიშნავია, რომ არსებული ცნობილი გზით ამაჩქარებელი და შემანელებელი ძალების აპროქსიმაცია ვერ უზრუნველყოფს რეალური მრუდების ზუსტ ცვლილებას ან ინტეგრირების შემდეგ საბოლოოდ მივლივართ რთულ გამოსახულებამდე, რომელიც უვარგისია გამო-თვლითი პროცესების ჩასატარებლად, მათ შორის ე.გ.მ.-ის გამოყენებით,

რადგან საჭიროებს რთული მონაცემთა ბაზის ორგანიზებას. დიდი რაოდენობით ცვლადების არსებობას მონაცემთა ბაზის ბიბლიოთეკაში და საჭირო დროს ამ ცვლადების ურთიერთკავშირის განხორციელება რთული და რიგ შემთხვევაში შეუძლებელიცაა კვალიფიციური პროგრამისტის გარეშე. არსებული ანალიზური გამოსახულებები არ არიან უნივერსალური ხასიათის და ამაჩქარებელი და შემანელებელი ძალების განმსაზღვრელი ფორმულები ას წელზე მეტია მოცემულია ხელით ერთეულებში (კგ/ტ). არსებული მეთოდებით ეგ.მ-ზე პროგრამირების დროს საჭიროა შესაბამისი გადამყვანი კოეფიციენტების მოძიება, რომლებიც გზათა მიმოსვლის სამინისტროს მიერ რეკომენდებულია ცხრილის სახით, რაც დამატებით პრობლემებს ქმნის პროგრამირების პროცესში. ამის გამო დღეს გაცილებით მარტივია ანალიზური მეთოდების ნაცვლად გამოყენებული იქნას გრაფო-ანალიზური ან წმინდა გრაფიკული მეთოდები, რომლებიც სიზუსტით საკმარისია პრაქტიკული ანგარიშებისათვის და რეკომენდებულია წევის გაანგარიშების საწარმოებლად ჯერ კიდევ სსრკ –ს გზათა მიმოსვლის სამინისტროს მიერ.

სადისერტაციო ნაშრომში მოყვანილი ანალიზური მეთოდი, რომელიც ემყარება ამაჩქარებელი და შემანელებელი ძალების აპროქ-სიმაციას წილად-წრფივი ფუნქციით, იძლევა საშუალებას მარტივად მივიღოთ მარტივი გამოსახულებები, რომლებიც იქნება უნივერსალური ხასიათის, ვარგისი ნებისმიერი სამუშაოს შესასრულებლად როგორც კომპიუტერის, ასევე „კალკულატორების“ მეშვეობითაც, რომელსაც გააჩნია ელემენტარლური ფუნქციები.

ანგარიშებში ფარდობითი ერთეულების გამოყენება იძლევა საშუალებას მინიმუმადე შევამციროთ განტოლებაში ცვლადების რაოდენობა და მოსალოდნელი შეცდომების ალბათობა, რადგან ყოველი ცვლადის ადგილი განტოლებაში, როგორც წესი, ცნობილია. ამოხსნის შედეგი უნივერსალური ხასიათისაა და საშუალებას იძლევა ჩვენთვის საჭირო ერთეულებში მივიღოთ საჭირო მონაცემები და ინფორმაცია ყოველგვარი გეომეტრიული მანიპულაციების ჩატარების და დამდლელი და რთული ანალიზის გარეშე.

დისერტაციაში დამუშავებულია და პრაქტიკულად რეალიზებულია სრულიად ახალი წევის გაანგარიშების ჩატარების პროცედურა თანამედროვე ეგ.მ.-ზე პროგრამა "Mathcad 14"-ში Excel 2007 –ის ელემენტების გამოყენებით. კომპიუტერული ტექნიკის დახმარებით წევის გაანგარიშების ჩატარება საშუალებას იძლევა საბოლოოთ ვთქვათ უარი სპეციალური შაბლონების გამოყენებაზე და წევის გაანგარიშების ტრადიციული წესით ე.წ. "მიღებებროვაზე" შესრულებაზე. ამასთან იზოგება სამუშაოს ჩატარებისათვის საჭირო დროის მნიშვნელობა, ხოლო ანგარიშის სიზუსტე საკმარისია პრაქტიკული გაანგარიშების საწარმოებლად. კომპიუტერზე წევის გაანგარიშების ამოცანების გადაწყვეტა საშუალებას იძლევა დამუშავებული სახით მოვიღოთ ყველა საჭირო ინფორმაცია და არარის აუცილებელი განვახორციელოთ შრომატევადი და დამქანცველი გეომეტრიული მანიპულაციებით მიღებული მრუდების დამატებითი ანალიზი. აუცილებელია აღინიშნოს ის გარემოება, რომ კომპიუტერზე ამოცანის გადაწყვეტაც არ არის ერთი შეხედვით მარტი საქმე, თუმცა პროგრამა

“Mathcad 14”-ის დახვეწილი და შედარებით მარტივი “interface” და გამოთვლების თვალსაჩინოდ წარმოების უნარი ამარტივებს პროგრამირების პროცესს და აღნიშნული თავისებურება გამოარჩევს მას ყველა დანარჩენი მსგავსი Matlab, Derive, Maple V, Mathematica, Vissin და ა.შ. ანალოგიური პროგრამისაგან.

სადისერტაციო ნაშრომში შეთავაზებული ანალიზური მეთოდით მოდებული შედეგები პრაქტიკულად შემოწმდა ზუსტი გრაფო-ალიზური მეთოდით რამაც აჩვენა მიღებული შედეგების კარგი დამთხვევა.

A b s t r a c t

Integration of nonlinear differential equation of motion is a basis of electric traction calculation. Since equations of motion are nonlinear and even today solution of similar equations is not possible by the form that is capable in case of linear differential equations, a lot of specialists turned to and turns at this moment to approach (asymptotic) methods of all types. Besides, because of various limitations, as well as of weakening of traction force field and so on part of resulting traction indices becomes kinked and has nonlinear form, that creates additional problems during solution of the problem (task). Because of this, unfortunately graph-analytical (calculation-analytical) methods represent main methods of integration of differential equation. These methods are described in scientific literature as the only and single source. In the XXI century when computer equipment penetrates in all spheres of human's activity, it is necessary to lay an emphasis on new methods with use of modern computers. It should be noted that approximation of current known accelerating and decelerating forces can't provide exact change of real curves and after integration we finally get complex expression, which is useless for carrying out of calculation processes, including the ones with the use of computer, since it requires availability of database massive in large quantities, implementation of interrelation of which will be complicated and in some cases impossible without qualified skilled programmer. Current analytic expressions are not of all-purpose (universal) character and formulas determining accelerating and decelerating forces for more than hundred years are given in specific units (kgf/t). According to current methods during programming on computer is necessary to find out corresponding conversion coefficients, that are recommended by Ministry of Railways (Soviet Union) in the tabular form, that create additional problems in the process of programming. Because of this fact at this moment is more simple to use graph-analytical or pure graphical methods instead of analytic ones, that by their accuracy are sufficient for practical calculations and are recommended for calculation of electric traction by Ministry of Railways.

New analytic methods cited in the thesis work, which are based on the approximation of accelerating and decelerating forces by fractionally linear function, allow us to easily receive simple expressions, which will be of universal character and useful for implementation of any works, both by means of computer, and of "calculator", that has got elementary functions.

Use of relative units allow to reduce to the minimum the number of variables in the equation and probability of probable errors, since the place of every variable in the equation is well known as a rule. Result of solution is of universal character and allows to get necessary data in the units necessary for us without any geometric manipulation and without carrying out of labour-consuming analysis on the scaled paper.

შინაარსი

შესავალი	14
1. ლიტერატურული მიმოხილვა	19
1.1 მატარებლის მოძრაობის განტოლების ამოხსნის ძირითადი მეთოდები	19
1.2 მბრუნავი ნაწილების ინერციის კოეფიციენტის განსაზღვრა .	23
1.3 მოძრაობის განტოლების გარდაქმნა პრაქტიკული გაანგარი- შებისათვის	24
1.4 მოძრაობის განტოლების გამოყენება მატარებლის მოძრაობის ძირითადი რეჟიმების ანალიზისათვის	26
1.5 მოძრაობის მრუდების გაანგარიშების საერთო პრინციპები მოძრაობის განტოლების ინტეგრირება	28
1.6 მოძრაობის მრუდების გაანგარიშებისა და აგების მეთოდები .	33
1.7 მოძრაობის მრუდების აგება საანგარიშო-გრაფიკული ანუ გრაფო-ანალიზური მეთოდით	34
1.8 ზოგიერთი ცნობა მოძრაობის მრუდების გრაფიკული მეთოდით გაანგარიშებისათვის	36
1.9 მატარებლის მოძრაობის განტოლების ინტეგრირების რიცხვითი მეთოდი	48
2. შედეგები და მათი განსჯა	52
2.1 წევის გაანგარიშებისათვის საჭირო მოსამზადებელი სამუშაოს ჩატარების სტრუქტურა	52
2.1.1 პროფილის გასწორება	52
2.1.2 შემადგენლობის მასისა და წონის განსაზღვრა	54
2.1.3 სამუხრუჭო ანგარიში, ძირითადი ცნობები და ამოსავალი მონაცემები	58
2.1.4 სამუხრუჭო ამოცანის ტიპები	62
2.1.5 სიჩქარის უდიდესი დასაშვები მნიშვნელობის განსაზღვრა .	63
2.1.6 სამუხრუჭო კოეფიციენტის განსაზღვრა	66
2.1.7 სამუხრუჭო ანგარიშის მიახლოვებითი ანალიზური მეთოდი.	66
2.2 დენის მრუდების აგება	69
2.2.1 ელმავლის დენის მანძილზე დამოკიდებულების $I_g(s)$ მრუდის აგების მეთოდი	71
2.2.2 ელმავლის დენის დროზე დამოკიდებულების $I_g(t)$ მრუდის აგების მეთოდი	71
2.3 ელექტრული ენერგიის ხარჯის განსაზღვრა	72
2.4 წევის ძრავის შემოწმება გახურებაზე	74

2.5	წევის გაანგარიშების შეთავაზებული მეთოდი	77
2.5.1	სამუხრუჭო რეჟიმის გაანგარიშება	84
2.5.2	გორგის რეჟიმი	87
2.5.3	აღნიშნული მეთოდის გამოყენება წევის გაანგარიშების აბსოლუტურ ერთეულებში ჩატარების შემთხვევაში	90
2.5.4	ელ. ენერგიის ხარჯის განსაზღვრა შეთავაზებული მეთოდის დროს	109
2.6	წევის გაანგარიშების შემოთავაზებული მეთოდით პრაქტიკული ანგარიშის ჩატარება ე.გ.მ-ის გამოყენებით	110
2.6.1	ელ.წევის მოსამზადებელი სამუშაოს შესრულების მეთოდიკა ე.გ.მ-ზე	112
2.6.2	ქანობის ელემენტების დამუშავება და საანგარიშო ქანობის არჩევა ე.გ.მ.-ზე	116
2.6.3	მატარებლის წონის განსაზღვრა ე.გ.მ-ის გამოყენებით	119
2.6.4	ამაჩქარებელი და შემანელებელი ძალების გაანგარიშება და აპროქსიმაცია წილად-წრფივი ფუნქციით	126
2.6.5	მოძრაობის მრუდების გაანგარიშება და აგება ე.გ.მ-ის გამოყენებით .	132
3.დასპპნა	150
	გამოყენებული ლიტერატურა	152

ცხრილების ნუსხა

ცხრილი 1. წევის გაანგარიშების სპეციფიკური ფორმის ცხრილი	36
ცხრილი 2. წ.გ.წ.-ს მიერ რეკომენდებული მასშტაბები მოძრაობის მრუდების გრაფიკული მეთოდით გაანგარიშებისათვის	48
ცხრილი 3. სამუხრუჭო მოწყობილობების მიერ შექმნილი სამუხრუჭო ძალის a_s შენელების არჩევა	59
ცხრილი 4. წევა	83
ცხრილი 5. დამუხრუჭება	87
ცხრილი 6. გორგა	89
ცხრილი 7. რკინიგზის უბნის პროფილი	91
ცხრილი 8. ამაჩქარებელი $f-W_0$ ძალის ანგარიში ე.მ.შ.-ს $Q=4860\text{ტ.}$ -ს წონის დროს	95
ცხრილი 9. შემანელებელი $V(b_{\text{ნ}}+W_0)$; $V(b_{\text{მაქ}}+W_0)$ და თავისუფალი გორგის $V(W_0)$ მრუდების ასაგებად საჭირო ანგარიში ე.მ.შ. -ის $Q = 4860 \text{ ტ.}$ -ს წონის დროს	96
ცხრილი 10. ამაჩქარებელი ძალის მრუდის აპროქსიმაცია	97
ცხრილი 11. შემანელებელი ძალების მრუდების აპროქსიმაცია	98
ცხრილი 12. მოძრაობის რეჟიმების მიხედვით დროის სეგმენტის Δt (წმ.) და გზის სეგმენტის ΔS (მ) მნიშვნელობების განსაზღვრა	101
ცხრილი 13. წევის რეჟიმის დროს მოხმარებული A ელ. ენერგიის ხარჯის განსაზღვრა გრაფიკული სახით მიღებული $I_g(t)$ და $V(s)$ მრუდების გამოყენებით	110

ნახაზების ნუსხა

ნახ. 1.	მატარებელზე მოქმედი ხელისუფლითი მიმართულების გრაფიკი	31
ნახ. 2.	ხელისუფლითი თანაბარმოქმედი შემანელებელი ძალების მრუდების გრაფიკი.	33
ნახ. 3.	სიჩქარის მანძილზე დამოკიდებულების $v = f(s)$ მრუდის აგების მეთოდიკა გზათა მიმოსვლის სამინისტროს მეთოდით	38
ნახ. 4.	გზათა მიმოსვლის სამინისტროს მეთოდის დროს t_v სიჩქარის და m_v გზის მასშტაბების შერჩევის მეთოდიკა.	39
ნახ 5.	მოძრაობის მრუდების აგება გზათა მიმოსვლის სამინისტროს მეთოდით	41
ნახ. 6.	ქანობის ელემენტის ცვლილების შემთხვევაში გადასვლის საწყისი სიჩქარის განსაზღვრა K წერტილში.	43
ნახ. 7.	გორგის და სამომსახურეო დამუხრუჭების მრუდების აგება პარალელური წრფეების მეშვეობით.	45
ნახ. 8.	დროის t_v მასშტაბის შერჩევის მეთოდიკა.	45
ნახ. 9.	გზის პროფილის ცვლილების შემთხვევაში პოლუსური მანძილის ცვლილება მატარებლის მოძრაობის რეჟიმების გათვალისწინებით.	47
ნახ. 10.	V სიჩქარის უდიდესი დასაშვები მნიშვნელობის განსაზღვრა გზათა მიმოსვლის სამინისტროს მეთოდის დროს	64
ნახ. 11.	ქანობის განსაზღვრულ ფარგლებში დამუხრუჭების დროს უდიდესი დასაშვები ($V_{აქ}$) სიჩქარის შეზღუდვა კონსტრუქციული ($V_{კონ}$) სიჩქარით.	65
ნახ. 12.	სამუხრუჭო კოეფიციენტების განსაზღვრა სამუხრუჭო მანძილის მიხედვით.	67
ნახ. 13.	სამუხრუჭო კოეფიციენტების განსაზღვრა V_L სიჩქარის მიხედვით.	67
ნახ. 14.	$V_L = f(S_L)$; დამუხრუჭების დაწყების სიჩქარის მნიშვნელობის გრაფიკული დამოკიდებულება სამუხრუჭო მანძილზე	68
ნახ. 15.	BL-10 ლოკომოტივის დენის მახასიათებელი	70
ნახ. 16.	TL - 2K1 წევის ძრავის საკომპენსაციო გრაგნილის თბური მახასიათებელი	76
ნახ. 17.	წევის მახასიათებელი ფარდობით ერთეულებში და მისი აპროქსიმაციის სხვადასხვა ვარიანტი	81
ნახ. 18.	გრაფიკული და შეთავაზებული ანალიზური ფორმულებით მიღებული $x = f(Y)$ და $\tau = f(Y)$ მრუდები.	84
ნახ. 19.	ემპირიულად და ანალიზურად მიღებული $Y = f(W^* + b^*)$ და $Y = f(W^*)$ შემანელებელი ძალის მრუდები.	85
ნახ. 20.	τ და x -ის y -ზე დამოკიდებულების უნივერსალური მრუდები დამუხრუჭებისას და გორგის დროს	88
ნახ. 21.	AB გადასარბენზე გზის პროფილი.	90
ნახ. 22.	$(f-W_0) = f(v)$ რეალური ამაჩქარებელი ძალის მრუდი და მისი აპროქსიმაცია შეთავაზებული მეთოდით.	92

ნახ. 23. $(b_0 + W_0) = f(v)$; $W_0 = f(v)$ შემანელებელი ძალების მრუდები და მათი აპროქსიმაცია შეთავაზებული მეთოდით	93
ნახ. 24. მატარებლის მოძრაობის $v(s)$, $t(s)$ ასევე $I(s)$, დამოკიდებულ- ბები და $v(s)$ დამოკიდებულება მიღებული ანალიზური ფორმულები გამოყენებით.	108
ნახ. 25. პროგრამა Mathcad-ში მონაცემების შეტანის ფორმა	115
ნახ. 26. გზის პროფილი და საანგარიშო ქანობის არჩევა	118
ნახ. 27. მატარებლის წონის განსაზღვრა საანგარიშო ანუ სახელ- მძღვანელო ქანობის მიხედვით	120
ნახ. 28. მატარებლის წონის განსაზღვრა ადგილიდან დამკრის პირობით	121
ნახ. 29. მატარებლის წონის შემოწმება სადგურის ლიანდაგებში ჩატევის პირობით	123
ნახ. 30. შემადგენლობის რეალური სიგრძის განსაზღვრა	124
ნახ. 31. შემაჯამებელი მატარებლის წონის განსაზღვრა	125
ნახ. 32. ამაჩქარებელი ძალის გაანგარიშება	128
ნახ. 33. რეალური ამაჩქარებელი ძალის მრუდის აპროქსიმაცია. .	129
ნახ. 34. ხვედრითი შემანელებელი ძალების გაანგარიშება	130
ნახ. 35. შემანელებელი ძალების აპროქსიმაცია	130
ნახ. 36. შემანელებელი ძალების აპროქსიმაციის შედეგი	131
ნახ. 37. სამუხრუჭო მანძილის განსაზღვრა	131
ნახ. 38. გზის სეგმენტი ΔS -ის ანგარიში წევის რეჟიმის დროს სიჩქარის სეგმენტის $\Delta V = 1 \text{ კმ/სთ}$ ბიჯით	134
ნახ. 39. გზის სეგმენტი ΔS -ის ანგარიში სამოსამსახურეო დამუხრუ- ჭების დროს სიჩქარის სეგმენტის $\Delta V = 1 \text{ კმ/სთ}$ ბიჯით.	135
ნახ. 40. გზის სეგმენტი ΔS -ის ანგარიში ექსტრემალური დამუხრუ- ჭების დროს სიჩქარის სეგმენტის $\Delta V = 1 \text{ კმ/სთ}$ ბიჯით.	136
ნახ. 41. გზის სეგმენტი ΔS -ის ანგარიში თავისუფალი გორგის დროს სიჩქარის სეგმენტის $\Delta V = 1 \text{ კმ/სთ}$ ბიჯით	137
ნახ. 42. Δt დროის სეგმენტის ანგარიში წევის რეჟიმის დროს სიჩქარის სეგმენტის $\Delta V = 1 \text{ კმ/სთ}$ ბიჯით	138
ნახ. 43. Δt დროის სეგმენტის ანგარიში სამოსამსახურეო დამუხრუ- ჭების დროს სიჩქარის სეგმენტის $\Delta V = 1 \text{ კმ/სთ}$ ბიჯით	139
ნახ. 44. Δt დროის სეგმენტის ანგარიში ექსტრემალური დამუხრუ- ჭების დროს სიჩქარის სეგმენტის $\Delta V = 1 \text{ კმ/სთ}$ ბიჯით..	140
ნახ. 45. Δt დროის სეგმენტის ანგარიში თავისუფალი გორგის დროს სიჩქარის სეგმენტის $\Delta V = 1 \text{ კმ/სთ}$ ბიჯით	141
ნახ. 46. $v(s)$ მრუდის აგება და მატარებლის მოძრაობის რეჟიმების მართვა ვირტუალური ლილაკების გამოყენებით	146
ნახ. 47. $v(s)$ მრუდის გამოყენებით მოძრაობის მახასიათებელი სი- დიდეების მიღება და შედეგების ანალიზი	146
ნახ. 48. მატარებლის t მოძრაობის დროის განსაზღვრა (წო)	147
ნახ. 49. ВЛ-10 ლოკომოტივის დენის მახასიათებელი	148

ნახ. 50. ВЛ-10 ლოკომოტივის დენის გავლილ მანძილზე დამოკიდებულების I (S) მრუდი	149
ნახ. 51. ე.გ.მ –ზე წევის გაანგარიშების წარმოების პროგრამული და ლოგიკური მოქმედებების ალგორითმის ბლოკსქემა . . .	149

შ ე ს ა ვ ა ლ ი

პირველი ორთქლის ლოკომოტივის შექმნა სრულიად არ იყო რევოლუციური მოვლენა, ის უფრო ევოლუციის შედეგი გახლდათ. ცნობილი შოტლანდიელი მეცნიერი ედიმბურგის და ლონდონის სამეცნ საზოგადოების წევრი, ავტორიტეტული ინჟინერი და გამომგონებელი ჯეიმს ვატი (1736-1819წ.) მანამ, სანამ მის ორთქლის გაცივების მოწყობილობაზე პატენტი მოქმედებდა 1800წ.-მდე, წინააღმდეგი იყო ორთქლ-მავალი ლოკომოტივების და საერთოდ რკინიგზის განვითარებისა, რადგან ეს ტრანსპორტი მას მეტად სახიფათოდ მიაჩნდა. 1801წ. რიჩარდ ტრევიტიკის (1771-1833)წ. მიერ შეიქმნა პირველი ორთქლმავალი ლოკომოტივი, სამწუხაროდ არსებული ლიანდაგები არ იყო გათვლილი მის წონაზე, ლიანდაგის და საერთოდ სარელსო გზის ცვლილება მოითხოვდა სერიოზულ კაპიტალდაბანდებებს, რაც არ იყო ამ ეტაპზე ეკონომიკურად ხელსაყრელი, ამ გარემოებამ ხანგრძლივი ვადით დააყოვნა ორთქლმავლების განვითარების პროცესი. მომდევნო პერიოდში ორთქლმავალი ლოკომოტივის სრულყოფაზე ბევრი მეცნიერი, ინჟინერი და გამომგონებელი მუშაობდა, უდიდესი წელი კი ჯორჯ სტეფენსონმა (1781-1848წ.) შეიტანა, რომელმაც პირველმა მოახდინა 1825წ. სტოქტონ-დარლინგტონის რკინიგზის გახსნაზე საკუთარი კონსტრუქციის ორთქლმავალის დემონსტრირება.

როგორც მეცნიერების დარგს, წევის გაანგარიშებას საფუძველი, ჯერ კიდევ 1813 წელს ჩაუყარა ინგლისელმა გამომგონებელმა უილიამ ჰედლიმ (1779-1843წ.) ორთქლის წევის ჩასახვის საწყის ეტაპზე პირველ ორთქლმავლებს არ შეეძლოთ მნიშვნელოვანი წონის სავაგონო შემადგენლობის გადაადგილება, არაკვალიფიციურად შერჩეული წონის ორთქლმავლის შემადგენლობა ნაცვლად გადაადგილებისა ადგილზე ბუქსაობდა. მეცნიერთა შორის გავრცელდა აზრი, რომ გლუვი ზედაპირის თვალწევილით ადჭურვილ ორთქლმავალს არ შეეძლო მნიშვნელოვანი წონის შემადგენლობის გადაადგილება ტრადიციულ სალიანდაგო გზაზე. ჰედლიმ ნაცვლად უტოპიური და არაპერსაექტიური იდეებისა მიზნად დაისახა განესაზღვრა ორთქლმავლის წევის ძალის მნიშვნელობა, რომლის განვითარებაც შესაძლებელი იქნებოდა გლუვი ზედაპირის მქონე სალიანდაგო გზაზე ყოველგვარი დამატებითი წევის

მოწყობილობის და აღჭურვილობის გარეშე. ამ ფაქტმა საფუძველი ჩაუყარა წევის თეორიას, რომელიც თავის თავში მოიცავს მატარებლის მექანიკური მოძრაობის თეორიას და ლოკომოტივების მუშაობას. თეორიული ნაწილი აღნიშნული მეცნიერებისა ეფუძნება ფიზიკურ პრინციპებს, ხოლო პრაქტიკული ნაწილი მოძრავი შემადგენლობის ექსპლუატაციას, მის გამოცდას და მიღებული შედეგების გავრცელებას.

1835წ., როცა მსოფლიოში ჯერ კიდევ მხოლოდ დაიწყეს ორთქლმავლის წევის გამოყენებით რკინიგზის განვითარება, ცნობილმა რუსმა მეცნიერმა შემდგომში პეტერბურგი-მოსკოვის რკინიგზის მშენებელმა პ. მელნიკოვმა გამოაქვეყნა ნაშრომი, რომელიც მოიცავდა სარკინიგზო ტრანსპორტის რიგ მნიშვნელოვან თეორიულ საკითხს, მათ შორის, პირველად აღწერილი იქნა ორთქმავალზე მოქმედი წინააღმდეგობის ძალა. უმნიშვნელოვანესი წვლილი წევის თეორიის განვითარებაში შეიტანა პეტერბურგის გზათა მიმოსვლის ინსტიტუტის პროფესორმა პ.ი. სობკომ. მან თავის ლექციებში მიმოიხილა სახელმძღვანელო ქანობი, მრუდების უმცირესი რადიუსები და დაყოფის პუნქტების განლაგების შესაძლებლობა, ის სთავაზობდა პროფილის პროექტირება მომხდარიყო ისეთი ფორმით, რომ დაღმართს მოყოლოდა აღმართი, რის შედეგადაც ჭარბი სიჩქარე, რომელსაც განავითარებდა შემადგენლობა დაღმართზე მოძრაობისას, დაიხარჯებოდა აღმართის გადალახვაზე, ანუ მოხდებოდა მატარებლის კინეტიკური ენერგიის გამოყენება აღმართის გადალახვაზე, ამ ერთიშეხედვით პრიმიტიულმა ფაქტებმა საფუძველი ჩაუყარა წევის თეორიას და მისცა იმპულსე ამ დარგის განვითარებას. თანამედროვე პირობებში წევის თეორია როგორც მეცნიერება ინტენსიურად ვითარდება რკინიგზის განვითარებასთან ერთად, თუმცა მიუხედავად ამისა დღემდე არ არსებობს ერთიანი სტანდარტი და მიღვომა მატარებელზე მოქმედი ძალების განზომილების ერთეულების საკითხებში, რაც გარკვეულ პრობლემებს ქმნის გაანგარიშების პროცესში.

ასეთი სახესხვაობა და ერთიანი სტანდარტის არარსებობა წევის თეორიაში დიდ დისკმოფორტს ქმნის ანგარიშების დროს, განსაკუთრებით მიღებული შედეგების გაანალიზების პროცესში. [1;2]

ანალიზური მეთოდით ანგარიშის ჩატარება კალკულატორებზე მოითხოვს დიდ დროს და მიღებული შედეგების ვიზუალიზაციის არარსებობის გამო მიზანშეწონილია გრაფიკული ან გრაფო-ანალიზური მეთოდებით ანგარიშების ჩატარება, რაც ასევე შრომატევადი და დამდლელი პროცესია, იგი ასევე მოითხოვს სპეციალური მასშტაბების არჩევას წევის გაანგარიშების წესებიდან (წ.გ.წ.). თანამედროვე პერსონალური კომპიუტერების გამოყენება აღნიშნული ამოცანის გადასაწყვეტიდ საჭიროებს სპეციალური პროგრამის შექმნას, მონაცემთა ბაზაში ურიცხვი ბიბლიოთეკით, რომელთა ურთიერთკავშირის მოძიება საჭირო პროცესების აღსაწერად მოითხოვს პროფესიონალურ ცოდნას პროგრამირების სფეროში. ამის გარდა არსებული გამოსახულებების გამოყენება აბსოლუტურ ერთეულებში ზრდის შეცდომების ალბათობას პროგრამირების დროს. ცნობილია ფაქტები, როცა განზომილებებიანი სიდიდეების არასწორად გამოყენების და გადამყვანი კოეფიციენტების უზუსტობის გამო მოწინავე დარგებში და კერძოდ კოსმონავტიკაში ავარიის მიზეზიც კი გამხდარა. ასე მაგალითად, ცნობილია NASA და რუსეთის კოსმოსური სააგენტოს ერთობლივი პროექტი “Mars Polar Lander” -ის მისია (1999წ.) სწორედ გადამყვანი კოეფიციენტების უზუსტობის და პროგრამული ხარვეზების გამო კრახით დასრულდა.

წევის გაანგარიშებას საფუძვლად უდევს მოძრაობის არაწრფივი დიფერენციალური განტოლების ინტეგრირება. რადგან მოძრაობის განტოლებები არაწრფივია და დღემდე მსგავსი განტოლებების ამოხსნა შეუძლებელია ისეთი ფორმით, როგორც ეს ხდება წრფივი დიფერენციალური განტოლებების შემთხვევაში, ბევრი სპეციალისტი მიმართავდა და დღესაც მიმართავს ყველა ტიპის მიახლოებით (ასიმპტოტურ) მეთოდებს. გარდა ამისა სხვადასხვა შეზღუდვების გამო, როგორიცაა ჩაჭიდება, წევის ძრავის ველის შესუსტება და ა.შ. რეზულტირებული წევის მახასიათებელის ნაწილს დამატებით ხდის არაწრფივი ფორმის მქონეს, რაც დამატებით პრობლემებს ქმნის ამოცანის გადაწევებისას. ამ მიზეზით, სამწუხაროდ, დიფერენციალური განტოლების ინტეგრირების მირითად მეთოდს წარმოადგენს გრაფო-

ანალიზური (საანგარიშო-გრაფიკული) მეთოდები. ელ. წევის თეორიის შემსწავლელ ლიტერატურაში აღწერილია ეს მეთოდები როგორც ერთადერთი და უალტერნატივული.

XXI საუკუნეში, როცა კომპიუტერული ტექნიკა მკვიდრდება ადამიანის მოღვაწეობის ყველა სფეროში, აუცილებელია აქცენტი გაპეტოდეს ახალ მეთოდებზე თანამედროვე ე.გ.მ.-ის გამოყენებით. აღსანიშნავია, რომ ცნობილი გზით ამაჩქარებელი და შემანელებელი ძალის აპროქსიმაცია ვერ უზრუნველყობს რეალური მრუდის ზუსტ ცვლილებას და თანაც ინტეგრირების შედეგად საბოლოოდ მივდივართ რთულ გამოსახულებებამდე, რომელიც უვარგისია გამოთვლითი პროცესის ჩასატარებლად, მათ შორის ე.გ.მ.-ის გამოყენებით, რთული მონაცემთა ბაზის გამო. დიდი რაოდენობის ცვლადების არსებობა მონაცემთა ბაზის ბიბლიოთეკაში და ამ ცვლადების საჭირო დროს სწორი ურთიერთკავშირის მოძიება ფაქტიურად შეუძლებელია კვალიფიციური პროგრამისტის გარეშე. დღეს არსებული ანალიზური გამოსახულებები არ არიან უნივერსალური ხასიათის მქონენი და ამაჩქარებელი და შემანელებელი ძალების ფორმულები ას წელზე მეტია მოცემულია ხვედრით ერთეულებში (კგმ/ტ). არსებული მეთოდებით გაანგარიშების წარმოება ე.გ.მ.-ზე საჭიროებს სპეციალური გადამყვანი კოეფიციენტების მოძიებას, რომელიც დღემდე სსრკ-ის გზათა მიმოსვლის სამინისტროს მიერ რეკომენდებულია ცხრილის სახით, რაც ასევე ერთგვარ პრობლემას ქმნის პროგრამირების პროცესში. ამ მიზეზთა გამო გაცილებით ადგილია ანალიზური მეთოდების ნაცვლად გრაფო-ანალიზური ან სუფთა გრაფიკული მეთოდებით ანგარიშების ჩატარება, რომლებიც სიზუსტით საკმარისია პრაქტიკული გაანგარიშებებისათვის.

აღნიშნულიდან გამომდინარე არსებული პრობლემის გადაწყვეტა და მარტივი და ზუსტი აპროქსიმაციის გზით მიღებული ანალიზური გამოსახულებების გამოყენება პრაქტიკულ ანგარიშებში ე.გ.მ.-ის გამოყენებით მეტად აქტუალურ მეცნიერულ პრობლემას წარმოადგენს.

სამუშაოს მიზანია ახალი ანალიზური მეთოდის სიზუსტის შემოწმება და მისი მეშვეობით წევის გაანგარიშების ჩატარება ე.გ.მ. – ზე რაც სამომავლოდ საშუალებას მოგვცემს წევის ანგარიშები

ტრადიციული “მილიმეტროვანების” ნაცვლად მარტივად, საკმარისი სიზუსტით ვაწარმოოთ თანამედროვე პერსონალური კომპიუტერების გამოყენებით.

მითითებული მიზნის მისაღწევად უნდა იქნას გადაჭრილი შემდეგი ძირითადი ამოცანები:

- შესწავლილ იქნას მატარებლის მოძრაობის დიფერენციალური განტოლების ინტეგრირების ყველა ცნობილი მეთოდი.
- გაანალიზებულ იქნას ცნობილი მეცნიერების მიდგომა ამაჩქარებელი და შემანელებელი ძალების მრუდების აპროქსიმაციის საკითხებში.
- დამუშავებულ იქნას წილად-წრფივი ფუნქციით ამაჩქარებელი და შემანელებელი ძალების აპროქსიმაცია.
- აბსოლუტური ერთეულების ნაცვლად ფარდობითი ერთეულების გამოყენების მეთოდიკა მოძრაობის დიფერენციალური განტოლების ანალიზურად გადაწყვეტისას.
- პრაქტიკულად რეალიზებულ იქნას თანამედროვე ე.გ.მ.-ის გამოყენებით მოძრაობის მრუდების აგების პროცესი.

კვლევის ობიექტი დაფუძნებულია მატარებლის მოძრაობის დიფერენციალური განტოლების ინტეგრირებაზე ანალიზური სახით, ისეთი ფორმით, რომ ის მოსახერხებელი იყოს საკმარისი სიზუსტით მარტივად ვაწარმოოთ გაანგარიშებები თანამედროვე პერსონალური კომპიუტერის გამოყენებით.

1. ლიტერატურული მიზონილება

1.1 მატარებლის მოძრაობის განტოლების ამოხსნის ძირითადი მეთოდები

მატარებლის მოძრაობა სარელსო გზაზე აღიწერება $v=f(s)$; $v=f(t)$; $t=f(s)$ დამოკიდებულებებით. ეს დამოკიდებულებები იგება მატარებლის ძირითადი სასარგებლო მოძრაობისათვის, რომელიც ყოველთვის დაკავშირებულია თვალწყვილის, წევის ძრავის დუზის და მექანიზმების მბრუნავი ნაწილების ბრუნვასთან. სასარგებლო გადაადგილების გარდა მატარებელზე მოქმედებს სხვადასხვა პარაზიტული რხევები, რომლებსაც იწვევს აღმგზნები ძალები, რომლებიც წარმოიქმნება მატარებლის თვალწყვილის გავლისას უსწორმასწორო გზაზე და ასევე მატერებლის გარემოსთან ურთიერთქმედების შედეგად. [3]

მატარებლის განვლილი მანძილი შეიძლება წარმოვიდგინოთ, როგორც S_c და S_N ჯამი, სადაც S_c საწყისი კორდინატიდან გავლილი მანძილია მატარებლის მასათა ცენტრამდე, S_N მანძილია C -დან N -ვაგონამდე.

$$S = S_c + S_N \quad (1)$$

(1) დროით მეორე წარმოებულის აღებით მივიღებთ:

$$\frac{d^2 S}{dt^2} = \frac{d^2 S_c}{dt^2} + \frac{d^2 S_N}{dt^2} \quad (2)$$

ჩვენ განვიხილავთ მხოლოდ მატარებლის სიმძიმის ცენტრის მოძრაობას, ხოლო პარაზიტული რხევები და მათ მიერ გამოწვეული აჩქარებები, რომელიც განისაზღვრება (2)-ს მეორე წევრის ტოლობით განხილულია დაწვრილებით „ე.მ.შ. კონსტრუქცია და დინამიკაში.“

ძალები, რომლებიც განსაზღვრავენ მატარებლის მოძრაობის ხასიათს, თავისი ფიზიკური ბუნებით საკმაოდ განსხვავებულია. ისინი შეიძლება დავყოთ მოძრაობისას მემანქანის მიერ ან ავტომატური რეგულირების მოწყობილობის (წევის ძალა და სამუხრუჭო ძალა) მიერ მართვად და უმართავ (სიმძიმის ძალა, სხვადასხვა მატარებლის მოძრაობის საწინააღმდეგო ძალები) ძალებად.

იმისდა მიხედვით, როგორი ძალები მოქმედებენ მატარებელზე, განასხვავებენ მათ მოძრაობის რეჟიმებს. ძირითად მათგანს წარმოადგენს წევა ანუ დენის მოხმარებით გამოწვეული მატარებლის მოძრაობა, გორგა ანუ ინერციით მოძრაობა და დამუხრუჭება.

დენის მოხმარებით მოძრაობისას წევის ძრავები წარმოქმნის წევის ძალას, რომელიც უზრუნველყობს მატარებლის გადაადგილებას. სამუხრუჭო რეჟიმის დროს მატარებელზე მოქმედებს ხელოვნურად შექმნილი და მოძრაობის საწინააღმდეგოდ მიმართული სამუხრუჭო ძალა. ის თავის მიმართულებით ემთხვევა ხახუნის ძალას, აღმართის შედეგად და ა.შ. გამოწვეულ ძალებს. გორგის დროს წევის ძრავები გამორთულია და მატარებელი მოძრაობს ინერციით წინააღმდეგობის, მათ შორის სიმძიმის ძალით გამოწვეული ძალების მოქმედებით. მატარებლის მოძრაობა მთლიანად განისაზღვრება ნებისმიერი სამიდან ორი დამოკიდებულებით: $v=f(s)$; $v=f(t)$; $t=f(s)$ იმდენად, რამდენადაც მესამე შეიძლება ადვილად მივიღოთ დანარჩენი ორიდან საერთო დამოკიდებელი ცვლადის გამორიცხვით. ამ დამოკიდებულების გრაფიკულ გამოსახულებებს მატარებლის მოძრაობის მრუდები ეწოდებათ. ელექტრული წევისას მათ ემატებათ დენის მრუდი ან სიმძლავრის მანძილზე ან დროზე დამოკიდებულობის ფუნქცია.

მატარებლის მოძრაობის განტოლება დიფერენციალური სახით აღწერს კავშირს v სიჩქარეს, t დროს და s გავლილ მანძილს შორის, რაც საშუალებას იძლევა გავიანგარიშოდ და ავაგოთ მატარებლის მოძრაობის მრუდები.

მატარებლის მოძრაობის განტოლების გამოყვანისას და მოძრაობის მრუდების გაანგარიშების დროს ჩვეულებრივ მატარებლის საბოლოო სიგრძისას თვლიან, რომ ფიზიკური მატარებლის მასა m_3 თავმოყრილია მატარებლის სიმძიმის ცენტრში. [1;3]

წარმოვიდგინოთ, რომ მატარებელზე მოქმედებს F_{b3} . ძალა, რომელიც წარმოადგენს ყველა ძალის თანაბარ მოქმედ ძალას, რომლებიც მოქმედებენ მატარებლის მოძრაობის წევის ან სამუხრუჭო ძალის საწინააღმდეგოდ. გაანგარიშებისათვის აუცილებელი მოძრაობის მრუდების აგებისათვის, საჭირო მატარებლის აჩქარება ამ F_{b3} . ძალის მოქმედებითაა გამოწვეული. ვისარგებლოთ ეილერის ფორმულით (ამ

ფორმულას ხშირად ნიუტონის II კანონსაც უწოდებენ, მაგრამ იმ შესწორებით, რომ მატარებლის ზოგიერთ ნაწილს გააჩნია გადადგილების მოძრაობასთან ერთად ბრუნვითი მოძრაობა(3)

თუ J – მბრუნავი ნაწილების ინერციის მომენტი; w – მისი კუთხური სიჩქარე; R_o – თვალწყვილის ბრუნვის რადიუსია, რომლის მეზვეობითაც მბრუნავი ნაწილი დაკავშირებულია ამძრავთან; μ – ამძრავის გადაცემათა რიცხვია; v – მატარებლის გადადგილების სიჩქარე, მაშინ თვალწყვილის დერძთან მოყვანილი მომენტი, რომელიც საჭიროა მბრუნავი ნაწილების ინერციის გადალახვაზე ტოლია:

$$\mu J \frac{d\omega}{dt}$$

ან გავითვალისწინებთ, რა

$$\begin{aligned} \omega &= \frac{\mu v}{R_k} \quad \text{და} \quad \frac{d\omega}{dt} = \frac{\mu}{R_k} \frac{dv}{dt} \\ \mu J \frac{d\omega}{dt} &= J \frac{\mu^2}{R_k} \frac{dv}{dt} \end{aligned}$$

F'_o ძალა, რომელიც აუცილებელია მოვდოთ თვალს, რათა მბრუნავ ნაწილებს მივცეთ შესაბამისი კუთხური სიჩქარე, განისაზღვრება მომენტთა ტოლობიდან.

$$F'_o R_o = J \frac{\mu^2}{R_k} \frac{dv}{dt}$$

საიდანაც

$$F'_i = J \frac{\mu^2}{R_k^2} \frac{dv}{dt} \quad (3)$$

თავად თვალწყვილისათვის (3) გამოსახულებაში $\mu=1$ სრული F_o ძალა, რომელიც მოყვანილია თვალწყვილზე, რომელიც აუცილებელია მატარებლის ყველა მბრუნავი ნაწილის ინერციის გადასალახვად, შეიძლება ვიპოვთ (3) გამოსახულებით ყველა მბრუნავი ნაწილის გათვალისწინებით ვწერთ:

$$F_o = \sum \frac{J_{\omega}}{R_{\omega}^2} \frac{dv}{dt} + \sum \frac{J_{\beta}}{R_{\beta}^2} \frac{dv}{dt} + \frac{J_{\varrho} \mu^2}{R_{\varrho}^2} \frac{dv}{dt} = \\ = \left(\sum \frac{J_{\omega}}{R_{\omega}^2} + \sum \frac{J_{\beta}}{R_{\beta}^2} + \sum \frac{J_{\varrho} \mu^2}{R_{\varrho}^2} \right) \frac{dv}{dt} = m_{\beta} \frac{dv}{dt} \quad (4)$$

სადაც J_{ω} და R_{ω} ინერციის მომენტი და მბრუნავი თვალწყვილის რადიუსი.

J_{β} და R_{β} – ინერციის მომენტი და არაამძრავი თვლის რადიუსია.

J_{ϱ} – წევის ძრავის ინერციის მომენტია

$$\sum \frac{J_{\omega}}{R_{\omega}^2} + \sum \frac{J_{\beta}}{R_{\beta}^2} + \sum \frac{J_{\varrho} \mu^2}{R_{\varrho}^2} = m_{\beta} \quad (5)$$

m_{β} – იწოდება მბრუნავი ნაწილების ეკვივალენტურ მასად.

რადგან F_o ძალა შეიძლება წარმოქმნას მხოლოდ F_{b_3} თანაბარ-მოქმედი ძალის ხარჯზე, ეილერის ფორმულის თანახმად:

$$m_{\beta} \frac{dv}{dt} + F_o = F_{b_3}$$

ან F_o -ის ჩასმით (4) გამოსახულებაში

$$(m_{\beta} + m_{\beta}) \frac{dv}{dt} = F_{b_3} \quad (6)$$

$m_{\beta} + m_{\beta} = m$, ამას მატარებლის მოყვანილი მასა პქვია. ჩვეულებრივ m წარმოდგება როგორც

$$m = m_{\beta} \left(1 + \frac{m_{\beta}}{m_{\beta}} \right) = m_{\beta} (1 + \gamma) \quad (7)$$

$$\text{სადაც } \gamma = \frac{m_{\beta}}{m_{\beta}}$$

(1+ γ) უგანზომილებო კოეფიციენტს ეწოდება მბრუნავი ნაწილების ინერციის კოეფიციენტი. [4]

(6) გამოსახულებაში m მოყვანილი მასის ჩასმით (7) თანახმად მივიღებთ მატარებლის მოძრაობის განტოლების პირველ ფორმას.

$$M_{\beta} (1 + \gamma) \frac{dv}{dt} = F_{b_3}. \quad (8)$$

(8) დიფერენციალური სახით იძლევა კავშირს თანაბარ მოქმედ მატარებელზე მოდებულ ძალას, მოყვანილ მასას და ამ ძალების მოქმედებით გამოწვეულ აჩქარებას შორის.

გავითვალისწინებოთ რა $v = \frac{ds}{dt}$ და dt , შევცვლით $\frac{ds}{v}$, მივიღებოთ მოძრაობის განტოლებას მეორე ფორმით:

$$m_3(1+\gamma)v \frac{dv}{dt} = F_{b3}. \quad (9)$$

1.2 მბრუნავი ნაწილების ინერციის კოეფიციენტის განსაზღვრა

$(1+\gamma)$ კოეფიციენტის განსაზღვრისათვის მოსახერხებელია ვისარგებლოთ (5) გამოსახულების მცირედ შეცვლილი მბრუნავი ნაწილების ეკვივალენტური მასის ვარიანტით. J ნებისმიერი მბრუნავი ნაწილის ინერციის მომენტი შეიძლება წარმოვადგინოთ შემდეგი სახით:

$$J = m \rho^2$$

სადაც m – მბრუნავი ნაწილების მასაა;

ρ – მისი ინერციის რადიუსი.

მაშინ

$$M_3 = m_3 \gamma = \sum m_{\omega} \frac{\rho_{\omega}^2}{R_{\omega}^2} + \sum m_{\alpha} \frac{\rho_{\alpha}^2}{R_{\alpha}^2} + \sum m_{\varrho} \frac{\mu^2 \rho_{\varrho}^2}{R_{\varrho}^2} \quad (10)$$

ამ გამოსახულებაში სხვადასხვა მბრუნავი ნაწილებისათვის მოყვანილია იგივე ინდექსები, როგორც (4) განტოლებაში.

(10) მასების შეცვლით მათი შესაბამისი წონებით. ამისათვის (10) გამოსახულების ორივე მხარე გავამრავლოთ g სიმძიმის ძალის აჩქარებაზე და ავღნიშნოთ G – მატარებლის საერთო წონას მივიღებთ:

$$G \gamma = \sum G_{\omega} \frac{\rho_{\omega}^2}{R_{\omega}^2} + \sum G_{\alpha} \frac{\rho_{\alpha}^2}{R_{\alpha}^2} + \sum G_{\varrho} \frac{\mu^2 \rho_{\varrho}^2}{R_k} \quad (11)$$

მატარებლის მბრუნავ ნაწილებს აქვთ ცილინდრული ან მასთან მიახლოვებული ფორმა, რის შედეგადაც ρ ინერციის რადიუსის დამოკიდებულება R გარე რადიუსთან საკმარისად სტაბილურია ამიტომ γ გაანგარიშება ρ და R -ის შემდეგი პრაქტიკული მონაცემების მიხედვით. [3].

ამბრავი და მიმყოლი ვაგონების თვალწევრილებისათვის

$$\rho = (1,75 \div 0,8) R$$

წევის ძრავის ღუზებისათვის

$$\rho = (0,65 \div 0,75) R$$

დიდი კბილანა თვლებისათვის

$$\rho \approx 0,8 R$$

(1+ γ) კოეფიციენტის მნიშვნელობა სხვადასხვა ტიპის ელექტრომავლებისათვის იცვლება $1,2 \div 1,4$ ფარგლებში; დატვირთული სატვირთო ვაგონებისათვის $1,08 \div 1,09$; თუ მატარებელი შედგება სხვადასხვა ტიპის ვაგონებისაგან, მაგ: ელმავალი, სამგზავრო, სატვირთო ვაგონები და ა.შ. (1+ γ) მთლიანობაში მატარებლისათვის განისაზღვრება როგორც საშუალოდ შეწონილი:

$$(1+\gamma) = \frac{\sum G_i(1+\gamma_i)}{\sum G_i} = 1 + \frac{\sum G_i\gamma_i}{\sum G_i} \quad (12)$$

სადაც G_i – მატარებლის თითოეული ნაწილის წონაა, რომელიც შედგება ერთი ტიპის მოძრავი შემადგენლობისაგან, რომელსაც გააჩნია (1+ γ) ინერციის კოეფიციენტი.

1.3 მოძრაობის განტოლების გარდაქმნა პრაქტიკული გაანგარიშებისათვის

ანგარიშის დროს მოძრაობის პირობიდან გამომდინარე სარგებლობები სიდიდეების სხვადასხვა ერთეულებში გაზომვით. მაგალითად გზას ზომავენ მეტრებში ან კილომეტრებში; დროს – წუთებში ან წამებში, ზოგ შემთხვევაში საათებში, ძალებს ყველაზე ხშირად ზომავენ კილოგრამ-ძალებში; მატარებლის წონას ტონებში. მატარებლის თვ მასას, როგორც წესი, გამოსახავენ, როგორც მის წონას G. საერთაშორისო ერთეულთა (SI) სისტემაში, მიღებულია სიგრძის ერთეულად (θ); დროის (ϑ); მასის (ρ); ძალის საზომად გამოიყენება ნიუტონი (N), რომელიც 1კგ მასის მქონე სხეულს $1\text{N}/\text{m}^2$ აჩქარებას ანიჭებს.

სხვადასხვა ერთეულების გამოყენება მატარებლის მოძრაობის განტოლებაში მოითხოვს შესაბამისი გადამყვანი კოეფიციენტების შეყვანას. (8) და (9) განტოლების მარჯვენა ნაწილში მათი შეყვანით და სათანადო აღნიშვნებით (8) და (9) მიიღებს შემდეგ სახეს:

$$G \frac{dm}{dt} = \zeta F \quad (13)$$

$$G \frac{dm}{dt} = \zeta' F \quad (14)$$

ζ მნიშვნელობა მაგალითისათვის სიჩქარის ცვლილებისას კმ/სთ-ში, დროის წთ-ში მოქმედი ძალების კგ-ში G წონის მატარებლის დროს, მისი m მასა ტოლია

$$M_3 = \frac{1000G}{g} = \frac{1000}{9,81} G [\text{კგ}\cdot\text{წთ}^2/\text{მ}]$$

სადაც $g = 9,81 \text{ მ}/\text{წთ}^2$ – სიმძიმის ძალის აჩქარებაა.

იმისათვის, რომ მივიღოთ ძალა კგ-ში, როცა მასა იცვლება კგ·წთ² (კილოგრამ მასა), $\frac{dv}{dt}$ აუცილებელია განვსაზღვროთ $\text{მ}/\text{წთ}^2$. ამიტომ სიჩქარე აუცილებელია გადავიყვანოთ კმ/სთ-დან $\text{მ}/\text{წთ}-ში$, ხოლო დრო, წთ-დან წთ-ში, $1\text{კმ}/\text{სთ}$ შეესაბამება $\frac{1000}{3600} = \frac{1}{3,6} \text{ მ}/\text{წთ}$, ხოლო $1\text{წთ} = 60\text{წ}$ გაერთვალისწინებთ რა ამ დამოკიდებულებას, (8) გამოსახულებაში ჩასმისას ვიპოვთ:

$$G \frac{dv}{dt} = \frac{9,81 \cdot 3,6 \cdot 60}{1000(1+\gamma)} F_{b3.} = \frac{2,16}{(1+\gamma)} F_{b3.}$$

შესაბამისად

$$\zeta = \frac{2,12}{(1+\gamma)} \quad \text{და} \quad \sigma = \frac{1}{\zeta} = 0,472(1+\gamma)$$

როგორც ეს ჩანს მიღებული ტოლობიდან (13) და (14), შემდგომი გამარტივებისათვის მათი მარჯვენა და მარცხენა ნაწილები გავყოთ G მატარებლის წონაზე.

$$\frac{dv}{dt} = \zeta f_{b3.} \quad (15)$$

$$\nu \frac{ds}{dt} = \zeta' f_{b_3}. \quad (16)$$

სადაც $f_{b_3} = \frac{F_{b_3}}{G}$ ხელითი თანაბარმოქმედი ძალაა კგ/ტ; ასეთი ხელითი სახით ორივე ფორმულა ყველაზე ხშირად გამოიყენება მატარებლის მოძრაობის მრუდების ასაგებად.

ζ კოეფიციენტი (15) გამოსახულებაში რიცხობრივად შესაბამის ერთეულებში მატარებლის აჩქარების ტოლია, რომელზედაც მოდებულია თანაბარმოქმედი f_{b_3} ძალა კგ/ტ. ასე მაგალითად: თუ მატარებლის წონა იზომება ტ-ში, სიჩქარე კმ/სთ-ში, დრო-ტ-ში და γ ტოლია 0,06-ის, მაშინ:

$$\zeta = \frac{2,12}{1,06} = 2 \quad \text{კმ.ტ/სთ.კგ.წ}$$

$$\frac{dv}{dt} = 2 f_{b_3} \quad \text{კმ/სთ.წ}$$

მაშასადამე, 1 წთ-ის განმავლობაში სიჩქარე შეიცვლება 2 f_{b_3} კმ/სთ. თუ ძალა მოქმედებს მატარებლის მოძრაობის მიმართულებით სიჩქარე გაიზრდება; თუ მოძრაობის საწინააღმდეგო მიმართულებით – შემცირდება.

1.4 მოძრაობის განტოლების გამოყენება მატარებლის მოძრაობის ძირითადი რეჟიმების ანალიზისათვის

ელმავლის F წევის ძალისათვის დადებით მიმართულებად მიღებულია მატარებლის მოძრაობის მიმართულება. W და B თანაბარმოქმედი მოძრაობის წინააღმდეგობის ძალებისათვის მატარებლის მოძრაობის საწინააღმდეგო მიმართულება. [5;6]

მოძრაობის წინააღმდეგობის W ძალას უმეტეს შემთხვევაში აქვს მოძრაობის საწინააღმდეგო მიმართულება, მიუხედავად ამისა, პირობის თანახმად აქვს დადებითი ნიშანი, მხოლოდ საკმაოდ ციცაბო დაღმართებზე W შეიძლება გახდეს უარყოფითი სიდიდე და მოქმედებდეს მოძ-

რაობის მიმართულებით. ამიტომ W -ს ქვეშ უნდა გავიგოთ მატარებლის მოძრაობის წინააღმდეგობის ალგებრული მნიშვნელობა. ეს სრული ძალები, როგორც წესი, იზომება კბ-ებში.

წევის დროს მატარებელზე მოქმედებს $F_{\text{ხ}} = F - W$ ძალა, ამიტომ მატარებლის მოძრაობის განტოლებას (13)-ს ექნება შემდეგი სახე.

$$G \frac{dv}{dt} = \zeta(F - W) \quad (17)$$

ან ხვედრითი ფორმით:

$$\frac{dv}{dt} = \zeta(f - \omega) \quad (18)$$

სადაც $f = \frac{F}{G}$ - ხვედრითი წევის ძალაა.

$\omega = \frac{W}{G}$ - მოძრაობის ხვედრითი წინააღმდეგობაა.

მატარებლის სიჩქარე იზრდება, თუ $F - W > 0$, რადგან ამ დროს

$\frac{dv}{dt} > 0$, თუ $F - W < 0$, მაშინ $\frac{dv}{dt} < 0$ და მატარებლის სიჩქარე მცირდება,

როგორც ეს მაგალითად მატარებლის ციცაბო აღმართზე მოძრაობის დროს ხდება, როცა მოძრაობის წინააღმდეგობა W ხდება F წევის ძალაზე მეტი.

მატარებლის თანაბარი მოძრაობისას მუდმივი დამყარებული სიჩქარით ადგილი ექნება, თუ $F - W = 0$ ან $F = W$; ვინაიდან და რადგანაც ამ დროს $\frac{dv}{dt} = 0$.

გორგის რეჟიმის დროს წევის ძრავები გამორთულია, ამიტომ $F = 0$ და $F = -W$, მოძრაობის განტოლებას ექნება შემდეგი სახე:

$$G \frac{dv}{dt} = -\zeta W. \quad (19)$$

აღმართებზე, სწორ უბანზე W -ს აქვს დადებითი მიმართულება და $\frac{dv}{dt} < 0$, მაშასადამე მატარებლის სიჩქარე მცირდება.

W -ს უარყოფითი მნიშვნელობისას, რომელსაც შეიძლება ადგილი პქონდეს საკმარისად ციცაბო დაღმართზე, $\frac{dv}{dt} > 0$, შესაბამისად მატარებ-

ლის სიჩქარე იზრდება. მატარებელს შეუძლია ასევე იაროს დამყარებული სიჩქარით, თუ $W=0$.

სამუხრუჭო რეჟიმის დროს $F=0$,

$$F = - (B + W) \text{ და}$$

$$G \frac{dv}{dt} = -\zeta (B + W) \quad (20)$$

როგორც წესი, $(B+W)$ ჯამური ძალა მიმართულია მატარებლის მოძრაობის საწინააღმდეგოდ. შესაბამისად, თუ $(B+W) > 0$, მაშინ $\frac{dv}{dt} < 0$ და მატარებლის მოძრაობის სიჩქარე დამუხრუჭებისას მცირდება.

მატარებლის მოძრაობისას ციცაბო დაღმართზე $W < 0$ და სამუხრუჭო ძალა B პატარაა, შეიძლება აღმოჩნდეს, რომ $(B+W) < 0$. ამ დროს მატარებელი არ იმოძრავებს შენელებულად. კერძო შემთხვევაში შეიძლება სამუხრუჭო ძალა დავარეგულიროთ ისე, რომ $(B+W) = 0$. მაშინ მატარებლის სიჩქარე იქნება დადებითი $\left(\frac{dv}{dt} = 0 \right)$. ამგვარი მოძრაობის რეჟიმი ხშირად გამოიყენება ქანობზე მატარებლის მოძრაობის სიჩქარის შენარჩუნებისათვის.

მოყვანილი ანალიზიდან შეიძლება დავასკვნათ, რომ ყველა რეჟიმის დროს, თუ F_{b_3} თანაბარმოქმედი ძალა ტოლია ნულის, მატარებლის მოძრაობას აქვს დამყარებული ხასიათი, მაშასადამე მატარებელი იმოძრავებს გარკვეული მუდმივი სიჩქარით. თუ $F_{b_3} \neq 0$, ყოველთვის ადგილი ექნება არადამყარებულ მოძრაობის პროცესს. თანაბარმოქმედი ძალის დროს მატარებლის სიჩქარე იზრდება, ხოლო უარყოფითის დროს – მცირდება. [5]

1.5 მოძრაობის მრუდების გაანგარიშების საერთო პრინციპები მოძრაობის განტოლების ინტეგრირება

მატარებლის მოძრაობის მრუდების გაანგარიშება მოძრაობის განტოლების ინტეგრირებას ემყარება, რომელიც დიფერენციალური სახით იძლევა კავშირს v სიჩქარეს, t დროს, და s გავლილ მანძილს შორის.

$v(t)$, $v(s)$, $t(s)$ დამოკიდებულებების მისაღებად საჭიროა მატარებლის მოძრაობის დიფერენციალური განტოლება (15) ან (16) ამოხსნა (ინტეგრირება). [7]

მათემატიკური თვალსაზრისით მატარებლის მოძრაობის დიფერენციალური განტოლება გარეგნულად მარტივი, პირველი ხარისხის დიფერენციალური განტოლებაა v და t ცვლადები. ასეთი განტოლებები ჩვეულებრივ ამოხსნება ცვლადების განცალკევების მეთოდით და შემდგომში მარცხენა და მარჯვენა ნაწილის ცალ-ცალკე ინტეგრირებით. მაგრამ განტოლების მარჯვენა ნაწილი არ არის მუდმივი სიდიდე და მატარებელზე მოქმედი ძალები თვითონ არიან ცვლადების v და s -ის ფუნქციები. მოძრაობის დროს იცვლება გზის პროფილი და შესაბამისად მოძრაობის მიმართ წინააღმდეგობებიც, აქედან გამომდინარე მოძრაობის განტოლების ანალიზური სახით ინტეგრირება, განსაკუთრებული დაშვებების გარეშე პრაქტიკულად შეუძლებელია.

მატარებლის მოძრაობის განტოლების ინტეგრირება ცვალებადი სიჩქარის შემთხვევაში საშუალებას მოგვცემს მივიღოთ დამოკიდებულება მატარებლის მოძრაობის სიჩქარის v , მოძრაობის დროის t და განვლილ მანძილს s -ს შორის. [6;7]

დიფერენციალური განტოლების ამოხსნის ცნობილი მეთოდები პირობითად შეიძლება დავყოთ სამ ჯგუფად: 1) ანალიზური მეთოდები, რომლებიც საშუალებას მოგვცემს ამოვხსნათ დიფერენციალური განტოლება ანალიზური გამოსახულებების სახით; 2) გრაფიკული მეთოდები, რომელიც იძლევა მიახლოებით ამოხსნას გრაფიკული სახით; 3) რიცხვითი მეთოდები, რომლებიც იძლევა მიახლოვებით ამოხსნას ცხრილის სახით. [6]

მატარებლის მოძრაობის დიფერენციალური განტოლების ინტეგრირება ანალიზურად წარმოებს შემდეგი ფორმით:

(15) განტოლებაში ცვლადების გაყოფით მივიღებთ

$$dt = \frac{dv}{f_{b_3}} \quad (21)$$

სადაც f_{b_3} - ხვედრითი თანაბარმოქმედი ძალაა, კგ/ტ.

ორივე მხარის ინტეგრირებით v_1 -დან v_2 სიჩქარის ფარგლებში, მივიღებთ ამ პროცესის შესაბამის დროს.

$$(t_2 - t_1) = \frac{1}{\zeta} \int_{v_1}^{v_2} \frac{dv}{f_{b_3}} \quad (22)$$

გამოვიყენებოთ რა (16)-ს, რომელიც წარმოადგენს მოძრაობის განტოლებას მეორე ფორმით, შეიძლება განვსაზღვროთ ($s_2 - s_1$) მანძილი, რომელსაც გადის მატარებელი როცა სიჩქარე იცვლება v_1 -დან v_2 -ს ფარგლებში.

$$ds = \frac{vdv}{\zeta' f_{b_3}} \quad (23)$$

$$\text{და } (s_2 - s_1) = \frac{1}{\zeta'} \int_{v_1}^{v_2} \frac{vdv}{f_{b_3}} \quad (24)$$

ამ დროს ხვედრითი თანაბარმოქმედი ძალა წევის რეჟიმის დროს:

$$f_{b_3} = f_0 - i = f - \omega_0 - i \quad [\text{კგძ/გ}]$$

გორგისას

$$f_{b_3} = -(\omega_{0x} + i) \quad [\text{კგძ/გ}]$$

ალექტრული დამუხრუჭების დროს:

$$f_{b_3} = -(b_{o_0} + i) = -(b_0 + \omega_0 + i) \quad [\text{კგძ/გ}]$$

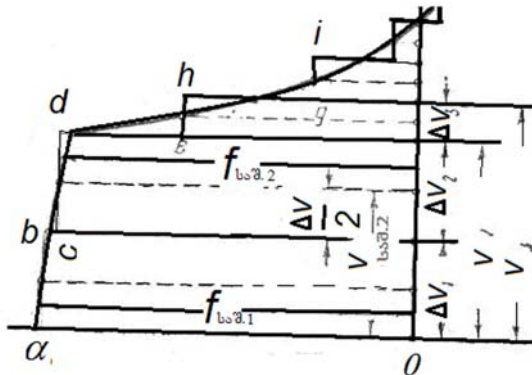
მექანიკური დამუხრუჭებისას:

$$f_{b_3} = -(b_0 + i) = -(b + \omega_{0g} + i) \quad [\text{კგძ/გ}]$$

(22) და (24) განტოლებების ინტეგრალების გამოთვლებისათვის უნდა ვიცოდეთ $f_{b_3} = f(v)$

სხვაგარად რომ ვთქვათ, წინასწარ აუცილებელია გვქონდეს ამაჩქარებელი ძალების მახასიათებელი წევის რეჟიმის დროს, გორგისას მოძრაობის წინააღმდეგობა, შემანელებელი ძალები სამუხრუჭო რეჟიმში და ასევე გზის პროფილი. ყველაფერთან ერთად დამატებით აუცილებელია დავადგინოთ სიჩქარის შეზღუდვები გზის სხვადასხვა უბანზე, მატარებლის მოძრაობის უსაფრთხოების პირობის დასაცავად, რომელიც გათვალისწინებულია რკინიგზის ტექნიკური ექსპლუატაციის წესებით, რომლის თანახმად საჭიროა სიჩქარე შეიზღუდოს ციცაბო

დაღმართებზე, მრუდებში, საისრო გადამყვანებზე და ა. შ. მატარებლის მოძრაობისას.



ნახ. 1. მატარებელზე მოქმედი ხვედრითი ამაჩქარებელი ძალის გრაფიკი

თანაბარმოქმედი ძალების სიჩქარეზე დამოკიდებულებას ჩვეულებრივ წარმოადგენენ გრაფიკული მრუდების სახით.

ნახ. 1. მათოვის შეიძლებოდა შეგვერჩია მეტნაკლებად მიახლოვებული ანალიზური განტოლება და მათი გამოყენებით უშუალოდ მოგვეხდინა პირველი ან მეორე ფორმით მოცემული მოძრაობის განტოლების ინტეგრირება. შედეგების უფრო მაღალი სიზუსტე მიიღება, თუ $f_{b3} = f(v)$ -ს ცალკეული მიმდევრობითი უბნებისათვის შევარჩევთ ანალიზურ გამოსახულებებს.

თუმცა შედარებით მარტივი ანალიზური დამოკიდებულებების დროსაც, კი ინტეგრირებას მივყავართ უფრო რთულ და გამოთვლებისათვის მოუხერხებელ ფორმულებამდე.

ნაწილობითი აპროქსიმაცია უფრო მეტად ზრდის გამოთვლების სირთულეს, ამიტომ მატარებლის მოძრაობის განტოლების ანალიზური ინტეგრირება გამოიყენება მხოლოდ იშვიათ შემთხვევებში, ძირითადად თეორიული გამოკვლევებისათვის. [6;8]

პრაქტიკულად მოძრაობის განტოლების ინტეგრირებას ახდენენ საბოლოო გარდაქმნების მეთოდით, რომელსაც იყენებენ $f_{b3} = f(v)$ -ს ნებისმიერი ფორმისას და რომელიც თეორიულად იძლევა მიახლოების

ნებისმიერ ხარისხს. ამ მეთოდის დროს სიჩქარის $\Delta v = v_2 - v_1$ დიდ ინტერვალში ცვლილებებისას წარმოქმნილი ძალებს თვლიან მუდმივად და მათი მნიშვნელობების საშუალოდ ამ ინტერვალებში $f_{b3,b8}$ -მაშინ (22) და (24)-ის მარჯვენა ნაწილები ადვილად ინტეგრირდება და მიიღება შემდეგი გამოსახულებები:

$$\Delta t = t_2 - t_1 = \frac{v_2 - v_1}{\zeta' f_{b3,b8}} = \frac{\Delta v}{\zeta' f_{b3,b8}} \quad (25)$$

$$\text{და} \quad \Delta s = s_2 - s_1 = \frac{v_2^2 - v_1^2}{2\zeta' f_{b3,b8}}$$

$$\text{ან გავითვალისწინებთ, რომ } \frac{v_2 - v_1}{2} = v_{b8} \Delta v \text{ ინტერვალში}$$

$$\Delta s = \frac{v_{b8} \Delta v}{\zeta' f_{b3,b8}} \quad (26)$$

$$\Delta s\text{-ის სხვა ფორმულა შეიძლება მივიღოთ (26)-ში } \frac{\Delta v}{f_{b3,b8}}\text{-ის შევცვლით } \zeta \Delta t\text{-თი (25) საფუძველზე}$$

$$\Delta s = \frac{\tau}{\zeta'} v_{b8} \Delta t = \frac{1}{\zeta''} v_{b8} \Delta t \quad (27)$$

$$\text{სადაც} \quad \frac{\zeta'}{\zeta} = \zeta''$$

f_{b8} თანაბარმოქმედი ძალის მნიშვნელობა $f_{b3} = f(v)$ -ის მონოტონური ცვლილებებისას v სიჩქარის მცირედი გარდაქმნისას დაახლოებით განსაზღვრავენ მას v საშუალო სიჩქარით მოცემულ ინტერვალში (ნახ. 1.)

ამგვარად, საბოლოო გარდაქმნების მეთოდის დროს მოცემული თანაბარმოქმედი ძალის მრუდი $f_{b3} = f(v)$ გარდაიქმნება გარკვეულ საფეხურებლივ წრფედ (ნახ. 1). მოყვანილია ასეთი ტრანსფორმაციის მაგალითი ამაჩქარებელი ძალებისა წევის რეჟიმის დროს. თანაბარმოქმედი f_{b3} ძალის აგებისათვის ყოველი Δv ინტერვალის ფარგლებში რეალური მატარებლის მოძრაობა იცვლება თანაბარ-აჩქარებულით. ამიტომ $v=f(t)$ საანგარიშო მრუდი იქნება შედგენილი, რიგი სწორი

მონაკვეთებისაგან, ხოლო მრუდი $v=f(s)$ – რიგი პარაბოლის მონაკვეთებისაგან.

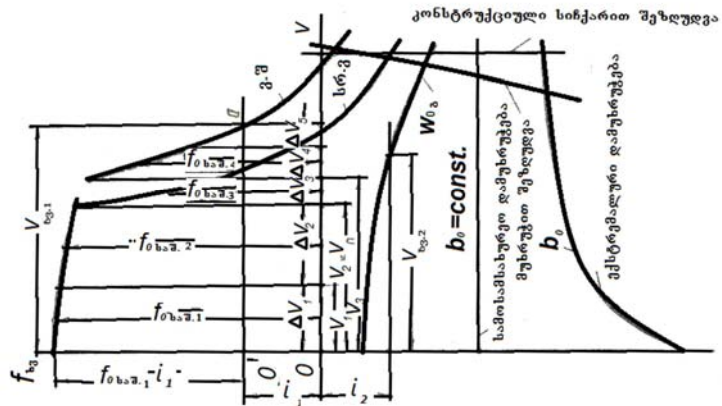
Δv ინტერვალის დიდი შემცირებით საფეხურებრივი ძალები უახლოვდება რეალურ მრუდს, ხოლო მოძრაობის საანგარიშო მრუდები – რეალურს, მაშასადამე ამ დროს სიზუსტე საბოლოო გარდაქმნებისა მატულობს.

1.6 მოძრაობის მრუდების გაანგარიშებისა და აგების მეთოდი

განასხვავებენ მოძრაობის მრუდების გაანგარიშების ანალიზურ ინტეგრირების და რიცხობრივი ინტეგრირების მეთოდებს, რომლებიც ეფუძნება მოძრაობის დიფერენციალური განტოლების მიახლოებით ინტეგრირებას. [9]

ანალიზური ინტეგრირების მეთოდი თავის მხრივ იყოფა $f_{b_0}=f(v)$ და მოკიდებულების სხვადასხვაგვარი აპროქსიმაციის და მიხედვით (წრფივი, პარაბოლისებური და ა.შ.).

იმ ჯგუფში, რომელიც ეფუძნება საბოლოო გარდაქმნების მეთოდებს შედიან საანგარიშო-გრაფიკული და სუფთა ანალიზური მეთოდები, რომლებიც ერთმანეთისაგან განსხვავდება Δt და Δs -ის მიღების ხერხებით.



ნახ. 2. ხვედრითი თანაბარმოქმედი შემანელებელი ძალების მრუდების გრაფიკი

საანგარიშო-გრაფიკული მეთოდის დროს გრაფიკულად წარმოდგენილ $f = f(v)$ დამოკიდებულებას ყოფენ Δv ინტერვალებად. ამ ინტერვალებში საშუალო სიჩქარეების პოვნით განსაზღვრავენ თანაბარ მოქმედ ძალებს. შესაბამისი ფორმულებით Δt და Δs მიღებული მნიშვნელობებით აგებენ მოძრაობის მრუდებს. გრაფიკული მეთოდი განსხვავდება ზემოთ მოყვანილი მეთოდისაგან იმით, რომ Δt და Δs ანგარიშით კი არ პოულობენ, არამედ პოულობენ გეომეტრიული მანიპულაციებით, რომლებსაც ახორციელებენ შესაბამის მასშტაბებში. ამ მეთოდების მრავალი სახესხვაობა არსებობს.

1.7 მოძრაობის მრუდების აგება საანგარიშო-გრაფიკული ანუ გრაფო-ანალიზური მეთოდით

მოძრაობის მრუდების ელემენტებს საანგარიშო-გრაფიკული მეთოდით პოულობენ წერტილების მიხედვით, რომელთა კოორდინატებიც განისაზღვრება Δt და Δs -ის გამოთვლით, რომლებსაც იღებენ Δv ინტერვალში. Δt გაანგარიშება წარმოებს – (25) ფორმულის, ხოლო Δs გაანგარიშება ხდება (27) ფორმულის მეშვეობით. $F_{b3,sa3} - \text{მნიშვნელობებს ითვლიან } b3\text{-ებითი თანაბარმოქმედი ძალების } f_{b3,i} = f(v)$ მრუდის მიხედვით, რომლებიც გათვლილია ($i = 0$) ქანობზე მატარებლის მოძრაობისას. ამ დროს ამაჩქარებელი ან შემანედებელი ხვედრითი ძალა განისაზღვრება შემდეგი სხვაობით. (იხ. ნახ. 2)

$$f_{b3,sa3} = f_{b3,sa3} - i \quad [გგძ/ტ] \quad (28)$$

სადაც i – ქანობის ალგებრული მნიშვნელობაა (ალმართისათვის დადებითია, დალმართის შემთხვევაში უარყოფითი.)

$$f_{b3,sa3} - \Delta v \quad \text{ინტერვალში} \quad \text{პასუხობს} \quad v_{ba3} - \text{მნიშვნელობას.}$$

მიღებული ნიშნებით $f_{b3,0}$ წევის რეჟიმისათვის უნდა ჩავთვალოთ დადებითად, ხოლო გორგის და დამუხრუჭების რეჟიმის დროს უარყოფითად.

გაანგარიშება მოსახერხებელია ვაწარმოოთ შემდეგი წესით:

ნახ. 2. წარმოდგენილ დიაგრამაზე, რომელზედაც გამოსახულია ხვედრითი თანაბარმოქმედი ძალები, სწორი პორიზონტალური გზისათვის $f_0 = f(v)$ წევის რეჟიმისას; $\omega_0 = f(v)$ წევის ძრავების ჩართულ მდგომარეობაში მოძრაობის ძირითადი წინააღმდეგობისათვის $b_0 = f(v)$ მექანიკური დამუხრუჭებისა და დამუხრუჭებისას სიჩქარის შეზღუდვით ხვედრითი შემანელებელი ძალისათვის. აღნიშნულთათვის მოინიშნება $v_1, v_2, v_3, v_4\dots$ და ა. შ. სიჩქარეები და შერჩეული სიჩქარის შეზღუდვების Δv ინტერვალები. რომლებიც მრუდის ნაწილების ფორმიდან გამომდინარე შეიძლება იყოს არაერთგვაროვნად შერჩეული ანუ Δv -ს სიდიდე შესაძლოა ერთმანეთისაგან განსხვავდებოდეს. მიზანშეწონილია თანაბარმოქმედი ძალების მრუდების გარდატეხის წერტილები შეირჩეს, როგორც Δv -ს საზღვრები, ეს ზრდის გაანგარიშების სიზუსტეს და საშუალებას იძლევა წარმოდგენილი მოიქცევის $V_{\text{საშუალება}}$. სიჩქარის მეშვეობით. [1;6;7]

წევის რეჟიმის დროს მუდმივი დენის შემთხვევაში ძრავების გაშვების პერიოდს ყოფენ ინტერვალებად, რომლის საზღვრებსაც წარმოადგენს, ძრავების ერთი დაჯგუფებიდან მეორეზე გადასვლის მომენტები, რაც მოსახერხებელია დენის მრუდის აგებისათვის და ენერგიის ხარჯის განსაზღვრისათვის. $v_1, v_2, v_3, v_4\dots$ და $\Delta v_1, \Delta v_2, \Delta v_3$ – შეაქვთ სპეციალურ ცხრილში 1 და გრაფაში 2

ამ ცხრილს გააჩნია სპეციფიკური ფორმა, რომლის მიხედვითაც პრაქტიკულად მიმდინარეობს მთელი გაანგარიშებები.

საშუალო სიჩქარის მნიშვნელობები გამოითვლება მე-3 გრაფაში, ხოლო მისი შესაბამისი მოქმედი ძალა წარმოდგენილი შეაქვთ მე-4 გრაფაში. მე-5 და მე-7 გრაფები განკუთვნილია Δt და Δs -სათვის, ხოლო ათვლის დაწყებიდან საერთო დროის $t = \Delta t$ განსაზღვრისათვის განკუთვნილია მე-6 გრაფი. ამ გრაფის ნებისმიერი სტრიქონის რიცხვითი მნიშვნელობა ტოლია აღნიშნულ სვეტში აღნიშნულ სტრიქონამდე არსებული ყოველი სტრიქონის ჯამისა და t_0 -საწყისი დროის მნიშვნელობის მიმატებით.

გავლილ მანძილს განსაზღვრავენ, როგორც $s = \sum \Delta s$ და შევავთ მე-8 გრაფაში. v_0 სიჩქარის, t_0 დროის და s_0 გზის საწყის მნიშვნელობებს წერენ 1, 6 და 8 გრაფაში ცხრილის პირველ სტრიქონში. თუ განიხილება გაჩერების შემდგომი მოძრაობა, ისინი იღებენ ნულის ტოლ მნიშვნელობას.

v , t და s მნიშვნელობებით (ცხრ. 1. 1, 6, 8 გრაფები) შეიძლება (წერტილებით) ავაგოთ სამივე მრუდის დამოკიდებულება $v=f(t)$, $v=f(s)$ და $s=f(t)$.

აღნიშნული წესით ანგარიშობენ მრუდებს მატარებლის ყოველი რეჟიმისას ცალ-ცალკე.

ცხრილი 1.
წევის გაანგარიშების სპეციფიკური ფორმის ცხრილი

N ^o	v	Δv	Vსამ.	$f_{b3,b5,3-1}$	$\Delta t = \frac{\Delta v}{f'_{b3,b5,3}}$	$t = t_0 + \sum \Delta t$		$s = s_0 + \sum \Delta s$
1	2	3	4	5	6	7	8	9
0	v_0	—	—	—	—	t_0	—	s_0
1	v_1	$\Delta v_1 = v_1 - v_0$	$v_{ch1} = v_0 + \frac{\Delta v_1}{2}$	$f_{b3,b5,3,1}$	Δt_1	$t_1 = t_0 + \Delta t_1$	Δs_1	$s_1 = s_0 + \Delta s_1$
2	v_2	$\Delta v_2 = v_2 - v_1$	$v_{ch2} = v_0 + \frac{\Delta v_2}{2}$	$f_{b3,b5,3,1}$	Δt_2	$t_2 = t_0 + \Delta t_1 + \Delta t_2$	Δs_2	$s_2 = s_0 + \Delta s_1 + \Delta s_2$
n	v_n	$\Delta v_n = v_n - v_{n-1}$	$v_{chn} = v_0 + \frac{\Delta v_n}{2}$	$f_{b3,b5,3,1}$	Δt_n	$t_n = t_0 + \sum_1^n \Delta t$	Δs_n	$s_n = s_0 + \sum_1^n \Delta s$

1.8 ზოგიერთი ცნობა მოძრაობის მრუდების გრაფიკული მეთოდით გაანგარიშებისათვის

გრაფიკული ხერხით მოძრაობის მრუდების აგება, როგორც უკვე აღინიშნა თავისი არსით წარმოადგენს მოძრაობის განტოლების მიახლოებითი ინტეგრირების მეთოდს, საბოლოო გარდაქმნის მეთოდით იმდენად, რამდენადაც გზისა და დროის გარდაქმნა ხდება გეომეტრიულად, როგორც წესი მათ უკავშირებენ თავად მოძრაობის მრუდებს. ამით უზრუნველყოფილია თვალსაჩინოება და უმრავლეს შემთხვევაში შესაძლებელია მრუდების მექანიკური აგება, განსაკუთრებით სპეცია-

ლური შაბლონების გამოყენებით. ამიტომაც გრაფიკულმა მეთოდმა ფართო გამოყენება პპოვა პრაქტიკულ წევის გაანგარიშების პროცესში. [1;2;3;4;5;6;7;8]

როგორც წესი, პირველ რიგში, პროფილის ელემენტების თავისებურებების და მასზე მოძრაობის პირობების გათვალისწინებით აგებენ $v = f(s)$ -ს და შემდგომ $t = f(s)$ დამოკიდებულებას ან უფრო იშვიათად $v = f(t)$.

ეველაზე გავრცელებულია $v = f(s)$ დამოკიდებულები გრაფიკული აგების ორი მეთოდი: ინჟინერ ა.ი. ლიპეცის, რომლის დროსაც, როგორც საანგარიშო-გრაფიკულ მეთოდში მიეწოდება გარდაქმნებით Δv და უნრეინის მეთოდი, რომელიც განსხვავდება იმით, რომ საკმაოდ მარტივი ხერხებით $v = f(s)$ მრუდის აგებისას Δv და Δs პასუხობს Δt მუდმივი დროს ინტერვალს.

ა.ი. ლიპეცის მეთოდი, მისი შემდგომი აგებით $v = f(s)$ მრუდის საფუძველზე დამოკიდებულება $t = f(s)$ ინჟინერ გ. ლებედევის შეთავაზებით თავის დროზე იქნა რეკომენდებული გზათა მიმოსვლის სამინისტროს და დღეს ცნობილია როგორც მისი მეთოდი.

გრაფიკული ხერხით $v=f(t)$ დამოკიდებულების აგება დაწვრილებით დამუშავებულია ბევრი სპეციალისტის მიერ (გ.გ. ლებედევი, ი.გ. ლომონოსოვის, ვ.ა. შევალინის და ა.შ.). თუმცა ისინი გამოიყენება პრაქტიკულად ძალიან იშვიათად, რადგანაც უმრავლეს შემთხვევაში მოუხერხებელია სირთულის გამო მრუდების ასაგებად და ამიტომ ბევრ ლიტერატურაში არ არის განხილული $v = (t)$ მრუდის აგება აღნიშნული მეთოდებით.

$v = f(s)$ მრუდის აგება გზათა მიმოსვლის სამინისტროს მეთოდის საშუალებით მოძრაობის $v = f(s)$ მრუდის ასაგებად სიჩქარე მიეწოდება მიმდევრობითი ინტერვალებით Δv -თი და ამ ინტერვალების ფარგლებში ჩვეულებრივ თვლიან თანაბარმოქმედ ძალას f_{b3} . მუდმივად და Δv ინტერვალის საშუალოდ.

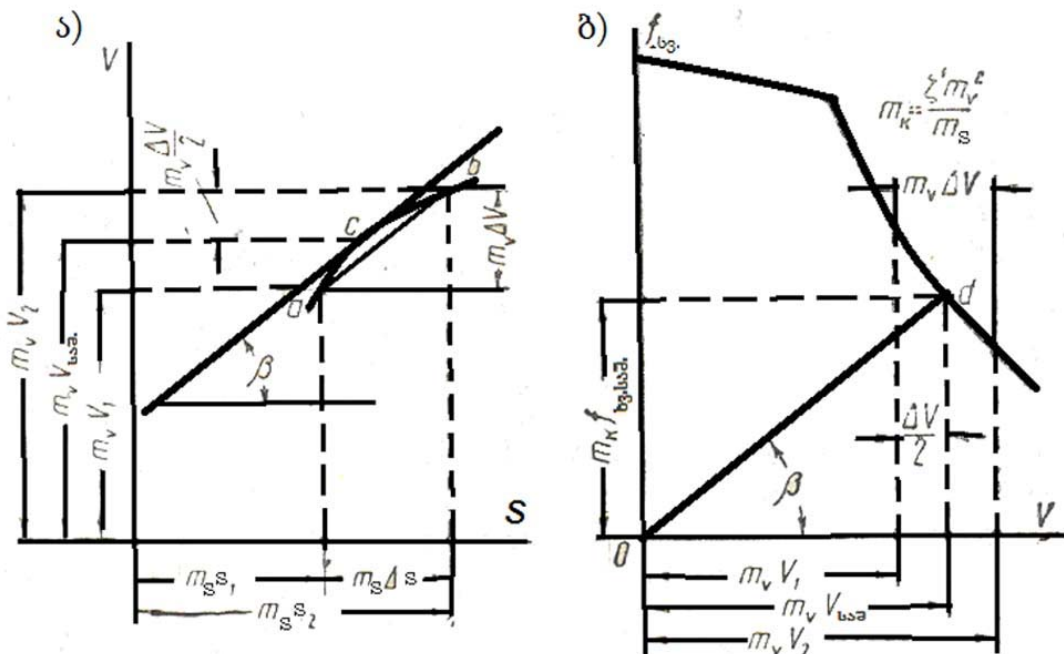
ადრე უკვე აღინიშნა, რომ ამ დროს რეალური მატარებლის მოძრაობისას იცვლება რიგი თანაბარ ამაჩქარებელი ძალებისა და

მრუდი $v = f(s)$ იქნება შედგენილი პარაბოლის მონაკვეთებისაგან. თითოეული მათგანი იმოქმედებს სიჩქარის მოცემულ ინტერვალში.

განვიხილოთ ასეთი ab პარაბოლის მონაკვეთი რომელიმე სიჩქარის $\Delta v = v_2 - v_1$ ინტერვალისათვის (ნახ. 3) a , m_v და m_s სიჩქარის და მანძილის მასშტაბებისათვის.

გავატაროთ ქორდა a და b პარაბოლის წერტილებისათვის. როგორც ცნობილია მხები პარაბოლის c წერტილის ორდინატისათვის ტოლია საშუალო მნიშვნელობის მოსაზღვრე a და b წერტილებისა (ე. ი. Δv საშუალო) პარალელურია ab პარაბოლის ქორდისა.

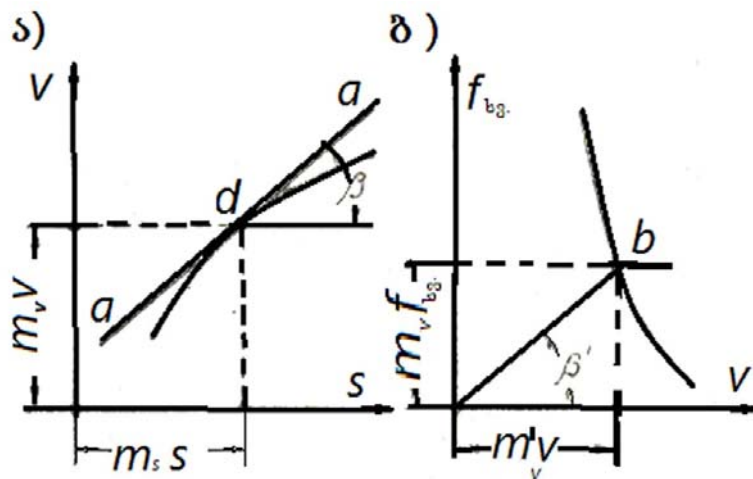
ამიტომ, თუ გავატარებთ Δv ინტერვალის ფარგლებში s წრფეს β კუთხით, ამ წრფის მონაკვეთი a და b იქნება პარაბოლის ქორდა და Δs მატარებლის გავლილი გზა, Δv -ს ცვლილებისას ტოლი იქნება ab პორიზონტალური მონაკვეთის პროექციის ტოლი m_s გზის მასშტაბში. β კუთხე იძებნება მოქმედი ძალების დიაგრამებით $f = f(v)$, როგორც ნაჩვენებია ნახ. 3, δ.



ნახ. 3 სიჩქარის მანძილზე დამოკიდებულების $v = f(s)$ მრუდის აგების მეთოდიკა გზათა მიმოსვლის სამინისტროს მეთოდით.

დავუშვათ, რომ $v=f(s)$ მრუდი ცნობილია d წერტილში კოორდინატებით v, s . გატარებული მხები aa (ნახ. 4, a) β კუთხის მხების ტანგენტის აბსცისათა დერძისათვის ტოლია

$$\operatorname{tg} = \frac{m_v dv}{m_s ds} \quad (29)$$



ნახ. 4. გზათა მიმოსვლის სამინისტროს მეთოდის დროს m_v სიჩქარის და m_s გზის მასშტაბების შერჩევის მეთოდიკა.

$$(16) \text{ დამოკიდებულებას აქვთ } \frac{dv}{ds} = \frac{\zeta' f_{b_3}}{v} \text{ სახე და მაშასადამე}$$

$$\operatorname{tg} \beta = \frac{m_v}{m_s} \frac{\zeta' f_{b_3}}{v} \quad (30)$$

სხვა სიტყვებით $\operatorname{tg} \beta$ პროპორციულია $\frac{f_{b_3}}{v}$ დამოკიდებულებისა.

თავის მხრივ, ეს დამოკიდებულებები წარმოადგენენ β' კუთხის ტანგენტს V დერძსა და Ob წრფეს შორის. თავიდანვე გატარებული O ორდინატა მოქმედი ძალის დიაგრამით $f_{b_3} = f(v)$ მრუდის b წერტილის გავლით v აბსცისის ტოლია. (იხ. ნახ. 4. ბ)

თუ $f = f(v)$ მრუდისათვის მიღებულია ძალის m_k და სიჩქარის m_k მასშტაბი მაშინ

$$\operatorname{tg} \beta' = \frac{m_k}{m'_u} \quad (31)$$

მასშტაბების შერჩევით შეიძლება უზრუნველვყოთ ტანგენსების და შესაბამისად β და β' კუთხების ტოლობა.

ვიპოვოთ საჭირო მასშტაბები (30) და (31) მარჯვენა გამოსახულებების ერთმანეთთან გატოლებით.

$$\frac{m_v}{m_s} \frac{\zeta' f_{b_3}}{v} = \frac{m_\omega f_{b_3}}{m'_v v}$$

ან შეკვეცის შემდეგ მივიღებთ:

$$\frac{\zeta' m_v}{m_s} = \frac{m_\omega}{m'_v} \quad (32)$$

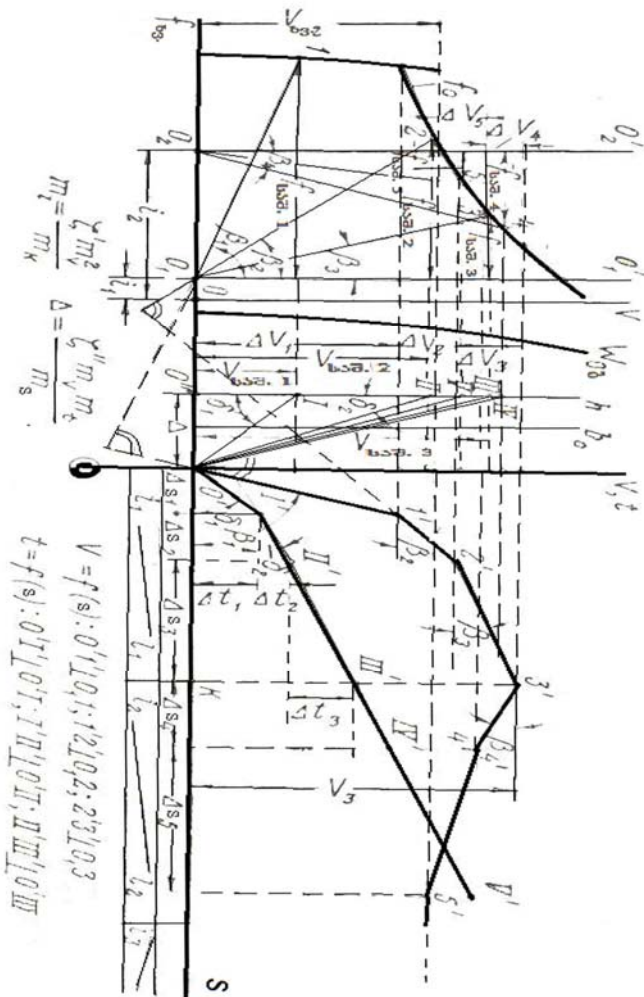
ამგვარად, ოთხი მასშტაბიდან მეოთხე მასშტაბის გამოთვლა ხდება (32)-ით. როგორც წესი, სიჩქარეების მასშტაბს იდებენ ერთი და იგივეს $m'_v = m_v$ და მიმართავენ ძალებისათვის მოსახერხებელ მასშტაბს, ხოლო გზის m_k მასშტაბს ანგარიშობენ

$$m_s = \frac{\zeta' m_v^2}{m_\omega} \quad (33)$$

მასშტაბების ასეთი არჩევა გამოწვეულია იმით, რომ m_s გზის მასშტაბი შეიძლება აღმოჩნდეს მოუხერხებელი. ყველაზე ხშირად საჭიროა გამოვიყენოთ მხოლოდ ერთხელ პროფილის დაზვერვისას ს დერძის მიხედვით, ასევე მასზე ძირითადი პუნქტების და სხვა ნიშნების დატანის დროს.

პრაქტიკულად $v = f(s)$ მრუდი აიგება შემდეგი თანმიმდევრობით. ირჩევენ m_v , m_s და m_ω მასშტაბებს, რომელიც აქმაყოფილებს (33) ტოლობას და მილიმეტრების დანაყოფის მქონე ქადალდზე ე.წ. „მილიმეტროვგაზე“ ხაზავენ $f_{b_3} = f(v)$ ხვედრითი თანაბარმოქმედი ძალების დიაგრამას სწორი და პორიზონტალური გზისათვის, როგორც საანგარიშო-გრაფიკული მეთოდის დროს, შემდეგ დააქვთ კუთხეების კოორდინატები, რომელთა დერძებიც არის v და s $v = f(s)$ მრუდისათვის. v -ს დერძი ორივე დიაგრამაში ტარდება ერთმანეთის პარალელურად.

მოქმედი ძალების f დერძს ათავსებენ s დემთან ერთად, მაგრამ s დერძის საწინააღმდეგოდ, როგორც ეს ნაჩვენებია ნახ. 5.-ზე.



ნახ. 5. მოძრაობის მრუდების აგება გზათა მიმოსვლის
სამინისტროს მეთოდით

s დერძის ქვეშ აღნიშნავენ პროფილის გარდატეხის წერტილებს, იწერენ გასწორებული ქანობების სიგრძეს, დააქვთ გაჩერების აღგილები და სიჩქარის შეზღუდვის საზღვრები და ა.შ. [1;2;3;4;5;6;7]

წარმოვიდგინოთ, რომ მოძრაობის მრუდები, როგორც ხშირად ხდება, იწყება მატარებლის დაძვრით, ამასთან პირველი პროფილის ელემენტს აქვს $+i_1$ დახრილობა. მას შემდეგ, რაც f_{b_3} დერძზე დააქვთ

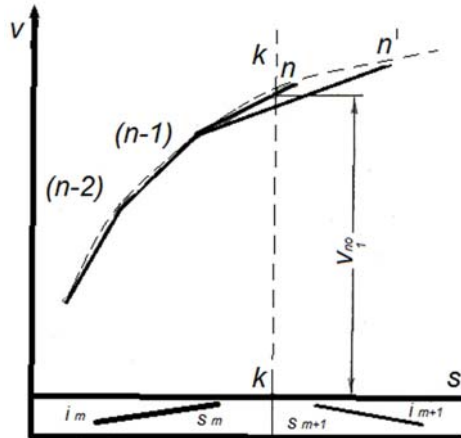
აღნიშნული სიჩქარის ინტერვალები $\Delta v_1, \Delta v_2, \dots$ და რომელიც ჩამორჩება $OO_1 = m_{\text{obj}} i_1$ მანძილით f_{b3} -ის O_1 დადებითი მიმართულებით. O_1 წერტილი საწყის პროფილზე წარმოადგენს საწყის კოორდინატს $f_{\text{b3}} = f(v)$ ხელდ-რითი ძალის დიაგრამაზე წევის რეჟიმისას. ამით ეს ძალები შემცირებულია [კგძ/ტ]

$f_0 = f(v)$ მრუდის $\Delta v_1, \Delta v_2, \dots$ საშუალო ინტერვალებში აღნიშნავენ 1, 2, ... წერტილებს, რომელთა ორდინატებიც ($O_1 O'_1$ ღერძამდე) $f_{\text{b3},1}, f_{\text{b3},2} \dots$ ამაჩქარებელი ძალებისა საშუალო $v_{\text{b3},1}, v_{\text{b3},2}, \dots$ სიჩქარის შესაბამის ინტერვალებში ტოლია. O_1 -დან 1, 2, ... წერტილებში გატარებული სხივები ქმნიან V დერძთან $\beta_1, \beta_2 \dots$

შემდეგ უშუალოდ იწყებენ $v = f(s)$ მრუდის აგებას გადასარტენის საწყისი O' წერტილიდან ავლებენ $O'1'$ სხივს β_1 კუთხით, Δv_1 ინტერ-ვალის ფარგლებში 1' წერტილამდე. ღერძების მიღებული განთავსები-სას მოქმედი ძალების დიაგრამების ასაგებად საკმარისია გავატაროთ O' წერტილში 0_{11} , პერპენდიკულარულად სხივი სწორი და მართკუთხა სამკუთხედებით ზემოთ აღნიშნულის თანახმად $O'1'$ პროექცია s ღერძზე ტოლია Δs_1 -ის, m_s გზის მასშტაბში. $v = f(s)$ მრუდის მიღებული 1' წერტილიდან ატარებენ წრფეს 1'2', Δv_2 ინტერვალის ფარგლებში 0_{12} -ის, მართობულად 2' წერტილამდე. 1'2' მონაკვეთის პროექცია s ღერძზე გამოსახავს Δs_2 . 2' წერტილიდან ატარებენ 2'3' წრფეს, O_{13} , სხივის პარალელურად და ა.შ. როგორც ნახ. 5-ზე არის ნაჩვენები. ასეთი წესით აგება აგტომატურად განაპირობებს Δs ზედდებას, ამიტომაც ნების-მიერი აბსცისა წარმოადგენს მატარებლის მიერ განვლილ გზას, მატარებლის მოძრაობის დაწყებიდან. თუ მიღებულ წერტილებს 1'2' შევაერთებთ ლეკალოს სახაზავის მეშვეობით მივიღებთ $v = f(s)$ საბო-ლოო სახეს. ამ მრუდს ჩვეულებრივ არ ატარებენ და შემოიზღუდებიან ნახაზზე მათი ქორდებით, როგორც ეს ნახ. 5-ზეა ნაჩვენები.

შემდგომ ქანობის ელემენტზე $+i_2$ მრუდს $v = f(s)$ აგებენ ანალი-ზურად, მაგრამ იმ სიჩქარიდან, რომელთა წინა პროფილის K ბოლოზეა მიღებული და მოქმედი ძალების დიაგრამაზე აღნიშნავენ ახალ საწყის კოორდინატს O_2 , რომელიც ჩამორჩება O წერტილს $OO_2 = m_{\text{ki}} i_2$

მანძილით. წარმოვიდგინოთ, რომ მატარებელი გადის სხვა ელემენტები ზუსტად 3' წერტილზე V_3 სიჩქარით და აგრძელებს მოძრაობას დენის მოხმარებით. იმდენად, რამდენადაც საწყისი სიჩქარე V_3 მეტია V_2 მატარებლისათვის 12 აღმართისათვის დადგენილ სიჩქარეზე, სიჩქარე დაიწყებს შემცირებას და ამიტომ აუცილებელია მივმართოდ Δv -ს საწინააღმდეგო გარდაჯმნებს. ნახ. 5-ზე (მარცხნივ) $V_3 - V_2$ სხვაობა დაყოფილია Δv_4 და Δv_5 ინტერვალებად.



ნახ. 6. ქანობის ელემენტის ცვლილების შემთხვევაში გადასვლის საწყისი სიჩქარის განაზღვრა K წერტილში

$f_o = f(v)$ მრუდზე Δv_4 და Δv_5 ინტერვალების შუალედებში აღნიშნავენ 4 და 5 წერტილებს, რომლებსაც აერთებენ სხივებით O_2 -თან. 3' წერტილიდან O_24 სხივის პერპენდიკულარულად Δv_4 ინტერვალის ფარგლებში ატარებენ წრფეს 3'4' და 4'-დან წრფეს 4'5'-ს O_2 5 სხივის პერპენდიკულარულად. 5' წერტილიდან მატარებელი იმოძრავებს დადგენილი სიჩქარით V_{b2} , შემდეგ პროფილამდე.

ხშირად მრუდის აგებისას გზის რომელიმე i_m ქანობის ელემენტისათვის ნაპოვნი საბოლოო წერტილი, ზუსტად არ ემთხვევა ქანობის დასასრულის K წერტილს, როგორც ეს ნაჩვენებია (ნახ. 5). ამ შემთხვევაში აუცილებელია ვიპოვოთ K წერტილში სიჩქარე, რომელიც მოძრაობის მრუდის შემდგომი აგებისას იქნება საწყისი. თუ წერტილი პროფილის დასასრულთან ახლოს აღმოჩნდა (ორდინატი KK) როგორც

მაგალითად n წერტილი (ნახ. 6.), მაშინ სიჩქარე V_{no} შეიძლება მიახლოებით ჩავთვალოთ KK წრფისა და $(n-1)$ -ი ქორდის გადაკვეთის წერტილის ორდინატის ტოლად, ნაჩვენები KK წრფიდან წერტილის მნიშვნელოვანი დაცილებისას (მაგ: n' წერტილი) შეიძლება მივმართოდ სიჩქარის პატარა ინტერვალებს $\Delta v_n < \Delta v_{n'}$, რათა წერტილის შემდგომი აგებისას ის აღმოჩნდეს KK წრფის სიახლოვეს.

V_{no} მოძებნის მარტივი გზა მდგომარეობს შემდეგში, რომ $v = f(s)$ აგებულ წერტილებზე n ან n' -ის ჩათვლით ატარებენ მდორე მრუდს (იხ. ნახ. 6) ამ მრუდის KK წრფესთან გადაკვეთის ორდინატა განსაზღვრავს V_{no} .

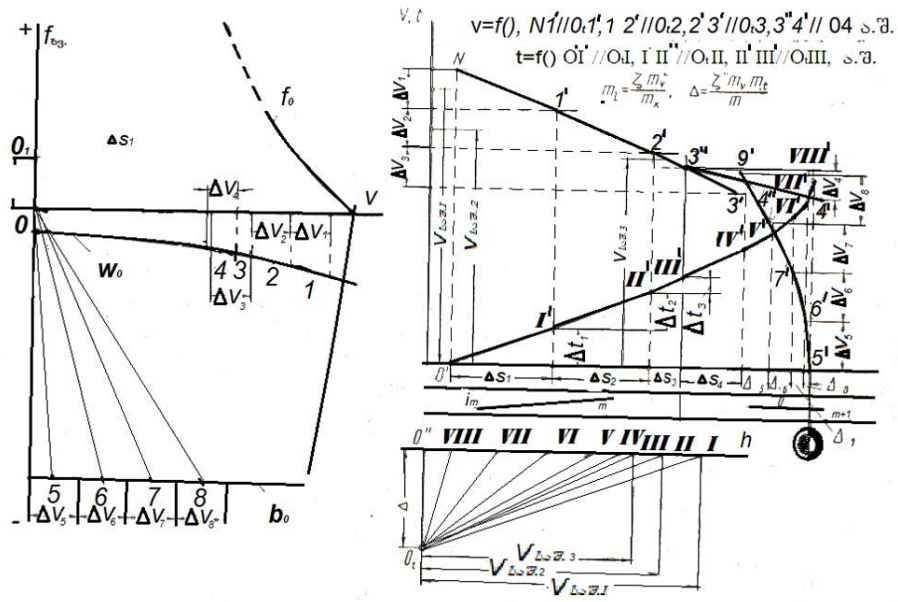
β კუთხეები შეიძლება ავაგოთ პარალელური წრფეებისა და არა პერპენდიკულარების გატარებით როგორც ნახ. 5-ზე თუ თანაბარ-მოქმედი ძალების $f_{\text{ხვ}} = f(v)$ დიაგრამას მოვაბრუნებთ 90° გრადუსით საათის ისრის მიმართულებით ისე, რომ V დერძი იყოს პარალელური s დერძისა და $f_{\text{ხვ}}$ დერძი – პარალელური V დერძის კოორდინატთა V, S სისტემის. პარალელური წრფეები ტარდება უფრო ზუსტად, ვიდრე პერპენდიკულარები, ვინაიდან აგების სისტორეზე არ მოქმედებს სამკუთხედის სტორი კუთხის სისტორე, ბევრი ავტორი უპირატესობას ანიჭებს მოძრაობის მრუდების აგებისას გამოიყენონ პარალელური წრფეები.

ნახ. 7-ზე ნაჩვენებია გორვის და სამომსახურეო დამუხრუჭების მრუდების აგება, რომელიც წარმოებს პარალელური წრფეების გატარებით შესაბამის $O_{11}, O_{12} \dots$ სხივებთან. $t = f(s)$ მრუდის აგება გზათა მიმოსვლის სამინისტროს მეთოდით.

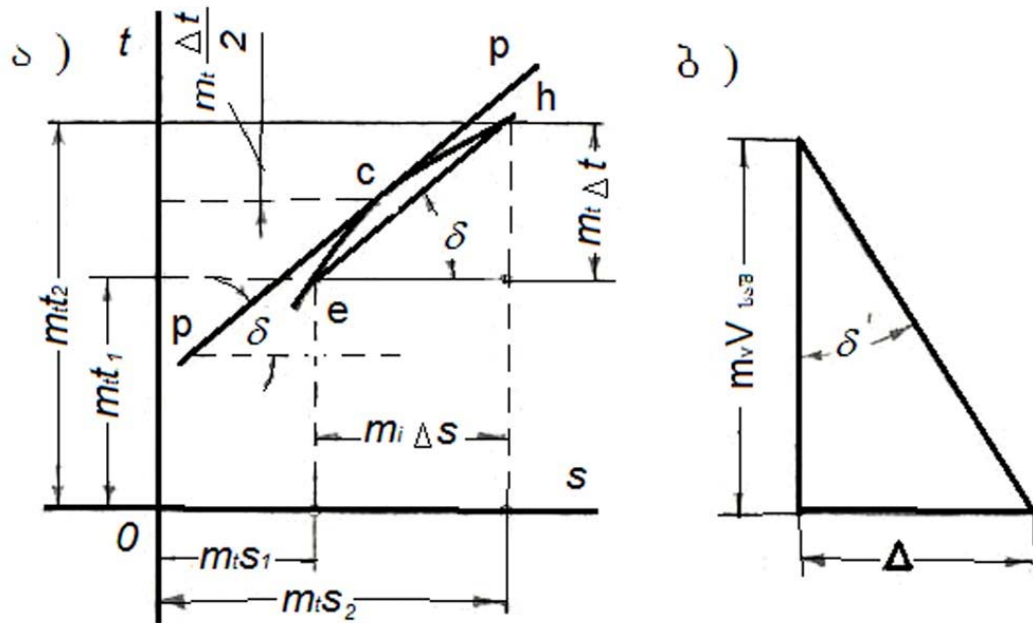
$t = f(s)$ დამოკიდებულებას გრაფიკულად ანგარიშობენ მანამდე აგებული მრუდის დახმარებით. თანაბარ-აჩქარებული მოძრაობისას მრუდი $t=f(s)$ ასევე პარაბოლას წარმოადგენს. ამიტომ Δs გზის ნებისმიერი გარდაქმნისას პარაბოლას მხები Δt საშუალო მნიშვნელობისას იქნება პარაბოლას ქორდის პარალელური. ამ მიზეზით pp მხების და eh ქორდის დახრის კუთხეები s დერძთან იქნება ერთნაირი (ნახ. 8. a.) მხების კუთხური კოეფიციენტი ტოლია:

$$tg = \frac{m_t \Delta t}{m_s \Delta s} = \frac{m_t}{m_s \left(\frac{\Delta s}{\Delta t} \right)}$$

სადაც m_t – დროის მასშტაბია



ნახ. 7. გორგის და სამომსახურეო დამუხრუჭების მრუდების აგება
პარალელური წრფეების მეშვეობით



ნახ. 8.. დროის m_t მასშტაბის შერჩევის მეთოდიება

(27) განტოლებიდან გვაქვს

$$\frac{\Delta s}{\Delta t} = \frac{v_{bsd}}{\zeta''},$$

შესაბამისად

$$tg\delta = \frac{m_t \zeta''}{m_s v_{bsd}}, \quad (34)$$

V_{bs} სიჩქარეს გპოულობთ $v = f(s)$ მრუდის მეშვეობით, როგორც საშუალო არითმეტიკულის Δv ინტერვალში, რომელიც პასუხობს Δs -ს. ნახაზზე პროპორციული სიდიდის $1/V_{bs}$ მისაღებად აგებენ (ნახ. 8,ბ) მართკუთხა სამკუთხედს, რომლის ერთი კათეტიც V_{bs} -ის, ხოლო მეორე კათეტის სიგრძე Δ მუდმივის ტოლია. გპოულობთ Δ კათეტის მოპირდაპირე კათეტის δ' კუთხის ტანგენს

$$tg\delta' = \frac{\Delta}{m_v v_{bsd}} \quad (35)$$

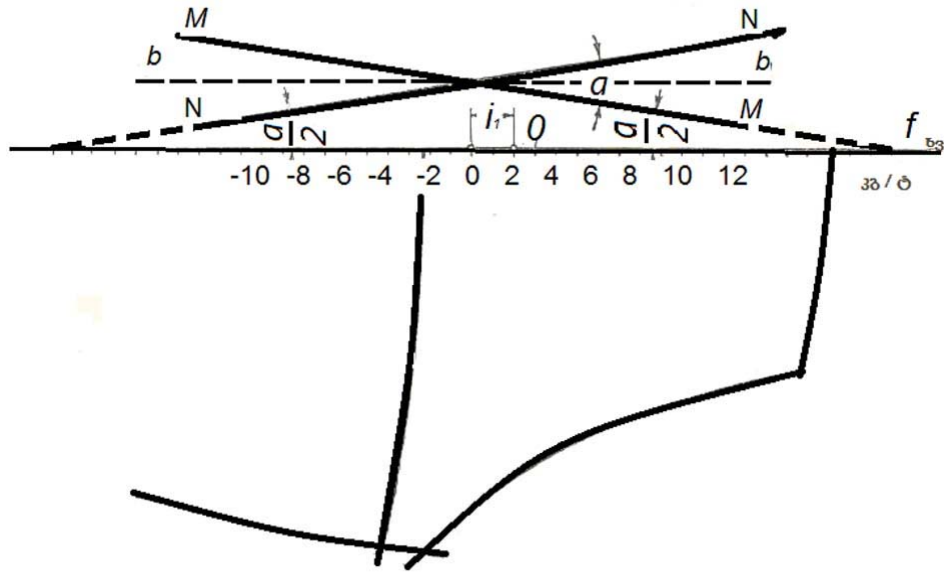
თუ დავუშვებთ, რომ $\delta = \delta'$ კუთხეები ტოლია (34) და (35) გუტოლებთ ერთმანეთში, ვიდებთ:

$$\Delta = \frac{\zeta'' m_t m_v}{m_s} \quad (36)$$

ეს ხერხი საშუალებას იძლევა გრაფიკულად ვიპოვოთ δ მხების დახრის კუთხეები Δs გზის მიმდევრობითი ინტერვალებისათვის, რომელიც მიღებულია $v = f(s)$ მრუდის ასაგებად.

გავატარებთ რა δ ნაპოვნი კუთხეებით S დერძის მიმართ ქორდებს, Δs ინტერვალის ფარგლებში გპოულობთ $\Delta t = m_s \Delta s t g \delta$ დროს და შესაბამისად $t = f(s)$ მრუდის წერტილებს.

ნახ. 9. პრაქტიკულად Δ კათეტი, რომელსაც „პოლუსურ მანძილს“ უწოდებენ, მოსახერხებელია გავატაროთ s დერძის მიმართ მისი საწინააღმდეგო მიმართულებით, მაგალითად O' წერტილიდან, როგორც ნაჩვენებია ნახ. 5-ზე. O" პოლუსური მანძილის ბოლოდან ვატარებთ O" h დერძს, V დერძის პარალელურად; მასზე აღნიშნავენ I, II, ... წერტილებს, რომლებიც პასუხობენ $V_{bs1}, V_{bs2} \dots$ საშუალო სიჩქარეებს და ატარებთ O'I, O"II სხივების მართობულად, როგორც ეს ნაჩვენებია ნახ. 5-ზე.



ნახ. 9. გზის პროფილის ცვლილების შემთხვევაში პოლუსური მანძილის ცვლილება მატარებლის მოძრაობის რეჟიმების გათვალისწინებით

თუ B პოლუსურ მანძილს მოვაბრუნებთ დერძთან ერთად 90° -ით საათის ისრის მიმართულებით, $O'I$, $O''I$ საჭიროა მოვაბრუნოთ არა პერპენდიკულარულად, არამედ შესაბამისი სხივების პარალელურად. ამ შემთხვევისათვის ნახ. 7-ზე ნაჩვენებია პოლუსური მანძილის და მისი $O''h$ მართობული დერძის განლაგება, რომლის მიხედვითაც დებენ საშუალო სიჩქარეებს და ამ მეთოდით აგებენ $t = f(s)$ მრუდს გორგისა და სამუხრუჭო რეჟიმებისათვის.

ცხრ. 2-ში მოყვანილია მასშტაბები, რომელთა გამოყენებაც მოსახურებელია მოძრაობის მრუდების გრაფიკული მეთოდით აგებისას. ელექტრომავლის წევისათვის, სამუხრუჭო და სხვა სპეციალური გაანგარიშებისათვის მასშტაბების მნიშვნელობა რეკომენდებულია -ის წევის გაანგარიშების წესების ($\overline{v} \cdot \overline{g} \cdot \overline{v}$) მიერ. ცხრილში 2. მითითებულია მასშტაბების გაანგარიშებისათვის საჭირო მბრუნავი ნაწილების ინერციის $(1+\gamma)$ კოეფიციენტები. $(1+\gamma)-$ ს სხვა მნიშვნელობებისას, მასშტაბები აუცილებელია ვიანგარიშოთ (33) და (36) გამოსახულებებით.

ცხრილი 2.

წ.გ.წ.-ს მიერ რეკომენდებული მასშტაბები მოძრაობის მრუდების
გრაფიკული მეთოდით გაანგარიშებისათვის

მასშტაბები	სატვირთო და სამგზავრო მატარებლების ი-სათვის $(1+\gamma)=1,06$			ელ.მატარე ბ- ლებისათვი ს $(1+\gamma)=1,06$		სამუხრ. და სხვა სპეც. გამოვლენ- ბისათვის $(1+\gamma)=1,06$		მეტროპო ლი- ტენისათვი ს $(1+\gamma)=1,1$	
	1	2	3	1	2	1	2	1	2
m_{v1} მმ/კგძ/სთ	2	1	2	1	1,5	2	1	2	1
m_{k1} მმ/კგძ/გ	12	6	10	2	3	2	1	2	1
m_{s1} მმ/კგძ	40	20	48	60	90	240	120	230	115
m_{tl} მმ/წთ	10	10	10	50	50	-	-	100	50
Δ_1 მმ	30	30	25	50	50	-	-	52	26

1.9 მატარებლის მოძრაობის განტოლების ინტეგრირების რიცხვითი მეთოდი

ცნობილია მატარებლის მოძრაობის განტოლების რიცხვითი მეთო-
დით ინტეგრირება, რომელიც შეიძლება დავყოთ სამ ჯგუდად საერთო
ინტერვალის მწკრივებად დაშლა; თანდათანობით მიახლოების მეთოდის
გამოყენებით; მიახლოებითი რიცხვითი ინტეგრირება. [12]

დიფერენციალური განტოლებების ციფრულ ამონსნას საფუძველი
დაუდო ლ. ილერმა. [13]

ვთქვათ საძიებელი ფუნქცია განისაზღვრება დიფერენციალური
განტოლებით

$$\frac{dy}{dx} = \varphi(x, y).$$

საწყისი პირობებით $y(x_0) = y_0$, თუ ავირჩევთ რაღაც ბიჯს h ,
მივიღებთ რომ ვიდრე X მრუდებს X_0 -სა და $X_0 + h$ -ს შორის y

მცირედ განსხვავდება $y_0 - y$ -ისგან და $\frac{dy}{dx}$ ინარჩუნებს

მუდმივ მნიშვნელობას $\varphi(x, y)$. მაშინ განსახილველი ინტერვალისათვის შეიძლება დავწეროთ:

$$y = y_0 + (x - x_0) \cdot \varphi(x_0, y_0).$$

როცა $x = x_0 + h$

$$y = y_0 + h \varphi(x_0, y_0) = (x - x_0)y_1$$

მეორე ინტერვალისათვის, როცა $x = x_0 + 2h$

$$y = y_0 + h \varphi(x_1, y_1) = y_2$$

და ა.შ. მივიღებთ $\frac{d}{dx} \varphi(x, y)$ ერთობლიობას კორდინატებით $x_i - x_i$, არის ტენის საზის წვეროები და $\frac{d}{dx} \varphi(x, y)$ განტლების მიახლოებით ამოხსნას. საერთო სახით ნებისმიერი i -სთვის შეიძლება დავწეროთ

$$y_{i+1} = y_i + h \varphi(x_i, y_i) \quad (i = 0, 1, 2, \dots).$$

რაც უფრო მცირეა h , მით უფრო ახლოსაა მიღებული $\frac{d}{dx} \varphi$ სამიებელ ინტეგრალურ მრუდთან $y = y(x)$. მაგრამ რაც უნდა მცირე იყოს ბიჯი, $\frac{d}{dx} \varphi$ ცდომილებები იკრიბება, გროვდება და აღწევს საკმაოდ დიდ სიდიდეს, მითუმეტეს იმ შემთხვევაში, როცა ფუნქცია სწრაფად იცვლება ერთი ბიჯიდან მეორე ბიჯში გადასვლისას მის მოდიფიკაციას ეილერი-კოშის დაზუსტებული მეთოდით შეიძლება თეორიულად გავუკეთოთ რეალიზაცია გამოთვლით მანქანებში სპეციალურად $\frac{d}{dx} \varphi$ გაანგარიშებისათვის გამოყენება პპოვა $y = y(x)$ ფუნქციის დაშლამ ტეილორის ან მაკლარენის მწკრივებად. [9;13]

$$y(x+h) = y(x) + \frac{h}{1!} y'(x) + \frac{h^2}{2!} y''(x) + \dots + \frac{h^n}{n!} y^{(n)}(x) + f_n$$

სადაც f_n – არის მწკრივის ნაშთი.

თუ გამოვიყენებთ ამ მწკრივის პირველ ორ $\frac{d}{dx} \varphi$ მაშინ მივიღებთ დიფერენციალური განტლების რიცხვითი ამოხსნის ეილერის ზემოთ აღნიშნულ მეთოდს. $\frac{d}{dx} \varphi$ გაანგარიშების $\frac{d}{dx} \varphi$ ელექტრონულ-გამომთვლელ მანქანებზე გამოსაყენებლად რეკომენდაციას იძლევა, რომ ბოლო მწკრივიდან გამოვიყენოთ პირველი სამი $\frac{d}{dx} \varphi$. [11]

ელექტრონულ გამომთვლელ მანქანებზე წევის გაანგარიშების ჩატარებისას საჭიროა გამოყენებულ იქნას შემდეგი რეკომენდაციები: თითოეული გზა უნდა დაიყოს ცალკეულ უბნებად, რომლისთვისაც გაიცემა დამოუკიდებელი დავალებები და მის საფუძველზე ჩატარდეს წევის გაანგარიშებები. უბნის საზღვრად აიდება სადგურები, საწარმოების მატარებლის მასის ნორმის გარდატეხა, ელექტრომავლის ან სალოკომატივო ბრიგადის შეცვლა და ა.შ. უბნისათვის უნდა გვქონდეს შემდეგი ინფორმაცია, რომელიც მზადდება ბიბლიოთეკის სახით, სადაც ამ საანგარიშო უბანს მიეკუთვნება განსაზღვრული შიფრი. თითოეულ საანგარიშო უბანზე უნდა გვქონდეს შემდეგი ცნობები: უბნის შიფრი; უბანზე კავშირის სახე; უბნის პროფილი; გამყოფი პუნქტების ჩამონათვალი გადასარბენების დერმებს შორის მანძილის და დერმიდან შესასვლელ და გამოსასვლელ შუქნიშნამდე მანძილის ჩვენებით; გზის უბნის მოსახვევების რაოდენობა. დასაშვები სიჩქარეები; მოძრაობის სიჩქარეები მთავარ და სასადგურე გზებზე; ინფორმაცია მოძრავ შემადგენლობაზე – ელექტრომავლების და ელექტრომატარებლების სერია, საანგარიშო მასა და კონსტრუქციული სიჩქარე, წევის მახასიათებლები $F_3 = F_3(v)$, ელექტრომავლის და ელექტრომატარებლების დენის მუშა მახასიათებლები $I_3 = I_3(v)$, წევის ძრავის სითბური მახასითებლები, სამუხრუჭე და დენის მახასიათებლები თუ განიხილება რეკუპერაციული დამუხრუჭება და მონაცემები სავაგონო პარკის შესახებ.

მთლიანი ინფორმაცია უბნებზე, მოძრავ შემადგენლობაზე გაივლის წინასწარ დამუშავებას და ორგანიზდება შესაბამისი ბიბლიოთეკებით, რომელიც ინახება მანქანის გარე მეხსიერებაში. გაანგარიშების შედეგად უნდა მივიღოთ შემდეგი რეზულტატები: სვლის და დამუხრუჭების დრო გადასარბენზე, ენერგიის ხარჯის სიდიდე გადასარბენებზე ელექტრომავლის მოძრაობის რეჟიმების მიხედვით უნდა შემოწმდეს წევის ძრავები გახურებაზე, შეიძლება გამომთვლელმა მანქანამ ცალკე წარმოადგინოს გრაფიკები $v = v(s); t = (s)$.

გამოთვლითი ტექნიკის გამოყენება მოძრაობის განტოლების, როგორც ანალიზური, ისე რიცხვითი მეთოდით ამოხსნისას როგორდება მოსამზადებელი სამუშაოს ჩატარების გამო, განსაკუთრებით ბიჯის შერჩევისას, ეს გამოწვეულია იმით, რომ რკინიგზის გრძივი პროფილის

მონაცემები მოიცავს მანძილის მონაკვეთებს Δs – სიგრძით 100, 150, 200, 250მ-ს, რომლის ფარგლებშიც იცვლება როგორც ქანობი, ისე მოსახვევების რადიუსები და რკალის სიგრძეები. და ამის რეალური ასახვა პროგრამაში პრაქტიკულად შეუძლებელია, რადგან პროგრამირების დროს უნდა შემოვიდოთ ცვალებადი ბიჯი, რომლის დასაწყისის და ბოლოს ფიქსირება პრაქტიკულად შეუძლებელია.

ჯერ კიდევ XX-ე საუკუნის დასაწყისში შეიქმნა პირველი მატარებლის მოძრაობის განტოლების ინტეგრატორები, რომლებიც ეფუძნებოდენ მოქმედების მექანიკურ (ა.ნ. კრილოვის ინტეგრატორი) და ელექტრომექანიკურ (ამსლერის ინტეგრატორი) პრინციპებს. არცერთ ხსენებულ მანქანას არ გააჩნდა მოქმედების მაღალი სისწრაფე და ამიტომ დიდი გავრცელება ამ მანქანება ვერ პპოვეს.

1954წ. შეიქმნა წევის გაანგარიშების ჩატარების ავტომატი ე.წ. (ATP), რომელიც ეფუძნებოდა სპეციალური მოქმედებების ბლოკების და ფუნქციონალური გარდასახების მოქმედებებს. ეს მანქანები ახორციელებდენ ალგებრულ შეკრებებს, ინტეგრირებას და სხვა ოპერაციებს მანქანაში მოდელირებული სიდიდეების გამოყენებით, რისთვისაც მოძრაობის განტოლებაში შემავალი მოქმედი ცვლადები $x_1, x_2, \dots x_n$, წარმოდგებოდა შესაბაბისი ძაბვების სახით. ამ ბლოკების მეშვეობით ხდებოდა ხვედრითი ძალების აპროქსიმაცია და წარმოებდა მოძრაობის განტოლების მიახლოებითი ინტეგრირება. ასეთი სახით ცვლადების შეყვანა ოპერატორისათვის წარმოადგენდა მეტად რთულ სამუშაოს და მოითხოვდა დიდ დროს, რადგან ასეთივე მეთოდით ხდებოდა გზის პროფილის მოდელირებაც და წინაღობების მნიშვნელობების შეყვანა ხდებოდა პოტენციომეტრის გამოყენებით. ამ სირთულეების გამო ავტომატის გამოყენება დიდ პრობლემებთან იყო დაკავშირებული.

მიუხედავად აღნიშნული მანქანების შემდგომი დახვეწისა და ექსპლუატაციის გამოცდილებამ აჩვენა, რომ უფრო ეფექტური იყო წევის გაანგარიშების ჩატარება ე.გ.მ-ის გამოყენებით.

2. შეღებები და მათი განსჯა

2.1 წევის გაანგარისებისათვის საჭირო მოსამზადებელი სამუშაოს ჩატარების სტრუქტურა

2.1.1 პროფილის გასწორება

მატარებლის მოძრაობის განტოლების გადაწყვეტა გრაფიკული მეთოდით, გარდა ამაჩქარებელი და შემანელებელი ძალების დიაგრამებისა, ყოველი მოძრაობის რეჟიმისათვის აუცილებელია, რომ ვიცოდეთ მოძრაობის დამატებითი წინააღმდეგობის ძალების მნიშვნელობები [14].

რეინიგზის რელიეფი შედგება რიგი მიმდევრობით განლაგებული ელემენტებისაგან, რომელიც განსხვავდება ქანობის დახრილობით და ზოგიერთ მათგანზე სხვადასხვა რადიუსის მქონე მრუდებისაგან. გაანგარიშებების გამარტივებისათვის და მათი სიზუსტის ამაღლებისათვის ერთი ელემენტიდან მეორეზე გადასვლის დროს მოცემულ პროფილს ამუშავებენ-ასწორებენ პროფილში და გეგმაში. მოცემულ მოძრაობის დამატებით წინააღმდეგობას ითვალისწინებენ $V(s)$ მრუდის აგების დროს. [1;2;3;4;5;6;7;10;11;15]

პროფილის ელემენტების გასწორება გულისხმობს რამოდენომე მეზობლად განლაგებული ელემენტების შეცვლას (რომლებიც დიდად არ უნდა განსხვავდებოდეს). გამომდინარე აქედან, გასწორებული პროფილის ელემენტი განისაზღვრება:

$$i_c' = \frac{\sum i_i s_i}{\sum s_i} \quad (37)$$

სადაც i_c' – გასწორებული ქანობის ელემენტია, %;

i_i – თითოეული გასასწორებელი ელემენტის ქანობი, %;

s_i – თითოეული გასასწორებელი ელემენტის სიგრძე, %;

იმ შემთხვევაში, როცა მოცემულია არა ქანობები, არამედ სიმაღლეები ზღვის დონიდან, სიდიდე i_c' განისაზღვრება, როგორც:

$$i_c' = 1000 \cdot (H_{b\delta V} - H_{g\delta b}) / S_c \quad (38)$$

სადაც $H_{\text{საწ}}.$ და $H_{\text{დას.}}$ – სიმაღლეა, ჟესაბამისად, დასაწყისია და დასასრულია გასწორებული ელემენტისა ზღვის დონიდან, მ;

სა - გასწორებული ელემენტის სიგრძე, მ.

თუ გავასწორებთ ელემენტებს, რომლებიც დიდად განსხვავდება ქანობის დახრილობით, მაშინ მოცემული ფორმულით გაანგარიშება იძლევა დამატებით ცდომილებას. ამიტომ წევის გაანგარიშების წესებში მოყვანილია ემპირიული ფორმულა პროფილის ელემენტების შესამოწმებლად, რათა ცდომილება იყოს დასაშვებ ფარგლებში.

$$S_i \leq \frac{2000}{\Delta i} \quad (39)$$

მიახლოვებით გამოთვლებისათვის შეიძლება ვისარგებლოთ

$$S_i \leq \frac{4000}{i}$$

სადაც $\Delta i = |i_c - i_i|$ – აბსოლიტური სხვაობაა (ნიშნის გათვალისწინების გარეშე) გასწორებულ და შემოწმებულ ქანობის ელემენტებს შორის.

(39) ფორმულით მოწმდება ყოველი გასწორებული კლემენტი.

დამატებითი წინააღმდეგობის გადასალახავად, რომელიც წარმოიქმნება მატარებლის მოძრაობის დროს მრუდებში, ითვალისწინება მთელი გასწორებული S_c უბნის ფარგლებში (ან თუ არ სწორდება, სი ელემენტის ფარგლებში) და არა მრუდის სიგრძის ფარგლებში. ეს დამატებითი წინააღმდეგობა წრფივ აღმართზე ეწ. ფიქტიურ і. აღმართზე. რამდენიმე მრუდის არსებობისას ელემენტზე მას განსაზღვრავენ ფორმულით:

$$i_c'' = \frac{700}{S_c} \sum \left(\frac{s_{\delta i}}{R_i} \right) \text{ s6 } i_c'' = 12,2 \frac{\sum \alpha_i^0}{S_c} \quad (40)$$

სადაც i_c "-ფიქტური აღმართია, %;

$S_{\delta i}$ – გასწორებულ ელემენტის თითოეული მრუდის სიგრძეა.

R_i – თითოეული მრავდის რადიუსია, მ;

და "i" ჯამს საბოლოო ან მოყვანილ ქანობს უწოდებენ.

$$i_c = i_c' + i_c'' \quad (41)$$

აღმართზე i_c იქნება „+“ ნიშნით, დაღმართზე „-“ ნიშნით. i_c სიდიდეს ყოველთვის აქვს „+“ ნიშანი.

2.1.2 შემადგენლობის მასისა და წონის განსაზღვრა

საყოველთაოდ ცნობილია, რომ ტვირთების გადაზიდვა გაცილებით მომგებიანია დიდი მასის მქონე სატვირთო მატარებლების შემთხვევაში. ამ დროს იზრდება რკინიგზის გამტარუნარიანობა, მცირდება თვითდირებულება და იზრდება გადაზიდვების ექონომიკური მხარე, თუმცა აღნიშნული სიტუაცია მოითხოვს ლოკომოტივის წევის ძალის და სიმძლავრის ზრდას.

შემადგენლობის მასას სატვირთო მატარებლებისათვის განსაზღვრავენ ლოკომოტივის მაქსიმალური წევის ძალის პირობის გათვალისწინებით შესაძლო მაქსიმალურ ქანობზე მოძრაობისას, მიღებულ შემადგენლობის მასას ამოწმებენ ადგილიდან დაძვრის და სადგურის ლიანდაგებში ჩატევის პირობით. სამგზავრო მატარებლების მასას განსაზღვრავს წევის გაანგარიშების წესები. [11]

მატარებლის მასის გაანგარიშების წინ აანალიზებენ უბნის პროფილს და ირჩევენ ყველაზე დიდ აღმართს. ყველაზე ციცაბო აღმართი, რომელსაც გააჩნია შედარებით დიდი გავრცელების სიდიდე, რომელზე მოძრაობისასაც სიჩქარე მცირდება და აღწევს (წ.გ.წ.) –ით დასაშვებ მნიშვნელობას განიხილავენ, როგორც საანგარიშოს, ხოლო ლოკომოტივის მიურ განვითარებულ წევის ძალას ასევე თვლიან საანგარიშოდ [16]

იმ შემთხვევაში, როცა ყველაზე ციცაბო აღმართს აქვს მცირე გავრცელების სიდიდე და მის წინ განლაგებულია მსუბუქი ელემენტების პროფილები, მატარებლის მასას განსაზღვრავენ შერჩევის მეთოდით, კინეტიკური ენერგიის გათვალისწინებით.

თანაბარი მოძრაობის დროს საანგარიშო ქანობზე საანგარიშო წევის ძალა ტოლია მატარებლის წინააღმდეგობის ძალებისა.

$$F_{\text{ხაან.}} = m_{\text{ლ}} g \left(W_0' + i_{\text{ს.ქ}} \right) + m_{\text{ვ}} g \left(W_0'' + i_{\text{ს.ქ}} \right) \quad (42)$$

სადაც $F_{\text{ხაან.}}$ – ლოკომოტივის საანგარიშო წევის ძალა, ნ, რომელიც აიღება წევის გაანგარიშების წესებიდან.

$i_{\text{ს.ქ}}$ – საანგარიშო ქანობია (მრუდის გათვალისწინებით) %.

ამ განტოლებიდან ვპოულობთ შემადგენლობის მასას, ტ,

$$m_{\text{ვ}} = \frac{F_{\text{ხაან.}} - m_{\text{ლ}} g \left(W_0' + i_{\text{ს.ქ}} \right)}{\left(W_0'' + i_{\text{ს.ქ}} \right) g} \quad (43)$$

საანგარიშო ქანობზე ელმავლებისათვის $R < 800\Omega$ და თბომავლებისათვის მრუდის არსებობისას, საანგარიშო წევის ძალა მცირდება საანგარიშო ჩაჭიდების კოეფიციენტის შესაბამისად, რომელიც ფასდება $K_{\text{ხაან.}}$.

ჩაჭიდების კოეფიციენტის შემცირების გათვალისწინებით საანგარიშო და რთულ ქანობზე რამდენიმე მრუდის მოძრაობისას, რომლებიც განლაგებულია გზის გასწორებულ უბანზე, როგორც წესი 2-3 კმ, აუცილებელია განისაზღვროს ლოკომოტივის წევის ძალის ეკვივალენტური შემცირების კოეფიციენტი. [1]

$$K_{\text{ხაან.}} = \sum K_{\text{ჩ. } i} S_{\text{ხაან. } i} / S_{\text{ვ}}$$

თუ მატარებელი მოძრაობს პატარა გავრცელების მქონე ქანობზე და სიჩქარის დამყარება არ მიიღწევა, მაშინ მატარებლის მასა განისაზღვრება შემდეგი ფორმით. იღებენ მცირე ციცაბო ქანობს, მაგრამ დიდი გავრცელებისას და (43) ფორმულით საზღვრავენ მატარებლის წონას, შერმდგომ შემადგენლობას ამოწმებენ უდიდეს ციცაბო ქანობზე გავლაზე, კინებიკური ენერგიის შემოწმებით ანალიზურად ან გრაფიკული მეთოდით. იმის გამო, რომ სიჩქარე, რომლითაც ის უახლოვდება ამ ქანობს, უცნობია, გაანგარიშება წარმოებს იმ ადგილიდან სადაც სიჩქარე ცნობილია: გასაჩერებელი ადგილიდან, სიჩქარის შეზღუდვის ადგილამდე და ა.შ.

ანალიზური მეთოდით საზღვრავენ მანძილს, რომელსაც გადის მატარებელი მას შემდეგ, რაც შეიცვლება სიჩქარე იმ ნიშნულამდე, რომლითაც ის მიუახლოვდება უდიდეს საანგარიშო ქანობს.

(კინებიკური ენერგიის გათვალისწინებით)

$$S = \sum S_i = \sum \frac{4,17(V_{\text{ხაწ.i}}^2 - V_{\text{დას.i}}^2)}{(f_k - W_k)i} \quad (44)$$

სადაც $V_{\text{ხაწ.i}}$, $V_{\text{დას.i}}$ – სიჩქარეა შესაბამისად ინტერგალის დასაწყისსა და დასასრულში კმ/სთ;

S_i – მანძილია, რომელსაც გადის მატარებელი $V_{\text{ხაწ.i}}$ და $V_{\text{დას.i}}$ სიჩქარის დროს მ;

$(f_k - W_k)$ – საშუალო ხვედრითი ამაჩქარებელი ძალაა, რომელიც მოქმედებს $V_{\text{ხაწ.i}} - V_{\text{დას.i}}$ სიჩქარის ინტერგალში 6/კნ.

ანგარიშის სიზუსტის ასამაღლებლად აუცილებელია $V_{\text{ხაწ.i}} - V_{\text{დას.i}}$ ავიდოთ არაუმეტეს 10 კმ/სთ. თუ S მანძილს მონაკვეთების ჯამი ტოლი იქნება უდიდესი ქანობის, ან გადააჭარბებს მას, მატარებელი შეძლებს მის გავლას, შესაბამისად გაანგარიშებული მატარებლის მასა მოცემულ მონაკვეთზე დამყარებულია. იმ შემთხვევაში, როცა S აღმოჩნდება უდიდეს ქანობის სიგრძეზე ნაკლები გვიხდება მატარებლის მასის შემცირება და შემცირებული მატარებლის შემოწმება უდიდესი ქანობის გავლაზე. ასე შერჩევის მეთოდით პოულობენ მატარებლის დასაშვებ მასას. [17]

თუ მატარებლის მასის გრაფიკული მეთოდით განსაზღვრისას მიმართავენ (43) იმ ქანობისათვის, რომლის სიდიდეც უდიდეს ქანობზე ნაკლებია. თუ მასისათვის საზღვრავენ ხვედრით ამაჩქარებელ ძალებს წევისას და შემდგომ აგებენ $V(S)$, იმ მასიდან დაწყებული, როცა ცნობილია მატარებლის მოძრაობის სიჩქარე. თუ უდიდეს ქანობზე სიჩქარე არ იქნება საანგარისოზე ნაკლები $V_{\text{ხაა}}$. მატარებელი შეიძლება გატარდეს უბანზე. თუ აღმართის ბოლოს ის აღმოჩნდება $V_{\text{ხაა}}$. ნაკლები, აუცილებელია შემადგენლობის მასის შემოწმება და ზემოთ აღნიშნულის განმეორება.

მატარებლის მასის შემოწმება ადგილიდან დაძვრის და სადგურის ლიანდაგებში ჩატევის პირობით წარმოებს შემდეგი გზით:

პირველ შემთხვევაში აუცილებელია განვსაზღვროთ მოძრაობის ხვედრითი წინააღმდეგობის ძალის მნიშვნელობა მატარებლის დაძვრისას იგი განისაზღვრება შემდეგი ემპირული ფორმულით:

სრიალა საკისრების შემთხვევაში

$$W_{\text{დაბ.}} = \frac{142}{m_{\text{მ.}} + 7} \quad (45)$$

გორგოლაჭიანი საკისრების დროს

$$W_{\text{დაბ.}} = \frac{28}{m_{\text{მ.}} + 7} \quad (46)$$

მატარებლის შემადგენლობის მაქსიმალური მასის მნიშვნელობა, რომლის დაძვრაც ძალუბს ლოკომოტივს განისაზღვრება შემდეგი ფორმულით:

$$m_{\text{დ.და}} = \frac{F}{(W_{\text{დ.დ.}} + i)g} - m_{\text{ლ}} \quad (47)$$

სადაც $m_{\text{დ.დ.}}$ – შემადგენლობის მასაა, რომელიც ლოკომოტივს შეუძლია დაძრას ადგილიდან (დაძვრის პირობით), ტ;

F – ლოკომოტივის ადგილიდან დაძვრის დროს წევის ძალაა ნ; რომელიც აიღება წევის გაანგარიშების წესებიდან.

g – თავისუფალი ვარდნის აჩქარებაა, რომელიც ტოლია $9,81 \text{ მ/წ}^2$;

i – ქანობი; რომელზეც ხორციელდება მატარებლის დაძვრა %;

$m_{\text{ლ}}$ – ლოკომოტივის მასაა, ტ;

$m_{\text{მ.}}$ – ვაგონის დერძზე მოსული მასაა ტ.

თუ შემადგენლობის მასა გაანგარიშებულია ადგილიდან დაძვრის პირობით, გამოვა ნაკლები საანგარიშო ქანობის მასაზე ($m_{\text{დ.დ.}} < m_{\text{ლ}}$), მაშინ ლოკომოტივი ვერ შეძლებს დაძრას შემადგენლობა. ამ შემთხვევაში აუცილებელია მოცემულ პუნქტზე არ დავუშვათ მატარებლის გაჩერება ან დაძვრისათვის გამოვიყენოთ ორი ლოკომოტივი.

მატარებელი სადგურში უნდა გაჩერდეს ისე, რომ რკინიგზის ნორმალური ფუნქციონირება იქნას შენარჩუნებული, ანუ შემადგენლობა უნდა განლაგდეს სადგურის ლიანდაგებში, რომელიც სტანდარტირებულია წევის გაანგარიშების წესებით ($720, 850, 1050, 1250 \text{ მ}$). [11]

შემადგენლობის სიგრძე, რომელიც შეიძლება დავიკავოთ სადგურის ლიანდაგებში სავაგონო შემადგენლობით განისაზღვრება:

$$l_{\text{შემ.}} = l_{\text{ს.}} - n_{\text{ლ.}} l_{\text{ლ.}} - 10 \text{ მ} \quad (48)$$

სადაც $l_{\text{ლ.}}$ – ლოკომოტივის სიგრძეა, მ;

$n_{\text{ლ.}}$ – ლოკომოტივების რაოდენობა ;

მატარებლის რეალური სიგრძე გამოითვლება:

$$l_{\vartheta} = \sum n_i l_i ; \quad \text{ა.}$$

შემადგენლობაში თითოეული ტიპის ვაგონის რაოდენობა

$$n_i = \frac{m_{\vartheta}}{m_{\vartheta,i}} \alpha_i \quad (49)$$

სადაც m_{ϑ} – მოცემული ტიპის ვაგონის საშუალო მასაა, ტ;

α_i – მასური წილია.

თუ მატარებლის სიგრძე გამოვა სადგურის ლიანდაგების სიგრძეზე მეტი, აუცილებელია მატარებლის სიგრძის შემცირება.

2.1.3 სამუხრუჭო ანგარიში ძირითადი ცნობები და ამოსავალი მონაცემები

სამუხრუჭო მოწყობილობების მიერ შექმნილი სამუხრუჭო ძალა ემსახურება მატარებლის გაჩერებას განსაზღვრულ ადგილებში, სიჩქარის მუდმივობის შენარჩუნებას ციცაბო ქანობზე და სიჩქარის შემცირებას იმ მონაკვეთებთან მიახლოვებისას, სადაც სიჩქარე შერჩეულია.

დამუხრუჭება, რომელიც მიზნად ისახავს მატარებლის გაჩერებას და გამოიყენება ექსპლუატაციის ნორმალურ პირობებში, იწოდება სამომსახურეოდ.

a ს შენელება სამომსახურეო დამუხრუჭებისათვის სატგირთო და შორეული სამგზავრო მატარებლებისათვის დგინდება უპირატესად საუქსპლუატაციო მოსაზრებიდან მისვლის პროფილის და გასაჩერებელი პუნქტის გათვალისწინებით. მოკლე გადასარბენებზე მოძრაობისას საგარეუბნო და მეტროპოლიტენის შემადგენლობისათვის **a** ს შენელების არჩევა უფუძვნება ტექნიკურ-ეკონომიკურ გამოთვლებს. დაახლოებით **a** საშუალო მნიშვნელობები მოყვანილია ცხრილ 3. -ზი.

ცხრილი 3.

სამუხრუჭო მოწყობილობების მიერ შექმნილი სამუხრუჭო ძალის
 a_b შენელების არჩევა

მატარებლის ტიპები	$a_b \text{ მ/წმ}^2$
სატვირთო	0,1 0,4
სამგზავრო (შორს მიმავალი)	0,3 0,6
საგარეუბნო ელ.	0,5 0,8
მატარებელი	0,7 1,0

გარდა ამისა აუცილებელია, რომ სამუხრუჭო მოწყობილობები ასევე აჩერებდნენ მატარებელს მოცემულ სამუხრუჭო მონაკვეთზე ექსტრემალური დამუხრუჭებისას ან ნიშანზე გაჩერებისას.

ექსტრემალური დამუხრუჭება, ემსახურება ავარიების და უბედური შემთხვევების თავიდან აცილებას. იგი წარმოადგენს მატარებლის უსაფრთხო გადაადგილების საშუალებას.

ექსტრემალური დამუხრუჭების მოთხოვნა შეიძლება გაჩნდეს მატარებლის მოძრაობისას ნებისმიერ დროს, გზის ნებისმიერ მონაკვეთზი.

ამიტომ უდიდესი ძალის დროს, რომელიც შეიძლება წარმოქმნას მატარებლის სამუხრუჭო მოწყობილობებმა, აუცილებელია მატარებლის მოძრაობის სიჩქარე შეიზღუდოს ისე, რომ გზის ყოველ მონაკვეთზე უმცირესი სამუხრუჭო მანძილი არ აღემატებოდეს საანგარიშო მინიმალურ $I_{\text{ს.}} \text{ ან } I_{\text{ი.}}$ ან პირიქით, მაღალი სიჩქარით მოძრაობისას, სამუხრუჭო მოწყობილობები უზრუნველყოფდნენ მატარებლის გაჩერებას გზის მონაკვეთზე, რომელიც არ აღემატება $I_{\text{ს}}$ [11;18].

მუხრუჭებში შთაინთქმება კინეტიკური ენერგია, რომელიც ტოლია $\frac{mv^2}{2}$, სამუხრუჭო მანძილი მით უფრო დიდია, რაც მეტია მასა და განსაკუთრებით მატარებლის მოძრაობის სიჩქარე, ვინაიდან დარადგანაც

$$B \cdot S_b \approx \frac{mv^2}{2}$$

ამიტომ სამუხრუჭო მოწყობილობების სიმძლავრის ზრდა საშუალებას იძლევა გავზარდოთ მატარებლის მოძრაობის სიჩქარე უსაფრთხოების მოთხოვნის გათვალისწინებით. სამუხრუჭო მოწყობილობების მოცემული სიმძლავრის დროს შეიძლება დაგუშვათ იმდენად დიდი სიჩქარე, რამდენადაც დიდი მანძილი, რომელიც მემანქანეებს ეძლევათ მატარებლის გაჩერებისათვის და რამდენადაც ციცაბოა აღმართი მოცემულ გზის მონაკვეთზე. პრაქტიკულად სამუხრუჭო ანგარიშები ტარდება მხოლოდ დაღმართებისათვის.

უდიდესი დასაშვები სამუხრუჭო მანძილი ექსტრემალური დამუხრუჭებისას დგინდება წევის გაანგარიშების წესებით ავტოდამუხრუჭების მქონე მატარებლებისათვის საანგარიშო სამუხრუჭო მანძილის სიგრძე შეადგენს დაახლოებით 800მ. დღესდღეობით ანგარიშები ყველაზე ხშირად ტარდება 1000-1200 მ-ზე. [11]

საანგარიშო სამუხრუჭო მანძილი $S_{\text{ს.ს.}}$ ტოლია რეალური სამუხრუჭო მანძილის S_b და მოსამზადებელი მანძილის $S_{\text{მო}}$ (რომლისთვისაც საჭიროა $t_{\text{მო}}$ დრო) – ჯამისა.

$$S_{\text{ს.ს.}} - S_{\text{მო}} = S_b \quad (50)$$

დაახლოებით მოსამზადებელი მანძილი $I_{\text{მო}}$ განისაზღვრება მატარებლის მუდმივი სიჩქარით გავლისას პირობიდან, რომელიც ტოლია V_b დამუხრუჭების საწყისი სიჩქარისა.

$$S_{\text{მო}} = \frac{1}{\zeta} v_t t_{\text{მო}} \quad (51)$$

წევის გაანგარიშების წესების თანახმად რეკომენდირებულია მოსამზადებელი დროის შემდეგი მნიშვნელობები $t_{\text{მო}}.$ [წმ]

სატვირთო შემადგენლობისათვის ავტომატური მუხრუჭებით 200 ლერძის და ნაკლების დროს:

$$t_{\text{მო}} = 7 - \frac{10 i_c}{1000 \varphi_b \vartheta} \quad (52)$$

სატვირთო შემადგენლობისათვის 200 ლერძი და მეტის დროს ავტომატური მუხრუჭების შემთხვევაში:

$$t_{\text{გონ.}} = 10 - \frac{15 i_c}{1000 \varphi_b \vartheta}$$

ნებისმიერი სიგრძის სატვირთო შემადგენლობის დროს ელექტრო პნევმატური დამუხრუჭების შემთხვევაში

$$t_{\text{გონ.}} = 2 - \frac{3 i_c}{1000 \varphi_b \vartheta}$$

სამგზავრო მატარებლებისათვის მარტო ლოკომოტივებისათვის პნევმატური მუხრუჭების შემთხვევაში

$$t_{\text{გონ.}} = 4 - \frac{5 i_c}{1000 \varphi_b \vartheta} \quad (53)$$

სამგზავრო მატარებლისათვის ელ. პნევმატური მუხრუჭებით $t_{\text{გონ.}} = 2$ წმ.

ხელის მუხრუჭის შემთხვევაში $t_{\text{გონ.}} = 60$ წმ

ამ ფორმულაში i_c – ქანობის ელემენტის სიდიდეა, რომლისთვისაც ტარდება სამუხრუჭო ანგარიში.

ϑ – უდიდესი საანგარიშო სამუხრუჭო კოეფიციენტი ექსტრემალური დამუხრუჭების რეჟიმის დროს.

φ – ხახუნის საანგარიშო კოეფიციენტი მაქსიმალური სიჩქარის დროს თვალის ქიმსა და სამუხრუჭო ხუნდს შორის დამუხრუჭების დაწყების მომენტში არსებული სიჩქარის დროს.

ელექტრო პნევმატური დამუხრუჭების დროს ორიენტირებისათვის მიღებულია $t_{\text{გონ.}} = 55$ წმ

(52) და (53) ფორმულებში მეორე წევრები მოყვანილია იმიტომ, რომ დაახლოებით გათვალისწინებულ იქნეს მატარებლის სიჩქარის ცვლილება მოსამზადებელი დროისას, გორვის რეჟიმში i_k ქანობზე მოსამზადებელ სამუხრუჭო მანძილზე.

თუმცა მაქსიმალური დასაშვები სიჩქარით ქანობზე მოძრაობისას, ასეთი შესწორების აუცილებლობა არ არსებობს, რადგანაც მატარებელს აუცილებლად წაამუხრუჭებენ, რათა სიჩქარემ მოცემულ ქანობის ელემენტზე მოძრაობის დასაშვებ სიჩქარეს არ გადააჭარბოს.

2.1.4 სამუხრუჭო ამოცანის ტიპები

სამუხრუჭო მანძილის $S_{b,b}$ სიგრძე დამოკიდებულია სამუხრუჭო მანძილზე, რომელიც მოცემული ხუნდების ტიპებიდან გამომდინარე ხასიათდება სამუხრუჭო კოეფიციენტით ϑ სამუხრუჭო სიჩქარით V_b და i ქანობის სიდიდით. რადგანაც ოთხივე კოეფიციენტი i_b , V_b , ϑ_b და i უშუალოდ დაკავშირებულია ერთმანეთთან, სამუხრუჭო ანგარიშის საფუძველზე უნდა გადაწყდეს 4 ტიპის ამოცანა. [19]

ა) დამუხრუჭების დაწყების სიჩქარის V_b დასაშვები მნიშვნელობა მოცემული ქანობის, ϑ_b სამუხრუჭო კოეფიციენტის და S_b სამუხრუჭო მანძილის შემთხვევაში;

ბ) სამუხრუჭო კოეფიციენტი ϑ_b მოცემული $S_{b,b}$, და i შემთხვევაში;

გ) სამუხრუჭო მანძილი $S_{b,b}$ ცნობილი სამი სიდიდის მიხედვით;

დ) i ქანობის მოცემული $S_{b,b}$, ϑ_b და V_b შემთხვევაში.

წევის გაანგარიშებაში უფრო ხშირად საჭირო ხდება გადავჭრათ „ა“ და „ბ“ პუნქტებში მოყვანილი პირობა.

განვიხილოთ სამუხრუჭო ამოცანების გადაწყვეტის საერთო საფუძვლები.

გამოვიყენოთ მოძრაობის განტოლება

$$v \frac{dv}{ds} = \zeta' f_{b_3};$$

$$F_{b_3} = \frac{F}{G}$$

სამუხრუჭო რეჟიმისათვის $f = - (b_0 + i)$ –ის ჩასმით

$$vdv = -\zeta'(b_0 + i)ds \quad (54)$$

(54) განტოლების ინტეგრირებით V_b – სიჩქარით ცვლილების ფარგლებში და 0-დან $S_{b,b} - S_{b_0} = S_b$ მანძილის ფარგლებში მივიღებთ:

$$v_b^2 = 2\zeta' \int_0^{S_b} (b_0 + i) ds \quad (55)$$

ახლა სამუხრუჭო მანძილის S_b ვიპოვოთ შემანელებელი ძალების საშუალო მნიშვნელობა.

$$(b_0 + i) = \frac{1}{S} \int_0^{S_b} (b_0 + i) ds$$

და ჩავსვათ (55) მარჯვენა ნაწილში

$$v_b^2 = s \zeta' (b_0 + i)_{\text{საშ.}} S_b \quad (56)$$

გავითვალისწინებთ რა $b_0 = 1000\vartheta\varphi + W_{0_3}$ და მხედველობაში მივიღებთ (50) და (51)–ს (54) განტოლებას წარმოვადგენთ შემდეგი სახით:

$$v_b^2 = 2\zeta \left[1000\vartheta\varphi_k + W_{0_3} + i \right]_{\text{საშ.}} \left(S_{b,b} - \frac{1}{\zeta''} v_b t_{\text{მო.}} \right) \quad (57)$$

მიღებული განტოლება (57), რომელიც საერთო სახით იძლევა კავშირს $S_{b,b}$, V_b , ϑ და i -ს შორის, შეიძლება იყოს ამოსავალი ნებისმიერი სახის სამუხრუჭო ამოცანის გადასაწყვეტად, თუმცა ზუსტი ამონასნის პოვნა ამ განტოლების მეშვეობით ძნელდება იმით, რომ როგორც φ , ისე φ_k დამოკიდებულია სიჩქარეზე, მათი საშუალო მნიშვნელობების განსაზღვრისათვის, საჭიროა განისაზღვროს მანძილიდან, ამიტომ სამუხრუჭო ამოცანებს ჩვეულებრივ წყვეტენ გრაფიკული მეორეობით ან ანალიზური მიახლოებითი მეთოდით. [19;20]

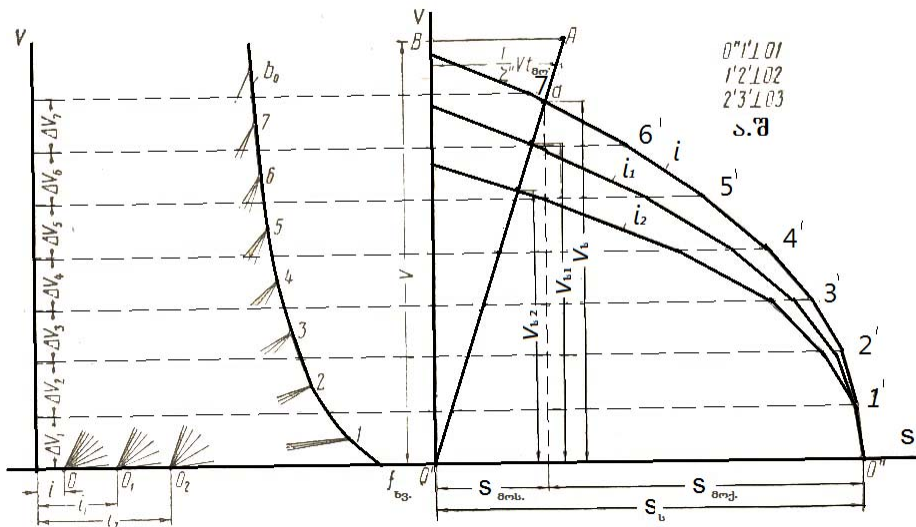
წევის გაანგარიშების წესების თანახმად სატვირთო მატარებელში არაუმეტეს 15% ციცაბო ქანობისა ნებადართულია მხედველობაში არ მივიღოთ ლოკომოტივის სამუხრუჭო ძალა და მისი წონა. სხვა დანარჩენ შემთხვევაში სამუხრუჭო ძალა და წონა ითვალისწინება. [11]

სამომსახურეო დამუხრუჭების ანგარიშისათვის სატვირთო და სამგზავრო მატარებლებისათვის მატარებლებისათვის სამუხრუჭო კოეფიციენტი რეკომენდებულია მივიღოთ ექსტრემალური დამუხრუჭების ნახევრის ტოლად, ელექტრო მატარებლისათვის 0,8 უდიდესი მნიშვნელობაა.

2.1.5. სიჩქარის უდიდესი დასაშვები მნიშვნელობის განსაზღვრა.

i ქანობზე სამუხრუჭო ანგარიშებით, უდიდესი სიჩქარის განსაზღვრა, მიეკუთვნება სამუხრუჭო ამოცანის „ა“ პუნქტს. მისი გადა-

წყვეტისათვის პირველ რიგში ანგარიშობენ ხვედრითი შემანელებელი ძალის მახასიათებელს $b = f(v)$. გამოვალთ რა მოცემული სამუხრუჭო ზ კოეფიციენტიდან, რომელიც ექსტრემალური დამუხრუჭების პირობას მიეკუთვნება. ნებისმიერი გრაფიკული მეთოდით i ქანობისათვის აგებენ $V=f(s)$ სამუხრუჭო მრუდს საანგარიშო სამუხრუჭო მანძილის $S_{b,b}$ დროს. ჩვეულებრივ ამისთვის იყენებენ გზათა მიმოსვლის სამინისტროს მეთოდს, როგორც ეს ნაჩვენებია ნახ. 10-ზე. [3;19;20]

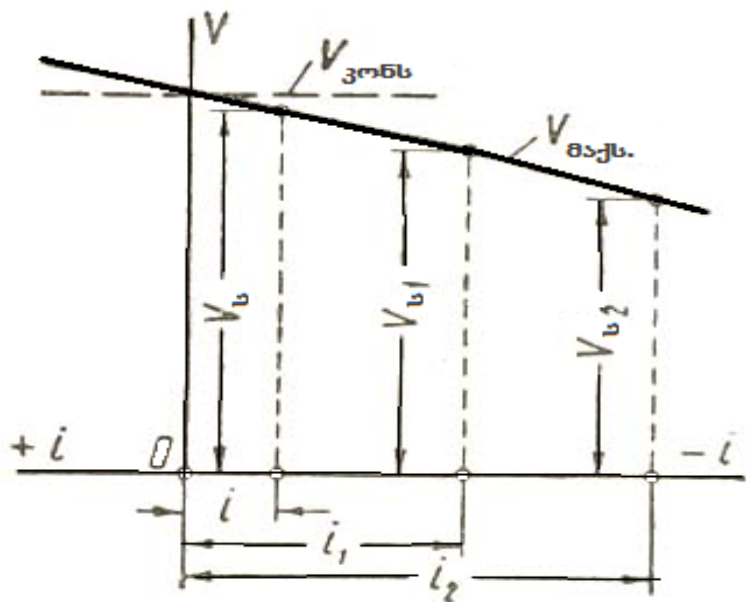


ნახ. 10. V სიჩქარის უდიდესი დასაშვები მნიშვნელობის განსაზღვრა გზათა მიმოსვლის სამინისტროს მეთოდის დროს

აგებას იწყებენ O' სამუხრუჭო მანძილის ბოლოდან $V=0$ სიჩქარის დროს შემდგომ სამუხრუჭო მანძილის დასაწყისიდან აგებენ მოსამზადებელი მანძილის და სიჩქარის დამოკიდებულების მრუდს $S_{\text{მო.}} = f(v_{\text{მ}})$ როცა $t_{\text{მო.}} = \text{const}$, როგორც, მაგალითად, სამგზავრო ვაგონებში ელექტროპნევმატური მუხრუჭის დროს, ეს დამოკიდებულება წრფით, რომელსაც ატარებენ შემდეგნაირად. წერტილიდან, რომელიც პასუხობს V სიჩქარეს მოსახურებელია 100 კმ/სთ გაავლებენ მონაკვეთს, რომელიც გამოსახულია m_s მაშტაბში, მოსამზადებელი მანძილი $s_{\text{მო.}} = \frac{1}{\zeta''} v t_{\text{მო.}}$ და

წერტილს აერთებს სათავესთან. α წერტილის ორდინატის გადაკვეთა სამუხრუჭო $V = f(s)$ მრუდის განსაზღვრავს V_b სამუხრუჭო სიჩქარის

დასაწყისს, რომელიც იქნება უდიდესი V_{max} , რომელიც დასაშვები იქნება მატარებლის მოძრაობისას i ქანობზე. გავიმეორებთ რა ასეთი აგების მეთოდს სხვადასხვა i_1 და i_2 ქანობებისთვის (იხ. ნახ. 10.), შეიძლება განვსაზღვროდ V_b , V_{2b} , $V_{3b} \dots$ მიღებული სიჩქარეების მეშვეობით მოძრაობის სიჩქარის მრუდის შეზღუდვები სხვადასხვა ქანობზე $V_{max} = f(i)$. თუ მომზადების დრო გამოითვლება (52), (53) ფორმულებით, მაშინ ისინი დამოკიდებული იქნება როგორც i ქანობზე, ასევე საწყის დამუხრუჭების სიჩქარეზე V_b , რამდენადაც ისინი მოქმედებენ φ_{kp} , ამიტომ ყოველ i ქანობის მნიშვნელობას შეესაბამება ცალკეული დამოკიდებულება $i_{b,b} = f(V_b)$. უკვე არაწრფივი, რომელსაც ანგარიშობენ (51) ფორმულით სხვადასხვა V_b -სათვის. ამოხსნის შემდგომი გზა მსგავსია ზემოდ მოყვანილი აღწერისა.



ნახ. 11. ქანობის განსაზრვრულ ფარგლებში დამუხრუჭების დროს უდიდესი დასაშვები ($V_{გაქს.}$) სიჩქარის შეზღუდვა კონსტრუქციული ($V_{გონს.}$) სიჩქარით

შეიძლება აღმოჩნდეს, რომ უდიდესი სიჩქარეები, რომელიც დასაშვებია დამუხრუჭებისათვის ქანობის განსაზრვრულ ფარგლებში

კონსტრუქციულ სიჩქარეზე მაღალი ნახ. 11. V_{კონსტ.}-ით შეზღუდვა აღნიშნულია პორიზონტალური წრფით.

2.1.6. სამუხრუჭო კოეფიციენტის განსაზღვრა

თუ ცნობილია $S_{b,b}$ და i -ს მნიშვნელობები და საჭიროა ვიპოვოთ $S_{b,b}$ სამუხრუჭო კოეფიციენტი, რომელიც უზრუნველყობს მოცემული V_b და i სიჩქარის დროს უსაფრთხო მოძრაობას, მაშინ ასეთი ამოცანის გადასაწყვეტად ყველაზე მარტივია გრაფიკული ინტერპოლაციის მეთოდის გამოყენება. ამისათვის $\vartheta_1, \vartheta_2, \dots$ სამუხრუჭო კოეფიციენტებია საჭირო და თითეული მათგანისათვის ანგარიშობენ შემანელებელ ძალას $b_0 = f(v)$ (ნახ. 12. a) შემდგომში ზუსტად ისე, როგორც პირველი სამუხრუჭო ამოცანისას აგებენ $V = f(s)$ სამუხრუჭო რეჟიმისათვის და ასევე $S_{b,b} = f(V_b)$ ყოველი აღებული ზ მნიშვნელობისათვის. შესაბამისი მრუდების $V = f(s)$ და $S = f(V_b)$ წერტილების ორდინატები განისაზღვრება დამუხრუჭების საწყისი სიჩქარეები V_1, V_2, V_3, \dots და $\vartheta_1, \vartheta_2, \dots$ კოეფიციენტისათვის.

ამ მნიშვნელობებით აგებული მრუდის $\vartheta = f(V_b)$ მიხედვით ვპოულობთ ზ მონაკვეთის მოცემულ და V_b სიჩქარისათვის, როგორც ნაჩვენებია ნახ. 13-ზე.

2.1.7. სამუხრუჭო ანგარიშის მიახლოვებითი ანალიზური მეთოდი

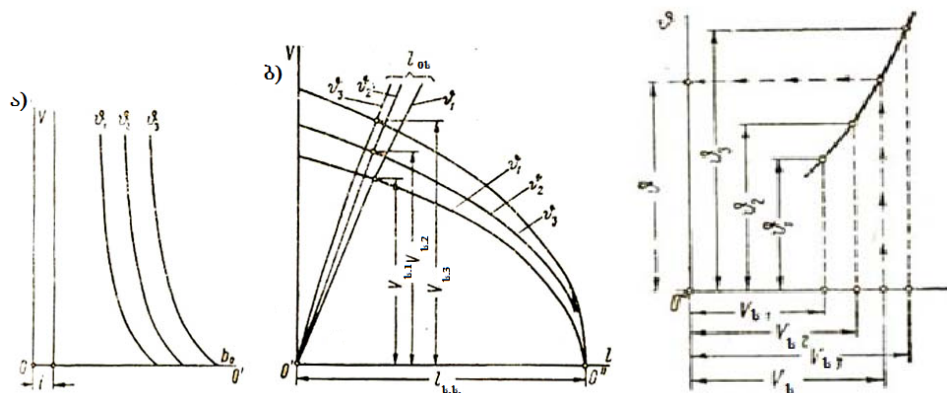
თუ განვსაზღვრავთ შემანელებელი ძალების $(b_0+i)_{\text{საშ}} = (b+W_{O_0}+i)_{\text{საშ}}$ საშუალო მნიშვნელობებს მანძილის მიხედვით, შესაძლებელია უშუალოდ გამოვიყენოთ სამუხრუჭო ამოცანის გადასაწყვეტად (57) განტლება.

როგორც ნაჩვენებია უმრავლესი გამოთვლები $V = f(s)$ მრუდისა გაჩერებამდე, სხვადასხვა სიჩქარის ფუნქციაში ხვედრითი შემანელებელი ძალების მახასიათებლის საშუალო მნიშვნელობების პოვნა მანძილის მიხედვით სავსებით ზუსტად შესაძლებელია ვუპოვოთ

$b_0 = f(V)$ მრუდის მიხედვით V_{b_0} სიჩქარისათვის, რომელიც ახლოსაა 0,7, სამუხრუჭო სიჩქარესთან V_b -სთან შესაბამისად

$$V_{b.b.s.} = 0.7 V_b \quad (58)$$

რადგანაც $V = f(s)$ მრუდი დამუხრუჭებისას ახლოსაა პარაბოლას-თან, რომლის დროსაც $V_{b.b.s.} = 0.67 V_b$



ნახ. 12. სამუხრუჭო კოეფიციენტების განსაზღვრა სამუხრუჭო მანძილის მიხედვით

ნახ. 13. სამუხრუჭო კოეფიციენტების განსაზღვრა სამუხრუჭო მანძილის მიხედვით

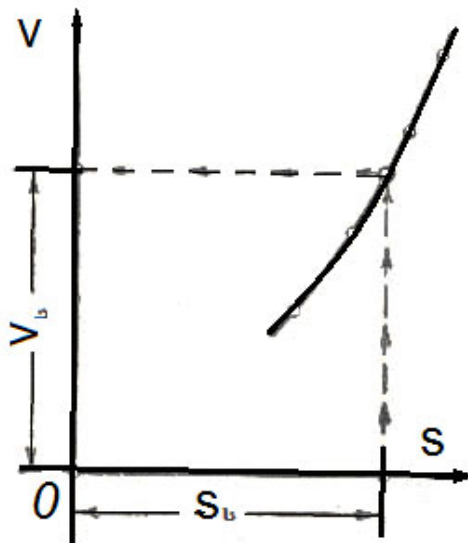
ვითვალისწინებოთ რა $b_0 = 1000\varphi_k + W_{o_0}$, φ_k და W_{o_0} დამოკიდებულია სიჩქარეზე, განტოლების მისაღებად, რომელიც საშუალებას იძლევა სამუხრუჭო ამოცანები მეორე, მესამე და მეოთხე ტიპებისათვის უნდა ვიპოვოთ $\varphi_{k.b.s.}$ და $W_{0.b.s.}$ მნიშვნელობები. შესაბამისი სიჩქარეების 0,7V ჩასმით (57) ტოლობაში. მართლაც (57)-ით ადგილად წყდება V , $S_{b.b}$ და i დამოკიდებულებები.

$$\varphi = \frac{1}{1000 \varphi_{k.b.s.}} \left[\frac{V^2}{2\zeta' \left(S_{b.b} - \frac{1}{\zeta''} V_b t_{\partial\varphi b} \right)} - \left(W_{j0.b.s.} + i \right) \right] \quad (59)$$

$$S_{b.b} = \frac{V_b^2}{2\zeta' (1000g\varphi_{kbs} + W_{o_{b.b}} + i)} + \frac{1}{\zeta''} V_b t_{deb}. \quad (60)$$

$$i = \frac{V_b^2}{2\zeta' \left(S_{b.b} - \frac{1}{\zeta''} V_b t_{deb} \right)} - (1000g\varphi_{kbs} + W_{o_{b.b}}) \quad (61)$$

(57) განტოლების გამოყენება პირველი სამუხრუჭო ამოცანის გადაწყვეტისათვის V_b -ს მოძებნა $S_{b.b}$, ზედა i მონაცემების საშუალებებით – მიღის V_b მეოთხე რიგის განტოლებამდე, უდიდესი კოეფიციენტებით. ამიტომ გაცილებით მარტივია ამ ამოცანის გადაწყვეტა გრაფიკული ინტერპოლაციის მეთოდით, შემდეგი თანმიმდევრობით: V_{b1} , V_{b2} , V_{b3} ... დამუხრუჭების დაწყების სიჩქარის სამი-ოთხი მნიშვნელობის მეშვეობით (60) ფორმულის გამოყენებით, იანგარიშება სამუხრუჭო მანძილი $S_{b.b1}$, $S_{b.b2}$, $S_{b.b3}$... და აგებენ $V_b = f(S_{b.b})$ მრუდს ამის შემდგომ V_b მონაკვეთს პოულობენ გრაფიკული მეთოდით მოცემული სამუხრუჭო $S_{b.b}$ მანძილისათვის (ნახ. 14.)



ნახ. 14. $V_b = f(S_b)$; დამუხრუჭების დაწყების სიჩქარის მნიშვნელობის გრაფიკული დამოკიდებულება სამუხრუჭო მანძილზე

შედეგების სხვაობა, რომელიც მიიღება მიახლოებითი ანალიზური, გრაფიკული ან საანგარიშო—გრაფიკული მეთოდით, ჩვეულებრივ არ აჭარბებს 1–4%-ს.

2.2. დენის მრუდების აგება

დენით, რომელიც გადის წევის ძრავის გრაგნილში და დროით რა დროსაც ეს დენი გადის ძრავის გრაგნილში აფასებენ წევის ძრავის გახურებას. იმისათვის, რომ განისაზღვროს ელექტრული ენერგიის ხარჯი მატარებლის წევისას აუცილებელია I_d დენის ცოდნა, რომელსაც მოიხმარს მუდმივი დენის ელექტრო მოძრავი შემადგენლობა (ე.მ.შ.) ან $I_{d\alpha}$ დენის აქტიური შემადგენელი, რომელსაც მოიხმარს ცვლადი დენის ე.მ.შ. [11;34;35]

საკონტაქტო სადენის კვეთის და უბანზე წევის დატვირთვის ანგარიშისათვის, რომელიც ელექტროფიცირებულია ცვლადი დენის სისტემით, აუცილებელია ვიცოდეთ სრული დენი I_d , რომელსაც მოიხმარს ე.მ.შ.

ყველა ეს დენები განისაზღვრება დენის მახასიათებლებიდან, რომლებიც გვიჩვენებენ, როგორ იცვლებიან დენები მოძრაობის მიხედვით.

მუდმივი დენის ე.მ.შ.–ზე I_d დენის მნიშვნელობა განისაზღვრება ელექტრო ძრავის დენის I_d და P პარალელური შტოების რაოდენობის მიხედვით

$$I_d = P I_d \quad (62)$$

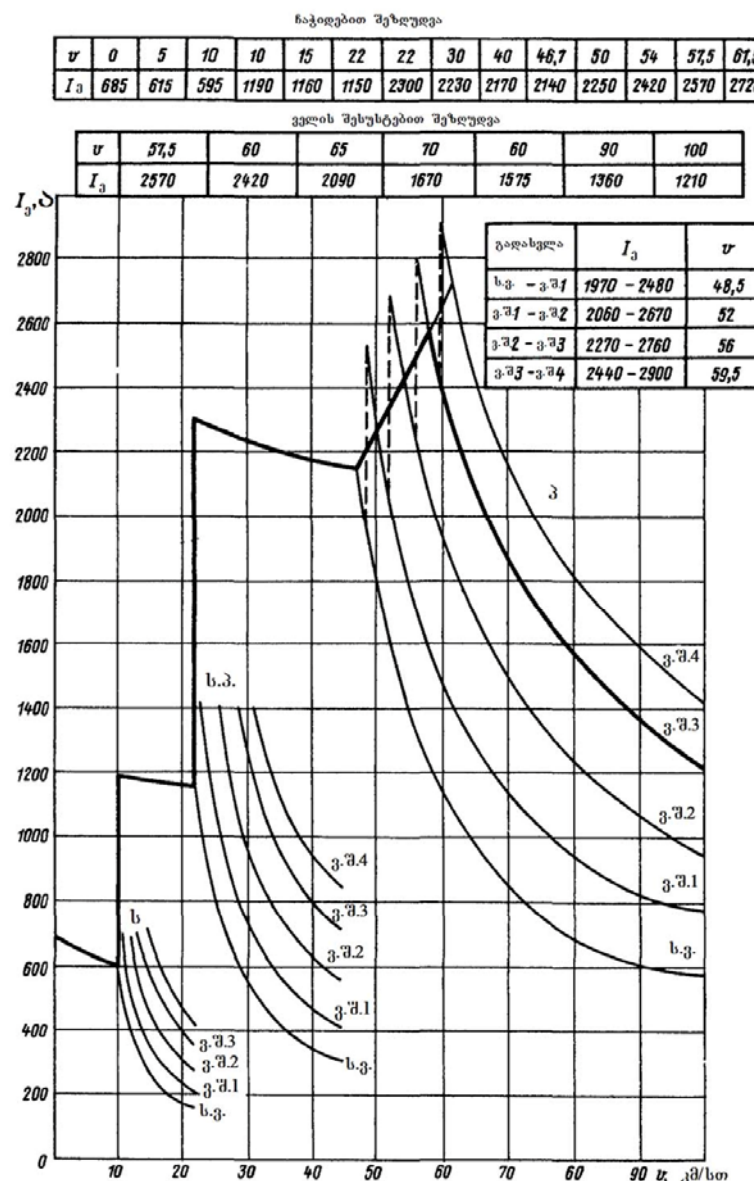
წევის ძრავების სერიული შეერთების დროს (P), $P = 1$ და $I_d = I_d$ სერიის – პარალელური შეერთების დროს (ს.პ.) ექვსდერძიან და 8 დერძიან ელმავლებს $P = 2$ და $I_d = 2I_d$, პარალელური შეერთებისას (3) ექვსდერძიანი ელექტრომავლების $P = 3$, ხოლო რვადერძიანი ელმავლების $P = 4$

დენის მახასიათებლს მაგ; ВЛ10 ელექტრომავლის ნახ. 15. აგებენ წევის ძრავის ((ს), (სპ), (პ)) შეერთებისათვის მისი სრული აღგზნების და ოთხი შესუსტების საფეხურის დროს ყოველი შეერთებისას. დენის მახასიათებლების ასაგებად მიმართავენ სხვადასხვა სიჩქარეებს და

სიჩქარეების მახასიათებლებს $V(I_d)$ -თი განსაზღვრავენ I_d დენებს, რომლებსაც ამრავლებენ მათ პარალელური შტოების რაოდენობაზე დაიდებენ I_g -ს ამ სიჩქარეზე.

დენის მახასიათებლებზე დააქვთ შეზღუდვები, რომლებსაც შეესაბამება წევის ძალის მნიშვნელობა წყვილთვლის რელსთან ჩაჭიდების დროს ან წევის ძრავის კომუტაციის მიხედვით. [11;37]

ВЛ10 ელექტრომაგალზე წევის ძალა შეზღუდულია ჭყვილთვალას რელსთან ჩაჭიდებით.



ნახ. 15. ВЛ-10 ლოკომოტივის დენის მახასიათებელი

2.2.1. ელმავლის დენის მანძილზე დამოკიდებულების $I_g(s)$ მრუდის აგების მეთოდი

მუდმივი დენის ე.მ.შ. $I_g(s)$ მრუდი იგება $V(S)$ და $I_g(V)$ საფუძველზე. $I_g(s)$ მრუდის ასაგებად იქცევიან შემდეგნაირად:

$V(S)$ ტეხილის წერტილებს (1, 2, 3 და ა.შ. 24 წერტილამდე) იღებენ დენის მახასიათებლიდან იხ. ნახ. 16. პოლობენ, $I_g = 685$ ა-ს როცა $V=0$. გადადებენ ამ დენს ნებისმიერ მასშტაბში გზის იმ ადგილას სადაც $V=0$ როცა $V=10$ კმ/სთ. I_g დენი იცვლება 595 დან 1190ა (ს)-დან (ს.პ)-ზე გადასვლის დროს. ეს წერტილი გადაიზომება, სადაც $V=10$ კმ/სთ. ასეთივე მეთოდით განსაზღვრავენ სხვა წერტილების მდებარეობასაც.

$V=22$ კმ/სთ სიჩქარის დროს წევის ძრავებს რთავენ (ს)-დან (ს.პ)-ზე და დენი იზრდება 1150-დან 2300ა-მდე. დენი იცვლება ნახტომისებურად ასევე, როცა რთავენ აღგზნების შესუსტებებს: (პ.შ₁), როცა $V=48,5$ კმ/სთ 1970-დან 2480ა-მდე (პ.შ₂) როცა $V=52$ კმ/სთ 2060-დან 2670ა-მდე და ა.შ. ელმავლის მუშაობას მახასიათებლის ნებისმიერ საფეხურზე თან სდევს დენის შემცირება სიჩქარის ზრდასთან ერთად. 24 წერტილში მემანქანე რთავს დენს და შემდეგ მატარებელი გადაადგილდება გორვით (I_g მცირდება ნულამდე).

თუ აღნიშნულ წერტილებს შევაერთებოთ წრფეებით მივიღებთ ტეხილს, რომელიც გვიჩვენებს I_g დენის დამოკიდებულებას S გზაზე.

2.2.2. ელმავლის დენის დროზე დამოკიდებულების $I_g(t)$ მრუდის აგების მეთოდი

მუდმივი დენის ე.მ.შ-სათვის $I_g(t)$ მრუდი იგება $V(t)$ და $I_g(V)$ მრუდის საფუძველზე. $I_g(t)$ მრუდის აგება წარმოებს შემდეგი ფორმით: $I_g(V)$ მრუდის ტეხილის წერტილებით პოლობენ, რა $I_g = 685$ ა-ს, როცა $V=0$ გადადებენ ამ დენს ნებისმიერ მასშტაბში გზის იმ ადგილას სადაც $V=0$, როცა $V=10$ კმ/სთ I_g დენი იცვლება 595 დან 1190ა-მდე (ს)-ზე.

დან (ს.3)-ზე გადასვლის დროს. ეს წერტილები გადაიზომება, სადაც $V=10$ კმ/სთ. ასეთივე მეთოდით განსაზღვრავენ სხვა წეტილების მდებარეობასაც. $V=22$ კმ/სთ სიჩქარის დროს წევის ძრავებს რთავენ (ს.3)-დან (3)-ზე და დენი იზრდება 1150-დან 2300-მდე. დენის ნახტომისებური ცვლილება ასევე ხდება, როცა რთავენ წევის ძრავების აღგზნების შესუსტებებს: (ვ.შ.1), როცა $V=48$ კმ/სთ 1970 დან 2480ა; (ვ.შ.2), როცა $V=52$ კმ/სთ 2060-დან 2670 ა-მდე და ა.შ. ელმავლის მუშაობას (ს.3) მახასიათებლის (ვ.შ.) ნებისმიერ საფეხურზე, თანს დევს დენის შემცირება სიჩქარის ზრდასთან ერთად როცა მემანქანე რთავს დენს, მატარებელი გადაადგილდება გორვით (I_g მცირდება ნულამდე) თუ აღნიშნულ წერტილებს შევაერთებოთ წრფით მივიღებთ I_g დენის დამოკიდებულებას t დროზე. [11]

2.3. ელექტრული ენერგიის ხარჯის განსაზღვრა

ე.მ.შ-ს მოძრაობას ელ. ენერგია იხარჯება ძირითადი დამატებითი წინააღმდეგობის ძალების გადალახვაზე; ენერგიის ნაწილი იკარგება მუხრუჭებში მექანიკური ან რეოსტატული დამუხრუჭებისას კიდევ ერთი ნაწილი – ე.მ.შ-ზე ელ. ენერგიის გარდაქმნით (წევის) ძრავებში, გამართველ მოწყობილობებში და ა.შ.) და იხარჯება საკუთარი საჭიროებისამებრ. ენერგიის ნაწილი იკარგება გამშვებ რეოსტატებში მუდმივი დენის ე.მ.შ-ზე.

მთლიანი ელექტრული ენერგიის ხარჯი განისაზღვრება, როგორც უბანზე, დეპოს ლიანდაგებზე მოძრაობისას, სამანევრო სამუშაოზე და საკუთარ საჭიროებაზე ელ ენერგიის დანახარჯის ჯამი. [11]

ელ. ენერგიის დანახარჯი მატარებლის მოძრაობისას განისაზღვრება გრაფო-ანალიზური მეთოდით $I_g(S)$ ან $I_g(t)$ მუდმივი და $I_g(S)$ ცვლადი დენების სისტემის ელექტრომავლებისათვის და $t(S)$ ან $V(t)$ მრუდების გამოყენებით.

$$A = \frac{u_d \sum I_{bsj_i} \Delta t_i}{60 \cdot 1000} \quad [\text{კვტ.სთ}] \quad (63)$$

სადაც $I_{\text{საშ}} - \text{საშუალო დენია, ა; } I_g(S) \text{ მრუდის ან } I_g(t) \text{ მრუდის ყოველი წრფის მონაკვეთზე მუდმივი დენის ე.მ.შ სათვის ან } I_a(S) \text{ ცვლადი დენის ე.მ.შ სათვის.}$

$\Delta t_i - I_{\text{საშ}} \text{ დენის მოქმედების დროა, წთ.}$

$U_g - \text{დენმიმღებზე ძაბვის ნომინალური მნიშვნელობაა } 3000 - \text{ მუდმივი და } 25000 \text{ გ - ცვლადი დენის შემთხვევაში;}$

$I_a - \text{აქტიური დენის მოქმედი საშუალო მნიშვნელობაა } \Delta t \text{ დროის განმავლობაში (ცვლადი დენის ელექტრომავლის დროს).}$

$60, 1000 - \text{წუთების საათებში და ვატ-საათების კილოვატ-საათებში გადამუვანი კოეფიციენტებია.}$

ას. ელექტროენერგია საკუთარი საჭიროებისათვისაა განკუთვნილი (დამხმარე მანქანები, მართვა, განათება) განსაზღვრავენ მუშაობის დროის განმავლობაში საშუალო მოხმარებული ენერგიიდან, რომელიც $1\text{წ}-\text{ის } ტოლია.$ მისი მნიშვნელობები მოყვანილია წ.გ.წ.-ში (ВЛ10-სათვის ტოლია $2,08 \text{ კვტ.სთ/წთ}).$

ენერგიის დანახარჯები გათბობაზე განისაზღვრება მუშაობის სრული დროიდან ზამთრის პირობებში და საშუალოდ რეკომენდირებულია $0,07 - 0,14 \text{ კვტ.სთ/წთ. } 10 \text{ ვაგონიანი ელ. მატარებლის შემთხვევაში } \mathcal{E}P1, \mathcal{E}P2, \mathcal{E}P9 \text{ გაანგარიშებიდან } 2,92 \text{ კვტ.სთ/წთ. } \text{საჭიროების დროს } A_a \text{ ენერგიის დანახარჯს დეპოს ლიანდაგებზე მოძრაობისას ან } \text{სამანევრო მუშაობის შესრულებისას განსაზღვრავენ შემდეგი ფორმულით}$

$$A_{\text{სამ}} = \alpha_{b_3} + A_{\text{ს.გ.}} + A_a \quad (64)$$

ელ. ენერგიის ხვედრითი დანახარჯი განისაზღვრება შემდეგი ფორმულით:

$$\alpha_{b_3} = \frac{\sum A \cdot 1000}{(p + Q) \cdot l} \quad (65)$$

ხვედრითი ენერგიის დანახარჯს ზომავენ $\text{კვტ.სთ}/(10^4 \text{ტ.კმ})$ ან $\text{გტ.სთ}/(\text{ტ.კმ}).$

რეკუპერაციული დამუხრუჭებისას რეკუპირებულ ენერგიას აკლებენ მოხმარებულს.

სატვირთო მატარებლებს ჩვეულებრივ გააჩნიათ ნაკლები ენერგია სხვა მატარებლებთან შედარებით – $100-200 \text{ კვტ.სთ}/(10^4 \text{ტ.კმ})$ ან $10-20 \text{ კტ.სთ}/(\text{ტ.კმ})$. ყველაზე დიდი ხვედრითი ელ. ენერგიის დანახარჯი გააჩნიათ საგარეუბნო ელ. მატარებლებს, იმის გამო, რომ მათ უწევთ სადგურებზე $250-350 \text{ კვტ.სთ}/(10^4 \text{ტ.კმ})$ ან $25-35 \text{ კტ.სთ}/(\text{ტ.კმ})$

2.4. წევის ძრავის შემოწმება გახურებაზე

წევის ძრავის გრაგნილების ტემპერატურის განსაზღვრა წარმოადგენს რთულ ამოცანას. ასეთი სახის ამოცანის გადაწყვეტისას მიმართავენ თბური ველების იდეალიზაციას, თუმცა მიღებული ანალიზური ამოხსნა შორსაა რეალურისგან, რადგან წევის ძრავი დიდი რაოდენობით ნაწილისაგან შედგება, რომლებიც განსხვავდება გეომეტრიული ფორმით, მასით, მასალით და მათში ენერგიის დანაკარგით. [33]

პრაქტიკულად ანგარიშს ატარებენ წევის ძრავის ყველაზე საშიში ნაწილებისათვის, კოლექტორული ძრავებისათვის დუზის ხვიებისთვის, უფრო იშვიათ შემთხვევაში აღგზნების გრაგნილებისათვის, ასინქრონული ძრავების შემთხვევაში სტატორის ხვიებისთვის და ა.შ. წევის ძრავის გახურების ტემპერატურის ანგარიში ხორციელდება რომელიმე მიახლოებითი განსაზღვრის მეთოდით.

ყველაზე დიდი გავრცელება პპოვა წევის ძრავის გახურების მეთოდმა, რომელიც ეფუძნება ერთგვაროვანი მყარი სხეულის გახურების კანონებს.

ე.მ.შ.-ის ექსპლუატაციის პირობებში აუცილებელია განისაზღვროს არა მხოლოდ მაქსიმალური ძრავის გახურების ტემპერატურა, არამედ ამასთან აუცილებელია გზის პროფილზე დადგინდეს ის მონაკვეთიც, სადაც ადგილი აქვს აღნიშნულ მოვლენას, რათა შემდგომში მოხდეს მოძრაობის რეჟიმის კორექტირება. ამისათვის საჭიროა ვიცოდეთ $\tau(t)$ ან $\tau(s)$ დამოკიდებულება, რომელიც განისაზღვრება ე.გ.მ-ს მეშვეობით საბოლოო გარდაქმნების პრინციპით და იანგარიშება $\Delta t - s$ გარკვეული ბიჯით.

წევის ანგარიშის დროს ყოველ Δt ბიჯის დროს თვლიან, რომ წევის ძრავები ხურდება უცვლელი I_{საჟ} დენის მოქმედებით (ან გრილ-დება V_{საჟ} სიჩქარით), ახალ I_{საჟ} დენზე გადასვლა ან ახალ ინტერ-გალზე V_{საჟ} სიჩქარეზე გადასვლისას თვლიან, რომ ცვლილება ხდება მყისიერად. $t(t)$ მრუდის ან ანალიზურად ეკვივალენტური თბური პარა-მეტრების და მახასიათებლების გამოყენებით ანგარიშების წარმოებას აქვს უარყოფითი მხარე, რადგან ის არ ითვალიწინებს ძრავის სხვადა-სხვა ნაწილს შორის ტემპერატურის განაწილების პროცესს.

წევის ძრავის გრაგნილების გახურების უდიდესი დასაშვები ტემპე-რატურის მნიშვნელობა გარემო ტემპერატურასთან შედარებით $<40^{\circ}\text{C}$ განისაზღვრება წ.გ.წ.-ში მოცემული ცხრილიდან კონკრეტული ტიპის წევის ძრავისათვის მაგ: ВЛ-10 ელექტრომავლის ТЛ-2К1 ტიპის ძრავისათვის ამავე წ.გ.წ.-ის თანახმად 130°C შეადგენს.

თუ გარემოს ტემპერატურა $t_{\text{გ.ტ.} \max} > 40^{\circ}\text{C}$ ძრავის გახურების დასა-შვები მნიშვნელობის სიდიდე უნდა შემცირდეს ამდენივე გრადუსით.

გარემოს ტემპერატურად $t_{\text{გ.ტ.} \max}$ მიიღება მეტეოროლოგიური სადგუ-რების მრავალწლიანი დაკვირვებით (არანაკლებ 5 წელი) კონკრეტული სეზონისათვის ტემპერატურის საშუალო მნიშვნელობა. გახურების ანგა-რიშები წარმოებს ზაფხულის და ზამთრის პერიოდისათვის. ძრავის საწყისი ტემპერატურის სიდიდე ზაფხულში არ უნდა იყოს 15°C -ზე, ხოლო ზამთრის შემთხვევაში 0°C ნაკლები.

ლოკომოტივის ხანგრძლივი დგომის შემდეგ (2 საათზე მეტი) ძრა-ვის საწყის ტემპერატურად უნდა მივიღოთ 15°C , თუ ლოკომოტივის დგომის დრო 2სთ-ის ტოლია ან კიდევ ნაკლები, საწყის ტემპერატურად უნდა მივიღოთ ლოკომოტივის დგომის ადგილამდე მისვლის ტემპე-რატურა, ძრავის გაციების მრუდის გათვალისწინებით.

ჩართული მოტორ-ვენტილატორის შემთხვევაში გახურების დროის მნიშვნელობად უნდა მივიღოთ თბური მახასიათებლით რეკომენდებული მნიშვნელობა.

გამორთული ძრავა-ვენტილატორის შემთხვევაში ძრავის გახურე-ბის მუდმივი დროის მნიშვნელობა უნდა მივიღოთ 3-ჯერ მეტი, ვიდრე რემოკენდებული ნომინალური ძრავის დენის მნიშვნელობის დროს.

მუდმივი დენის უბნებზე ელექტრომაგლის ან ელექტრომატიკულის მოტორვაგონის დენი განისაზღვრება $V=V(S)$ დენის მახასიათებლის გამოყენებით (იხ. ნახ. 16).

ელექტრული წევის ძრავის გრაფილის გახურება იანგარიშება $V=V(S)$ -ს მიხედვით $I = I(S)$ მრუდის გამოყენებით.

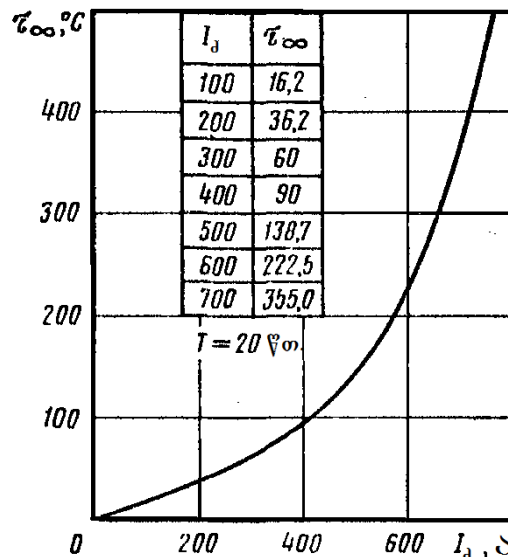
$$\tau = \tau_{oo} \frac{\Delta t}{T} + \tau_0 \left(1 - \frac{\Delta t}{T}\right) \quad (66)$$

წევის ძრავის გაგრილება (დენის გარეშე მუშაობის რეჟიმში) განისაზღვრება:

$$\tau = \tau_0 \left(1 - \frac{\Delta t}{T}\right) \quad (67)$$

Δt უნდა შეირჩეს $\Delta t / T \leq 0.1$ პირობის გათვალისწინებით. თბური პარამეტრები τ_∞ და T კონკრეტული ტიპის ძრავისათვის აიღება ძრავის თბური მახასიათებლიდან.

ნომინალური ძაბვისგან განსხვავებული ძაბვის შემთხვევაში ძრავის გახურების ანგარიში ტარდება როგორც ნომინალური ძაბვის შემთხვევაში.



ნახ. 16. ТЛ - 2К1 წევის ძრავის საკომპენსაციო გრაფილის თბური მახასიათებელი

2.5. წევის გაანგარიშების შეთავაზებული მეთოდი

წევის გაანგარიშებას საფუძვლად უდევს მოძრაობის არაწრფივი დიფერენციალური განტოლების ინტეგრირება. დღეს მისი ამოხსნის მეთოდები საკმარისად ბევრია, რადგანაც მოძრაობის განტოლებები არაწრფივია და დღემდე მსგავსი განტოლებების ამოხსნა შეუძლებელია ისეთი ფორმით, როგორც ეს ხდება წრფივი დიფერენციალური განტოლებების შემთხვევაში. ბევრი სპეციალისტი მიმართავდა და დღესაც მიმართავს ყველა ტიპის მიახლოებით (ასიმპტოტურ) მეთოდებს [8;10;11;21;22;27;28]

სხვადასხვა შეზღუდვების გამო, როგორიცაა ჩაჭიდება, წევის ძრავის ველის შესუსტება და ა.შ. რეზულტირებული წევის მახასიათებელი მიიღება დატეხილი და არაწრფივი, ყოველივე ეს დამატებით პრობლემებს ქმნის ამოცანის გადაწყვეტისას. ამ მიზეზით, სამწუხაროდ, დიფერენციალური განტოლების ინტეგრირების ძირითად მეთოდს წარმოადგენს გრაფო-ანალიზური (საანგარიშო-გრაფიკული) მეთოდი. დღემდე ყველა სასწავლო ლიტერატურაში ძირითადი მეთოდებია, როგორც ერთადერთი და უალტერნატივო. ჩვენი აზრით, ჩვენს საუკუნეში, როცა კომპიუტერული ტექნიკა მკვიდრდება ადამიანის მოღვაწეობის ყველა სფეროში, აუცილებელია აქცენტი გაკეთდეს ახალ მეთოდებზე თანამედროვე ე.გ.მ.-ის გამოყენებით. ამასთან ერთად აუცილებელია გვახსოვდეს, რომ ე.გ.მ.-ის საშუალებით ნებისმიერი ამოცანის გადასაწყვეტად აუცილებელია გვქონდეს საწყისი წარმოდგენა პროცესებზე. ე.ი. გვქონდეს რადაც გადაწყვეტილება, რომლებიც საჭიროა პროგრამირებისათვის. ამ მიზეზით ჩვენს მიერ ქვემოდ შეთავაზებულია ზოგიერთი მეთოდი, რომლებიც საშუალებას იძლევა გამარტივდეს არსებული გაანგარიშების გრაფიკული მეთოდი, ასევე უფრო ზუსტი და მარტივი ანალიზური მეთოდი, რომელიც გამოთვლის სიზუსტით საკმარისია პრაქტიკული გაანგარიშებისათვის. ამასთან ერთად აუცილებელია აღინიშნოს, რომ ამოსავალი დიფერენციალური განტოლებების გამოყენება აბსლიტურ ერთეულებში (რაც კეთდება ასი წელია) ბევრი

პარამეტრით არაა ხელსაყრელი გამოთვლებისათვის მათ შორის ე.გ.მ-ზე.

ასე მაგალითად, დროის ერთეულში სიჩქარის და აჩქარების დამოკიდებულებისას აღნიშნულ დიფერენციალურ განტოლებებში იცვლება გარდამავალი კოეფიციენტები, რომლისთვისაც დგმბა სპეციალური ცხრილები.

ამ მიზეზით ძალიან რთულდება ნებისმიერი გრაფიკული და გრაფო-ანალიზური გაანგარიშების მეთოდი, რომლებიც ასევე მოითხოვს სპეციალური მასშტაბის შერჩევას, ხოლო მათი რეკომენდებული მნიშვნელობები მოყვანილია ცხრილის სახით (იხ. ცხრილი 2). ამ უკელაფრის თავიდან აცილება შესაძლებელია, თუ წინასწარ ვუცვლით ფორმას ამოსავალ დიფერენციალურ განტოლებას, ჩავწერთ, რა მას ფარდობით ერთეულებში, როგორც ეს კეთდება მეცნიერებისა და ტექნიკის მრავალ სფეროში.

გარდა ამისა, აღნიშნული გარდაქმნის პრინციპის გამოყენება წევის თეორიაში ამარტივებს რიგი ამოცანების გადაწყვეტის, მაგალითად მოძრაობის მრუდების აგებისას რომელიმე გადასარბენისათვის, რომელიც პასუხობს სხვადასხვა მოძრაობის სიჩქარეს, წევის ძრავების სხვადასხვა სიმძლავრეს და ა.შ. შესაძლებელს ხდის ცნობილი მიახლოებით განვსაზღვროთ მოთხოვნილი ძრავების სიმძლავრე, ავარჩიოთ საჭირო მოძრაობის რეჟიმი ნებისმიერი სხვა გადასარბენისათვის. ამ შემთხვევაში რომელიმე გადასარბენისათვის აგებული მოძრაობის მრუდი იქნება უნივერსალური ხასიათის ყველა იმ გადასარბენისათვის და მატარებლის მოძრაობის რეჟიმისათვის, რომლებსაც აქვთ ერთნაირი დამოკიდებულება მაქსიმალურ და მინიმალურ სიჩქარეებს შორის და გააჩნიათ წევის, დამუხრუჭების და გორგის რეჟიმის ტოლი დროები.

ჩვენს შემთხვევაში ფარდობით ერთეულებში გადასვლა პრინციპში შესაძლებელია განვახორციელოთ უშუალოდ ძირითადი დიფერენციალური განტოლების ამოხსნიდან, რომელიც ჩაწერილია აბსოლუტურ ერთეულებში, შესაბამისი ცვლადის გაყოფით საკუთარ ბაზისურ მნიშვნელობაზე. თუმცა ასეთი გადასვლა რამდენადმე ართეულებს ამო-

ცანას, რადგანაც დღემდე არსებული ემპირიული ფორმულები ხვედრითი ძალებისათვის წინააღმდეგობა „W“ და დამუხრუჭება „B“-სთვის მოიცემა ხვედრით ერთეულებში კგძ./ტ. ამ მიზეზით მიზანშეწონილია გადასვლა ფარდობით ერთეულებზე, გამოვალთ რა ხვედრითი ძალებისათვის დაწერილი განტოლებებიდან:

$$10 \frac{3(1+\gamma)}{g} \frac{dv}{dt} = \frac{F - W}{P + Q} = f - W \quad (68)$$

$$10 \frac{3(1+\gamma)}{g} V \frac{dv}{ds} = \frac{F - W}{P + Q} = f - W \quad (69)$$

სადაც V, S, F, W - სიჩქარის, გავლილი მანძილის, წევის ძალის და მატარებლის ძირითადი წინააღმდეგობის აბსოლიტური მნიშვნელობებია;

P, Q - ლოკომოტივის და ვაგონის მასაა ტ;

თუ მივიღებთ აღნიშვნებს:

$$\begin{aligned} \frac{F}{F_6} &= \frac{f}{f_6} = f^*; & \frac{W}{f_6} &= W^* \\ y &= \frac{v}{v_6}; \quad x = \frac{S}{S_6}; \quad f = \frac{F_6}{P+Q}; \quad \frac{dx}{d\tau} &= y; \\ T_M &= \frac{10^3(1+\gamma)}{g} \frac{V_6}{f_6}; \quad S_6 = V_6 T_6; \quad \tau = \frac{t}{T_M} \end{aligned} \quad (70)$$

(68) და (69) განტოლებებიდან ფარდობით ერთეულებში, როგორც არაწრფივ სისტემათა თეორიაშია მიღებული შეიძლება დავწეროთ:

$$\frac{dy}{d\tau} = f^* - W^* = Q(x, y) \quad (71)$$

$$\frac{dx}{d\tau} = P(x, y) = y \quad (72)$$

$$y = \frac{dy}{dx} = f^* - W^* = \frac{Q(x, y)}{P(x, y)} \quad (73)$$

(71) და (73)-ში : *-სათვის აუცილებელია მხედველობაში გვერდეს:

$$W^* = \frac{W}{F_6} + \frac{a+bV+cV^2}{F_6} = \frac{a}{f_6} + \frac{b}{f_6} V_6 y + \frac{C V_6^2}{f_6} y^2 = a_1 + b_1 y + C_1 y^2 \quad (74)$$

$$\text{სადაც } a_1 = \frac{a}{f_6}; b_1 = \frac{b}{f_6} V_6; c_1 = \frac{c}{f_6} V_6^2.$$

როგორც ჩანს (71) და (73)-დან, მათში არ არის არანაირი კოეფიციენტი. რომელ ერთეულებშიც გვინდა მივიღოთ ამოცანის ამონასსნი, შეგვიძლია ვისარგებლოთ დამიკიდებულებით (70). ასე მაგალითად, თუ აჩქარება $g=9,81\text{m/s}^2$ -ს გავზომავთ gN/m^2 -ში, მაშინ T_M გამოჩნდება რიცხვი 127000 ნაცვლად 9,81-ი, შეიცვლება ასევე $S=V_6 T_6$.

რა ერთეულებში იქნება გამოსახული ბაზისური სიდიდეები, იმავე ერთეულებში იქნებიან თავად ცვლადები. გარდა ამისა, გრაფიკულ და გრაფო-ანალიზური ხერხებით ამოხსნა (71) (73)-ის არაა საჭირო. არაა აუცილებელი მასშტაბების შერჩევა, რადგანაც ყველა ცვლადი გამოსახულია წილობრივ ერთეულებში და აქვთ ერთი და იგივე მასშტაბი. გამოსახულება (73) წარმოადგენს ფიზიკური ტრაექტორიის დიფერენციალურ გამოსახულებებს, ფიზიკურ სიბრტყეში Y და X და მათი ამონასსნი მთლიანად დამოკიდებულია ფუნქციაზე $\frac{Q(x,y)}{P(x,y)}$ იმ

შემთხვევაში, როცა ანალიზურად (73) შეუძლებელია ამოვხსნათ, მაშინ მიმართავენ ცნობილ გრაფო-ანალიზურ მეთოდს იზოკლინას ან "დელტა" მეთოდს, რომელიც ფართოდ გამოიყენება არაწრფივი სისტემების გამოკვლევაში. [23;24;25;26]

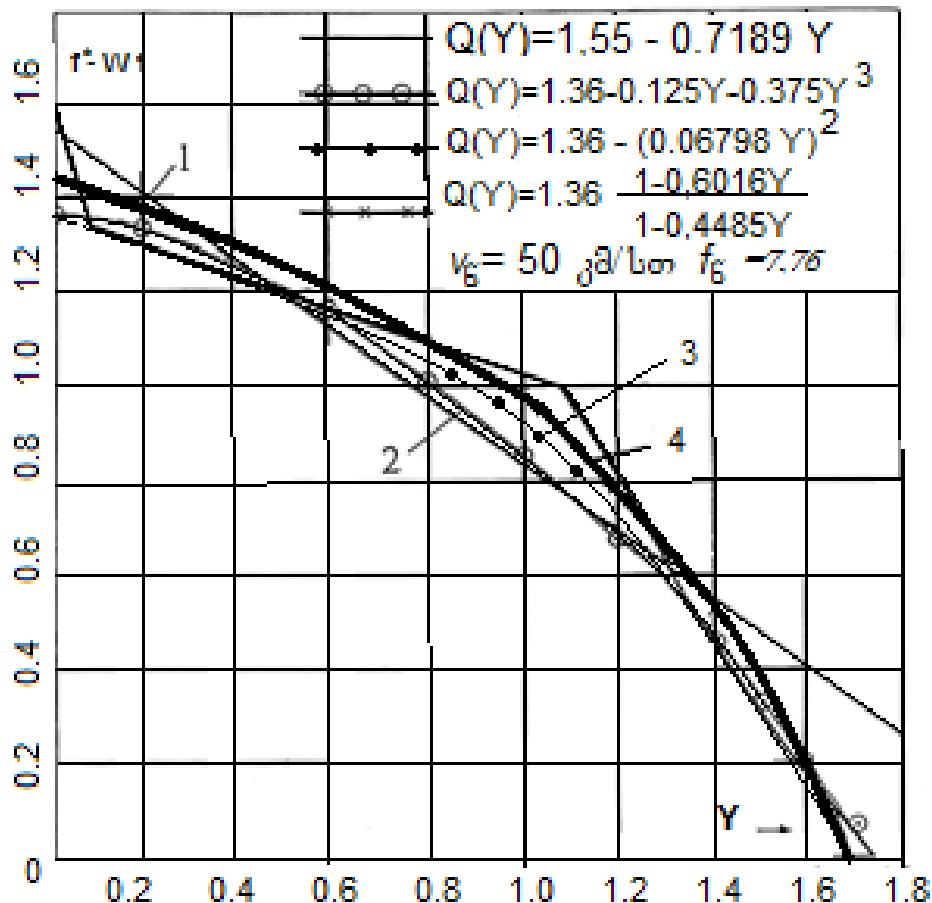
ამოცანის ანალიზური გადაწყვეტისათვის აუცილებელია შევარჩიოთ მარტივი ფუნქცია, რომელიც კარგად ახდენს არაწრფივ დამოკიდებულების აპროქსიმაციას.

$Q(y) = f^* - W^*$ ამასთან მარტივად ინტეგრირდება და საშუალებას იძლევა ინტეგრირების შემდეგ მივიღოთ მარტივი ფორმულები, რომელიც საშუალებას იძლევა ჩატარდეს მარტივი გამოთვლითი გაანგარიშები. [29]

სხვადასხვა დროს, სხვადასხვა ავტორის მიერ შეთავაზებულ იქნა სხვადასხვა ფუნქციები, რომლებიც მთლიანად ან ნაწილობრივ ახდენდა $Q(Y)$ არაწრფივი დამოკიდებულების აპროქსიმაციას მაგალითად, მთლიანად წრფის, სამწევრა პარაბოლის და ა.შ. სახით.

შველა ამ მეთოდმა დღემდე ვერ ნახა პრაქტიკული გამოყენება უზუსტობის და საბოლოო ფორმულების სირთულის გამო. [8;10;30]

ნახ. 17-ზე კოორდინატებში ($f^* - W^*$) და Y ფარდობით ერთეულებში მოყვანილია ВЛ10 ელექტრომავლის $Q(Y)$ დამოკიდებულება შემადგენლობის საერთო წონით 5000 δ (ცხიმოვანი ლიანდაგი). აქვე ნაჩვენებია $Q(Y)$ -ის ერთი წრფით ($f_m - k \cdot y$) და პარაბოლით $a \cdot y^2 + b \cdot y + c'$ (მრუდი 2), როგორც ნახაზიდან ჩანს, ნაჩვენები მრუდები შორსაა რეალური დამოკიდებულებისაგან $Q(Y)$.



ნახ. 17. წევის მახასიათებელი ფარდობით ერთეულებში და მისი აპროქსიმაციის სხვადასხვა გარიანტი

სადისერტაციო ნაშრომში შეთავაზებულია წილად-წრფივი ფუნქციის გამოყენება, რომელიც სხვა ფუნქციებზე უკეთ ახდენს

არაწრფივი $Q(Y)$ დამოკიდებულების აპროქსიმაციას და ინტეგრირების შემდეგ გვაძლევს მარტივ გამოსახულებებს, რომელიც მოსახერხებელია გამოთვლებისათვის თანამედროვე კალკულატორის გამოყენებით, რომლებსაც გააჩნია ელემენტალური ფუნქციები. მითითებულ ფუნქციას შემდეგი სახე აქვს:

$$Q(y) = f_m \frac{1-ay}{1-by} \quad (75)$$

სადაც f_m , a და b - კოეფიციენტები, განისაზღვრება საცდელი წერტილების საფუძველზე შემდეგი დამოკიდებულებებით.

$$b = \frac{f_0}{(f_2 - f_1)} \cdot \frac{A_1 y_2 - A_2 y_1}{y_1 y_2}; \quad a = \frac{1}{y_1} [A_1 + \frac{f_1}{f_0} y_1 b] \quad (76)$$

$$\text{სადაც } A_1 = \frac{f_0 - f_1}{f_0}; \quad A_2 = \frac{f_0 - f_2}{f_0};$$

$$f_0 \text{ განისაზღვრება (75)-დან, როცა } y=0; \quad f = f_0.$$

ქანობის გათვალისწინება (75)-ში ხდება შემდეგი გამოსახულების საფუძველზე:

$$Q(y) \pm i = f_0 \frac{1-ay}{1-by} \pm i \quad (77)$$

უბრალო გარდაქმნების ჩატარებით (77) საბოლოოდ მივიღებთ:

$$Q(y) \pm i = f_{0i} \frac{1-a_i y}{1-by} \quad (78)$$

$$\text{სადაც } f_{0i} = (f_0 \pm i); \quad a_i = \frac{f_0 a \pm ib}{f_0 + i} \quad (79)$$

გამოსახულება (78) გულისხმობს იმას, რომ ქანობების შემთხვევაში $\pm i$ (75) გამოსახულებაში საჭიროა (79)-დან განვსაზღვროთ მხოლოდ f_0 და a .

დღემდე არსებული წევის გაანგარიშების გრაფიკული მეთოდები რომლებსაც გვთავაზობს გზათა მიმოსვლის სამინისტრო საქმარისად ზუსტია, ამიტომ ჩვენს მიერ შეთავაზებული წმინდა ანალიზური მეთოდით მიღებული შედეგები შედარებულ იქნება გზათა მიმოსვლის სამინისტროს მეთოდთან. თუ (75) ჩავსვამთ (71) და (73)-ში

ინტეგრირების შემდეგ საწყისი პირობების გათვალისწინებით, საერთო შემთხვევაში მივიღებთ:

$$\Delta \tau = \frac{1}{a^2 f_m} \left[(b-a) \ln \frac{1-ay}{1-ay_0} + b(ay - ay_0) \right] \quad (80)$$

$$\Delta x = \frac{1}{a^3 f_m} \left[(b-a) \ln \frac{1-ay}{1-ay_0} + (b-a)(ay - ay_0) + \frac{b}{2} ((ay)^2 - (ay_0)^2) \right] \quad (81)$$

სადაც Y_0 ფარდობითი სიჩქარის საწყისი მნიშვნელობაა. დამოკიდებულებები $x = f(Y)$ და $\tau = f(Y)$, რომლებიც განსაზღვრულია (80) და (81) მოყვანილია ნახ. 18. და აღნიშნულია “ჯვრებით”, გრაფიკული გზით მიღებული იგივე მონაცემები მრუდზე ასახულია “წერტილებით”.

Х-ის დამოკიდებულება τ დროზე, შესაძლოა განისაზღვროს გრაფიკული მეთოდით, გამოვალთ რა ორი მრუდიდან $x = f(Y)$ და $\tau = f(Y)$ -დან. (80) და (81)-ის საფუძველზე.

ცალკე შემთხვევაში, საჭიროებისას ეს დამოკიდებულებები ასევე შეიძლება მივიღოთ გრაფო-ანალიზური მეთოდით $x = f(Y)$ მრუდიდან დამოკიდებულების საფუძველზე:

ეს დამოკიდებულებები ასევე შეიძლება მივიღოდ გრაფო-ანალიზური მეთოდით $y=f(x)$ მრუდიდან. დამოკიდებულების საფუძველზე:

$$\frac{\Delta x}{Y_{\text{სა}}}= \Delta \tau \quad (82)$$

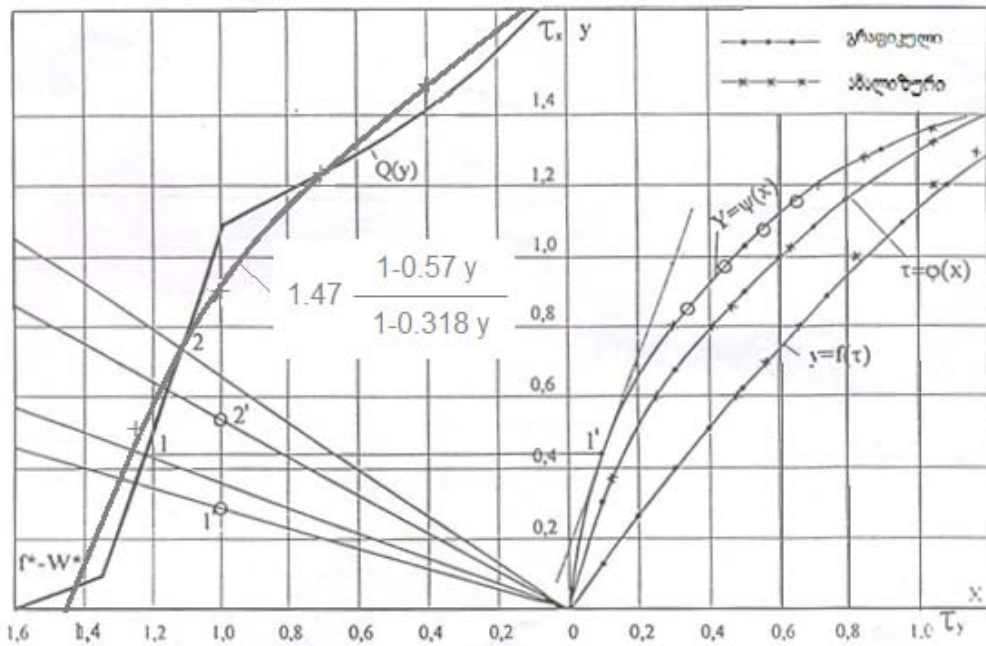
ნახ. 18-ზე (80) და (81) ანალიზური, როცა $f_m = 1,36$, $\alpha = 0,6016$, ხოლო $b=0.4485$ -ს და გრაფიკული მეთოდით მიღებული შედეგების ანალიზი აჩვენებს მათ კარგ დამთხვევას.

თვალსაჩინოებისათვის ორივე მეთოდით მიღებული შედეგები მოყვანილია ცხრილ 4 -ში, საიდანაც ასევე ჩანს მათი კარგი დამთხვევა.

ცხრილი 4.

ტება

$Q(Y)$	y	0	0.2	0.4	0.6	0.8	1.0	1.2	1.4
$f_m \frac{1-ay}{1-by}$	τ_1	0	0.1478	0.304	0.468	0.6416	0.8325	1.055	1.353
	x_1	0	0.0149	0.0617	0.1437	0.264	0.438	0.682	1.076
გრაფ.	τ_2	0	0.15	0.3	0.47	0.65	0.84	1.08	1.315
	x_2	0	0.025	0.07	0.17	0.3	0.47	0.7	1.15



ნახ. 18. გრაფიკული და შეთავაზებული ანალიზური ფორმულებით
მიღებული $x = f(Y)$ და $\tau = f(Y)$ მრუდები

2.5.1 სამუხრუჭო რეჟიმის გაანგარიშება

ამ შემთხვევაში სამუხრუჭო ამოცანის გადაწყვეტა ხდება ასევე
დიფერენციალური განტოლების (71), (72) და (73)-ის ინტეგრირებით,
რომლებიც ასევე არაწრფივია.

სამუხრუჭო ამოცანის გადაწყვეტისას $Q(Y)$ ფუნქციის ნაცვლად
გვექნება:

$$Q(Y) = W^* + b^* \pm i^*$$

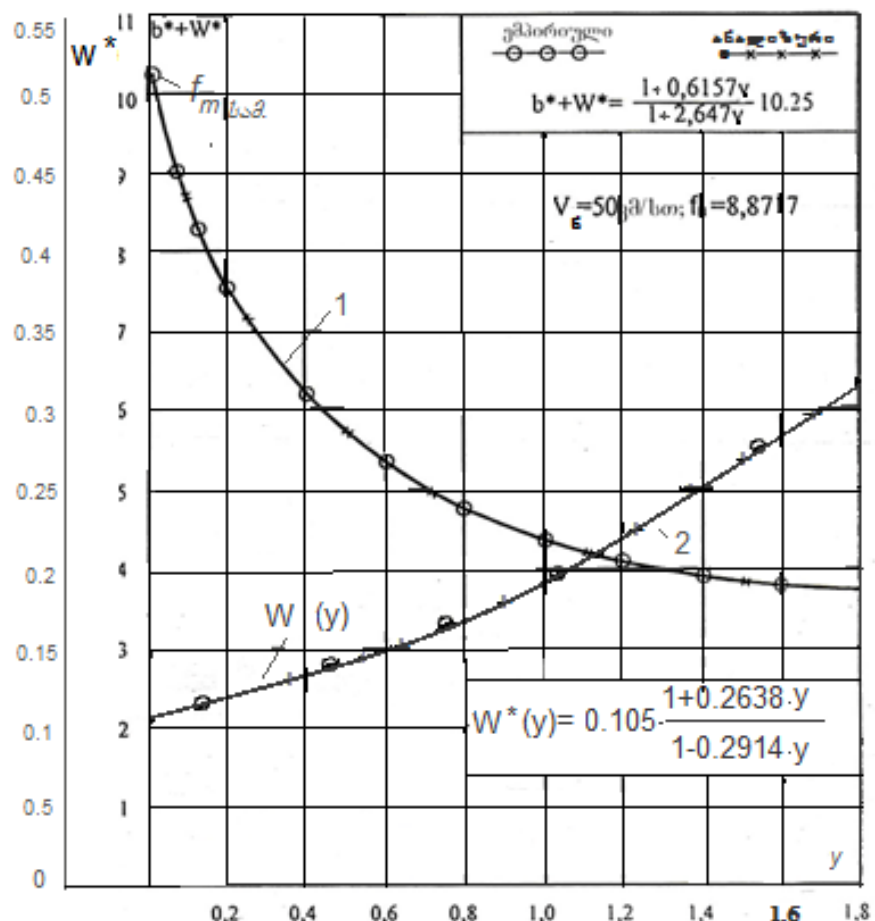
W^* -სათვის ჩვენს მიერ დაწერილია ანალიზური გამოსახულება (74)
ფარდობით ერთეულებში. მოვნახოთ ანალიზური გამოსახულება b^* ,
რომელიც ტოლი იქნება:

$$\begin{aligned} b^* &= \frac{b}{f_6} = \frac{\varphi \cdot 10^3}{f_6} = 0.27 \frac{V+100}{5V+100} \cdot 0.33 \frac{10^3}{f_6} \\ b^* &= \frac{90}{f_6} \cdot \frac{V_6 Y + 100}{5V_6 Y + 100} = \frac{90}{f_6} \frac{Y+2}{5Y+2} \end{aligned} \quad (83)$$

ჩავსვათ (74) (83)-ში და ავაგოთ დამოკიდებულება $W^* + b^*$ ფარდო-
ბითი სიჩქარისაგან Y . ეს მრუდი მოყვანილია ნახ. 19-ზე.

ბევრი სხვა ავტორისაგან განსხვავებით, რომლებიც უშუალოდ სვამებ ანალიზურ გამოსახულებას (W^*+b^*) ძირითად დიფერენციალურ განტოლება (74)-ში და ინტეგრირების შედეგად იღებენ რთულ ფორმულებს, რომელთა გამოყენებაც დაკავშირებულია დიდი მოცულობის გამოთვლით სამუშაოებთან. [1;8;13;14]

გამოთვლების გამარტივებისათვის, მოსახერხებელია W^*+b^* მრუდი შევცვლით წილად-წრფივი ფუნქციით, რომლის ჩასმაც (71) და (72)-ის ინტეგრირების შედეგს გვაძლევს შედარებით მარტივ გამოსახულებებს.



ნახ. 19. ემპირიულად და ანალიზურად მიღებული $Y=f(W^*+b^*)$ და $Y=f(W^*)$ შემანელებელი ძალის მრუდები

მაშ ასე, $W^*+b^*=Q(Y)$ დამოკიდებულების აპროქსიმაცია მოვახდინოთ

$$Q_{\text{bsd.}} = W^* + b^* \pm i^* = f_{m\text{bsd.}} \frac{1+my}{1+ny} \quad (84)$$

სადაც $f_{m\text{bsd.}}$, m და n – მუდმივებია, რომლებიც განისაზღვრება ცნობილი მეთოდით $Q_{\text{bsd.}}(Y)$ მრავდიდან და შეესაბამება, ანალოგიურ გამოსახულება (2 . 9)

$$n = \frac{f_{m\text{bsd.}}}{f_2 - f_1} \cdot \frac{A_1 y_2 - A_2 y_1}{y_1 y_2} ; \quad m = \frac{1}{y_1} \left[A_1 + \frac{f_1}{f_{m\text{bsd.}}} ny_1 \right] \quad (85)$$

$$\text{სადაც } A_1 = \frac{f_1 - f_{m\text{bsd.}}}{f_{m\text{bsd.}}} ; \quad A_2 = \frac{f_2 - f_{m\text{bsd.}}}{f_{m\text{bsd.}}} .$$

გადასარბენზე ქანობების არსებობის შემთხვევაში:

$$W^* + b^* \pm i = f_{m\text{i.}} \frac{1+m_i y}{1-n y} \quad (86)$$

$$f_{\text{bsd.}i} = (f_{m\text{bsd.}} \pm i) ; \quad m_i = \frac{f_{m\text{bsd.}} m \pm in}{f_{m\text{bsd.}} \pm i} \quad (87)$$

როგორც ეს ჩანს (86) და (87)-დან აღნიშნული გამოსახულებები იმურებენ (78) და (79)-ს.

ნახ. 19-ზე წერტილები, რომლებიც შეესაბამება $Q_{\text{bsd.}}(Y)$ -ს, აღნიშნულია წრეებით და წერტილები, რომლებიც შეესაბამება (91)-ს, აღნიშნულია “ჯვრებით”. როგორც ნახაზიდან ჩანს დამთხვევა იდეალურია.

(84)-ის ჩასმით (71) და (73)-ში და ინტეგრირებით საბოლოოდ მოვიდებთ;

$$\Delta \tau = \frac{1}{m^2 f_{m\text{bsd.}}} \left[n(my_0 - my) - (n-m) \ln \frac{1+my_0}{1+my} \right] \quad (88)$$

$$\Delta x = \frac{1}{m^3 f_{m\text{bsd.}}} \left[(m-n)(my_0 - my) - (n-m) \ln \frac{1+my_0}{1+my} + \frac{n}{2} ((my_0)^2 - (my)^2) \right] \quad (89)$$

Y-ის დამოკიდებულება $\Delta \tau$ და Δx ცვლადებზე, (88) და (89)-ის საფუძველზე. ჩატარებული ანგარიშის შედეგი, მოყვანილია ცხრილ 5-ში. სადაც ყოველი $\Delta \tau$ და Δx კორდინატი მიიღება წინა კორდინატა მნიშვნელობის ჯამით, როცა $f_m = 10,25$, $m=0,6157$, $n=2,647$

თვალსაჩინოებისათვის აღნიშნული გამოსახურების ანგარიშის შედეგი მოყვანილია ნახ. 20-ზე მრუდი 1 და მრუდი 2-ის სახით.

ცხრილი 5.

დამუხრუჭება

Y	1.8	1.6	1.4	1.2	1	0.8	0.6	0.4	0.2	0
τ	0	0.051	0.102	0.149	0.194	0.237	0.275	0.31	0.333	0.362
x	0	0.088	0.163	0.251	0.27	0.313	0.34	0.36	0.37	0.37

2.5.2. გორგის რეჟიმი

ამ შემთხვევაში მატერებლის ძირითადი წინააღმდეგობა იქნება $W^* \pm i^*$. (74) ჩასმით (71) და (72)-ში ინტეგრირების შემდეგ $4c_1a_1 \geq b_1^2$ გათვალისწინებით მივიღებთ ამოცანის ზუსტ გადაწყვეტას, თუმცა ამ შემთხვევაში ანალიზური გამოსახულებები მიიღება რთული, რომელიც არ იძლევა შესაბამისად მარტივად τ და x-ის გამოთვლის საშუალებას, სხვა რომელიმე i^* ქანობის დროს, ნახ. 20-ზე მოყვანილი მრუდი 1 და მრუდი 2-ის გამოყენებით. ცნობილ სირთულეებს, რომლის შესახებაც ვისაუბრეთ თავის დასაწყისში, შეიძლება გვერდი ავუაროთ, თუ მრუდ $W^*(y)$ ფუნქციას, როგორც წევის და სამუხრუჭო რეჟიმის შემთხვევაში, შევცვლით ანალიზური გამოსახულებით წილად-წრფივი ფუნქციის სახით.

თუ ჩავსვამთ რიცხობრივ მნიშვნელობებს a_1, b_1, c_1 (74)-ში, გარდაქმნების შემდეგ საბოლოოდ მივიღებთ:

$$W^*(y) \pm i^* = 0.105 + 0.03776y + 0.0479y^2 \quad (90)$$

აქ აუცილებელია აღინიშნოს, რომ (90)-ში უგულებელვყავით სხვაობა a, b და c კოეფიციენტებს შორის წევის და გორგის რეჟიმის დროს.

ნახ. 20-ზე მრუდი 2, რომელიც შეესაბამება (90)-ს, როცა $i^* = 0$. აღნიშნული მრუდის ზუსტი აპროქსიმაცია შესაძლებელია მოვახდინოთ ანალიზური გამოსახულებით

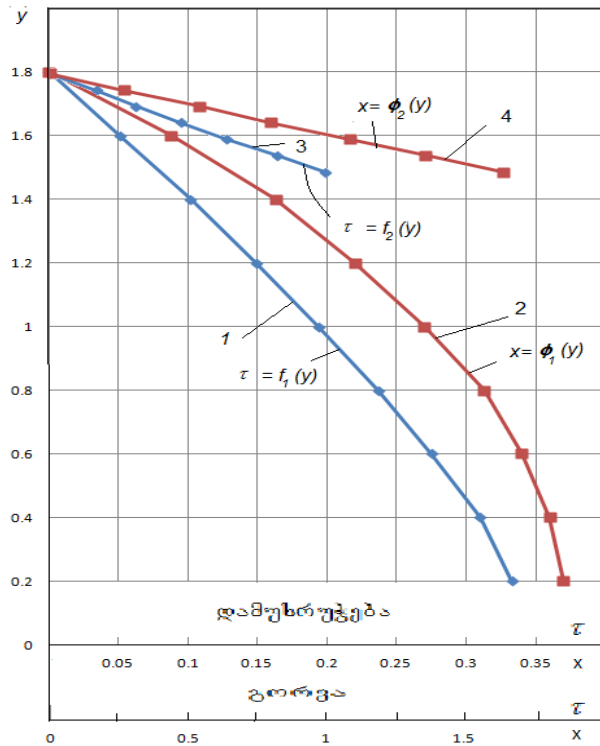
$$W^*(y) = W_0 \frac{1+m_1 y}{1-n_1 y} \quad (91)$$

წერტილები, რომლებიც შეესაბამება (91) გამოსახულებას, როცა $W_0 = 0.105$; $m_1 = 0.2638$; $n_1 = 0.2914$, აღნიშნულია „ჯვრებით”. როგორც ჩანს დამთხვევა იდეალურია.

m_1 და n_1 კოეფიციენტები განისაზღვრაბა საცდელი წერტილების მეშვეობით შემდეგი დამოკიდებულებების საფუძველზე:

$$n_1 = \frac{W_0}{W_1^* - W_2^*} \frac{A_1 y_2 - A_2 y_1}{y_1 y_2} ; \quad m_1 = \frac{1}{y_1} \left[A_1 - \frac{W_1^*}{W_0} n_1 y_1 \right] \quad (92)$$

$$\text{სადაც } A_1 = \frac{W_1^* - W_0}{W_0}; \quad A_2 = \frac{W_2^* - W_0}{W_0}$$



ნახ. 20. τ და x -ის y -ზე დამოკიდებულების უნივერსალური მრუდები დამუხტუქებისას და გორგის დროს

$\pm i$ ქანობის შემთხვავაში გამოსახულება (91) ექნება შემდეგი სახე:

$$W_i^*(y) = W_{0i} \frac{1+m_{li}y}{1-n_{li}y} \quad (93)$$

$$W_{0,i} = (W_0 \pm i), \quad m_{li} = \frac{m_1 W_0 \mp n_1 i}{(W_0 \pm i)} \quad (94)$$

(91)-ის ჩასმით ამოსავალ დიფერენციალურ განტოლებებში (71) და (73)-ში საწყისი და საბოლოო მნიშვნელობების გათვალისწინებით ინტეგრირების შემდეგ საბოლოოდ მივიღებთ:

$$\Delta \tau = \frac{1}{m_1^2 W_0} \left[(n_1 + m_1) L n \frac{1+my_1}{1+m_1 y_0} - n_1 (m_1 y - m_1 y_0)_1 \right] \quad (95)$$

$$\Delta x = -\frac{1}{m_1^3 W_0} \left[-(n_1 + m_1) L n \frac{1+m_1 y}{1+m_1 y_0} + (n_1 + m_1)(m_1 y - m_1 y_0) - \frac{n_1}{2} ((my)^2 - (my_0)^2) \right] \quad (96)$$

როგორც (80)-(81), (88)-(89) და (95)-(96) ფორმულებიდან ჩანს, სტრუქტურის მიხედვით ისინი სავსებით ერთნაირია, მიუხედავად იმისა, რომ დამუხრუჭებისას და გორვისას მოძრაობის სხვადასხვა რეჟიმებს აღწერენ. განსხვავება მხოლოდ ნიშნებშია და მუდმივი კოეფიციენტების სხვადასხვა მნიშვნელობებში, რომლებიც შედიან ამ ფორმულებში. ზემოთ აღნიშნული წარმოადგენს ჩვენს მიერ მოყვანილი ანალიზური მეთოდის მნიშვნელოვან უპირატესობას, წევის გაანგარიშების ჩატარების დროს.

(95) და (96)-ის საფუძველზე Y დან $\Delta \tau$ და Δx -ის გამოთვლილი მნიშვნელობები, როცა $f_m = 0,105$; $m=0,2638$; $n=0,2914$ მოყვანილია ცხრილში 6.

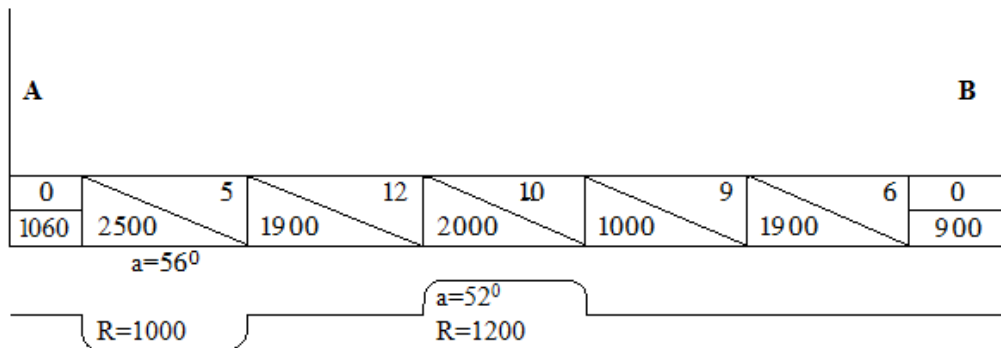
ცხრილი 6.

გორგა							
Y	1.8	1.75	1.7	1.65	1.6	1.55	1.5
τ	0	0.1694	0.3128	0.475	0.643	0.824	1.0
x	0	0.267	0.5433	1.0158	1.09	1.365	1.645

2.5.3. აღნიშნული მეთოდის გამოყენება წევის გაანგარიშების აბსოლუტურ ერთეულებში ჩატარების შემთხვევაში

ჩავატაროთ წევის ანგარიში აღნიშნული მეთოდით, მხოლოდ გაანგარიშება ვაწარმოოთ აბსოლუტურ ართეულებში და მიღებული შედეგები შევადაროთ პრაქტიკაში ყველაზე გავრცელებულ გზათა მიმოსვლის სამინისტროს მეთოდით მიღებულ შედეგს გაანგარიშებები აბსოლუტურ ერთეულებში ვაწარმოოთ შემდეგი მონაცემების საფუძველზე, მოცემულობაში მოყვანილ AB გადასარბენზე იხ. ნახ. 21. მოცემულია:

1. ელექტრომავლის სერია ВЛ10;
2. ოთხდერძიანი ვაგონების წონითი წილი $\beta_4=0.3$
3. ექვს დერძიანი ვაგონების წონითი წილი $\beta_6=0.7$
4. ოთხ დერძიანი ვაგონების წონა $q_4=60\text{t}$.
5. ექვს დერძიანი ვაგონების წონა $q_6=90\text{t}$.
6. სადგურის ლიანდაგების სასარგებლო სიგრძე 1050მ ელმავლის.
7. გზის გრძივი პროფილის სიგრძე $l = 11,15 \text{ km}$.



ნახ. 21. AB გადასარბენზე გზის პროფილი

არსებული წევის გაანგარიშება მოიცავს:

1. პროფილის გასწორებას;
2. საანგარიშო ქანობის არჩევას;

3. მატარებლის წონის განსაზღვრას;
4. ამაჩქარებელ და შემანელებელ ძალთა მრუდების გაანგარიშებასა და აგებას;
5. სიჩქარის მრუდის აგებას, რაც გულისხმობს $V=f(s)$;
6. დროის მრუდის აგებას, რაც გულისხმობს $t=f(s)$;
7. დენის მრუდის აგებას, ანუ $I_3=f(s)$ ან $I_3(t)$
8. ენერგიის ხარჯის განსაზღვრას;
9. წევის ძრავების შემოწმება გახურებაზე.

იმ შემთხვევაში, თუ ძრავის ტემპერატურა აჭარბებს დადგენილ ნორმებს, ცვლიან მოძრაობის რეჟიმს იმ გვარად, რომ შენარჩუნებულ იქნას ელექტრომაგლის ექსპლუატაციის ნორმალური პირობები. [11]

პროფილის გასწორება და საანგარიშო ქანობის არჩევა დაწვრილებითაა განხილული 1.9 პარაგრაფში. AB გადასარბენის გზის პროფილი ანალიზური სახით, პროფილის გასწორება და შედეგების საფუძველზე საანგარიშო ქანობის არჩევა მოყვანილია ცხრილში 7.

როგორც ცხრილი 7-დან ჩანს, გზის პროფილის მე-4 და მე-5 ელემენტები გაერთიანდა.

რადგან AB მიმართულებით მატარებლის მოძრაობა წარმოებს სრულ დალმართზე, საანგარიშო ქანობი არ იცვლება.

ცხრილი 7.

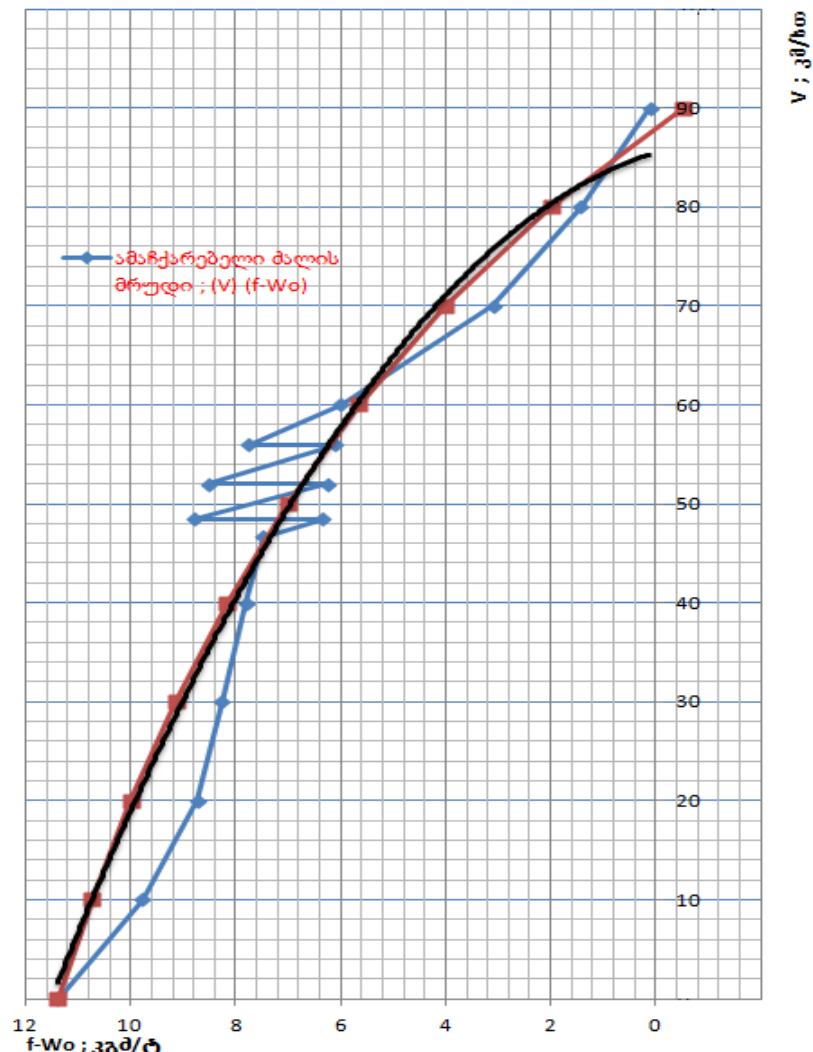
რკინიგზის უბნის პროფილი

№	i	S	R	a		i'_3	i''_3	i_{3AB}	S_3	№
1	0	950	—	—		0	—	0	950	1
2	-5	2500	1000	56^0		-5	0.3	-4.7	2500	2
3	-12	1900	—	—		-12	—	-12	1900	3
4	-10	2000	1200	52^0						
5	-9	1000	—	—		-9.6	0.2	-9.4	3000	4
6	-6	1900	—	—		-6	—	-6	1900	5
7	0	900	—	—		0	—	0	900	6

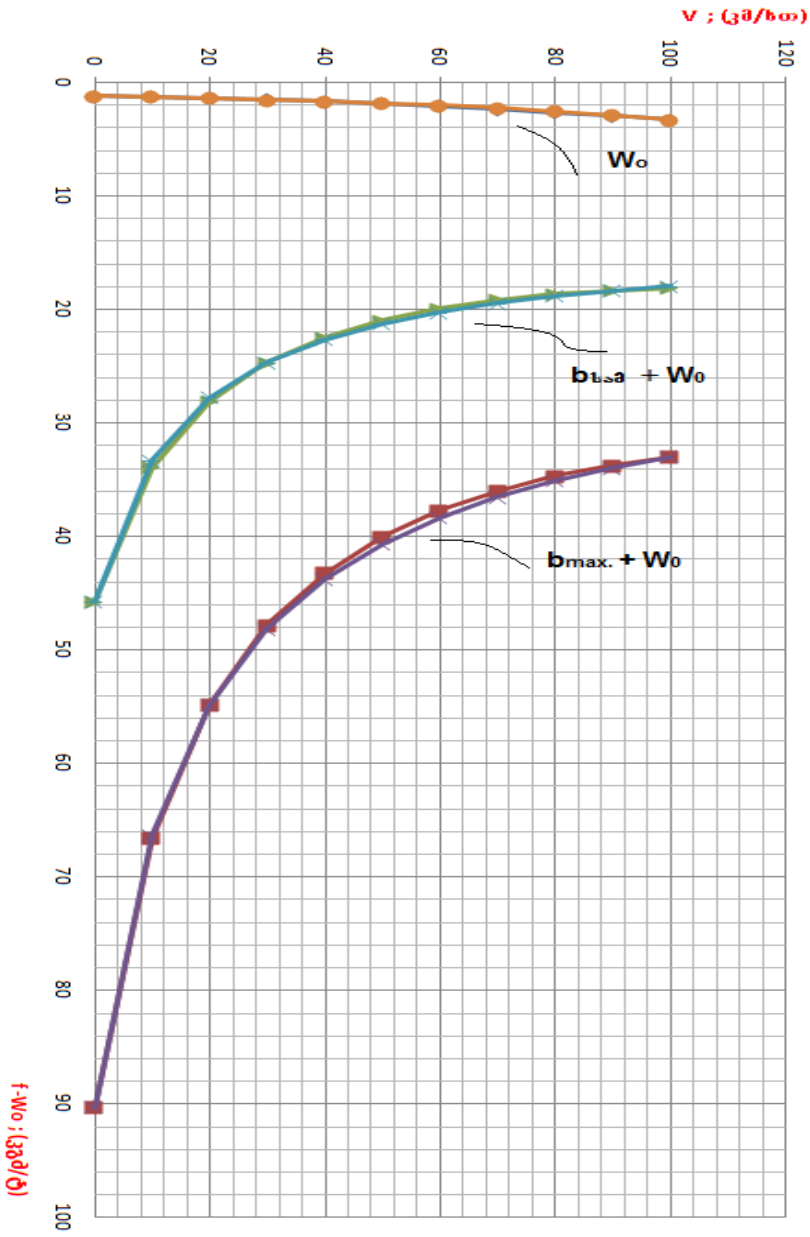
მატარებლის წონის განსაზღვრა წარმოებს 2.1. პარაგრაფის საფუძველზე. ცნობილი მეთოდით AB მიმართულებით ვირჩევთ მატარებლის ოპტიმალურ წონას, რომელიც შეადგენს 4800ტ. აღნიშნული წონის მატარებელი აკმაყოფილებს 2.1. პარაგრაფში მოცემულ ყველა პირობას.

ამაჩქარებელ და შემანელებელ ძალთა დიაგრამების გაანგარიშება წარმოებს ცნობილი მეთოდით (იხ. 1.7 პარაგრაფი).

როგორც ცნობილია ამაჩქარებელ ძალთა მრუდს $(f-W_0)=f(v)$ წარმოადგენს დამოკიდებულება, იხ. ნახ. 22. იგი აიგება VL10 ელექტრომავლის სარეჟიმო მახასიათებლის მიხედვით $F(V)$.



ნახ. 22. $(f-W_0)=f(v)$ რეალური ამაჩქარებელი ძალის მრუდი და მისი აპროქსიმაცია შეთავაზებული მეთოდით



ნახ. 23. $(b_0 + W_0) = f(v)$; $W_0 = f(v)$ შემანელებელი ძალების მრუდები და მათი აპროქსიმაცია შეთავაზებული მეთოდით

კუთრი წევის ძალა გამოითვლება ფორმულით $f = \frac{F}{P+Q}$ კგ/ტ.

კუთრი ხვედრითი წინააღმდეგობა ლოკომოტივის დენით მოძრაობის დროს.

$$W_0 = \frac{P - W'_0 + QW''_0}{P + Q} \text{ კგ/ტ}$$

პრაქტიკულად ამაჩქარებელ ძალთა მრუდის აგება ხდება ე.მ.შ. მუშა მახასიათებლის საფუძველზე. აღნიშნული მახასიათებელი მოცე-

მულია წევის გაანგარიშების წესებში (წ.გ.წ). მოცემულობის მიხედვით ჩატარებული გაანგარიშების შედეგები მოყვანილია ცხრილში 8.

როგორც ცნობილია, შემანელებელ ძალთა მრუდებს წარმოადგენს $b_{\max} + W_{03} = f(v)$ ექსტრემალური დამუხრუჭების შემთხვევაში, $b_{\text{სამ}} + W_{03} = f(v)$ სამომსახურეო დამუხრუჭების დროს, ხოლო თავისუფალი გორგისას $W_{03} = f(v)$ დამოკიდებულება, იხ. ნახ. 23.

მატარებლის მოძრაობისადმი ძირითადი ხვედრითი წინააღმდეგობა ელმავლის უდენოდ სვლის შემთხვევაში გამოითვლება ფორმულით:

$$W_{03} = \frac{PW' + QW''}{P+Q} \text{ კგძ/ტ;}$$

b_{\max} სამუხრუჭო ძალა ტოლია:

$$b_{\max} = \varphi \zeta 10^3 \text{ კგძ/ტ},$$

სადაც $\zeta = 0.33$ - კოეფიციენტია სატვირთო მატარებლებისათვის.

φ ხახუნის კოეფიციენტი გამოითვლება შემდეგი ფორმულით
 $\varphi = 0.27 \frac{V+100}{5V+100}; \quad$ სამომსახურეო დამუხრუჭების ძალა $b_{\text{სამ}} = 1.5b_{\max};$

$W' = 2.4 + 0.01V + 0.00035V^2 \text{ კგძ/ტ}$ ლოკომოტივის ძირითადი წინააღმდეგობის ძალა გამოითვლება

$$W'' = \beta_4 W''_{04} + \beta_6 W''_{06} \quad \text{კგძ/ტ}$$

ოთხდერძიანი და ექვსდერძიანი და რვადერძიანი ვაგონების ძირითადი წინააღმდეგობის ძალა გორგოლაჭიანი საკისრების შემთხვევაში გამოითვლება შესაბამისად:

$$W''_{04} = 0.7 + \frac{3 + 0.1V + 0.0025V^2}{q_{04}}, \quad \text{სადაც } q_{04} = \frac{q_4}{4};$$

$$W''_{06} = 0.7 + \frac{3 + 0.08V + 0.002V^2}{q_{06}}, \quad \text{სადაც } q_{06} = \frac{q_6}{4};$$

$$W''_{08} = 0.7 + \frac{6 + 0.026V + 0.0017V^2}{q_{08}} \quad \text{სადაც } q_{08} = \frac{q_8}{8};$$

აღნიშნული ფორმულებით $W''_{04} = 1.6 \text{ კგძ/ტ}; \quad W''_{06} = 1.7 \text{ კგძ/ტ}.$

ჩატარებული გაანგარიშების შედეგები მოყვანილია ცხრილში 9.

ცხრილი 8.-ის და ცხრილი 9.-ის მიხედვით აგებულ ამაჩქარებელ და შემანელებელ ძალთა დიაგრამები მოყვანილია შესაბამისად ნახ. 22. და ნახ. 23-ზე.

გხრილი 8.

ამაჩქარებელი $f - W_0$ ძალის ანგარიში ე.მუ.ს $Q = 4860 \text{ ტ.}$

$V_{\text{გ/სო}}$	0	10	20	30	40	46.7	48.5	48.5	52	52	56	56	60	70	80	90	100
$F_{\text{გგd}}$	62600	52400	50200	48500	47000	46000	40600	52800	40500	51800	40200	48400	40100	26900	20000	15000	11200
$f_{\text{გგd/გ}}$	12.56	1051	10.07	9.73	9.43	9.23	8.15	10.59	8.12	10.39	8.06	9.71	8.04	5.39	4.01	3.01	2.25
$W'_0_{\text{გგd/გ}}$	1.9	2.03	2.22	2.47	2.78	3.02	3.09	3.09	3.23	3.23	3.40	3.40	3.58	4.07	4.62	5.23	5.9
$P \cdot W'_0$	349.60	373.52	408.48	454.48	511.52	555.86	568.56	568.56	594.54	594.54	625.74	625.74	658.72	748.88	850.08	962.32	1085.60
$W''_{04}_{\text{გგd/გ}}$	0.90	0.98	1.10	1.25	1.43	1.57	1.61	1.61	1.69	1.69	1.79	1.79	1.90	2.18	2.50	2.85	3.23
$W''_{06}_{\text{გგd/გ}}$	1.23	1.30	1.39	1.51	1.66	1.77	1.80	1.80	1.87	1.87	1.95	1.95	2.03	2.26	2.51	2.79	3.10
W_0	1.15	1.23	1.33	1.47	1.63	1.76	1.79	1.79	1.87	1.87	1.95	1.95	2.05	2.30	2.58	2.89	3.24
$f - W_0$	11.40	9.27	8.73	8.25	7.30	7.46	6.34	8.79	6.25	8.52	6.10	7.75	5.99	3.09	1.42	0.11	-0.99

Հերովո 9.

Ցյանցը պահպանությունը $V(b_{\text{լմ}} + W_0)$; $V(b_{\text{max}} + W_0)$ և տաքիսյուգալու զորվությունը $V(W_0)$ թրամադրությունը ասացնալու սակառնությունը շ.մ.մ. Վաճառքի մեջ գումարը $Q = 4860 \text{ մ.մ.}$

$V_{\beta\theta/\omega}$	0	10	20	30	40	50	60	70	80	90	100
φ	0.27	0.19	0.16	0.14	0.12	0.11	0.108	0.102	0.097	0.093	0.089
b_{max} $\beta\theta^{\text{d}/\omega}$	89.10	65.00	53.46	46.20	41.58	38.28	35.64	33.66	32.00	30.70	29.39
$b_{\text{լմ}}$	44.55	32.50	26.73	23.10	20.79	19.14	17.82	16.83	16.00	15.35	14.68
W'_{ox}	2.40	2.54	2.76	3.04	3.40	3.82	4.32	4.88	5.52	6.22	7.00
$P \bullet W'_{\text{ox}}$	441.60	468.28	507.84	560.28	625.60	703.80	794.88	897.92	1015.68	114.54	12.88
W''_{04} $\beta\theta^{\text{d}/\beta}$	0.90	0.98	1.10	1.25	1.43	1.65	1.90	2.18	2.50	2.85	3.23
W''_{06} $\beta\theta^{\text{d}/\beta}$	1.23	1.30	1.39	1.51	1.66	1.83	2.03	2.26	2.51	2.79	3.10
W_0	1.16	1.17	1.35	1.49	1.65	1.91	2.07	2.33	2.62	2.72	3.28
$b_{\text{max}} + W_0$	90.27	66.16	54.81	47.69	43.23	40.19	37.71	35.99	34.62	33.42	32.65
$b_{\text{լմ}} + W_0$	45.72	33.66	28.08	24.59	22.44	21.05	19.89	19.16	18.62	18.07	17.96
W_0	1.16	1.17	1.35	1.49	1.65	1.91	2.07	2.33	2.62	2.72	3.28

ნახ. 21 და ნახ. 22-ზე მოყვანილ ამაჩქარებელი და შემანელებელი ძალების მრუდების აპროქსიმაციას ვაწარმოებთ ჩვენს მიერ შეთავაზებული მეთოდით. კოეფიციენტები f_m , a , b ამაჩქარებელი მრუდის f , m , n სამუხრუჭო რეჟიმის და W_0 , m_1 , n_1 გორგის რაჟიმისათვის განისაზღვრება ისე, როგორც ეს ფარდობით ერთგულებული ჩატარებული გაანგარიშებისათვის, $(f-W)=f(v)$; $(b_0+W_0)=f(v)$; $W_0=f(v)$ მრუდებიდან ცნობილი მეთოდით აღნიშნული კოეფიციენტები განისაზღვრება $i=0$ ქანობისათვის მატარებლის გასვლისას მომდევნო ქანობზე. ქანობის თავისებურებიდან გამომდინარე იცვლება a , m , m_1 კოეფიციენტები.

აღნიშნული კოეფიციენტები განისაზღვრება:

$$a' = \frac{\alpha f_m \pm ib}{f_m \pm i} \quad (97)$$

$$m' = \frac{mf_{mT} \pm in}{f_{mT} \pm i} \quad (98)$$

$$m'_1 = \frac{m_1 W_0 \mp n_1 i}{W_0 \pm i} \quad (99)$$

სადაც f_m , f_{mT} და W_0 ხვედრითი ძალების უდიდესი მნიშვნელობებია წევის, სამუხრუჭო და გორგის რეჟიმში; i იმ ქანობის სიდიდეა, რომელზედაც მოძრაობს მატარებელი.

ამაჩქარებელი და შემანელებელი ძალების მრუდების აპროქსიმაციის შედეგები მოყვანილია ცხრ.10 და ცხრ.11-ში და გრაფიკულად ასახულია ნახ. 21 და ნახ. 22-ზე. ანალიზური მნიშვნელობების გრაფიკულთან შედარებით ნათლად ჩანს მათი კარგი დამთხვევა, რაც მნიშვნელოვანწილად განსაზღვრავს მომდევნო პრაქტიკული გაანგარიშების მაღალ სიზუსტეს.

ცხრილი 10.

ამაჩქარებელი ძალის მრუდის აპროქსიმაცია

$V_{\text{ძ}}/\text{სთ}$	0	10	20	30	40	50	60	70	80
$f \cdot W$ კგძ/ტ, გრავ.	11	10.7	10	9.2	8.1	7	5.7	4.27	1.8
$f \cdot W$ კგძ/ტ, ანალიზ.	11	10.7	10	9.16	8.2	7.1	5.8	4.27	2.43

ცხრილი 11.

შემანელებელი ძალების მრუდების აპროქსიმაცია

V _გ /სთ	0	10	20	30	40	50	60	70	80	90	100
b+W კგძ/ტ გრაფ.	45.72	33.6 6	28.08	24.59	22.4 4	21.05	19.89	19.16	18.62	18.07	17.96
b+W კგძ/ტ ანალი	45.72	33.28	27.78	24.65	22.65	21.26	20.23	19.4 5	18.82	18.32	17.90

გასწორებულ გზის პროფილზე პრაქტიკულ გაანგარიშებას, მატარებლის წევის რეჟიმში გაწარმოებთ (80) და (81) ფორმულით აბსოლუტურ ერთეულებში აღნიშნული ფორმულები მიიღებენ შემდეგ სახეს:

$$\Delta t = \frac{B}{a^2} \left[(b - a) \ln \frac{1 - av}{1 - av_0} + b(av - av_0) \right] \quad (100)$$

$$\Delta S = \frac{B}{a^3} \left[(b - a) \ln \frac{1 - av}{1 - av_0} + \frac{b}{2} ((av)^2 - (av_0)^2) + (b - a)(bv - av_0) \right] \quad (101)$$

$$\text{სადაც } B = \frac{(1+\gamma)}{127(f_m \pm i)};$$

f_m - ხვედრითი წევის ძალის უდიდესი მნიშვნელობაა.

$(1+\gamma)$ მბრუნავი ნაწილების გავლენაა მატარებლის მოძრაობაზე.

ჩვენს შემთხვევაში $(1+\gamma)=1.05833$; $(f_m \pm i)$ ითვალისწინებს ქანობის გავლენას მატარებლის მოძრაობისას. ერთი ქანობის ელემენტიდან მეორეზე გადასვლის დროს იცვლება, როგორც B , რადგან იცვლება X , ასევე a შესაბამისი a' კოეფიციენტით, რომელიც იანგარიშება (97) ფორმულით. მაგ: მაშინ, როდესაც $i=0$ $a=0.011$; $b=0.0037$ როცა $i=-4.7$ $a'=0.0088$; b ქანობის მიხედვით არ იცვლება.

სამუხრავი რეჟიმის ანგარიშს გაწარმოებთ (92) და (93)

ფორმულით. აბსოლუტურ ერთეულებში აღნიშნული ფორმულები მიიღებენ შემდეგ სახეს:

$$\Delta t = \frac{B'}{m^2} \left[n(mv_0 - mv) - (n - m) \ln \frac{1 + mv_0}{1 + mv} \right] \quad (102)$$

$$\Delta S = \frac{B'}{m^3} \left[(m-n)(mv_0 - mv) - (n-m) \ln \frac{1+mv_0}{1+mv} + \frac{n}{2} ((mv_0)^2 - (mv)^2) \right] \quad (103)$$

ისევე, როგორც წევისას სამუხრუჭო რეჟიმის დროსაც ქანობის ცვლილებასთან ერთად ანალოგიურად იცვლება B და m :

$$B' = \frac{(1+\gamma)}{127(f_{mb} \pm i)},$$

f_{mb} - სამუხრუჭო ძალის უდიდესი მნიშვნელობაა, რომელიც $f_{mb} = 45.72$ კგძ/ტ ტოლია. რადგანაც მატარებლის მოძრაობა სამუხრუჭო რეჟიმში წარმოებს $i=-4.7; i=-12; i=-9.4; i=-6$ და $i=0$ სიდიდის ქანობზე. შესაბამისად იცვლება m' კოეფიციენტების მნიშვნელობები, რომლებიც იანგარიშება (98) ფორმულით. აღნიშნული ქანობების მიხედვით m' მნიშვნელობები ტოლია: 0.0129; 0.0023; 0.0066; 0.0113; 0.018. მატარებლის მოძრაობისას $i=0$ ქანობზე $m=0.018$; n კოეფიციენტი ნებისმიერი ქანობის დროს $n=0.062$ -ის ტოლია.

გორგის რეჟიმის ანგარიშს ვაწარმოებთ (95) და (96) ფორმულით. აბსოლუტურ ერთეულებში აღნიშნული ფორმულები მიიღებენ შემდეგ სახეს:

$$\Delta t = -\frac{B}{m_1^2} \left[-(n_1 - m_1) \ln \frac{1+m_1v}{1+m_1v_0} + n_1(m_1v - m_1v_0) \right] \quad (104)$$

$$\Delta S = -\frac{B'}{m_1^3} \left[(n_1 + m_1) \ln \frac{1+m_1v}{1+m_1v_0} + (n_1 + m_1)(m_1v - m_1v_0) - \frac{n_1}{2} ((m_1v)^2 - (m_1v_0)^2) \right] \quad (105)$$

ისევე, როგორც წინა შემთხვევაში, გორგის რეჟიმის დროსაც ქანობის ცვლილებასთან ერთად ანალოგიურად იცვლება B'' და m_1 კოეფიციენტები.

$$B'' = \frac{(1+\gamma)}{127(W_0 \pm i)},$$

$(1+\gamma)=1.05833$ მბრუნავი ნაწილების გავლენაა მატარებლის მოძრაობაზე. $W_0=1.2$ კგძ/ტ გორგისას ხელისა სამუხრუჭე ძალის უდიდესი მნიშვნელობაა. მატარებლის მოძრაობა გორგის რეჟიმში წარმოებს $i = -12; i = -9.4; i = -6\%$ ქანობზე. საწყისი $m_1=0.0019$ კოეფიციენტის ცვლილება ხორციელდება (99) გამოსახულებით, მოცემული ქანობებისათვის

m'_1 შესაბამისად -0.0061; -0.0063; -0.0071-ის ტოლია. $n_1 = 0.0063$ კოეფიციენტი ნებისმიერი ქანობის დროს არის უცვლელი.

$$\Delta t \text{ ანგარიში } (100), (102) \text{ ან } (104) \text{ ფორმულების გარდა შესაძლებელია } V_{\text{საშ.-საშუალო}} \text{ სიჩქარის მეშვეობით კერძოდ } \Delta t_1 = \frac{\Delta S_1}{V_{\text{საშ.1}}},$$

$$\Delta t_2 = \frac{\Delta S_2}{V_{\text{საშ.2}}} \dots \Delta t_n = \frac{\Delta S_n}{V_{\text{საშ.}n}}, \text{ სადაც } \Delta S_1, \Delta S_2, \dots, \Delta S_n \text{ იანგარიშება } (101), (103)$$

ან (105) ფორმულით.

იმისათვის, რომ მივაღწიოთ მაქსიმალურ სიზუსტეს მოძრაობის მრუდების ანგარიშს 1 კმ/სთ სიჩქარის ინტერვალით ვაწარმოებთ. მატარებლის მოძრაობის შესაბამისი რეჟიმების ანგარიში (100), (101), (102), (103), (104), (105) გამოსახულებებით ნაჩვენებია ცხრილში 12.

$V = f(s)$, მრუდის ასაგებად და მოძრაობის t დროის ანგარიშისათვის გსარგებლობთ მოძრაობის შესაბამისი რეჟიმისათვის მიღებული ΔS -ის და Δt წინასწარ განსაზღვრილი მნიშვნელობებით. $V = f(s)$, მრუდის S მანძილი განისაზღვრება, როგორც $S = \Delta S_1 + \Delta S_2 + \Delta S_3 + \dots + \Delta S_n$, ხოლო $t = \Delta t_1 + \Delta t_2 + \Delta t_3 + \dots + \Delta t_n$ ჯამი. რადგან ჩვენ ვაწარმოებთ გზათა მიმოსვლის სამინისტროს მეთოდით (იხ. 1.8 პარაგრაფი) აგებული $V = f(s)$ მრუდის შედარებას ჩვენს მიერ შეთავაზებულ ანალიზური მეთოდით მიღებულ $V = f(s)$ მრუდთან. შეთავაზებული მეთოდით მიღებული $V = f(s)$ დამოკიდებულების გრაფიკული შედარებისათვის აუცილებელია შედეგების გადაყვანა შესაბამის მასშტაბში, რომელიც რეკომენდებულია გზათა მიმოსვლის სამინისტროს მიერ (იხ. ცხრილი 2.) და ასეთი სახით მიღებული შედეგის დატანა ე.წ. “მილიმეტროვაზე”.

გზათა მიმოსვლის სამინისტროს მეთოდით მიღებული $V = f(s)$ მრუდი მოიცავს მატარებლის მოძრაობის სხვადასხვა რეჟიმს, იდენტური რეჟიმების გამოყენებით ანალიზურად გაანგარიშებულია და აგებულია $V = f(s)$ მრუდი. გზათა მიმოსვლის სამინისტროს მეთოდით აგებულ $V = f(s)$ მრუდთან ერთად, შედარებებისათვის მოყვანილია ნახ. 23-ზე. ჩვენს მიერ ანალიზური ფორმულების გამოყენებით აგებული $V = f(s)$ მრუდი ნახაზე მოყვანილია წყვეტილი, ხოლო გზათა მიმოსვლის სამინისტროს მეთოდით უწყვეტი წრფით. გრაფიკული მეთოდით

მრუდების აგება წ.გ.წ.-ს მიხედვით ხორციელდება $\Delta v = 5$ კმ/სთ ბიჯით, ამიტომ ანალიზურად მიღებული მნიშვნელობების საკონტროლო წერტილები, რომელიც ნახაზზე დატანილია „ჯვრებით”, ცხრილიდან აიღება ანალოგიური ბიჯით, გამონაკლისს წარმოადგენს ერთი ქანობიდან მეორე ქანობზე გადასვლის v სიჩქარის შესაბამისი ΔS , რომელიც აირჩევა ამავე ცხრილიდან და დაიტანება ნაზაზზე.

ჩვენს მიერ ანგარიშის სრული სურათი ზუსტად იმავე რეჟიმების გამოყენებით, როგორც გზათა მიმოსვლის სამინისტროს მეთოდის დროს, მოყვანილია ცხრილიში 12. როგორც ნახ. 23-დან ვხდავთ, დამთხვევა ორი მეთოდის მიხედვით აგებულ მრუდს შორის კარგია.

ცხრილი 12.

რეჟიმების მიხედვით დროის სეგმენტის $\Delta t(\text{წმ.})$ და გზის სეგმენტის $\Delta S(\theta)$ მნიშვნელობების განსაზღვრა

v	$i = \theta (\%)$	$s, (\theta)$	$s, (\theta\theta)$	$T, (\text{წმ.})$
	0	0	0	0
	1	0.380645	0.018271	0
	2	1.530142	0.073447	2.737292
	3	3.460118	0.166086	5.49494
	4	6.182602	0.296765	8.273404
	5	9.710039	0.466082	11.07316
	6	14.05531	0.674655	13.8947
	7	19.23176	0.923125	16.73854
	8	25.25321	1.212154	19.6052
	9	32.13398	1.542431	22.49523
	10	39.88892	1.914668	25.4092
	11	48.53344	2.329605	28.3477
	12	58.08352	2.788009	31.31133
	13	68.55577	3.290677	34.30073
	14	79.96743	3.838436	37.31656
	15	92.33641	4.432148	40.3595
	16	105.6814	5.072705	43.43026
	17	120.0216	5.761039	46.52958
	18	135.3775	6.498118	49.65822
	19	151.7698	7.28495	52.81698
	20	169.2206	8.122587	56.0067
	21	187.7526	9.012124	59.22824
	22	207.3897	9.954705	62.48251
	23	228.1567	10.95152	65.77045
	24	250.0796	12.00382	69.09304

i = -4.7 (%)	i = 0 (%)	25	273.1856	13.11291	72.45132
		26	297.5029	14.28014	75.84635
i = -4.7 (%)	i = 0 (%)	27	323.0614	15.50695	79.27927
		28	349.8922	16.79482	82.75124
i = -4.7 (%)	i = 0 (%)	29	378.0277	18.14533	86.2635
		30	407.5023	19.56011	89.81734
i = -4.7 (%)	i = 0 (%)	31	438.3519	21.04089	93.41412
		32	470.6141	22.58947	97.05526
i = -4.7 (%)	i = 0 (%)	33	504.3285	24.20777	104.4766
		34	539.5371	25.89778	108.2601
i = -4.7 (%)	i = 0 (%)	35	576.2835	27.66161	112.0944
		36	614.6143	29.50148	115.9813
i = -4.7 (%)	i = 0 (%)	37	654.5782	31.41975	119.9229
		38	696.2268	33.41889	123.921
i = -4.7 (%)	i = 0 (%)	39	739.6148	35.50151	127.9779
		40	784.7999	37.6704	132.0959
i = -4.7 (%)	i = 0 (%)	41	831.8433	39.92848	136.2774
		42	880.8099	42.27888	140.525
i = -4.7 (%)	i = 0 (%)	43	931.7687	44.7249	144.8414
		44	984.7929	47.27006	149.2295
i = -4.7 (%)	i = 0 (%)	45	1039.961	49.91811	153.6923
		46	1073.496	51.52781	156.3456
i = -4.7 (%)	i = 0 (%)	47	1108.126	53.19004	159.0266
		48	1143.876	54.90606	161.736
i = -4.7 (%)	i = 0 (%)	49	1180.775	56.6772	164.4749
		50	1218.851	58.50484	167.244
i = -4.7 (%)	i = 0 (%)	51	1258.134	60.39045	170.0443
		52	1298.657	62.33555	172.8769
i = -4.7 (%)	i = 0 (%)	53	1340.453	64.34175	175.7429
		54	1383.557	66.41071	178.6432
i = -4.7 (%)	i = 0 (%)	55	1428.005	68.54422	181.5792
		56	1473.836	70.74413	184.552
i = -4.7 (%)	i = 0 (%)	57	1521.091	73.01239	187.5629
		58	1569.814	75.35107	190.6133
i = -4.7 (%)	i = 0 (%)	59	1620.049	77.76234	193.7046
		60	1671.844	80.24849	196.8384
i = -4.7 (%)	i = 0 (%)	61	1725.249	82.81196	200.0162
		62	1780.319	85.4553	203.2397
i = -4.7 (%)	i = 0 (%)	63	1837.109	88.18123	206.5107
		64	1895.68	90.99264	209.8312
i = -4.7 (%)	i = 0 (%)	65	1956.095	93.89257	213.2032

გორგა	სამოსამსახურეთ დამუხარულება	i = - 4.7 (%)			
		66	2018.422	96.88427	216.6287
		67	2082.733	99.97121	220.1101
		68	2149.105	103.157	223.6499
		69	2217.619	106.4457	227.2506
		70	2288.363	109.8414	230.9149
		71	2361.43	113.3486	234.6459
		72	2436.92	116.9722	238.4467
		73	2514.942	120.7172	242.3208
		74	2595.609	124.5892	246.2718
		75	2679.048	128.5943	250.3036
		76	2765.392	132.7388	254.4206
		77	2854.786	137.0297	258.6273
		78	2947.388	141.4746	262.9287
		79	3043.369	146.0817	267.3302
		80	3142.914	150.8599	271.8378
		79	3190.08	153.1239	273.5755
		78	3236.462	155.3502	275.306
		77	3282.063	157.539	277.0293
		76	3326.883	159.6904	278.7452
		75	3370.927	161.8045	280.4538
		74	3414.197	163.8815	282.1549
		73	3456.695	165.9214	283.8483
		72	3498.424	167.9244	285.5341
		71	3539.387	169.8906	287.2121
გორგა	სამოსამსახურეთ დამუხარულება	i = - 12 (%)			
		70	3619.707	173.7459	291.3134
		69	3698.131	177.5103	295.3756
		68	3774.677	181.1845	299.3985
		67	3849.366	184.7696	303.3818
		66	3922.216	188.2664	307.3255
		65	3993.246	191.6758	311.2294
		64	4062.475	194.9988	315.0933
		63	4129.923	198.2363	318.9171
		62	4195.609	201.3892	322.7005
		61	4259.552	204.4585	326.4435
		60	4321.773	207.4451	330.1458
		61	4369.295	209.7262	332.9736
		62	4417.618	212.0457	335.8022
		63	4466.742	214.4036	338.6318
		64	4516.667	216.8	341.4622
		65	4567.394	219.2349	344.2934
		66	4618.923	221.7083	347.1256

გორგა	სამოსამსახურეო დამუხმარებელი	$i = -12\text{ (\%)}\text{}$	67	4671.256	224.2203	349.9586
			68	4724.392	226.7708	352.7926
გორგა	სამოსამსახურეო დამუხმარებელი	$i = -9.4\text{ (\%)}\text{}$	69	4778.333	229.36	355.6274
			70	4833.078	231.9877	358.4631
			71	4888.628	234.6541	361.2997
			72	4944.983	237.3592	364.1372
			73	5002.145	240.103	366.9756
			74	5060.114	242.8855	369.8149
			75	5118.89	245.7067	372.655
			74	5206.977	249.9349	376.9116
			73	5293.095	254.0686	381.1295
			72	5377.262	258.1086	385.3088
			71	5459.495	262.0558	389.4492
			70	5518.752	264.9001	392.475
			69	5576.755	267.6842	395.4795
			68	5633.513	270.4086	398.4623
			67	5689.034	273.0736	401.4234
გორგა	სამოსამსახურეო დამუხმარებელი	$i = -9.4\text{ (\%)}\text{}$	66	5743.327	275.6797	404.3626
			65	5796.399	278.2272	407.2795
			64	5848.261	280.7165	410.1741
			63	5898.92	283.1482	413.0461
			62	5948.386	285.5225	415.8953
			61	5996.667	287.84	418.7215
			60	6043.773	290.1011	421.5244
			61	6106.722	293.1227	425.2702
			62	6170.739	296.1955	429.0175
			63	6235.823	299.3195	432.7663
			64	6301.975	302.4948	436.5167
			65	6369.197	305.7215	440.2686
			66	6437.489	308.9995	444.0221
			67	6506.853	312.3289	447.7771
			68	6577.289	315.7099	451.5337
			69	6648.798	319.1423	455.2918
			70	6721.381	322.6263	459.0515
			71	6795.039	326.1619	462.8128
			72	6869.773	329.7491	466.5756
			73	6945.584	333.388	470.34
			74	7022.473	337.0787	474.106

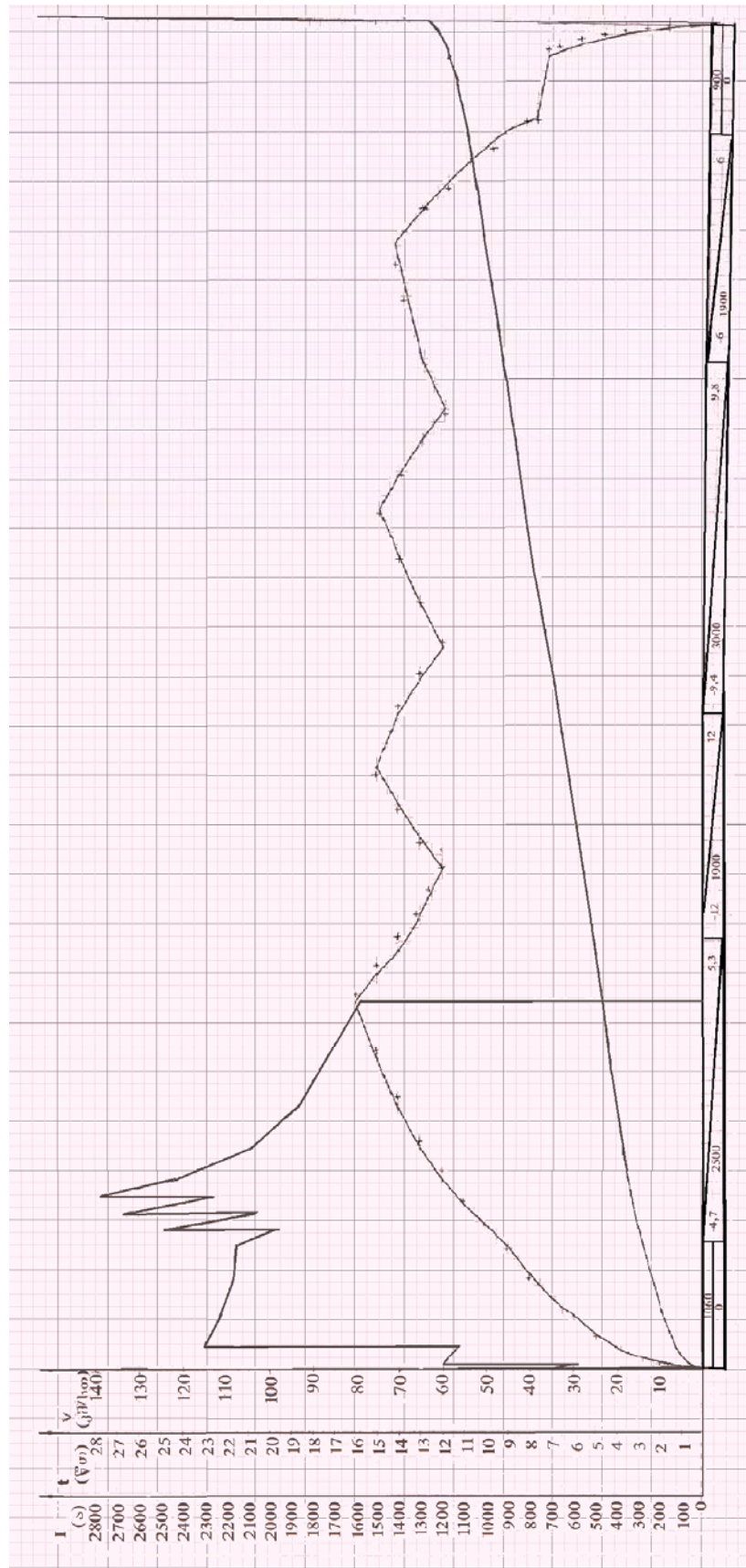
	სამოსამსახურეთ დამუხრუკება			
	გორგა			
	i = - 9.4 (%)			
75	7100.441	340.8212	477.8735	
74	7164.79	343.9099	480.983	
73	7227.853	346.937	484.0718	
72	7289.64	349.9027	487.1398	
71	7350.158	352.8076	490.1868	
70	7409.414	355.6519	493.2127	
69	7467.417	358.436	496.2171	
68	7524.175	361.1604	499.2	
67	7579.696	363.8254	502.1611	
66	7633.989	366.4315	505.1002	
65	7687.062	368.979	508.0172	
64	7738.924	371.4683	510.9117	
63	7789.583	373.9	513.7837	
62	7839.049	376.2743	516.6329	
61	7887.33	378.5918	519.4591	
60	7934.435	380.8529	522.2621	
61	7997.385	383.8745	526.0078	
62	8061.401	386.9473	529.7551	
63	8126.485	390.0713	533.5039	
64	8192.637	393.2466	537.2543	
65	8259.859	396.4732	541.0062	
66	8328.152	399.7513	544.7597	
67	8397.515	403.0807	548.5147	
68	8520.172	408.9682	561.8751	
69	8644.735	414.9473	575.2496	
70	8771.209	421.018	588.6383	
71	8899.596	427.1806	602.0412	
72	9029.898	433.4351	615.4584	
71	9666.559	463.9948	617.7198	
70	9697.518	465.4809	619.9812	
69	9727.936	466.9409	622.2426	
68	9757.812	468.375	624.5040	
67	9787.15	469.7832	626.7654	
66	9815.95	471.1656	629.0268	
65	9844.214	472.5223	631.2882	
64	9871.942	473.8532	633.5496	
63	9899.138	475.1586	635.8110	
62	9925.802	476.4385	638.0724	
61	9951.936	477.6929	640.3338	

სამოსამსახურები დამტკიცებულებები	$i = -6 \text{ (\%)} \text{ (}$	60	9977.542	478.922	642.5952
		59	10002.62	480.1258	644.8566
		58	10027.18	481.3044	647.1180
		57	10051.21	482.4579	649.3795
		56	10074.72	483.5864	651.6409
		55	10097.71	484.69	653.9025
		54	10120.18	485.7687	656.1637
		53	10142.14	486.8227	658.4254
		52	10163.59	487.8521	660.6864
		51	10184.52	488.8569	662.4475
		50	10204.94	489.8373	664.7942
		49	10224.86	490.7934	665.9421
		48	10244.28	491.7253	666.7124
		47	10263.19	492.6331	667.4128
		46	10281.6	493.5169	669.5665
	$i = 0 \text{ (\%)} \text{ (}$	45	10299.52	494.3768	670.9449
		44	10316.94	495.213	672.3144
		43	10333.87	496.0256	673.6749
		42	10350.31	496.8147	675.0263
		41	10366.26	497.5805	676.3683
		40	10381.73	498.3231	677.7007
		39	10411.23	499.7392	693.7007
		38	11016.59	528.7964	709.7007
		37	11030.63	529.4702	725.7007
		36	11044.2	530.1215	726.9928

სამოსაშახურელ დამზუსტებელია		$i = 0 \text{ (\%)} \quad i$	20	11200.45	537.6218	746.039	
			19	11206.65	537.9194	747.1119	
			18	11212.46	538.1983	748.1687	
			17	11217.9	538.459	749.2091	
			16	11222.95	538.7018	750.2325	
			15	11227.65	538.927	751.2386	
			14	11231.98	539.1349	752.2267	
			13	11235.96	539.326	753.1964	
			12	11239.59	539.5005	754.1471	
			11	11242.9	539.659	755.0784	
			10	11245.87	539.8018	755.9895	
			9	11248.53	539.9294	756.8798	
			8	11250.88	540.0422	757.7488	
			7	11252.93	540.1407	758.5957	
			6	11254.7	540.2254	759.4199	
			5	11256.18	540.2969	760.2205	
			4	11257.41	540.3556	760.9968	
			3	11258.38	540.4022	761.748	
			2	11259.11	540.4373	762.4732	
			1	11259.61	540.4615	763.1715	
			0	11259.91	540.4755	763.8419	
					Time (min)	12.71	

სიჩქარის მრუდის აგებისას აუცილებელია გავითვალისწინოთ, რომ მატარებლის მოძრაობის სიჩქარე, ნებისმიერი რეჟიმით მოძრაობისას, მიისწრაფის წონასწორობის დამყარებული სიჩქარისაკენ. ანუ ისეთი სიჩქარისაკენ, როცა მატარებლის მიერ განვითარებული წევის ძალა სიდიდით უტოლდება წინააღმდეგობის ძალის მნიშვნელობას. დამყარებული სიჩქარით მოძრაობა გრძელდება იმ გადასარბენის ელემენტის ბოლომდე, რომელზეც მოხდა სიჩქარის დამყარება. მათემატიკურად ეს ხდება როცა $\frac{dv}{dt} = 0$. ამ დროს ჩვენი ფორმულების შემთხვევაში $1 - a' \cdot V = 0$. დამყარებული სიჩქარის მნიშვნელობა იანგარიშება $V = \frac{1}{a'}$

$$\text{სადაც: } a' = \frac{f_0 a \mp ib}{f_0 \pm i}.$$



ნახ. 24. მატარებლის მოძრაობის $v(s)$, $t(s)$, ასევე $I(s)$ დამოკიდებულებები და $v(s)$ დამოკიდებულება მიღებული ანალიზური ფორმულების გამოყენებით

2.5.4. ელ. ენერგიის ხარჯის განსაზღვრა შეთავაზებული მეთოდის დროს

როგორც 2.4. პარაგრაფში აღინიშნა, ელ. ენერგიის დანახარჯი მატარებლის მოძრაობისას განისაზღვრება გრაფო-ანალიზური მეთოდით, $I_g(S)$ და $t(S)$ ან $I_g(t)$ და მრუდების გამოყენებით, დენის $I_g(t)$ და $I_g(S)$ მრუდების აგება დაწვრილებითად განხილული 2.2.1. პარაგრაფში, ხოლო გზათა მიმოსვლის სამინისტროს მეთოდით $t(S)$ მრუდის აგება ასევე დაწვრილებითად განხილული 18 პარაგრაფში. როგორც ვიცით, $t(S)$ მრუდის ასაგებად გზათა მიმოსვლის სამინისტროს მეთოდით, აუცილებელია წინასწარ გვქონდეს აგებული $V(S)$ დამოკიდებულება. აღნიშნული $t(S)$ და $V(S)$ დამოკიდებულებები ილუსტრირებისათვის მოყვანილია ნახ. 24-ზე. გზათა მიმოსვლის სამინისტროს მეთოდით აღნიშნული მრუდების აგება წარმოებს სპეციალური მასშტაბების საფუძველზე, რაც აგების პროცესს მნიშვნელოვნად ართვლებს, ჩვენს მიერ შეთავაზებული ფორმების ანგარიშის საფუძველზე აგებული მრუდები არ საჭიროებენ სპეციალურ მასშტაბებს, რაც მნიშვნელოვნად ამარტივებს მათი აგების პროცესს.

ელ. ენერგიის ხარჯის განსაზღვრა ჩვენს მიერ შეთავაზებული ფორმულების შედეგების მიხედვით აგებული მრუდების საფუძველზე მოსახერხებელია ჩატარდეს $I_g(t)$ და $V(t)$ მრუდების გამოყენებით.

ელ. ენერგიის ხარჯის დადგენა წარმოებს შემდეგნაირად: $I_g(t)$ მრუდიდან და $V(t)$ მრუდის ყოველ Δt ინტერვალში იღებენ $I_{\Delta t}$ მნიშვნელობას. აღნიშნული მნიშვნელობები, როცა $\Delta t = \text{var}$ მოცემულია ცხრილში 13. უნდა აღინიშნოს ის გარემოება, რომ იმ შემთხვევისთვის, როდესაც Δt ინტერვალი გვაქვს უცვლელი, რაოდენობრივად $I_{\Delta t}$. დენების მნიშვნელობები გვაქვს მეტი და ამიტომ გამოთვლა უფრო ზუსტია, ამ პირობის გათვალისწინებით წარმოებს წევის რეჟიმის დროს მოხმარებული ელ. ენერგიის ხარჯის დადგენა ეგ.მ.-ის მეშვეობით. ამიტომ ასეთი სახით მიღებული შედეგი უფრო ზუსტია ცხრილში 13. მოყვანილ ელ.ენერგიის მნიშვნელობაზე.

ცხრილი 13.

წევის რეჟიმის დროს მოხმარებული A ელ.ენერგიის ხარჯის განსაზღვრა გრაფიკული სახით მიღებული $I_a(t)$ და $V(s)$ მრუდების გამოყენებით

Δt (წთ)	$I_{საშ}$ (ა)	$\Delta t \cdot I_{საშ}$
0.5	650	325
0.7	1170	819
0.6	1270	762
0.6	2200	1320
0.4	2150	860
0.2	2050	410
0.2	2200	440
0.1	2400	240
0.1	2550	255
0.3	2250	675
0.3	1980	594
0.3	1800	540
0.3	1660	498
		$\Sigma 7738$
$A_{გვ.} = \frac{3000 \cdot \Sigma \Delta t \cdot I_{საშ}}{(60 \cdot 1000)}$		$A_{გვ.} = \frac{386.9}{333/სთ}$

2.6. წევის გაანგარიშების შემოთავაზებული მეთოდით პრაქტიკული ანგარიშის ჩატარება ე.გ.მ-ის გამოყენებით

ინჟინრების ეფექტური მუშაობა თანამედროვე პირობებში შეუძლებელია პერსონალური კომპიუტერის და ტელესაკომუნიკაციო საშუალებების გარეშე. პერსონალური კომპიუტერების მუშაობა ხორციელდება ოპერაციული სისტემების (მაგ: MS-DOS, OS/2, BE OS, Linux, Windows და ა.შ.), ხოლო გამოყენებითი ამოცანების გადასაწყვეტად გამოიყენება პროგრამების სპეციალური პაკეტები.

ბუნებრივია, კვალიფიციურ მომხმარებლებს, რომლებიც საკმარისად ფლობენ პროგრამირების რომელიმე ენას (C, Pascal, Fortran, Lisp, Prolog და ა.შ.) თავად ძალუძო განახორციელონ ცალკეული ან კომპლექსური პროგრამირება, რომელიც საშუალებას იძლევა ე.გ.მ.-ზე რეალი-

ზებულ იქნას ამოცანათა კომპლექსური ალგორითმები, რიგ შემთხვევაში მომხმარებლის მიერ შექმნილი ვიწროსპეციალური პროგრამა შეიძლება მუშაობდეს უფრო სწრაფად, ვიდრე პროგრამული პაკეტის მქონე პროგრამა, თუმცა ასეთი მიდგომა დიდ შრომასთანაა დაკავშირებული.

პროგრამირების დროის შემცირების მიზნით შექმნილია დიდი რაოდენობით პაკეტ-პროგრამები, რომელთა ეჯექტური გამოყენებისთვის აუცილებელია სწორად შეირჩეს ისინი ამა თუ იმ ამოცანის გადასაწყვეტად.

საინჟინრო გამოთვლების განსახორციელებლად ყველაზე გავრცელებულია: Mathcad, Matlab, Derive, Maple V, Mathematica, Vissin და ა.შ.

პროგრამა Mathcad-ი ძალიან მარტივია გამოყენების და სწავლის თვალსაზრისით.

მრავალი მოქმედება, რომელიც აუცილებელია პროგრამის სამართავად, ინტუიციურად გასაგებია და მისი ძირითადი საფუძვლების ათვისებისთვის იმ მომხმარებლისათვის, რომელსაც გააჩნია Windows-ის გამოყენების პრაქტიკა, 2-3 სთ-ია საჭირო.

Mathcad ის სისტემას გააჩნია შემდეგი თვისებები:

1. ყველაზე გამოიყენება ჩვეულებრივი მათემატიკური ჩანაწერები. თუ არსებობს მიღებული საერთო საშუალება განტოლების ამოხსნისას სხვადასხვა მათემატიკური ოპერაციების ჩასატარებლად ან გრაფიკების გამოსახვის რაღაც ცნობილი ფორმა, პროგრამა Mathcad იყენებს მათ.

2. გამოიყენება პრინციპი „რასაც ხედავ იმას იღებ“ (“What you see is what you get”) არ არსებობს არანაირი ფარული ინფორმაცია, ყველაფერი გამოისახება ეკრანზე. ამობეჭვდისას საჭირო შედეგი გამოიყურება ზუსტად ისე, როგორც ეკრანზეა გამოსახული.

3. მარტივი გამოსახულებები კლავიატურაზე იკრიფება სტანდარტული კლავიატურის გამოყენებით. სპეციალური ოპერატორებისათვის (ჯამის სიმბოლო, ინტეგრალი, მატრიცა და ა.შ.) გათვალისწინებულია სპეციალური ე.წ. “პალიტრები”

კარგად შემოწმებული მრავალი რიცხვითი ალგორითმების გამოყენება მნიშვნელოვნად ამარტივებს ამოცანის გადაწყვეტას. რიცხვითი გაანგარიშების გარდა, შესაძლებელია სიმბოლური გარდაქმნების გამო-

ყენებაც. პროგრამას გააჩნია ფართო გრაფიკული შესაძლებლობები, გაანგარიშების შედეგების ანალიზისათვის, ასევე შესაძლებელია სხვადასხვაგვარი ანიმაციის შექნა. Mathcad-ი სრულად იყენებს OLE და DDE ტექნოლოგიას, რომელიც გამოიყენება Windows და Microsoft Office-ის სხვადასხვა პროგრამული პაკეტის ელემენტების კავშირისათვის.

შემოთავაზებული მეთოდით წევის ანგარიში ე.გ.მ.-ის გამოყენებით შესრულებულია მათემატიკური პროგრამა Mathcad-ის და მასში Microsoft office Excel 2007-ის ელემენტების გამოყენებით.

2.6.1. ელ. წევის მოსამზადებელი სამუშაოს შესრულების მეთოდიკა ე.გ.მ-ზე

ნებისმიერი და მათ შორის წევის გაანგარიშების ამოცანის შესრულება ე.გ.მ-ის გამოყენებით საჭიროებს გარკვეული წინასწარი მოსამზადებელი სამუშაოს შესრულებას.

მოსამზადებელი სამუშაო გულისხმობს გზის პროფილის დამუშავებას და გარკვეული დაშვებების გზით პროფილის შემადგენელი ქანობის ელემენტების დამუშავებას, მათ გაერთიანებას, საანგარიშო ქანობის არჩევას, მატარებლის წონის განსაზღვრას, მის შემოწმებას ადგილიდან დამკრის და მატარებლის კინეტიკური ენერგიის გათვალისწინებით შერჩეული საანგარიშო ქანობის გადალახვის პროცესს, მატარებლის წონის შემოწმებას სადგურის ლიანდაგებში ჩატევის პირობით ამაჩქარებელი და შემანელებელი ძალების გაანგარიშებას და შესაბამისი მრუდების აგებას (აღნიშნული საკითხები დეტალურადაა განხილული ნაშრომის პირველ თავში.)

მოსამზადებელი სამუშაოს წარმოება საკმაოდ რთულია და დიდი რაოდენობის გამოთვლების ჩატარებასთანაა დაკავშირებული. განსაკუთრებით დიდ დროს მოითხოვს აღნიშნული პროცესის მიკროკალკულატორზე შესრულება, როგორც ეს კეთდება დღეს ს.ტ.უ.-ს ელ. ტრანსპორტის კათედრაზე საკურსო დავალებების შესრულებისას.

თანამედროვე პირობებში შესაძლებელია მთლიანად ავტომატიზირებული პროგრამის შექმნა, რომელიც ელ. წევის ამოცანებს დამოუკიდებლად ავტომატიზირებულ რეჟიმში გადაწყვეტს მოძრაობის მრუდების გაანგარიშების და აგების ჩათვლით. თუმცა ჩვენი მიზანია შევქმნათ პროდუქტი, რომელსაც შემეცნებითი ხასიათი აქვს და აღნიშნული პროგრამა უშუალოდ განკუთვნილია სტუდენტების საკურსო დავალებების ე.გ.მ.-ზე შესრულებისათვის, და მიზნად ისახავს სტუდენტების ციდნის გაღრმავებას ელ. წევის თეორიაში, ამიტომ მიზანშეწონილია მთლიანად ავტომატიზირებული პროგრამის ნაცვლად ნაწილობრივ ავტომატიზირებული პროექტის შექმნა, რაც გულისხმობს არა გაუგებარი მოქმედებების ბრმა შესრულებას ერთი დაჭერით კლავიატურის ლილაკზე, არამედ ცალკეული ამოცანების პუნქტებად ამოხსნას და შედეგების დეტალურ მიზნობრივ ანალიზს, რომელიც მიიღება დამუშავებული სახით, გასაგები ფორმით. [6]

შექმნილი პროექტი მთლიანად აკმაყოფილებს ელ. ტრანსპორტის კათედრაზე მიღებულ წევის გაანგარიშების ჩატარების მოთხოვნებს. აღნიშნული სახით შესრულებული პროგრამა მარტივია, მასში დახმული ამოცანები გასაგები სახით არის გადაწყვეტილი და მოსახერხებელია სტუდენტებისათვის საკურსო დავალებების შესასრულებლად. ე.გ.მ.-ის გამოყენება დიდად აღრმავებს სტუდენტის ცოდნას და საინტერესოს ხდის სწავლების პროცესს.

როგორც ყველა ამოცანა, ელ. წევის ანგარიშის ჩატარებაც მოითხოვს გარკვეული მოცემულობის არსებობას. კერძოდ განვიხილოთ რეალური მაგალითი და პრაქტიკულად შევამოწმოთ ჩვენს მიერ შექმნილი პროგრამა.

მოცემულია:

1. ელექტრომავლის სერია ВЛ-10

ელექტრომავლის საანგარისო წევის ძალა $F_{\text{სას}} = 46000 \text{ კგძ}$

ლოკომოტივის დაძვრის წევის ძალა $F_{\text{დაძ}} = 62600 \text{ კგძ}$

ელექტრომავლის სიგძე $L_0 = 33 \text{ მ}$

ელექტრომავლის წონა $P_0 = 184 \text{ ტ}$

საანგარიშო სიჩქარე

$V_{\text{საა}} = 46,7 \text{ კმ/სთ}$

ქანობი, რომელზედაც ხდება AB მიმართულებით შემადგენლობის
დაძვრა $i_{\text{დაძ.}AB} = 0\%$

ქანობი, რომელზეც ხდება AB მიმართულებით შემადგენლობის
დაძვრა $i_{\text{დაძ.}BA} = 0\%$

2. ერთეული ვაგონის ღერძზე მოსული წონა $q_0 = 15 \text{ ტ}$

3. ოთხდერძიანი ვაგონის წონითი წილი $\beta_4 = 0,3$

4. ექვსდერძიანი ვაგონის წონითი წილი $\beta_6 = 0,7$

5. რვადერძიანი ვაგონის წონითი წილი $\beta_8 = 0$

6. ოთხდერძიანი ვაგონის წონა $q_4 = 60\delta$

7. ექვსდერძიანი ვაგონის წონა $q_6 = 90\delta$

8. რვადერძიანი ვაგონის წონა $q_8 = 120\delta$

9. რვადერძიანი ვაგონის სიგრძე $L_4 = 15\delta$

10. ექვსდერძიანი ვაგონის სიგრძე $L_6 = 17\delta$

11. რვადერძიანი ვაგონის სიგრძე $L_8 = 30 \text{ მ}$

12. სადგურის ლიანდაგების სასარგებლო სიგრძე $L_{\text{სად}} = 1050\delta \text{ მ}$

13. გზის გრძივი პროფილის სიგრძე $L_{\text{გზ}} = 24,2\delta$

აღნიშნული მონაცემები კონკრეტული ლოკომოტივის ტიპისათვის
შეირჩევა წევის გაანგარიშების წესებიდან.

ნახაზზე 25. ნაჩვენებია აღნიშნული მონაცემების შეტანის ფორმა
პროგრამა Mathcad-ში.

როგორც ნახაზიდან ჩანს, პროგრამაში ცვლადების შეყვანა ხდება
ვიზუალურად გასაგები ფორმით ყოველგვარი ცვლადის შემყვანი
ოპერატორის გამოყენების გარეშე, რაც უდავოდ შერჩეული საბაზო
პროგრამის დადებით მხარეზე მიუთითებს. მონაცემების ცვლილება
საშუალებას იძლევა მარტივად კვეთით საჭირო ცვლადების მნიშვ-
ნელობა, რაც პროგრამას ხდის უნივერსალური ხასიათის მქონეს.

ცვლადების შეყვანის ასეთი მარტივი ფორმა მეტად
მოსახერხებელია გამოთვლითი პროცესის ჩასატარებლად და არ
მოითხოვს ფუნდამენტურ ცოდნას თანამედროვე პერსონალური
კომპიუტერების პროგრამირებაში.

წევის გაანგარიშების ანალიზური მეთოდი

მოცემულია

1 ელმავის სერია Bn10

ელექტრომავლის საანგარიშო წევის ძალა	$F_{\text{საან}} := 46000$	კგ
ლოკომოტივის დამვრის წევის ძალა	$F_{\text{დამ}} := 62600$	კგ
ელექტრომავლის სიგრძე	$L_0 := 33$	მ
ელექტრომავლის წონა	$P := 184$	ტ
საანგარიშო სიჩქარე	$V_{\text{საან}} := 46.7$	კმ
ქანობი რომელზეც ნდება შემადგენლობის დამვრა AB	$i_{\text{დამAB}} := 0$	%
ქანობი რომელზეც ნდება შემადგენლობის დამვრა BA	$i_{\text{დამBA}} := 0$	%
2ვაგონისი ღერძზე მოსული წონა	$q_0 := 15$	ტ
3 ოთხ ღერ ძიანი ვაგონების წონიტი წილი	$\beta_4 := 0.3$	
4 ექვს ღერძიანი ვაგონების წონიტი წილი	$\beta_6 := 0.7$	
5 რვა ღერძიანი ვაგონების წონიტი წილი	$\beta_8 := 0$	
6 ოთხ ღერძიანი ვაგონების წონა	$q_4 := 60$	ტ
7 ექვს ღერძიანი ვაგონების წონა	$q_6 := 90$	ტ
8 რვა ღერძიანი ვაგონების წონა	$q_8 := 120$	ტ
9 ოთხ ღერძიანი ვაგონის სიგრძე	$L_4 := 15$	მ
10 ექვს ღერძიანი ვაგონის სიგრძე	$L_6 := 17$	მ
11 რვა ღერძიანი ვაგონის სიგრძე	$L_8 := 30$	მ
12 სადგურის ლიანდაგის სასარგებლო სიგრძე	$L_{\text{სად}} := 1050$	მ
13 გზის გრძივი პროფილი	$L_{\text{გვ}} := 24.2$	კმ

ნახ. 25. პროგრამა Mathcad-ში მონაცემების შეტანის ფორმა

2.6.2. ქანობის ელემენტების დამუშავება და საანგარიშო ქანობის არჩევა ეგ.მ.-ზე

როგორც აღვნიშნეთ 2.6.1. პარაგრაფში მოსამზადებელი სამუშაოს ერთ-ერთი პუნქტი ეხება პროფილის დამუშავებას ისეთი ფორმით, რომ ის მოსახერხებელი გახდეს შემდგომი გაანგარიშებებისათვის (იხ. პირველი თავი).

ქანობების გაერთიანება, რაც გულისხმობს გარკვეული დაშვებების გზით მეზობელი ელემენტების ერთ საერთო ქანობად წარმოდგენას მატარებლის მოძრაობის დიფერენციალური განტოლების გრაფიკული ან გრაფო-ანალიზური მეთოდით გადაწყვეტისას, მეტად მნიშვნელოვანი და საპასუხისმგებლო საქმეა, ძვირადღირებული დროის დაზოგვის მიზნით მიზანშეწონილია არსებული მეთოდების დროს პროფილის ელემენტების ანალიზი და მათი შემდგომი გაერთიანება, თუმცა ამას თან ახლავს შესაბამისი დასაშვები ცდომილება, რაც გარდაუვალი პროცესია. მუშაობის სხვადასხვა ეტაპზე დასაშვები ცდომილების რაოდენობა იკრიბება და საკმაოდ დიდ მნიშვნელობებს აღწევს, განსაკუთრებით მაშინ, როცა საქმე გვაქვს დიდი რაოდენობის ქანობის ელემენტებთან. ამ დროს ძვირადღირებული დროის დიდი ნაწილი ასევე იხსარჯება ქანობის ელემენტების ანალიზზე, რაც გულისხმობს მეზობელი ელემენტების შემოწმებას დასაშვებ ცდომილებაზე, რათა ის არ გასცდეს წევის გაანგარიშების წესებით დადგენილ ფარგლებს. არსებული ანალიზის შედეგების საფუძველზე მიიღება გადაწყვეტილება ელემენტების გაერთიანება არ გაერთიანებაზე.

თანამედროვე ეგ.მ.-ის გამოყენება საშუალებას იძლევა შევამციროთ არსებული დასაშვები ცდომილება, თუ უარს ვიტყვით პროფილის ელემენტების გაერთიანების პროცედურის წარმოებაზე.

კომპიუტერის შესაძლებლობები თეორიულად საშუალებას იძლევა ვიმუშაოთ ქანობის ელემენტების უსასრულო რაოდენობასთან, ეგ.მ.-სთვის მნიშვნელობა არა აქვს, რა რაოდენობის ქანობის ელემენტებთან გვაქვს საქმე, მთავარია ამოცანის სწორად დასმა და კომპიუტერის მეხსიერებაში ამოცანის გადაწყვეტის სწორი ალგორითმის შეტანა. თუმცა უნდა აღინიშნოს ის გარემოებაც, რომ კომპიუტერის ოპერა-

ცოდლი გადაწყვეტილებების მისაღებად შედარებით დიდი დროა საჭირო, მაშინ როცა ქანობების რაოდენობა დიდია, ეს თანმდევი პროცესია და დამოკიდებულია ე.გ.მ.-ის შესაძლებლობებზე. რამდენიმე წამით დაყოვნება ინფორმაციის მისაღებად არ შეედრება პრაქტიკული ანგარიშის ჩატარების დროს პროფილის ანალიზზე და შემდგომ გაანგარიშებებზე დახარჯული დროის რაოდენობას, რომლის ხანგრძლივობაც ქანობის ელემენტების რაოდენობაზე და ანგარიშის ჩატარების ხარისხზეა პირდაპირ დაკავშირებული და რიგ შემთხვევაში „კალკულატორით“ ანგარიშის და დიაგრამების აგების გათვალისწინებით რამოდენიმე დღესაც კი აღწევს. ცნობილი ფაქტია, რომ აღნიშნული წევის გაანგარიშება რაც საკურსო პროექტის სახით მოითხოვება ს.ტ.ჟ-ს ელ. ტრანსპორტის კათედრაზე მყოფი სტუდენტებისათვის მთელი სემესტრის მანძილზე სრულდება წევის ამოცანების თანდათანობითი შესწავლის გზით.

ქანობის ელემენტების გაერთიანებაზე უარის თქმა, ერთის მხრივ, ამცირებს დასაშვებ ცდომილებაზე შემოწმების დროის რაოდენობას და მეორე მხრივ ზრდის შედეგების სიზუსტეს, რაც მეტად მნიშვნელოვანია. ჩვენს მიერ შექმნილი კომპიუტერული პროგრამა ამ ფაქტორების გათვალისწინებით არ ახორციელებს ქანობის ელემენტების გაერთიანებას. აქედან გამომდინარე, გზის გრძივი პროფილი მიიღება რეალური სახით და სრულად ასახავს იმ პროცესებს, რაც ქანობის ელემენტების გაერთიანების დროს ნაწილობრივ იკარგება ან სრული სახით არ წარმოჩნდება.

როგორც აღვნიშნეთ თავის დასაწყისში, საბაზო პროგრამა Mathcad 14-ის ერთ-ერთი დადებითი მხარე არის ის, რომ მასში გარდა პროგრამით გათვალისწინებული სხვადასხვა მოქმედებისა, შესაძლებელია სხვა დამოუკიდებელი პროგრამის ელემენტების გამოყენება, რაც პროგრამირების დროს მეტად მნიშვნელოვანია. მაგალითად, როცა საჭიროა ცხრილებთან მუშაობა მოსახერხებელია Microsoft Office Excel 2007-ის ელემენტების გამოყენება, რასაც ვიყენებთ პროგრამირების დროს. ნახ. 26-ზე ნაჩვენებია ამონარიდი ჩვენს მიერ შექმნილი პროგრამიდან, სადაც მოყვანილია გზის პროფილი მოცემული ანალიზური ფორმით.



$$i_{\text{საან.} AB} = 0.00 \quad \%$$

$$i_{\text{საან.} BA} = 12.00 \quad \%$$

ნახ. 26. გზის პროფილი და საანგარიშო ქანობის არჩევა.

ნებისმიერი ქანობი ხასიათდება h სიმაღლით და S გავრცელების სიდიდით. ცხრილში ოპერატორის მიერ აღნიშნული სიდიდეების შეფანა ხდება A , C , D და E სვეტებში. A სვეტში ოპერატორის მიერ შეიყვანება i ქანობის ელემენტის სიმაღლე რომელიც მოიცემა (%)—ში. შესაბამისად “-” ნიშნით აღინიშნულია h სიდიდის უარყოფითი მნიშვნელობა. უფრო გასაგები ენით რომ ვთქვათ, დაღმართი, “+” ნიშნით h სიდიდის დადებითი მიმართულება ანუ აღმართი. აღნიშნულ სვეტებში შეიყვანება ინფორმაცია მატარებლის “AB” მიმართულებით მოძრაობისას. “C” სვეტში შეიყვანება ქანობის გავრცელების სიდიდე, “E” სვეტში მრუდების არსებობის შემთხვევაში შეგვევს მათი სიმრუდის რადიუსის სიდიდე, დანარჩენი მოქმედებები ცხრილში ავტომატურად ხორციელდება, კერძოდ დამოუკიდებლად ხდება “AB” და “BA” მიმარ-

თულბით „F“ და „G“ სვეტებში მრუდების არსებობის შემთხვევაში ქანობის შესწორება, რაც გულისხმობს მრუდის გავლენის ასახვას მატარებლის მოძრაობაზე. წარმოვადგენთ რა მას წარმოსახვითი ქანობის სახით, ე.ო. რეალურ ქანობს კცვლით ფიზიკური ქანობით. [11]

ფიზიკური ქანობი მიიღება რეალურ ქანობის ელემენტები წარმოსახვითი ქანობის სიდიდის დამატებით. „H3“ და „I3“ უჯრაში მოიცემა საანგარიშო ქანობის მნიშვნელობა შესაბამისი „AB“ და „BA“ მიმართულებით, თვალსაჩინოებისათვის აქვე ხდება გზის პროფილის გრაფიკული გიზუალიზაცია, საანგარიშო ქანობის მნიშვნელობების „ექსპორტი“ ხდება ავტომატურად პროგრამაში შემდგომი გაანგარიშების საწარმოებლად.

2.6.3. მატარებლის წონის განსაზღვრა ე.გ.მ-ის გამოყენებით

გარდა გზის პროფილზე სამუშაოს ჩატარებისა მოსამზადებელ სამუშაოს განეკუთვნება ასევე მატარებლის წონის განსაზღვრა მატარებლის წონა განისაზღვრება და წარმოებს საანგარიშო ქანობის და ადგილიდან დაძვრის პირობით. მიღებული შედეგების მიხედვით აირჩევა მატარებლის შემადგენლობა ოპტიმალური წონით, რომელიც მოწმდება სადგურის ლიანდაგებში ჩატევაზე. [11]

ამ ამოცანის ტრადიციული ფორმით გადაწყვეტა მიკროკალკულატორების გამოყენებით შრომატევადი და დამლლელი პროცესია. პერსონალური კომპიუტერების გამოყენება კი, როგორც ცნობილია, მოითხოვს შესაბამის ცოდნას პროგრამირების სფეროში. Mathcad-14-ის უნიკალური ინტერფეისის მეშვეობით მარტივად შეიძლება მოვახდინოთ გამოთვლების ოპტიმიზაცია. სხვა მათემატიკური პაკეტ-პროგრამებისგან განსხვავებით Mathcad-ში ფორმულების და საჭირო ცვლადების შეყვანა პირდაპირ ხდება ყოველგვარი ცვლადების შემყვანი თვერატორების გამოყენების გარეშე, ფორმულების ჩაწერა ხდება ჩვეულებრივი ფორმით (იხ. ნახ. 27ა) და ამგვარად არ მოითხოვება სიღრმისეული ცოდნა პროგრამირების განხორციელებისათვის.

5)

მატარებლის წონის განსაზღვრა

იმისათვის რომ განცვაზღვრით მატარებლია წონა საანგარიშო ქანონის მიხედვით აუცილებელია დავადგინოთ W'_0 ლოკომოტივის წინააღმდეგობის მაღა და W''_0 ვაგონთა ვერაფგერლობის მირითადი წინააღმდეგობის მაღა :

$$W'_0 := 1.9 + 0.01 \cdot V_{\text{საან}} + 0.0003 \cdot V_{\text{საან}}^2 = 3 \quad \frac{\text{კმ}}{\text{ტ}}$$

სადაც $V_{\text{საან}}$ საანგარიშო სიჩქარეა.

ოთხ ღერმიანი, ექვს ღერმიანი და რვა ღერმიანი ვაგონების საშუალო დაწოლა ღერმზე იანგარიშება:

$$q_{04} := \frac{q_4}{4} \quad \text{ტ} \quad q_{06} := \frac{q_6}{6} \quad \text{ტ} \quad q_{08} := \frac{q_8}{8} \quad \text{ტ}$$

მირითადი წინააღმდეგობის მაღა - ოთხ ღერმიანი, ექვს ღერმიანი და რვა ღერმიანი ვაგონებისათვის შესაბამისად გამოითვლება შემდეგი ფორმულებით:

$$W''_{04} := 0.7 + \frac{3 + 0.1 \cdot V_{\text{საან}} + 0.0025 \cdot V_{\text{საან}}^2}{q_{04}} = 1.57 \quad \frac{\text{კმ}}{\text{ტ}}$$

$$W''_{06} := 0.7 + \frac{8 + 0.08 \cdot V_{\text{საან}} + 0.002 \cdot V_{\text{საან}}^2}{q_{06}} = 1.77 \quad \frac{\text{კმ}}{\text{ტ}}$$

$$W''_{08} := 0.7 + \frac{6 + 0.038 \cdot V_{\text{საან}} + 0.0021 \cdot V_{\text{საან}}^2}{q_{08}} = 1.52 \quad \frac{\text{კმ}}{\text{ტ}}$$

ვაგონება შემადგენლობის მირითადი წინააღმდეგობის მაღა გამოითვლება:

$$W'_0 := \beta_4 \cdot W''_{04} + \beta_6 \cdot W''_{06} + \beta_8 \cdot W''_{08} = 1.71 \quad \frac{\text{კმ}}{\text{ტ}}$$

6)

დააგარიშებული სიდიდეების გათვალისწინებით მატარებლის წონის განსაზღვრა სახელმძღვანელო ქანონის მიხედვით, პირობითად მიღებული AB და BA მიმართულებებით ხდება შემდეგი ფორმულით : $\frac{F_{\text{საან}} - P(W'_0 + i_{\text{საან}})}{W'_0 + i_{\text{საან}}}$; პროცესების გათვალისწინებით აღნიშნული მიმართულებებით ანგარიში მოყვანილია ქვემოთ:

$$Q_{\text{საან}}{}_{AB} := \begin{cases} \frac{F_{\text{საან}} - P(W'_0 + i_{\text{საან}} \cdot AB)}{W'_0 + i_{\text{საან}} \cdot AB} & \text{if } i_{\text{საან}} \cdot AB > 0 \\ Q_{\text{საან}}{}_{AB} \leftarrow 0 & \text{if } i_{\text{საან}} \cdot AB \leq 0 \\ \frac{F_{\text{საან}} - P(W'_0 + i_{\text{საან}} \cdot AB)}{W'_0 + i_{\text{საან}} \cdot AB} & \text{otherwise} \end{cases} \quad Q_{\text{საან}}{}_{AB} = 0 \quad \text{ტ}$$

$$Q_{\text{საან}}{}_{BA} := \begin{cases} \frac{F_{\text{საან}} - P(W'_0 + i_{\text{საან}} \cdot BA)}{W'_0 + i_{\text{საან}} \cdot BA} & \text{if } i_{\text{საან}} \cdot BA > 0 = 3153 \\ Q_{\text{საან}}{}_{BA} \leftarrow 0 & \text{if } i_{\text{საან}} \cdot BA \leq 0 \\ \frac{F_{\text{საან}} - P(W'_0 + i_{\text{საან}} \cdot BA)}{W'_0 + i_{\text{საან}} \cdot BA} & \text{otherwise} \end{cases} \quad Q_{\text{საან}}{}_{BA} = 3153 \quad \text{ტ}$$

ნახ. 27. მატარებლის წონის განსაზღვრა საანგარიშო ანუ სახელმძღვანელო ქანობის მიხედვით

მატარებლის წონის განსაზღვრა ადგილიდან დაძვრის პირობით

ვაგონის მირითადი წინააღმდეგობის მაღა რომელსაც გააჩნია გორგოლაჭიანი საკისრები გამოითვლება:

$$W_{ვაგ\cdot დამ} := \frac{28}{q_0 + 7} = 1.3 \quad \frac{\text{კგ}}{\text{ტ}}$$

მატარებლის მომრაობის საშუალო შეწონილი წინააღმდეგობა ადგილიდან დაძვრისას გამოითვლება:

$$W_{შემ\cdot დამ} := \beta_4 \cdot W_{ვაგ\cdot დამ} + \beta_6 \cdot W_{ვაგ\cdot დამ} + \beta_8 \cdot W_{ვაგ\cdot დამ} = 1.27 \quad \frac{\text{კგ}}{\text{ტ}}$$

$Q_{დამ}$ AB და BA მიმართულებით იმის გათვალისწინებით, რომ ნორმალურ პირობებში მატარებლის დაძვრა სადგურის ლიანდაგებში ხდება $i_{დამ}=0$ იანგარიშება:

$$Q_{დამBA} := \frac{F_{დამ}}{W_{შემ\cdot დამ} + i_{დამBA}} = 4918 \text{ ტ} \quad Q_{დამAB} := \frac{F_{დამ}}{W_{შემ\cdot დამ} + i_{დამAB}} = 49186 \text{ ტ}$$

$$\begin{aligned} AB &:= \begin{cases} "ადგილიდან დაძვრის პირობა სრულდება" & \text{if } Q_{დამAB} > Q_{სქAB} \\ "შენიშვნა; ადგილიდან დაძვრის პირობა არ სრულდება" & \text{if } 0 \geq Q_{დამAB} \\ "გადაამოწმე! შეცდომაა გაანგარიშებაში" & \text{if } Q_{სქAB} < 0 \\ "შენიშვნა; ადგილიდან დაძვრის პირობა არ სრულდება!" & \text{otherwise} \end{cases} \\ BA &:= \begin{cases} "ადგილიდან დაძვრის პირობა სრულდება" & \text{if } Q_{დამBA} > Q_{სქBA} \\ "შენიშვნა; ადგილიდან დაძვრის პირობა არ სრულდება" & \text{if } 0 \geq Q_{დამBA} \\ "გადაამოწმე! შეცდომაა გაანგარიშებაში" & \text{if } Q_{სქBA} < 0 \\ "შენიშვნა; ადგილიდან დაძვრის პირობა არ სრულდება!" & \text{otherwise} \end{cases} \end{aligned}$$

AB = "ადგილიდან დაძვრის პირობა სრულდება"

BA = "ადგილიდან დაძვრის პირობა სრულდება"

ნახ. 28. მატარებლის წონის განსაზღვრა ადგილიდან დაძვრის პირობით

რიგ შემთხვევაში გაანგარიშების პროცესის მართვისთვის აუცილებელი ხდება სპეციალური ღონისძეებების განხორციელება. ასე მაგალითად, მატარებლის წონის განსაზღვრა საანგარიშო ქანობის გათვალისწინებით (ნახ. 27). იმ შემთხვევაში, როცა ფიზიკურად არ

გვაქვს საანგარიშო ქანობი, სრული უაზრობაა, ამიტომ ასეთი შემთხვევის არსებობისას აუცილებელი ხდება პირობითი “IF” ოპერატორის გამოყენება (ნახ. 27.პ). პირობითი ოპერატორი “IF” მოქმედებს ორ ეტაპად: ჯერ მოწმდება ოპერატორის მარჯვნივ ჩაწერილი პირობა და თუ პირობა “ჭეშმარიტია”, სრულდება ოპერატორის მარცხენა მხარეში მყოფი გამოსახულება. [31]

პროგრამისათვის ინტერაქტიული სახის მისაცემად მარტივად ვიყენებთ ლოგიკურ “IF” ოპერატორს, მაგალითად მატარებლის წონის განსაზღვრის შემთხვევაში ადგილიდან დაძვრის პირობით, რომელიც ილუსტრირებულია ნახაზზე 28. თუ $Q_{და}$ > $Q_{ს.}$ პირობა “ჭეშმარიტია” გამოდის შეტყობინება “ადგილიდან დაძვრის პირობა სრულდება”, “მცდარი” პირობის შემთხვევაში გამოდის შენიშვნა: “ადგილიდან დაძვრის პირობა არ სრულდება”, თუ რადაც მიზეზის გამო საანგარიშო ქანობი პროგრამაში შეცდომით აირჩია “—” ნიშნის მქონე ელემენტი, მაშინ გამოდის შეტყობინება “გადაამოწმე! შეცდომაა გაანგარიშებაში”.

მატარებლის დასაშვების სიგრძის განსაზღვრა ნაჩვენებია ნახ. 29-ზე. მატარებლის რეალური სიგრძის დასადგენად საჭიროა ოთხ-ლერძიანი, ექვსდერძიანი და რვადერძიანი ვაგონების რაოდენობის განსაზღვრა საერთო შემადგენლობაში. იმ შემთხვევაში, თუ რომელიმე მიმართულებით მოძრაობისას საანგარიშო ქანობი არ გვაქვს, მაშინ მატარებლის რეალური სიგრძის დადგენა არაა საჭირო და შესაბამისად მატარებლის ეფექტური წონის შერჩევა ამ მიმართულებით უნდა მოხდეს შემადგენლობის ერთი გრძივი მეტრი წონის დადგენით (იხ. ნახ. 30), ხოლო რადგან ეფექტური წონის განსაზღვრა არ ხდება ისეთი ფორმულით, სადაც ცვლადებად შედის ვაგონთა რაოდენობა აზრი არა აქვს ამ მიმართულებით ვაწარმოოთ აღნიშნული გაანგარიშება. რადგან ჩვენ არ გვაქვს საანგარიშო ქანობი AB პირობითი მიმართულებით, ეკრანზე გამოდის კომენტარი “შენიშვნა AB მიმართულებით ანგარიშს არ საჭიროებს”, პირობითი BA მიმართულებით კი შემდგომი ანგარიშებისათვის განისაზღვრება ოთხლერძიანი, ექვსდერძიანი და რვადერძიანი ვაგონების რაოდენობა შემადგენლობაში.

შემადგენლობის რეალური სიგრძის განსაზღვრის პროცედურა ნაჩვენებია ნახ. 30-ზე. აქაც, როგორც წინა შემთხვევაში, თუ $Q_{ს.}$ არ გვაქვს რომელიმე მიმართულებით, არაა აუცილებელი განიზაზღვროს შემადგენლობის რეალური სიგრძე, რადგან ეფექტური წონის დადგენა სხვა მეთოდით ხდება და ამიტომ იმ პირობითი მიმართულებით, სადაც

საანგარიშო ქანობი არ გვაქვს ჩვენს შემთხვევაში, ეს არის AB მიმართულება, შემადგენლობის სიგრძის გასწვრივ გამოდის კომენტარი „შენიშვნა; AB მიმართულებით არ ვანგარიშობთ”. BA პირობითი მიმართულებით ანგარიში ჩვეულებრივად წარმოებს.

მოძრავი შემადგენლობის დასაშვები სიგრძე გამოითვლება ფორმულით:

$$L_{\text{შებ}} := L_{\text{სად}} - n \cdot L_0 - 10 = 1007 \quad \text{მ}$$

4 , 6 და 8 ღერძიანი ვეონების რიცვი შენადგენლობაში საჭიროების შემთხვევაში გამოითვლება შემდეგი ლოგიკური ფორმულა:

$$\begin{aligned} n_4 &:= \begin{cases} \text{"შენიშვნა ;AB მიმართულებით ანგარიშს არ საჭიროებს"} & \text{if } Q_{\text{სქ}}AB = 0 \\ \frac{\beta_4 \cdot Q_{\text{სქ}}AB}{q_4} & \text{otherwise} \end{cases} \\ n_6 &:= \begin{cases} \text{"შენიშვნა ;AB მიმართულებით ანგარიშს არ საჭიროებს"} & \text{if } Q_{\text{სქ}}AB = 0 \\ \frac{\beta_6 \cdot Q_{\text{სქ}}AB}{q_6} & \text{otherwise} \end{cases} \\ n_8 &:= \begin{cases} \text{"შენიშვნა ;AB მიმართულებით ანგარიშს არ საჭიროებს"} & \text{if } Q_{\text{სქ}}AB = 0 \\ \frac{\beta_8 \cdot Q_{\text{სქ}}AB}{q_8} & \text{otherwise} \end{cases} \\ n'_4 &:= \begin{cases} \text{"შენიშვნა ;BA მიმართულებით ანგარიშს არ საჭიროებს"} & \text{if } Q_{\text{სქ}}BA = 0 \\ \frac{\beta_4 \cdot Q_{\text{სქ}}BA}{q_4} & \text{otherwise} \end{cases} \\ n'_6 &:= \begin{cases} \text{"შენიშვნა ;BA მიმართულებით ანგარიშს არ საჭიროებს"} & \text{if } Q_{\text{სქ}}BA = 0 \\ \frac{\beta_6 \cdot Q_{\text{სქ}}BA}{q_6} & \text{otherwise} \end{cases} \\ n'_8 &:= \begin{cases} \text{"შენიშვნა ;BA მიმართულებით ანგარიშს არ საჭიროებს"} & \text{if } Q_{\text{სქ}}BA = 0 \\ \frac{\beta_8 \cdot Q_{\text{სქ}}BA}{q_8} & \text{otherwise} \end{cases} \end{aligned}$$

$n_4 = \text{"შენიშვნა ;AB მიმართულებით ანგარიშს არ საჭიროებს"}$

$n_6 = \text{"შენიშვნა ;AB მიმართულებით ანგარიშს არ საჭიროებს"}$

$n_8 = \text{"შენიშვნა ;AB მიმართულებით ანგარიშს არ საჭიროებს"}$

$$n'_4 = 16$$

$$n'_6 = 25$$

$$n'_8 = 0$$

ნახ. 29. მატარებლის წონის შემოწმება სადგურის ლიანდაგებში
ჩატევის პირობით

შემადგენლობის რეალური სიგრძე AB და BA მიმართულებით გამოითვლება :

$$L'_{\text{შემ}AB} := \begin{cases} \text{"შენიშვნა ; } AB \text{ მიმართულებით არ ვაწგარიშობთ"} & \text{if } Q_{b,j}AB = 0 \\ n_4 \cdot L_4 + n_6 \cdot L_6 + n_8 \cdot L_8 & \text{otherwise} \end{cases}$$

$$L'_{\text{შემ}BA} := \begin{cases} \text{"შენიშვნა ; } BA \text{ მიმართულებით არ ვაწგარიშობთ"} & \text{if } Q_{b,j}BA = 0 \\ n'_4 \cdot L_4 + n'_6 \cdot L_6 + n'_8 \cdot L_8 & \text{otherwise} \end{cases}$$

$$L'_{\text{შემ}AB} = \text{"შენიშვნა ; } AB \text{ მიმართულებით არ ვაწგარიშობთ"}$$

$$L'_{\text{შემ}BA} = 653 \quad \partial$$

$$L_{\text{შემ}BA} := \begin{cases} L'_{\text{შემ}BA} \leftarrow 0 & \text{if } Q_{b,j}BA = 0 \\ L'_{\text{შემ}BA} & \text{otherwise} \end{cases}$$

$$L_{\text{შემ}BA} = 653 \quad \partial$$

ნახ. 30. შემადგენლობის რეალური სიგრძის განსაზღვრა.

მატარებლის შემაჯამებელი წონის დადგენა წარმოებს ზემოთ მოყვანილი გაანგარიშების საფუძველზე, იგი დგინდება $Q_{b,j}$, $Q_{\text{და}}$, $Q_{\text{სლ}}$. გათვალისწინებით. მოცემული მიმართულებით შეიძლება გატარდეს მაქსიმალური წონის მატარებელი, რომელიც ამ სამი წონიდან მინიმალურის ტოლია.

იმ შემთხვევაში, როცა საანგარიშო ქანობი მოცემული მიმართულებით არ გვაქვს, როგორც ზემოთ ავღნიშნეთ, მატარებლის წონის განსაზღვრისთვის ვიანგარიშოთ შემადგენლობის 1 გრძივი მეტრის წონა, რომლის ნამრავლიც სადგურის ლიანდაგებში შემადგენლობის დასაშვებ სიგრძეზე გვაძლევს მატარებლის წონას მოცემული მიმართულებით.

მატარებლის წონის დადგენა

ჩვენს მიერ ჩატარებული გამოთვლების მიხედვით მოცემულ პირობით AB და BA უბანზე გვაქვს საანგარიშო ქანობის გაფარალისწინებით მატარებლის წონა Q_{სლ}; Q_{დამ} და სადგურის ლიანდაგების მიხედვით Q_{დამ}; მოცემულ პირობით უზრუნველყოფილობა გატარებულ იქნას მაქსიმალური წონა . რომელიც ამ სამ წონათა შორის იქნება მინიმალური , ხოლო იმ შემთხვევაში როცა უბანზე საანგარიშო ქანობი არ გვაქ შეზღუდვა ვრცელდება მხოლოდ სადგურის ლიანდაგებში ჩატევის მხრივ , ამიტომ მემადგენლობის ეფექტური წონა ამ მიმართულებით უნდა განვისაზღვროთ შემდეგნაირად :

$$\alpha := \begin{cases} \frac{Q_{სლ}AB}{L_{გემ}AB} & \text{if } Q_{სლ}AB > 0 \\ \frac{Q_{სლ}BA}{L_{გემ}BA} & \text{otherwise} \end{cases}$$

$$\alpha = 4.8$$

სადაც α - არის რიალური მატარებლის ერთი გრძივი მეტრის წონა. მატარებლის წონა სადგურის ლიანდაგების მიხედვით გამოითვლება :

$$Q_{სლ} := \alpha \cdot L'_{გემ} = 4860$$

$$\begin{aligned} Q_{AB} &:= \begin{cases} \min(Q_{სლ}AB, Q_{დამ}AB, Q_{სლ}) & \text{if } Q_{სლ}AB \neq 0 \\ \min(Q_{სლ}, Q_{დამ}AB) & \text{otherwise} \end{cases} \\ Q_{BA} &:= \begin{cases} \text{"გადაამოწმე შეცდომა გაანგარიშებებში"} & \text{if } Q_{AB} \leq 0 \\ Q_{AB} & \text{otherwise} \end{cases} \\ Q_{BA} &:= \begin{cases} \min(Q_{სლ}BA, Q_{დამ}BA, Q_{სლ}) & \text{if } Q_{სლ}BA \neq 0 \\ \min(Q_{სლ}, Q_{დამ}BA) & \text{otherwise} \end{cases} \\ Q_{BA} &:= \begin{cases} \text{"გადაამოწმე შეცდომა გაანგარიშებებში"} & \text{if } Q_{BA} \leq 0 \\ Q_{BA} & \text{otherwise} \end{cases} \end{aligned}$$

$$Q := \begin{cases} \text{"პირობა სრულდება"} & \text{if } \begin{cases} \text{i. საარ. AB} = 0 \text{ if } Q_{დამ}AB \geq Q_{სლ} \\ \text{"AB მიმართულებას აღნიშნული პირობა არ ეხება"} \text{ otherwise} \end{cases} \\ \text{"პირობა სრულდება"} & \text{if } \begin{cases} \text{i. საარ. BA} = 0 \text{ if } Q_{დამ}BA \geq Q_{სლ} \\ \text{"BA მიმართულებას აღნიშნული პირობა არ ეხება"} \text{ otherwise} \end{cases} \\ \text{"ყურადღება"} & \text{otherwise} \end{cases}$$

რელური მატარებლის ერთი გრძივი მეტრის გამოყენებით არჩეული წონა უნდა აკმაყოფილებდეს პირობას : $Q_{დამ} \geq Q_{სლ}$;

$$Q = \text{"პირობა სრულდება"}$$

AB და BA მიმართულებით შერჩეული მატარებლის წონა:

$$Q_{AB} = 4860$$

ტ

$$Q_{BA} = 3153$$

ტ

ნახ. 31. შემაჯამებელი მატარებლის წონის განსაზღვრა.

2.6.4. ამაჩქარებელი და შემანელებელი ძალების გაანგარიშება და აპროქსიმაცია წილად-წრფივი ფუნქციით

მატარებლის მოძრაობის დიფერენციალური განტოლების (15), (16) ანალიზური მეთოდით ინტეგრირება ემყარება ამაჩქარებელი და შემანელებელი ძალების ანალიზური ფუნქციით აპროქსიმაციას. აპროქსიმაციის მიზანია მიახლოებითი ფუნქციის აგება, რომელიც ახლოს იქნება მითითებულ წერტილებთან ან უწყვეტ ფუნქციასთან, რომლის აპროქსიმაციაც კონკრეტულად ხორციელდება. ასეთი ამოცანა დგება მაშინ, როცა ამოსავალი მონაცემებში ცდომილებაა, ანდა მაშინ, როცა საჭიროა რთული ან უცნობი ფუნქციის გამარტივებული მათემატიკური აღწერა. რეალურ და აპროქსიმაციის შედეგად მიღებულ ფუნქციას შორის სიახლოვე განისაზღვრება რიცხვითი პირობით, რომელსაც აპროქსიმაციის კრიტერიუმს უწოდებენ. [32]

მოძრაობის მრუდების პრაქტიკული გაანგარიშება და აგება დაწრილებითაა აღწერილი ნაშრომის მე-2 თავში. Mathcad-14-ის პაკეტ-პროგრამა იძლევა საშუალებას გარდა საკუთარი პროგრამირების საშუალებებისა გამოყენებულ იქნას სხვადასხვა პროგრამის ელემენტები, კერძოდ ცხრილებთან მუშაობის დროს მოსახერხებელია Microsoft Office Excel 2007-ის ელემენტების გამოყენება ნახ. 32-ზე მოყვანილია ამაჩქარებელი ძალის მრუდის მისაღებად საჭირო ანგარიში. პროგრამა Excel-ის Sheet 1 ცხრილში სახელწოდებით “ამაჩქარებელი ძალის ანგარიში” შესაბამის B1, B2, B3, B4 და B5 უჯრებზე განთავსებულ Textbox-ში შესაბამისად ლოკომოტივის წონის (ტ), შემადგენლობის საერთო წონის (ტ), შემადგენლობაში ოთხდერძიანი, ექსლერძიანი და რგალერძიანი ვაგონების წონითი წილის მნიშვნელობების შეყვანით ავტომატურ რეჟიმში საბოლოოდ „O” სვეტში ვიღებთ ხვედრითი ამაჩქარებელი ძალის მნიშვნელობას. ”O” და ”C” სვეტების გამოყენებით აიგება ($f-W_0(v)$) დამოკიდებულება ამავე ცხრილის Sheet2-ში სახელწოდებით “($f-W_0(v)$)”. რეალური ამაჩქარებელი ძალების მრუდი აგებული სახით ნაჩვენებია ნახ. 33-ზე (მრუდი 1). ამავე ნახაზზეა მოყვანილი აღნიშნული მრუდის აპროქსიმაცია წილად-წრფივი ფუნქციით (77) (მრუდი 2), სადაც აგებული რეალური ამაჩქარებელი ძალის მრუდის აპროქსიმაცია პროგრამა

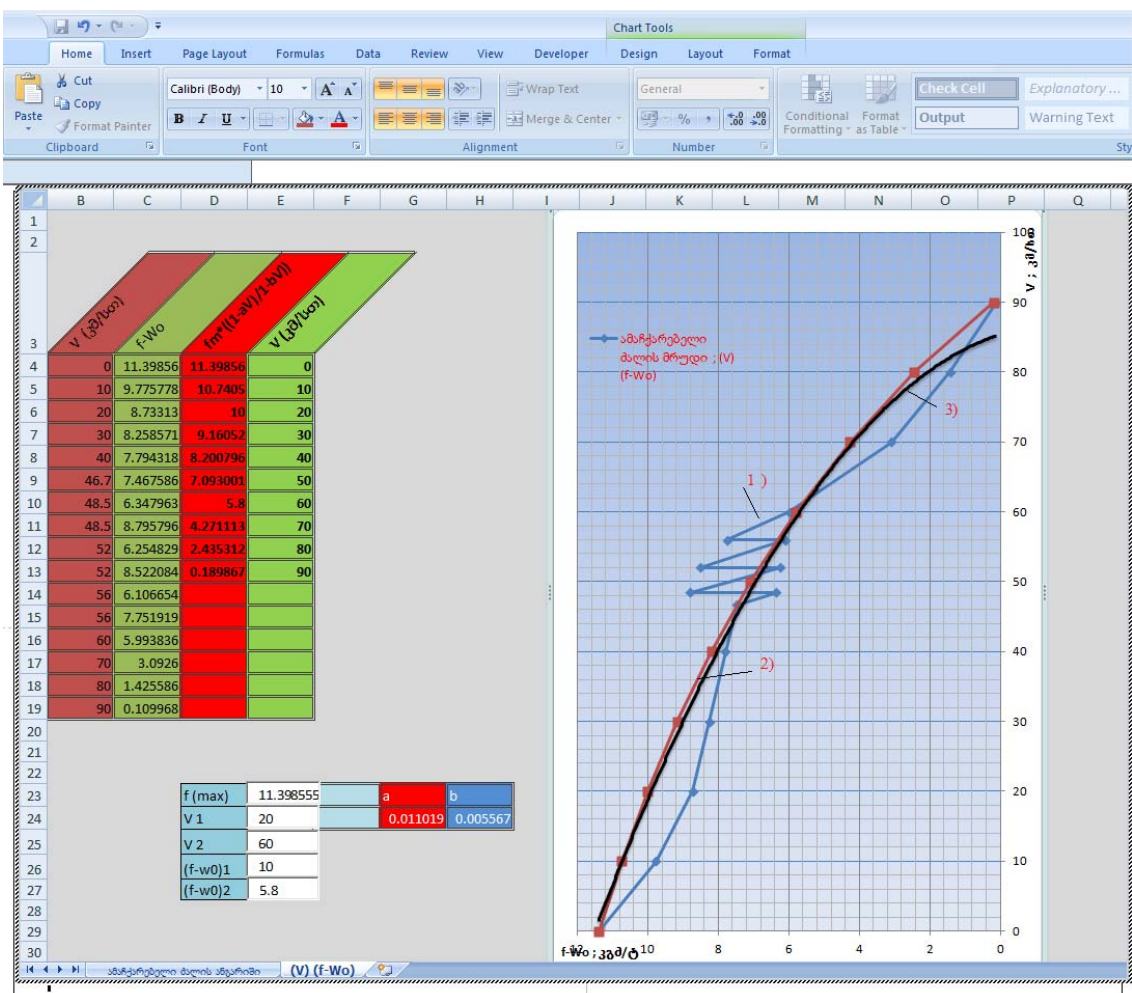
Excel-ის Layout ფუნქციის Trendline განყოფილებაში Polynomial ფუნქციის 2 კოორდინატის მითითებით ხორციელდება რეალური ამაჩქარებელი ძალის მრუდის აპროქსიმაცია მეორე რიგის მრუდით, კერძოდ პარაბოლით (მრუდი 3), თუმცა ასეთი აპროქსიმაცია მოუხერხებელია, რადგან ინტეგრირების შედეგად მიიღება რთული ალგებრული გამოსახულებები და გარდა ამისა პარაბოლით აპროქსიმაცია მაღალი სიჩქარის დროს ზრდის გამოთვლების ცდომილებას რადგან პარაბოლის შტო გარკვეულ მომენტში აღწევს მაქსიმალურ მნიშვნელობას ანუ მწვერვალს და შემდეგ იწყებს დადმასვლას, რაც აზრს უკარგავს ყოველგვარ აპროქსიმაციას. ჩვენს მიერ პარაბოლის მრუდის ნაწილზე შეთავაზებული ფუნქციის a და b კოეფიციენტების ავტომატური კორექტირებით, რომელიც ხორციელდება ცხრილის “D” სვეტის E24, E25, E26 და E27 უჯრებზე განთავსებულ Textbox-ში შესაბამისი V_1 , V_2 და მათი შესაბამისი ($f-W_0$)1 და ($f-W_0$)2 ხვედრითი ძალების შეყვანით მიიღწევა შეთავაზებული ფუნქციით რეალური ამაჩქარებელი ძალის მრუდის აპროქსიმაცია მაქსიმალური სიზუსტით შემანელებელი ძალების გაანგარიშება და აგება ნაჩვენებია შესაბამისად ნახ. 34-ზე. და ნახ. 35-ზე. შემანელებელი ძალების გაანგარიშება და აგება ისევე პრინციპით მიმდინარებს როგორც ამაჩქარებელი ძალის ანგარიში, აქაც Sheet1 სახელწოდებით “შემანელებელი ძალების ანგარიში” ცხრილის “C” სვეტის C2, C3, C4, C5, C6 და C7 უჯრებზე მდებარე Textbox-ში ხდება შესაბამისად შემადგენლობის წონის (ტ), სამუხრუჭო კოეფიციენტის, ლოკომოტივის წონის (ტ), ოთხდერძიანი, ექსლერძიანი და რვალერძიანი ვაგონების წონითი წილის შეყვანით. ავტომატურ რეჟიმში მოიცემა R, S და T სვეტებში თავისუფალი გორგის, ექსტრემალური და სამოსამსახურეო დამუხრუჭების დროს ხვედრითი ძალის მნიშვნელობები. ცალკალკ “R”, “S”, “T” სვეტების “C” სვეტთან დამოკიდებულება შესაბამისად გვაძლევს შემანელებელი ძალების მრუდებს, რომლის აგება და აპროქსიმაცია ხორციელდება ამავე ცხრილის Sheet2-ში სახელწოდებით “შემანელებელი ძალების აგება”, რომელიც ნაჩვენებია ნახ. 35-ზე. აპროქსიმაციისათვის საჭირო კოეფიციენტების განსზღვრა, რაზეც მნიშვნელოვნადაა დამოკიდებული შემდგომი გაანგარიშებების სიზუსტე,

ავტომატურად ხორციელდება. ექსტრემალური დამუხრუჭების მრუდის აპროქსიმაციისათვის საჭირო მ და n კოეფიციენტების ანგარიში წარმოებს B25 და B26 უჯრაზე მდებარე Textbox-ში, სამოსამსახურეო დამუხრუჭების მ და n განისაზღვრება J24 და J25 უჯრებზე მდებარე Textbox-ში, ხოლო თავისუფალი გორვის მ და n კოეფიციენტები განისაზღვრება R24 და R25 უჯრებზე განთავსებულ Textbox-ში სიჩქარის მნიშვნელობების შეყვანით. აპროქსიმაციის ვიზუალური კონტროლი ხორციელდება შესაბამის შემანელებელი ძალის მრუდზე აპროქსიმაციის შედეგად მიღებული მრუდის ზედდებით. ოც უფრო ზუსტია დამთხვევა რომელსაც შეესაბამება შესაბამისი მ და n კოეფიციენტი კონკრეტული რეჟიმისათვის, მით უფრო ზუსტად წარიმართება შემდგომი გაანგარიშება. შემანელებელი ძალების მრუდების აპროქსიმაციის შედეგები მოყვანილია ნახ. 36-ზე. როგორც ნახაზიდან ჩანს, რეალური და აპროქსიმაციის შედეგად მიღებული მრუდების დამთხვევა იდეალურია.

	A	B	C	D	E	F	G	H	I	J	K	L	M	N	O	P	Q
1	P (Ω)	184		V (წელი)	f (წელი)	f (წელი)	W' (წელი)	P*W'	W'*(P+Q)	W'*(P+Q)	W'*(P+Q)	W'*(P+Q)	W'	W'*Q	WQ	f*W	
2	Q (Ω)	4800		0	62600		12.5602	1.9	349.6	0.9	1.23	1.1	1.13	5440	1.16164	11.399	
3	β.4	0.3		10	52400		10.5136	2.03	373.52	0.98	1.3	1.139	0.69	3304	0.73787	9.7758	
4	β.6	0.7		20	50200		10.0722	2.22	408.48	1.1	1.39	1.207	1.31	6266	1.3391	8.7331	
5	β.8	0		30	48500		9.73114	2.47	454.48	1.25	1.51	1.302	1.43	6885	1.47257	8.2586	
6				40	47000		9.43018	2.78	511.52	1.43	1.66	1.425	1.59	7642	1.63586	7.7943	
7				46.7	46000		9.22953	3.0213	555.91	1.57	1.77	1.524	1.71	8226	1.76195	7.4676	
8				48.5	40600		8.14607	3.0907	568.68	1.62	1.81	1.552	1.75	8393	1.7981	6.3448	
9				48.5	52800		10.5939	3.0907	568.68	1.62	1.81	1.552	1.75	8393	1.7981	8.7958	
10				52	40500		8.126	3.2312	594.54	1.7	1.87	1.61	1.82	8731	1.87117	6.2548	
11				52	51800		10.3933	3.2312	594.54	1.7	1.87	1.61	1.82	8731	1.87117	8.5221	
12				56	40200		8.06581	3.4008	625.75	1.8	1.95	1.681	1.9	9139	1.95916	6.1067	
13				56	48400		9.71108	3.4008	625.75	1.8	1.95	1.681	1.9	9139	1.95916	7.7519	
14				60	40100		8.04575	3.58	658.72	1.9	2.03	1.756	1.99	9568	2.05191	5.9938	
15				70	26900		5.39727	4.07	748.88	2.18	2.26	1.963	2.24	10738	2.30467	3.0926	
16				80	20000		4.01284	4.62	850.08	2.5	2.51	2.199	2.51	12045	2.58726	1.4256	
17				90	15000		3.00963	5.23	962.32	2.85	2.79	2.462	2.81	13490	2.89966	0.11	
18				100	11200		2.24719	5.9	1085.6	3.23	3.1	2.753	3.14	9891	2.20237	0.0448	
19																	

ნახ. 32. ამაჩქარებელი ძალის გაანგარიშება.

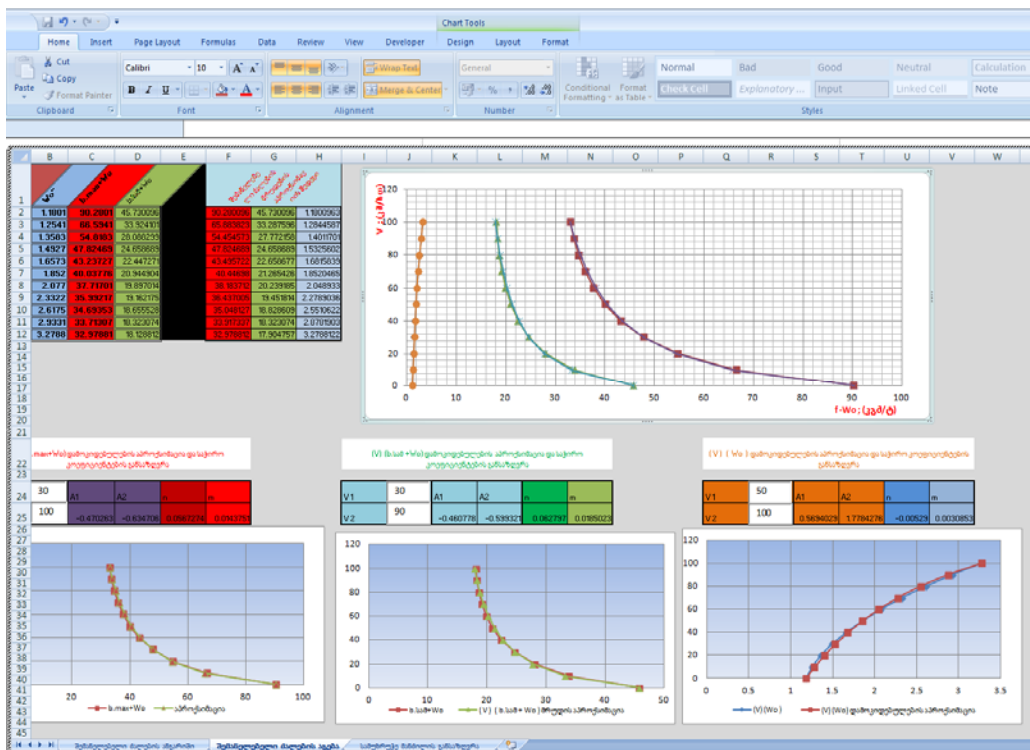
სამუხრუჭო მანძილის განსაზღვრა ნაჩვენებია ნახ. 37-ზე. იგი ხორციელდება ამავე ცხრილის Sheet3-ში სახელწოდებით “სამუხრუჭო მანძილის განსაზღვრა.” აღნიშნული ამოცანის გადაწყვეტის ტრადიციული გზები დაწვრილებითაა განხილული დისერტაციის ლიტერატურულ მიმოხილვაში. სამუხრუჭო მანძილის განსაზღვრა ხორციელდება მარტივად B2, B3, B4 უჯრებზე მდებარე Textbox-ზე ხორციელდება შემადგენლობაში ოთხდერძიანი, ექვსდერძიანი და რვადერძიანი ვაგონების წონითი წილის შეფანა, B5 და B6 უჯრებზე მდებარე Textbox-ში შესაბამისად შეგვავს ქანობის და დამუხრუჭების დაწყების V₁ სიჩქარის მნიშვნელობა, სრული სამუხრუჭო მანძილი კი მოიცემა M3 უჯრაში, რომელიც განისაზღვრება როგორც S_{სრ.}=S_{მოს.}+S_{ნამ.} (3).



ნახ. 33. რეალური ამაჩქარებელი ძალის მრუდის აპროქსიმაცია.

	B	C	G	H	I	J	K	L	M	N	O	P	Q	R	S	T	U
1			$\sqrt{b_1/b_2}$	b_1/b_2	$b_{1\max}$	$b_{1\min}$	W_1/W_2	W_1/W_3	W_1/W_4	W_1/W_5	W_1/W_6	W_1/W_7	W_1/W_8	W_1/W_9	W_1/W_{10}	$b_{1\max}/W_1$	$b_{1\min}/W_1$
2	Q	4800	0	0.27	89.1	44.55	2.4	442	0.9	1.2	1.1	1.13	5440	1.180096	90.28	45.7301	
3	ξ	0.33	10	0.2	65.34	32.67	2.54	466	0.98	1.3	1.14	1.21	5784	1.254101	66.594	33.9241	
4	P	184	20	0.16	53.46	26.73	2.74	504	1.1	1.4	1.21	1.31	6266	1.358299	54.818	28.0883	
5	β_4	0.3	30	0.14	46.332	23.17	3.02	555	1.25	1.5	1.3	1.43	6885	1.492689	47.825	24.6587	
6	β_6	0.7	40	0.13	41.58	20.79	3.36	618	1.43	1.7	1.43	1.59	7642	1.657271	43.237	22.4473	
7	β_8	0	50	0.12	38.186	19.09	3.78	695	1.65	1.8	1.58	1.78	8536	1.852047	40.038	20.9449	
8			60	0.11	35.64	17.82	4.26	784	1.9	2	1.76	1.99	9568	2.077014	37.717	19.897	
9			70	0.1	33.66	16.83	4.82	886	2.18	2.3	1.96	2.24	10738	2.332175	35.992	19.1622	
10			80	0.1	32.076	16.04	5.44	1001	2.5	2.5	2.2	2.51	12045	2.617528	34.694	18.6555	
11			90	0.09	30.78	15.39	6.14	1129	2.85	2.8	2.46	2.81	13490	2.933074	33.713	18.3231	
12			100	0.09	29.7	14.85	6.9	1270	3.23	3.1	2.75	3.14	15072	3.278812	32.979	18.1288	

ნახ. 34. ხვედრითი შემანელებელი ძალების გაანგარიშება.



ნახ. 35. შემანელებელი ძალების აპროჭიმაცია.

The screenshot shows a Microsoft Excel spreadsheet with a table. The table has columns labeled A through H and rows numbered 1 through 14. The first row contains formulas: A1 = $\sqrt{1.2/\lambda_0}$, B1 = W_o'' , C1 = $n_{max}W_o$, D1 = $n_{max}n_{ref}$. The second row contains values: 0, 1.1801, 90.2801, 45.7301. Rows 3 to 12 show a series of values for different parameters. Row 13 is empty, and row 14 contains the formula $32.97881 \cdot 17.90476 / 3.278812$.

	A	B	C	D	E	F	G	H
1	$\sqrt{1.2/\lambda_0}$	W_o''	$n_{max}W_o$	$n_{max}n_{ref}$				
2	0	1.1801	90.2801	45.7301		90.2801	45.7301	1.180096
3	10	1.2541	66.5941	33.9241		65.88382	33.2876	1.284459
4	20	1.3583	54.8183	28.0883		54.45457	27.77216	1.40117
5	30	1.4927	47.82469	24.65869		47.82469	24.65869	1.53256
6	40	1.6573	43.23727	22.44727		43.49572	22.65868	1.681584
7	50	1.852	40.03776	20.9449		40.44698	21.26543	1.852047
8	60	2.077	37.71701	19.89701		38.18371	20.23918	2.048933
9	70	2.3322	35.99217	19.16217		36.43701	19.45181	2.278904
10	80	2.6175	34.69353	18.65553		35.04813	18.82861	2.551062
11	90	2.9331	33.71307	18.32307		33.91734	18.32307	2.87819
12	100	3.2788	32.97881	18.12881		32.97881	17.90476	3.278812
13								
14								

ნახ. 36. შემანელებელი ძალების აპროქსიმაციის შედეგი.

The screenshot shows a Microsoft Excel spreadsheet with a table. The table has columns labeled A through N and rows numbered 1 through 25. The first row contains formulas: A1 = β_4 , B1 = 0.3, C1 = β_6 , D1 = 0.7, E1 = β_8 , F1 = 0, G1 = i , H1 = 0, I1 = V_1 , J1 = 60. The second row contains values: 89.1, 24, 37, 0, 320, 0.264, 10, 166.8, 426.6368, 593.4368. Rows 14 to 24 show a series of values for different parameters. Row 25 is empty.

	A	B	C	D	E	F	G	H	I	J	K	L	M	N
1														
2	β_4	0.3												
3	β_6	0.7												
4	β_8	0												
5	i	0												
6	V_1	60												
7														
8														
9														
10														
11														
12														
13														
14	V_1	v_o	V_{max}	ϕ_b	b_{max}	W_o4''	W_o6''	W_o8''	W_o''	$t_{\theta=0}(\#3)$	S_{max}			
15	100	90	95	0.091565	24.17322	3.0375	2.943333	2.604167	2.150333	10	300.9852			
16	90	80	85	0.095143	25.11771	2.670833	2.65	2.326833	1.945	10	261.9471			
17	80	70	75	0.099474	26.26105	2.3375	2.383333	2.0775	1.758333	10	223.2383			
18	70	60	65	0.104824	27.67341	2.0375	2.143333	1.856167	1.590333	10	185.2463			
19	60	50	55	0.1116	29.4624	1.770833	1.93	1.662833	1.441	10	148.4303			
20	50	40	45	0.120462	31.80185	1.5375	1.743333	1.4975	1.310333	10	113.342			
21	40	30	35	0.132545	34.992	1.3375	1.583333	1.360167	1.198333	10	80.6569			
22	30	20	25	0.15	39.6	1.170833	1.45	1.250833	1.105	10	51.22221			
23	20	10	15	0.177429	46.84114	1.0375	1.343333	1.1695	1.030333	10	26.13247			
24	10	0	5	0.2268	59.8752	0.9375	1.263333	1.116167	0.974333	10	6.85297			
25														

ნახ. 37. სამუხრუჭო მანძილის განსაზღვრა.

2.6.5. მოძრაობის მრუდების გაანგარიშება და აგება ე.გ.მ.-ის გამოყენებით

მოძრაობის მრუდებს განეკუთვნება $v(s)$, $v(t)$ ან $t(s)$ დამოკიდებულებები. სიჩქარის მრუდს უწოდებენ $v(s)$ მატარებლის მოძრაობის სიჩქარის გრაფიკულ დამოკიდებულებას გავლის მანძილზე. მისი აგების დროს ხელმძღვანელობენ იმით, რომ სიჩქარე ყოველთვის მიისწრაფის წონასწორობის მნიშვნელობისაკენ. ამიტომ მატარებლის გადასვლისას მომდევნო ქანობის ელემენტზე განსაზღვრავენ წევის რეჟიმის დროს ამ სიჩქარის მნიშვნელობას ამაჩქარებელი და შემანელებელი ძალების დიაგრამების გამოყენებით. მატარებლის უცვლელი რეჟიმით მოძრაობისას (წევა, გორვა ან დამუხრუჭება) პროფილის ელემენტის ფარგლებში, სიჩქარის ცვლილება ხორციელდება, სანამ ის არ მიაღწევს დამყარებული სიდიდის მნიშვნელობას. ასეთ რეჟიმში მატარებელი აგრძელებს მოძრაობას პროფილის იმ ელემენტის ბოლომდე, რომელზეც მოხდა სიჩქარის დამყარება ან მანამდე, სანამ აღნიშნული პროფილის ელემენტის ფარგლებში არ შეიცვლება მოძრაობის რეჟიმი [2].

წონასწორობის სიჩქარის მნიშვნელობა ჩვეულებრივ განისაზღვრება ამაჩქარებელი და შემანელებელი ძალების დიაგრამების გამოყენებით, აბსცისათა ღერძზე სადაც დატანილია ხვედრითი ძალები, ქანობის სიდიდის (%) გადაზომვით და მიღებულ მნიშვნელობაზე მართობის აღმართით. მართობის და ამაჩქარებელი (შემანელებელი) ძალის მრუდის გადაკვეთის წერტილის გეგმილი ორდინატთა ღერძზე გვაძლევს წონასწორობის სიჩქარის მნიშვნელობას. ნახ. 33-ზე ნაჩვენები რეალური ამაჩქარებელი ძალის (მრუდი 1) და მისი აპროქსიმაცია (მრუდი 2) ჩვენს მიერ შეთავაზებული ფუნქციით იძლევა გარკვეულ სხვაობას წონასწორობის სიჩქარის განსაზღვრის დროს, ამიტომ წევის რეჟიმში მატარებლის მოძრაობისას ადგილი ექნება გარკვეულ ცდომილებას დამყარებული სიჩქარით ქანობის ელემენტზე მოძრაობისას რაც ამ შემთხვევაში გარდაუვალია. სამუხრუჭო და გორვის რეჟიმის მრუდების აპროქსიმაცია იდეალურია (აპროქსიმაციის შედეგი იხ. ნახ. 36; გრაფიკული დამოხვევა იხ. ნახ. 35) და ამიტომ წონასწორობის სიჩქარის მნიშვნელობები ამ რეჟიმებში ერთმანეთის ტოლია, შესაბამისად წევის რეჟიმისთვის დამახასიათებელ ცდომილებას ადგილი არ ექნება.

ს გავლილი მანძილის ანგარიში მატარებლის მოძრაობის სხვადასხვა რეჟიმის გამოყენებით ხორციელდება (101), (103), (105)

გამოსახულებების მეშვეობით. აღნიშნული ფორმულები განსაზღვრავენ ΔS მანძილს $[V_0, V_1]$ მონაკვეთის ფარგლებში აღნიშნული სიჩქარეებისთვის მნიშვნელობების მიცემა განსაზღვრავს ანგარიშის ბიჯს. თანამედროვე პერსონალური კომპიუტერი იძლევა საშუალებას ანგარიშებისათვის გამოვიყენოთ ნებისმიერი სიდიდის ბიჯი. გამოთვლების სიზუსტის გაზრდის მიზნით მიზანშეწონილია გამოვიყენოთ ერთეული ბიჯი ანუ აბსოლუტურ ერთეულებში ანგარიშების ჩატარებას ვახორციელებთ $h=1 \text{ კმ/სთ}$ ბიჯით. ΔS მანძილის ანგარიში წევის რეჟიმის დროს ნაჩვენებია ნახ. 38 სამოსამსახურეო დამუხრუჭების რეჟიმის ანგარიშის მოყვანილია ნახ. 39. ექსტრემალური დამუხრუჭების რეჟიმის ანგარიში ნახ. 40. გორვის რეჟიმის ანგარიშის შესაბამისი ილუსტრაცია მოყვანილია ნახ. 41-ზე. აღნიშნული ანგარიშების წარმოებისათვის საჭიროა ცხრილის BS სვეტში განთავსებულ Textbox-ებში თანმიმდევრობით შევიყვანოთ წინასწარ განსაზღვრული ამაჩქარებელი და შემანელებელი ძალების აპროქსიმაციის შედეგად მათი მრუდების მახასითებელი კოეფიციენტები a , b და $(f-w_0)$ წევის რეჟიმის, $(b-w_0)$, m და n სამოსამსახურეო და $(b-w_0)\max, m_{\max}$ და n_{\max} ექსტრემალური დამუხრუჭების, w_0, m_g, n_g გორვის რეჟიმის ანგარიშისათვის. BT სვეტში განთავსებულ Textbox-ებში შეგვევს ქანობის მნიშვნელობების სიდიდე %, ხოლო BU სვეტში მდებარე Textbox-ებში მათი გავრცელების სიდიდე (%) ; პროგრამა საშუალებას იძლევა ანგარიშები ვაწარმოოთ მაქსიმუმ 30 პროცენტის ელემენტზე ერთდროულად. Vo და V სიჩქარის მნიშვნელობები, რომელიც ანგარიშის ჩატარების ბიჯს განსაზღვრავს შეყვანილია შესაბანისად BX და BY სვეტებში. რადგან ჩვენ ვახორციელებთ კომპიუტერული პროგრამის პრეზენტაციას, სიმარტივისათვის ანგარიშს ვაწარმოებთ 6 პროცენტის ელემენტისათვის. ΔS მანძილის ანგარიშის შედეგი შესაბამისი ქანობის ელემენტისათვის მოიცემა BZ, CA, CB, CC, CD, CE მწვრივში. ნახაზე ნაჩვენებ CF და CG ისე როგორც დანარჩენი 24 ქანობის ელემენტის სვეტებში არსებული შედეგები შემდგომ გაანგარიშებებში არ იღებენ მონაწილეობას, რადგან მათ შესაბამის Textbox-ებში ქანობის სიდიდის და გავრცელების ადგილას მითითებულია “0”. ფაქტიურად ეს სვეტები იმყოფებიან მოლოდინის რეჟიმში და მათი გამოყენება მოხდება მაშინ, როცა მათ მიეცემათ შესაბამისი ქანობის სიდიდის და გავრცელების მნიშვნელობა.

ნახ. 38. გზის სეგმენტი ΔS -ის ანგარიში წევის რეკომის დროს

სიჩქარის სეგმენტის $\Delta V=1\text{dm}^3$ ბიჯით

137	კლებული %		0	-4.3	-12	-9.4	-6	0	0
138	კლებულის სიგრძე (მ)		1060	2500	1900	3000	1900	900	0
139	V (კბ/ნო) V (კბ/ნო)								
140	90	89	40.9168994	53.549261	119.75593	84.485337	60.994002	40.91689945	
141	89	88	40.3548957	52.7715354	117.52433	83.095659	60.079852	40.35489566	
142	88	87	39.7938119	51.9956738	115.3095	81.712361	59.168339	39.79381194	
143	87	86	39.2336677	51.2217109	113.11152	80.335525	58.25951	39.23366771	
144	86	85	38.6744483	50.4496822	110.9305	78.965232	57.353409	38.674448296	
145	85	84	38.1162782	49.6796242	108.76653	77.601566	56.450086	38.11627824	
146	84	83	37.5590747	48.9115745	106.61972	76.244611	55.549588	37.55907469	
147	83	82	37.0028941	48.1455714	104.49017	74.894454	54.651964	37.00289407	
148	82	81	36.4477588	47.3816542	102.37797	73.551181	53.757267	36.44775876	
149	81	80	35.8936918	46.6198634	100.28324	72.214883	52.865547	35.89369183	
150	80	79	35.340717	45.8602403	98.206069	70.88565	51.976859	35.34071699	
151	79	78	34.7888587	45.1028276	96.146568	69.563573	51.091256	34.7888587	
152	78	77	34.2381421	44.3476688	94.10484	68.248748	50.208796	34.23814212	
153	77	76	33.6885932	43.5948087	92.080992	66.941269	49.329534	33.68859319	
154	76	75	33.1402387	42.8442934	90.075131	65.641233	48.45353	33.14023865	
155	75	74	32.593106	42.0961701	88.087363	64.348741	47.580843	32.59310604	
156	74	73	32.0472238	41.3504872	86.117797	63.063891	46.711536	32.04722378	
157	73	72	31.5026211	40.6072946	84.166544	61.786788	45.845671	31.50262114	
158	72	71	30.9593284	39.8666434	82.233712	60.517534	44.983314	30.95932836	
159	71	70	30.4173766	39.1285864	80.319413	59.256237	44.12453	30.41737659	
160	70	69	29.876798	38.3931775	78.423759	58.003004	43.269388	29.87679802	
161	69	68	29.3376258	37.6604723	76.546863	56.757946	42.417957	29.33762585	
162	68	67	28.7998944	36.9305279	74.688839	55.521174	41.570309	28.79989436	
163	67	66	28.263639	36.2034032	72.8498	54.292804	40.726518	28.26363898	

ნახ. 39. გზის სეგმენტი ΔS -ის ანგარიში სამოსამსახურეთ დამუხსრუჟ-ჭების დროს სიჩქარის სეგმენტის $\Delta V=1\text{მ}/\text{სთ}$ პიჯით

The screenshot shows a Microsoft Excel spreadsheet with the following characteristics:

- Table Structure:** The main table has 355 rows and 9 columns. Row 330 is yellow, row 331 is blue, row 332 is red, and rows 333 through 355 are green.
- Annotations:**
 - Row 330 contains diagonal text in Georgian: "კლების მატერიალი" (Material cost) and "%".
 - Row 331 contains diagonal text in Georgian: "კლების სუვერენიტეტი" (Sovereignty).
 - Row 332 contains diagonal text in Georgian: "1060 2500 1900 3000 1900 900 0".
 - Row 333 contains diagonal text in Georgian: "ვა (განა)" and "ვა (განა)".
- Font and Alignment:** The font used for the table is Calibri, size 11. The alignment for the first three rows is centered, while the green rows are aligned to the right.
- Clipboard:** The clipboard section shows standard options like Cut, Copy, Paste, and Format Painter.
- Font and Alignment Groups:** These groups contain icons for bold, italic, underline, and various alignment settings.
- Review and Developer Tabs:** The ribbon tabs include Home, Insert, Page Layout, Formulas, Data, Review, View, and Developer.

ნახ. 40. გზის სეგმენტი ΔS -ის ანგარიში ექსტრემალური დამუხრუ-
ჭების დროს სიჩქარის სეგმენტის $\Delta V=1\text{m}^3/\text{ს}$ ბიჯით

	BX	BY	BZ	CA	CB	CC	CD	CE
458		ქართული %	0	-4.3	-12	-9.4	-6	0
459		ქართული ხელი	1050	2500	1900	3000	1900	900
460	V (გები)	V (გები)						
461	89	90	501.243551	265.227942	70.95018	94.265344	165.29803	501.2435514
462	88	89	496.780669	261.947098	70.134707	93.171975	163.32779	496.7806693
463	87	88	492.295743	258.674603	69.319792	92.0796	161.36067	492.2957431
464	86	87	487.788665	255.41041	68.505434	90.988215	159.39668	487.7886648
465	85	86	483.259326	252.154472	67.691631	89.897818	157.4358	483.2593259
466	84	85	478.707617	248.906744	66.878381	88.808404	155.47801	478.707617
467	83	84	474.133428	245.667179	66.065683	87.719971	153.52329	474.1334281
468	82	83	469.536648	242.435732	65.253535	86.632516	151.57165	469.5366484
469	81	82	464.917166	239.212357	64.441936	85.546035	149.62306	464.9171664
470	80	81	460.27487	235.997011	63.630883	84.460526	147.67752	460.2748698
471	79	80	455.609646	232.789649	62.820376	83.375984	145.735	455.6096458
472	78	79	450.92138	229.590226	62.010412	82.292407	143.7955	450.9213805
473	77	78	446.209959	226.398698	61.20099	81.209793	141.859	446.2099594
474	76	77	441.475267	223.215023	60.392108	80.128136	139.92549	441.4752674
475	75	76	436.717189	220.039157	59.583765	79.047436	137.99497	436.7171885
476	74	75	431.935606	216.871058	58.775959	77.967687	136.0674	431.9356058
477	73	74	427.130402	213.710682	57.96869	76.888888	134.1428	427.1304018
478	72	73	422.301458	210.557987	57.161954	75.811035	132.22113	422.3014582
479	71	72	417.448656	207.412932	56.35575	74.734126	130.30239	417.4486559
480	70	71	412.571875	204.275476	55.550078	73.658156	128.38657	412.5718748

ნახ. 41. გზის სეგმენტი ΔS -ის ანგარიში თავისუფალი გორგის დროს
სიჩქარის სეგმენტის $\Delta V=1\text{მ}/\text{სთ}$ ბიჯით

Δt დროის განსაზღვრა მოძრაობის სხვადასხვა რეჟიმის დროს ΔS გავლილი მანძილის ანგარიშის ანალოგიურად წარმოებს იმ განსხვავებით, რომ თითოეული რეჟიმისათვის შესაბამის Sheet 2-ში სახელწოდებით “მოძრაობის დრო” Sheet 1 – “გავლილი მანძილი”-დან ავტომატურად ხორციელდება შემანელებელი ძალების აპროქსიმაციის შედეგად განსაზღვრული კოეფიციენტების საჭირო იმპორტი. Δt დროის ანგარიში წევის რეჟიმის დროს ხორციელდება (100), ექსტრემალური და სამოსამსახურეო დამუხსრულების (102), ხოლო გორვის (104) გამოსახულებებით. აღნიშნული რეჟიმების მიხედვით Δt დროის ანგარიში წევის რეჟიმში ილუსტრირებულია ნახ. 42-ზე. სამოსამსახურეო, ექსტრემალური და გორვის რეჟიმების ილუსტრაცია მოყვანილია ნახ. 42, ნახ. 43, ნახ. 44, ნახ. 45–ზე.

	BP	BQ	BR	BS	BT	BU	BV	BW	BX	BY	BZ	CA	CB	CC
1			M3-3-3-3-3-3	M3-3-3-3-3-3			0	-4.3	-12	-9.4	-6	0	0	0
2			S (გ)			1060	2500		1900	3000	1900	900	0	0
3	a	0.011	0	1060	V (გ/ს)	V (გ/ს)	ΔS							
4	b	0.0037	-4.3	2500	1	0	0.000760359	0.0005461	0.000363	0.0004093	0.000491	0.00076	0.000760359	0.000760359
5	f-Wo	11	-12	1900	2	1	0.000766013	0.000549	0.000364	0.0004109	0.000494	0.00077	0.000766013	0.000766013
6	b-Wo	45.72	-9.4	3000	3	2	0.000771796	0.000552	0.000366	0.0004126	0.000496	0.00077	0.000771796	0.000771796
7	m	0.018	-6	1900	4	3	0.00077771	0.000555	0.000367	0.0004143	0.000499	0.00078	0.00077771	0.00077771
8	n	0.062	0	900	5	4	0.000783762	0.0005581	0.000368	0.000416	0.000501	0.00078	0.000783762	0.000783762
9	b-Wo	90	0	0	6	5	0.000789955	0.0005612	0.000307	0.0004177	0.000504	0.00079	0.000789955	0.000789955
10	m	0.1132	0	0	7	6	0.000796295	0.0005644	0.000371	0.0004195	0.000506	0.0008	0.000796295	0.000796295
11	n	0.0535	0	0	8	7	0.000802787	0.0005676	0.000372	0.0004213	0.000509	0.0008	0.000802787	0.000802787
12	Wo	1.20	0	0	9	8	0.000809436	0.000571	0.000374	0.0004231	0.000511	0.00081	0.000809436	0.000809436
13	m	0.0019	0	0	10	9	0.000810249	0.0005743	0.000375	0.000425	0.000514	0.00082	0.000810249	0.000810249
14	n	0.00063	0	0	11	10	0.000823231	0.0005778	0.000377	0.0004265	0.000517	0.00082	0.000823231	0.000823231
15		0	0	12	11	0.00083039	0.0005813	0.000378	0.0004288	0.00052	0.00083	0.00083039	0.00083039	
16		0	0	13	12	0.000837733	0.0005849	0.00038	0.0004307	0.000523	0.00084	0.00083773	0.00083773	
17		0	0	14	13	0.000845261	0.0005886	0.000381	0.0004327	0.000525	0.00085	0.000845261	0.000845261	
18		0	0	15	14	0.000852988	0.0005923	0.000383	0.0004347	0.000528	0.00085	0.000852988	0.000852988	
19		0	0	16	15	0.000860921	0.0005961	0.000384	0.0004368	0.000531	0.00086	0.000860921	0.000860921	
20		0	0	17	16	0.000869067	0.0006	0.000386	0.0004389	0.000535	0.00087	0.000869067	0.000869067	
21		0	0	18	17	0.000877434	0.000604	0.000388	0.000441	0.000538	0.00088	0.000877434	0.000877434	
22		0	0	19	18	0.000886033	0.000608	0.000389	0.0004431	0.000541	0.00089	0.000886033	0.000886033	
23		0	0	20	19	0.000894873	0.0006122	0.000391	0.0004453	0.000544	0.00089	0.000894873	0.000894873	
24		0	0	21	20	0.000903964	0.0006164	0.000393	0.0004476	0.000548	0.0009	0.000903964	0.000903964	
25		0	0	22	21	0.000913316	0.0006208	0.000394	0.0004499	0.000551	0.00091	0.000913316	0.000913316	
26		0	0	23	22	0.000922943	0.0006252	0.000396	0.0004522	0.000554	0.00092	0.000922943	0.000922943	

ნახ. 42. Δt დროის სეგმენტის ანგარიში წევის რეჟიმის დროს სიჩქარის

სეგმენტის $\Delta V=1$ გბ/სთ ბიჯით

	BT	BU	BV	BW	BX	BY	BZ	CA
97			კუნძული %0 0	-4.3	-12	-9.4	-6	0
98			აუტომატიკა 1060	2500	1900	3000	1900	900
99	V0 (გ/სთ)	V (გ/სთ)	ΔS					
100	90	89	0.000457171	0.0004954	0.001338	0.000944	0.000681	0.00046
101	89	88	0.000455986	0.0004938	0.001328	0.0009389	0.000679	0.00046
102	88	87	0.000454785	0.0004921	0.001318	0.0009339	0.000676	0.00045
103	87	86	0.000453567	0.0004903	0.001308	0.0009287	0.000674	0.00045
104	86	85	0.000452332	0.0004886	0.001297	0.0009236	0.000671	0.00045
105	85	84	0.000451079	0.0004868	0.001287	0.0009184	0.000668	0.00045
106	84	83	0.000449808	0.0004851	0.001277	0.0009131	0.000665	0.00045
107	83	82	0.000448519	0.0004832	0.001267	0.0009078	0.000662	0.00045
108	82	81	0.00044721	0.0004814	0.001256	0.0009025	0.00066	0.00045
109	81	80	0.000445883	0.0004796	0.001246	0.0008971	0.000657	0.00045
110	80	79	0.000444536	0.0004777	0.001235	0.0008916	0.000654	0.00044
111	79	78	0.000443169	0.0004758	0.001225	0.0008862	0.000651	0.00044
112	78	77	0.000441781	0.0004738	0.001214	0.0008806	0.000648	0.00044
113	77	76	0.000440372	0.0004719	0.001204	0.000875	0.000645	0.00044
114	76	75	0.000438942	0.0004699	0.001193	0.0008694	0.000642	0.00044
115	75	74	0.00043749	0.0004679	0.001182	0.0008637	0.000639	0.00044
116	74	73	0.000436015	0.0004659	0.001172	0.000858	0.000636	0.00044
117	73	72	0.000434517	0.0004638	0.001161	0.0008522	0.000632	0.00043
118	72	71	0.000432996	0.0004617	0.00115	0.0008464	0.000629	0.00043
119	71	70	0.00043145	0.0004596	0.001139	0.0008405	0.000626	0.00043
120	70	69	0.00042988	0.0004574	0.001128	0.0008346	0.000623	0.00043
121	69	68	0.000428285	0.0004553	0.001117	0.0008286	0.000619	0.00043
122	68	67	0.000426663	0.000453	0.001106	0.0008225	0.000616	0.00043
123	67	66	0.000425015	0.0004508	0.001095	0.0008164	0.000612	0.00043
124	66	65	0.00042334	0.0004485	0.001084	0.0008103	0.000609	0.00042
125	65	64	0.000421637	0.0004462	0.001073	0.000804	0.000605	0.00042
126	64	63	0.000419905	0.0004439	0.001062	0.0007978	0.000602	0.00042
127	63	62	0.000418144	0.0004415	0.001051	0.0007914	0.000598	0.00042
128	62	61	0.000416352	0.0004391	0.00104	0.000785	0.000595	0.00042
129	61	60	0.00041453	0.0004367	0.001028	0.0007786	0.000591	0.00041
130	60	59	0.000412677	0.0004342	0.001017	0.0007721	0.000587	0.00041
131	59	58	0.00041079	0.0004317	0.001006	0.0007655	0.000583	0.00041

ნახ. 43. Δt დროის სეგმენტის ანგარიში სამოსამსახურეო დამუხრუ-ჭების დროს სიჩქარის სეგმენტის $\Delta V=1$ კგ/სთ პიჯით

The screenshot shows a Microsoft Excel spreadsheet with a table. The table has columns labeled BT, BU, BV, BW, BX, BY, BZ, and CA. The rows are numbered from 303 to 336. Some rows are highlighted with different colors: row 303 is yellow, rows 304 and 305 are blue, and rows 306 through 336 are red. There are also several rows with yellow and blue diagonal patterns. In the first few rows, there are handwritten-like annotations in yellow and blue ink. Row 303 has '0' and '100%' written on it. Row 304 has '1000' and '2500'. Row 305 has 'V0 (g/s)' and 'V (g/s)' written on the left side. Row 306 has 'ΔS' written at the bottom right. The data in the table consists of numerical values in scientific notation.

	BT	BU	BV	BW	BX	BY	BZ	CA
303			0 100%	-4.3	-12	-9.4	-6	0
304			1000 2500		1900	3000	1900	900
305			V0 (g/s) V (g/s)	ΔS				
306	90	89	5.20776E-05	5.3301E-05	0.000247	5.483E-05	5.38E-05	5.21E-05
307	89	88	5.2163E-05	5.3388E-05	0.000247	5.492E-05	5.39E-05	5.22E-05
308	88	87	5.22501E-05	5.3478E-05	0.000247	5.501E-05	5.4E-05	5.23E-05
309	87	86	5.23391E-05	5.3569E-05	0.000247	5.511E-05	5.41E-05	5.23E-05
310	86	85	5.24299E-05	5.3663E-05	0.000247	5.52E-05	5.42E-05	5.24E-05
311	85	84	5.25227E-05	5.3758E-05	0.000247	5.53E-05	5.43E-05	5.25E-05
312	84	83	5.26175E-05	5.3856E-05	0.000247	5.54E-05	5.44E-05	5.26E-05
313	83	82	5.27144E-05	5.3955E-05	0.000247	5.551E-05	5.45E-05	5.27E-05
314	82	81	5.28134E-05	5.4057E-05	0.000247	5.561E-05	5.46E-05	5.28E-05
315	81	80	5.29147E-05	5.4161E-05	0.000247	5.572E-05	5.47E-05	5.29E-05
316	80	79	5.30182E-05	5.4268E-05	0.000248	5.583E-05	5.48E-05	5.3E-05
317	79	78	5.31241E-05	5.4377E-05	0.000248	5.594E-05	5.49E-05	5.31E-05
318	78	77	5.32325E-05	5.4488E-05	0.000248	5.606E-05	5.5E-05	5.32E-05
319	77	76	5.33434E-05	5.4602E-05	0.000248	5.617E-05	5.51E-05	5.33E-05
320	76	75	5.34569E-05	5.4719E-05	0.000248	5.63E-05	5.52E-05	5.35E-05
321	75	74	5.35732E-05	5.4838E-05	0.000248	5.642E-05	5.54E-05	5.36E-05
322	74	73	5.36922E-05	5.4961E-05	0.000248	5.655E-05	5.55E-05	5.37E-05
323	73	72	5.38142E-05	5.5087E-05	0.000248	5.668E-05	5.56E-05	5.38E-05
324	72	71	5.39393E-05	5.5215E-05	0.000249	5.681E-05	5.57E-05	5.39E-05
325	71	70	5.40675E-05	5.5347E-05	0.000249	5.695E-05	5.59E-05	5.41E-05
326	70	69	5.4199E-05	5.5482E-05	0.000249	5.709E-05	5.6E-05	5.42E-05
327	69	68	5.43338E-05	5.5621E-05	0.000249	5.723E-05	5.61E-05	5.43E-05
328	68	67	5.44722E-05	5.5764E-05	0.000249	5.738E-05	5.63E-05	5.45E-05
329	67	66	5.46143E-05	5.591E-05	0.000249	5.753E-05	5.64E-05	5.46E-05
330	66	65	5.47602E-05	5.606E-05	0.000249	5.768E-05	5.66E-05	5.48E-05
331	65	64	5.49101E-05	5.6214E-05	0.00025	5.784E-05	5.67E-05	5.49E-05
332	64	63	5.50641E-05	5.6373E-05	0.00025	5.801E-05	5.69E-05	5.51E-05
333	63	62	5.52225E-05	5.6536E-05	0.00025	5.818E-05	5.71E-05	5.52E-05
334	62	61	5.53853E-05	5.6704E-05	0.00025	5.835E-05	5.72E-05	5.54E-05
335	61	60	5.55528E-05	5.6876E-05	0.00025	5.853E-05	5.74E-05	5.56E-05
336	60	59	5.57253E-05	5.7054E-05	0.00025	5.871E-05	5.76E-05	5.57E-05

ნახ. 44. Δt დროის სეგმენტის ანგარიში ექსტრემალური დამუხრუჭების დროს სეჩქარის სეგმენტის $\Delta V=1$ კმ/სთ ბიჯით

	BT	BU	BV	BW	BX	BY	BZ	CA
430								
			კმ/ათ/%	0	-4.3	-12	-9.4	-6
431								
			კვარტლი	1060	2500	1900	3000	1900
432								
			კვ/კვ/თვ					
433	90	89	0.005600499	0.00296344	0.0007927	0.0009894	0.0123688	0.0056
434	89	88	0.005613353	0.00295985	0.0007553	0.0009897	0.0123673	0.005613
435	88	87	0.005626249	0.00295628	0.0007555	0.00099	0.0123658	0.005626
436	87	86	0.005639188	0.00295272	0.0007557	0.0009903	0.0123643	0.005639
437	86	85	0.005652169	0.00294917	0.0007559	0.0009906	0.0123628	0.005652
438	85	84	0.005665192	0.00294564	0.0007561	0.0009909	0.0123613	0.005665
439	84	83	0.005678258	0.00294212	0.0007563	0.0009912	0.0123598	0.005678
440	83	82	0.005691367	0.00293861	0.0007565	0.0009915	0.0123582	0.005691
441	82	81	0.005704519	0.00293512	0.0007567	0.0009919	0.0123567	0.005705
442	81	80	0.005717714	0.00293164	0.0007568	0.0009922	0.0123552	0.005718
443	80	79	0.005730953	0.00292817	0.000757	0.0009925	0.0123537	0.005731
444	79	78	0.005744236	0.00292471	0.0007572	0.0009928	0.0123522	0.005744
445	78	77	0.005757562	0.00292127	0.0007574	0.0009931	0.0123507	0.005758
446	77	76	0.005770933	0.00291784	0.0007576	0.0009934	0.0123492	0.005771
447	76	75	0.005784348	0.00291442	0.0007578	0.0009937	0.0123477	0.005784
448	75	74	0.005797808	0.00291102	0.000758	0.000994	0.0123462	0.005798
449	74	73	0.005811313	0.00290762	0.0007582	0.0009943	0.0123447	0.005811
450	73	72	0.005824863	0.00290424	0.0007584	0.0009946	0.0123432	0.005825
451	72	71	0.005838459	0.00290088	0.0007585	0.0009949	0.0123417	0.005838
452	71	70	0.005852099	0.00289752	0.0007587	0.0009952	0.0123402	0.005852
453	70	69	0.005865786	0.00289418	0.0007589	0.0009955	0.0123387	0.005866
454	69	68	0.005879519	0.00289085	0.0007591	0.0009958	0.0123372	0.00588
455	68	67	0.005893298	0.00288753	0.0007593	0.0009961	0.0123357	0.005893
456	67	66	0.005907123	0.00288422	0.0007595	0.0009964	0.0123342	0.005907
457	66	65	0.005920995	0.00288092	0.0007597	0.0009968	0.0123327	0.005921
458	65	64	0.005934914	0.00287764	0.0007599	0.0009971	0.0123312	0.005935
459	64	63	0.005948881	0.00287437	0.00076	0.0009974	0.0123297	0.005949

ნახ. 45. Δt დროის სეგმენტის ანგარიში თავისუფალი გორვის დროს
სეჩქარის სეგმენტის $\Delta V=1\text{მ}/\text{სთ}$ ბიჯით

$v(s)$ სიჩქარის მრუდი აიგება ე.წ. იტერაციის მეთოდის გამოყენებით,
ტერმინი იტერაცია პროგრამირებაში მონაცემთა დამუშავების ისეთი

ფორმით ორგანიზებაა, რომლის დროსაც მრავალჯერადად მეორდება პროცესი ისე, რომ ამ დროს საკუთარი თავის გამოძახება არ ხორციელდება, როცა რაღაც მოქმედება აუცილებელია გამეორდეს, პროგრამაში გამოიყენება ციკლი მაგ. თუ საჭიროა 200-ჯერ გამეორდეს ეპრანზე “welcome” ერთი და იგივე კომენტარის 200-ჯერ გამეორების მაგივრად იქმნება ციკლი, რომელიც მეორდება 200-ჯერ და სრულდება ის მოქმედება, რაც ციკლის სხეულშია ჩაწერილი, ციკლის ერთი ბიჯი იწოდება იტერაციად.

ჩვენს შემთხვევაში მოძრაობის მრუდების ანგარიშები იტერაციის გამოყენებით ხორციელდება შემდეგნაირად: წინასწარ ჩატარებული ანგარიშის შედეგად გვაქვს წევის, გორგის, სამოსამსახურეო და ექსტრუმალური დამუხრუჭების, ΔS და Δt დაანგარიშებული სახით V_0 და V სიჩქარის სხვადასხვა მნიშვნელობისათვის, ის განთავსებულია პროგრამა Excel 2007 სვეტებად, რომლებიც ორგანიზებულია შესაბამისი i ქანობის (%) და მისი S გავრცელების (მ). ცხრილის სახით მიღებული შედეგების სწორი არჩევით შესაბამისი რეჟიმებისთვის აიგება $v(s)$ მრუდი და აღნიშნული დამოკიდებულებების აგების დასასრულს განისაზღვრება მოძრაობის დროის მნიშვნელობა (წთ)–ში.

$v(s)$ დამოკიდებულების აგების და $v(t)$ ანგარიშის პროცედურის განსახორციელებლად აუცილებელია გამოვიყენოთ ჯერ დილაკი ”გასუფთავება”, შემდგომ დილაკი ”პროცესის დაწყება” S გავლილი მანძილის და მოძრაობის t დროის მნიშვნელობების სხვადასხვა შესაბამისი გზის პროფილისათვის განსაზღვრული სახით ინახება ცხრილის ბიბლიოთეკაში Sheet1 ”გავლილი მანძილი” და Sheet2 ”მოძრაობის დრო”. მატარებლის მოძრაობის რეჟიმების მართვა ხორციელდება ეკრანზე განთავსებულ ვირტუალურ დილაკზე ოპერატორის მიერ შესაბამისი რეჟიმის (Click) არჩევით. აღნიშნული დილაკები დაკავშირებულია მათზე მითითებული მატარებლის მოძრაობის რეჰიმის შესაბამის ცხრილებთან, საიდანაც შესაბამისი i ქანობის დროს $[v_0 \ v]$ მოძრაობის სიჩქარისათვის აიღება ΔS მანძილის Δt დროის მნიშვნელობები.

ნახ. 46-ზე ნაჩვენებია $v(s)$ დამოკიდებულების აგება. მატარებლის მოძრაობის რეჟიმების მართვა ხდება მოძრაობის რეჟიმების შესაბამისი

ვირტუალური ლილაკების გამოყენებით. ვირტუალურ ლილაკზე “პროცესის დაწყება” “Click”-ით ეპრანზე გრაფიკულად მოიცემა გზის მუშა პროფილი (მრუდი 1), რომელზეც წარმოებს მატარებლის შემდგომი მოძრაობა მოცემული მიმართულებით. აღნიშნულის ვიზუალიზაცია ეხმარება ოპერატორს გზის პროფილის ელემენტის გათვალისწინებით მარტივი “Click”-ის მეშვეობით აირჩიოს მოძრაობის შესაბამისი (წევა, თავისუფალი გორვა, სამოსამსახურეო ან ექსტრემალური დამუხრუჭება) რეჟიმი. $v(s)$ დამოკიდებულება (მრუდი 2) აიგება ვირტუალურ ლილაკზე ისე რეაგირებს, რომ არ მოუწიოს ყოველი $h=1$ კმ/სთ ბიჯით მიღებული ΔS და Δt მნიშვნელობებით გრაფიკული ასახვისათვის “Click”-ის გაკეთება გონივრულია მოხდეს რამდენიმე მნიშვნელობის ΔS და Δt შეკრება და მისი ერთ “Click”-ში მოქცევა. აღნიშნული ისე უნდა განხორციელდეს, რომ “Click”-ის ბიჯი იყოს ოპტიმალური და ოპერატორს აძლევდეს იმის საშუალებას აკონტროლოს მოძრაობის მრუდის აგების პროცესი. ჩვენს შემთხვევაში გამოიყენება “Click”-ის $h=5$ კმ/სთ-ის ბიჯი, რაც ნიშნავს იმას, რომ რომელიმე მოძრაობის რეჟიმის შესაბამის ვირტუალურ ლილაკზე ერთი “Click”-ით ხორციელდება ΔS და Δt ერთდროულად $[v_0v]$ -ს ხუთი სიჩქარის მნიშვნელობისათვის ნაანგარიშები ΔS და Δt ჯამის ერთ “Click”-ში გაერთიანება და ასეთი სახით მიღებული შედეგების გამოყენება.

ნახ. 46-ზე ნაჩვენები ვირტუალირი ლილაკის “Stop 1” და “Stop 2” არჩევით ხორციელდება სადგურის ლიანდაგებში შემადგენლობის გაჩერების პროცესის მართვა (იხ. მრუდი 3). აღნიშნული დამუხრუჭების მრუდი აიგება სამოსამსახურეო დამუხრუჭების მონაცემების მეშვეობით. მრუდის ზედა შეზღუდვა ვრცელდება მატარებლის კონსტრუქციული $v_{\text{კონ}}$ სიჩქარით. მრუდი 3-ის და მრუდი 2-ის გადაკვეთა როგორც გრაფიკული მეთოდის დროს ხდება ასრულებს $v(s)$ დამოკიდებულების ფორმირებას. “Stop1” ლილაკის გამოყენებით მატარებელი გაჩერება წარმოებს მთავარ ლიანდაგზე. მაშინ როცა მატარებელზე ვრცელდება სიჩქარეთა შეზღუდვა ისარზე მოძრაობისას ვსარგებლობთ “Stop 2” ლილაკით. v_0 და v -ის “Textbox”-ში შეგვეავს ისართან მიახლოების და მასზე უსაფრთ-

ხოდ მოძრაობის სიჩქარის მნიშვნელობები, საისრე მანძილის L_{მსარი} და L_{აგ.} მატარებლის სიგრძე (მ). აღნიშნული მოქმედება იძლევა იმის საშუალებას, რომ მოვახდინოთ მატარებლის გაჩერება პრაქტიკაში მიღებული ნებისმიერი სცენარით. რაც პროგრამის უნივერსალურობაზე და მის დადებით მხარეზე მიუთითებს.

მატარებლის მოძრაობის დიფერენციალური განტოლების ინტეგრირება წმინდა გრაფიკული ან გრაფო-ანალიზური სახით v(s), v(t) ან t(s) დამოკიდებულებების განსაზღვრას ემყარება. საზოგადოდ მიღებული გრაფიკული დამოკიდებულებების გაანალიზებით ხდება საჭირო ინფორმაციის მიღება, რაც მეტად საპასუხისმგებლო და ამასთან დამდლელი პროცესია. ერთია v(s) დამოკიდებულებების გრაფიკული აგება, რაც ქმნის მატარებლის მოძრაობის ვიზუალურ სურათს სხვადასხვა რეჟიმში მისი მოძრაობისას და მეორეა, როცა გეომეტრიული მანიპულაციებით აიგება v(t) ან t(s) დამოკიდებულებები იმ მიზნით, რომ შემდეგ გრაფიკულად აგებული მრუდების გაანალიზებით მივიღოთ ინფორმაცია მოძრაობის დროის შესახებ. როცა ციფრული სახით პირდაპირ შესაძლებელია საჭირო ინფორმაციის მიღება, არაა აუცილებელი v(t) ან t(s) დამოკიდებულებების აგება და ამით ნახაზის გადატვირთვა. მოძრაობის დროის შესახებ სრული ინფორმაცია პროგრამაში მოიცემა ცხრილის სახით და v სიჩქარის ბიჯის სიმცირის გამო მიზანშეწონილია განისაზღვროს (წმ.)-ში, ხოლო მოძრაობის v(s) მრუდის საბოლოო ფორმირების შემდეგ, მატარებლის მოძრაობის მთლიანი დრო განისაზღვროს (წთ.), რომელიც ნაჩვენებია ნახ. 48-ზე, “H” სვეტის ბოლოში.

საზოგადოდ პროგრამა შექმნილია ერთი ფანჯრის პრინციპით, Microsoft Office Excel 2007-ის ცხრილის სხვადასხვა “Sheet”-ები ინფორმაციის გაცვლის თვალაზრისით ურთიერთდაკავშირებულია. ცხრილის “Sheet 1” სახელწოდებით “გავლილი მანძილი”-ის Textbox-ებში მოცემულობაში მონაცემების შეყვანით “Sheet 2”-ში ანგარიშისათვის საჭირო ცვლადების ინპორტი “Sheet1”-დან ხორციელდება და არაა აუცილებელი “მოძრაობის დრო”-ს გაანგარიშებისათვის ცხრილის ამ ნაწილში დამატებით შევიყვანოთ რაიმე მონაცემი.

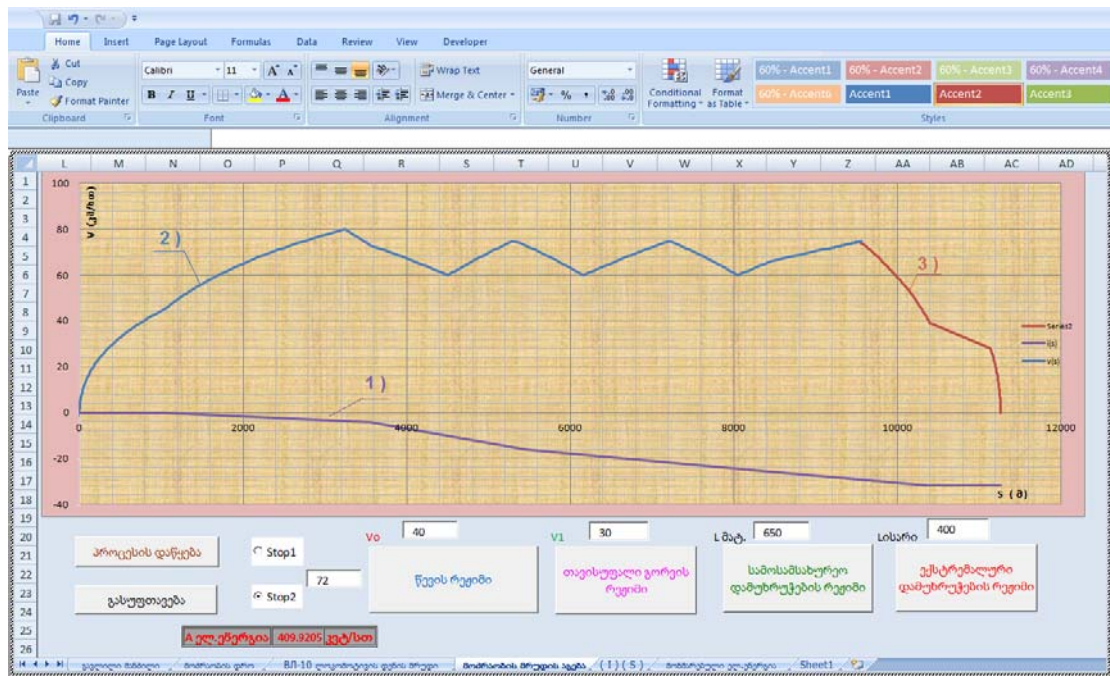
“Sheet4”-ში “მოძრაობის მრუდის აგება” ხორციელდება “Sheet 1” და “Sheet 2”-ის საშუალებით, სხვადასხვა მოძრაობის რეჟიმისათვის შექმნილი ცხრილიდან საჭირო ΔS და Δt მნიშვნელობების გამოყენებით.

“Sheet5”-ში “(I)(S)” I ლოკომოტივის დენის S გავლილ მანძილზე დამოკიდებულების აგება ხორციელდება “Sheet 4”-დან (იხ. ნახ. 47 და ნახ. 48 “D” და ”E” სვეტები) v (s) დამოკიდებულებისა და “Sheet 3” “BL-10 ლოკომოტივის დენის მრუდი”-ს “BL-10” ლოკომოტივის დენის მუშა მახასითებლის გამოყენებით (იხ. ნახ. 49.) I (S) მრუდის აგება დაწვრილებითაა განხილული ნაშრომის 2.2.1. პარაგრაფში, პროგრამაში აღნიშნული მრუდის ილუსტრაცია ნაჩვენებია ნახ. 50-ზე ანალიზური სახით. მიღებული შედეგი ილუსტრირებულია ნახ. 47-ზე ცხრილის “A” და ”B” სვეტებში. პროგრამაში გრაფიკული ნაწილის ცალკე Sheet-ებში განთავსება და მათი შედეგის ერთ კონკრეტულ ცხრილში თავმოყრა, როგორც ეს ნაჩვენებია ნახ. 47-ზე (იხ. “A : K” სვეტები) მეტად მოსახერებელია წევის გაანგარიშების ჩატარების შემდეგ მონაცემების ანალიზისათვის.

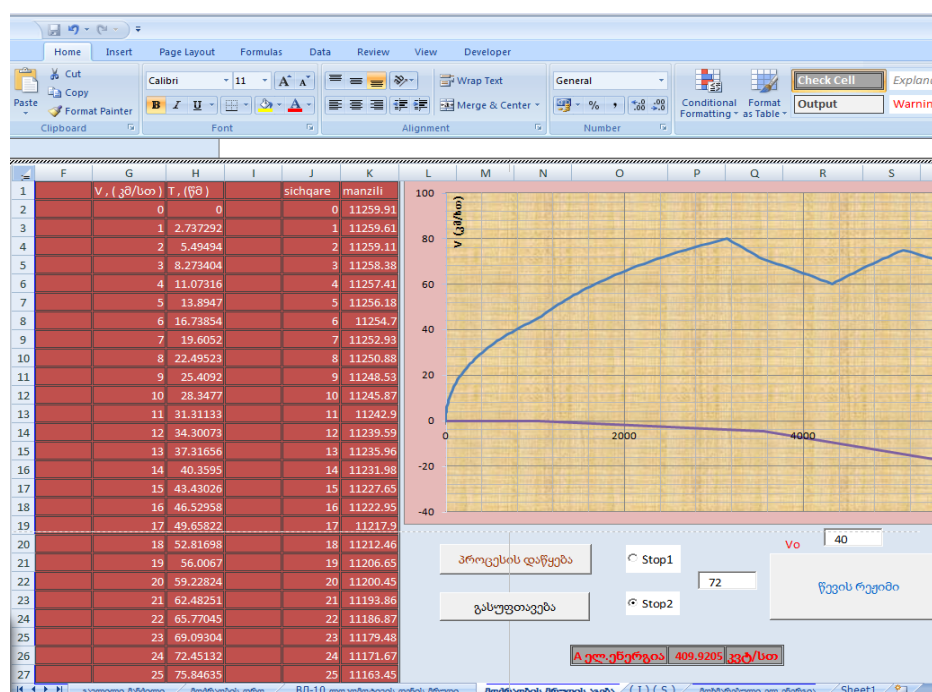
ელექტრომოძრავი შემადგენლობის მოხმარებული ელ. ენერგიის განსაზღვრა პროგრამაში აგტომატურად ხორციელდება მოძრაობის მრუდების აგების პარალელურად. ე.მ.შ. მოხმარებული ელ. ენერგიის განსაზღვრა დაწვრილებითა განხილული 2.3. პარაგრაფში და ილუსტრირებულია ნახ. 46-ზე.

ნახ. 51-ზე ნაჩვენებია ე.გ.მ.-ის ალგორითმი, რომელიც ახასიათებს წევის გაანგარიშების წარმოებისათვის საჭირო ოპერაციების შესრულების მიმდევრობას.

ასევე მოძრაობის მრუდების აგების პარალელურად მიმდინარეობს ლოკომოტივის ძრავის გახურებაზე შემოწმების პროცესი. აღნიშნული საკითხი დაწვრილებითაა განხილული დისერტაციის პირველი თავის 2.4. პარაგრაფში. ძრავის დასაშვებზე მეტად გახურების შემთხვევაში დისპლეიზე გამოდის შესაბამისი შეტყობინება “ძრავის გახურების ტემპერატურა ცილდება ნორმებს, შეცვალე მოძრაობის რეჟიმი”. აღნიშნული შეტყობინების საფუძველზე ოპერატორის მიერ ხორციელდება შემდგომი მოძრაობის რეჟიმების კორექტირება.



ნახ. 46. $v(s)$ მრუდის აგება და მატარებლის მოძრაობის რეჟიმების მართვა ვირტუალური ღილაკების გამოყენებით.

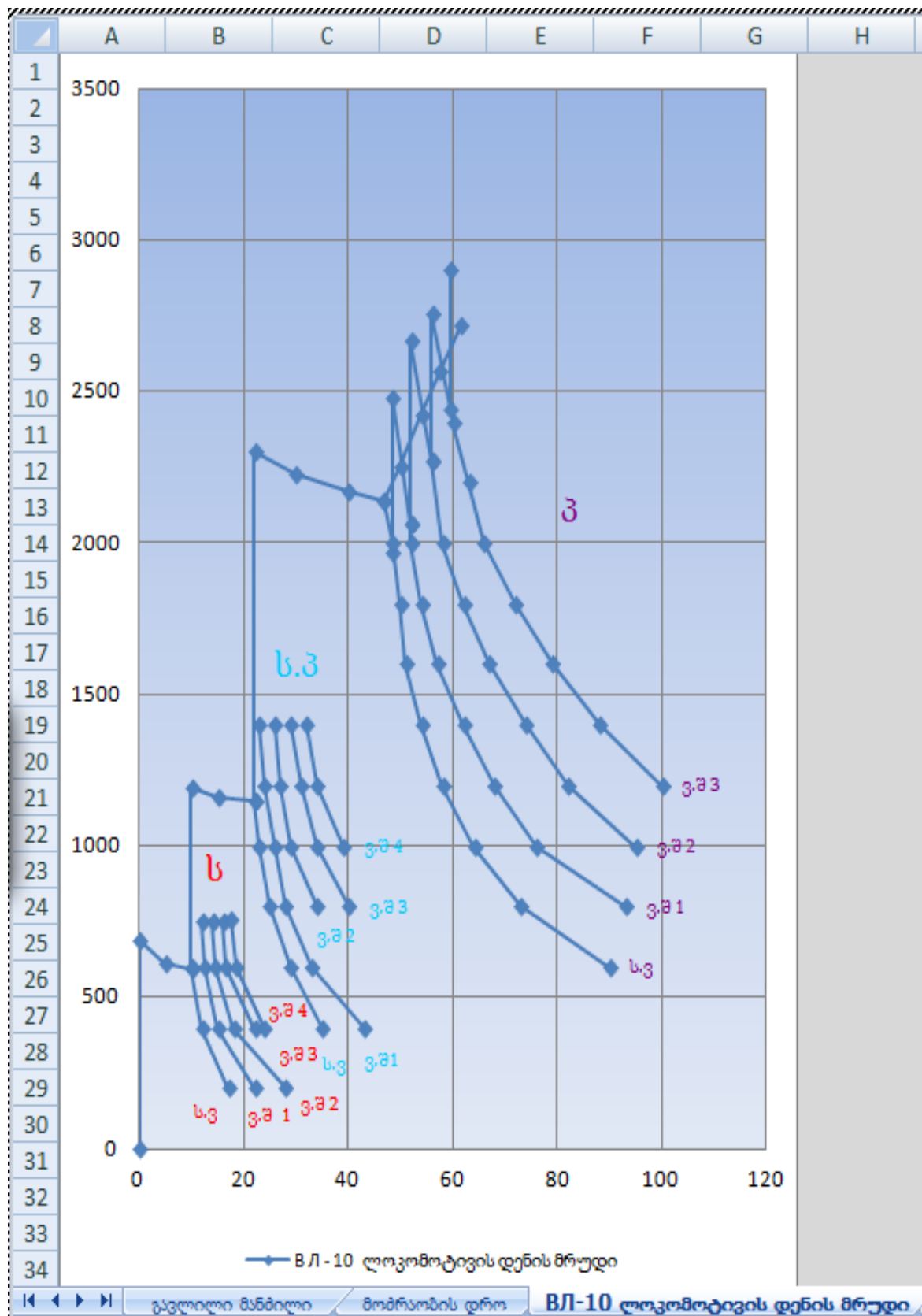


ნახ. 47. $v(s)$ მრუდის გამოყენებით მოძრაობის მახასიათებელი სი-დიდეების მიღება და შედეგების ანალიზი

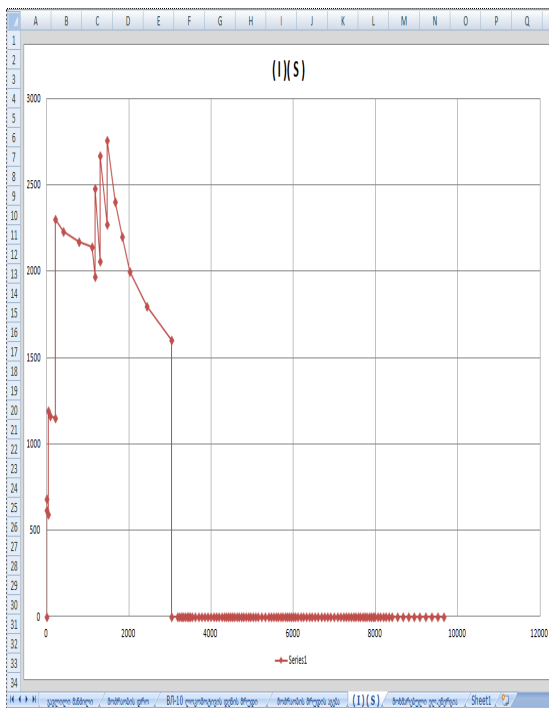
The screenshot shows a Microsoft Excel spreadsheet with the following data:

	F	G	H	I	J	K	L	M	N
149		73	484.0718		64	9871.942			
150			72	487.1398		65	9844.214		
151			71	490.1868		66	9815.95		
152			70	493.2127		67	9787.15		
153			69	496.2171		68	9757.812		
154			68	499.2		69	9727.936		
155			67	502.1611		70	9697.518		
156			66	505.1002		71	9666.559		
157			65	508.0172		72	9635.056		
158			64	510.9117					
159			63	513.7837					
160			62	516.6329					
161			61	519.4591					
162			60	522.2621					
163			61	526.0078					
164			62	529.7551					
165			63	533.5039					
166			64	537.2543					
167			65	541.0062					
168			66	544.7597					
169			67	548.5147					
170			68	561.8751					
171			69	575.2496					
172			70	588.6383					
173			71	602.0412					
174			72	615.4584					
175		Time (min)		12.65					

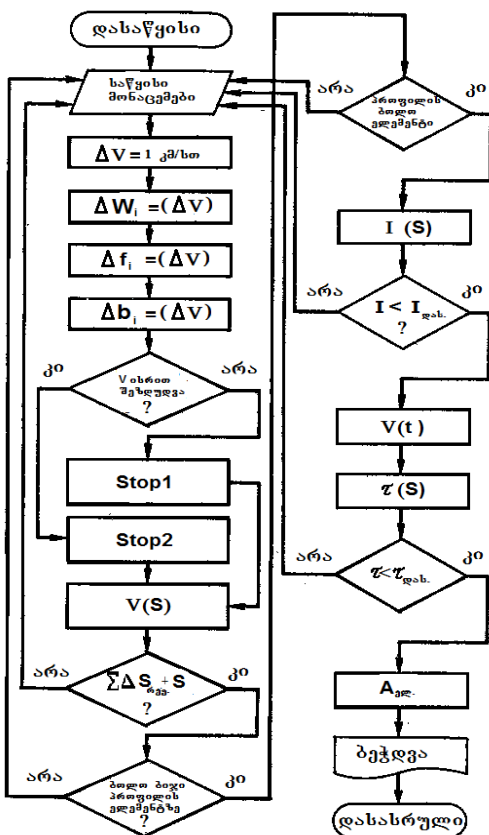
ნახ. 48. მატერიალის t მოძრაობის დროის განსაზღვრა (წთ)



ნახ. 49. ВЛ-10 ლოკომოტივის დენის მასასიათებელი



ნახ. 50. ВЛ-10 ლოკომოტივის I(S) მრუდი



ნახ. 51. ე.ბ.-ზე წევის გაანგარიშების წარმოების პროგრამული და ლოგიკური მოქმედებების ალგორითმის ბლოკსქემა

3.დასპენები

ნაშრომის შესრულების საფუძველზე ჩამოყალიბდა შემდეგი ძირითადი დასკვნები:

1. ნებისმიერი, მათ შორის წევის გაანგარიშებისათვის ანალიზური ან გრაფიკული მეთოდით, ან ე.გ.მ.-ის საშუალებით შეთავაზებულია გამოვიყენოთ ძირითადი დიფ. განტოლებები ჩაწერილი ფარდობით ერთეულებში.
2. ფარდობითი ერთეულების გამოყენება საშუალებას იძლევა უარი ვთქვათ სპეციალურ ცხრილებზე გადამყვანი კოეფიციენტებისათვის და ცვლადების მასშტაბებისათვის. გაანგარიშების შედეგები, ამასთან ერთად იქნება უნივერსალური ხასიათის მოცემული გზის პროფილისათვის.
3. ძირითადი განტოლების ანალიზურად გადაწყვეტისათვის შეთავაზებულია ამაჩქარებელი ძალის მახასიათებლის აპროქსიმაცია მოვახდინოთ ერთი წილად-წრფივი ფუნქციით, რომელიც სხვა ცნობილ ფუნქციებზე უკეთ ახორციელებს ამაჩქარებელი და შემანელებელი ძალიების აპროქსიმაციას.
4. სამუხრუჭო და გორგის რეჟიმის გაანგარიშებისათვის შეთავაზებულია ამ რეჟიმის ემპირიული ფორმულები ასევე შევცვალოთ იგივე სახის წილად-წრფივი ფუნქციით.
5. ე.გ.მ.-ის გამოყენებით მოსამზადებელი სამუშაოს ჩატარების დროს გზის პროფილის ელემენტებზე გამოთვლების ცდომილების შემცირების მიზნით მიზანშეწონილია უარი ვთქვათ პროფილის ელემენტების გაერთიანებაზე.
6. ამაჩქარებელი და შემანელებელი ძალების წილად-წრფივი ფუნქციით აპროქსიმაციის შედეგად მიღებული ანალიზური გამოსახულებები საშუალებას იძლევა მაღალი სიზუსტით განვსაზღვროთ ე.გ.მ. -ზე ΔS გზის და Δt მოძრაობის დროს სეგმენტური მნიშვნელობები სიჩქარის $\Delta V=1$ კმ/სთ ბიჯით.
7. მატარებლის მოძრაობის დროის შესახებ სრული ინფორმაცია ე.გ.მ.-ის პროგრამაში შეთავაზებულია მოიცეს ცხრილის სახით და $\Delta V=1$ კმ/სთ სიჩქარის ბიჯის სიმცირის გამო მიზანშეწონილია

განისაზღვროს (შპ.)-ში, ხოლო მოძრაობის $v(s)$ მრუდის საბოლოო ფორმირების შემდეგ, მატარებლის მოძრაობის მთლიანი დრო განისაზღვროს (შთ.)

8. ე.გ.მ.-ზე წევის გაანგარიშებისას შეთავაზებულია მატარებლის მოძრაობის საჭირო რეჟიმის არჩევა მოხდეს მართვის ვირტუალური დილაქების გამოყენებით, რითაც მიიღწევა გაანგარიშების პროცესების თვალსაჩინოდ წარმოება და ვიზუალიზაცია.

ՃԱՑՐԱԳԵՐԱՎՈՐԸ ՀՈՒՅԱՔՆԱ

1. Осипов С.И. Основы электрической и тепловозной тяги. Москва.: Транспорт, 1985. 7-174-204-209 с.
2. Френкель С.Я. - ТехниFFка тяговых расчетов. Гомель 2005. 4-55 с.
3. Осипов С. И., Осипов С. С. Основы тяги поездов. – М.: УМК МПС России, 2000. – 249-252-292-297-319 с.
4. Теория электрической тяги/В. В. Розенфельд и др. Под ред. И. П. Исаева. – М.: Транспорт, 1995. – 9 с.
5. Ломоносов Ю.В. Тяговые расчеты – Одесса. Южно-Российское общество печатного дела, 2-е изд. 1915 - 295 с.
6. Кузьмич В.Д., Руднев В.С., Френкель С.Я. Название: Теория локомотивной тяги. Издательство: Маршрут: 2005, 299-315.
7. Розенфельд В.Е., Чеботарев Е.В. Сидоров. Н.Н. Основы электрической тяги. М.: Транспорт, 1983, 328 с.
8. Супруненко П.М. Общая теория тяги поездов. - М .Л.: ОГИЗ, ГосТрансиздат, 1932 - 426 с.
9. Чалыгин С.А. Новый метод приближенного интегрирования дифференциальных уравнений. М.-Л.: Государственное издательство технико-теоретической литературы, 1950, 52 с.
10. Лебедев А. Б, Основы электрической тяги, ОНТИ, 1937. 48-502 с.
11. Правила тяговых расчетов для поездной работы. – М.: Транспорт, 1985. 287 с.
12. Крылов А.Н. Лекции о приближенных вычислениях. М., Государственное издательство технико-теоретической литературы, 1957, 401 с.
13. Демидович Б.П., Марон И.А., Шувалова Э.З. Численные методы анализа. М., Наука, 1967, 368 с.
14. Астахов П.Н. Сопротивление движению железнодорожного подвижного состава. Труды ЦНИИ МПС, выпуск 311. М.: транспорт, 1966.- 73 с.
15. Деев В.В., Ильин Г.А., Афонин Г.С. Тяга поездов. Учебное пособие для вузов М.: Транспорт, 1978.- 264 с.
16. Тяговые расчеты на участке заданного профиля, Ростовский государственный университет путей сообщения. Ростов-на-Дону, 2008 г., 14с.
17. Теоретические основы разработки рациональных режимов вождения поездов и расчета масс составов. М.П.С. Р.Ф. Дальневосточный государственный университет путей сообщения, Хабаровск, 37 с.
18. Тормозное оборудование железнодорожного подвижного состава: Справочник/В. И. Крылов, В. В. Крылов, В. Н. Ефремов, П. Т. Демушкин. – М.: Транспорт, 1989. – 487 с.
19. Бабичков А.М., Гурский П.А., Новиков А.П. Тяга поездов и тяговые расчеты. Транспорт, 1971 – 179-187 с.

20. Бабичков А.М., Егорченко В.Ф. Тяга поездов, теория расчеты испытаний Трансжелдор. издат, 1947-407 с.
21. Бабичков А.М. Егорченко В.Ф. Тяга поездов и применение специализированных вычислительных машин для тяговых расчетовых машин, 4-ое издание. перераб. и доп. Трансжелдор. издат, 1962, -263 с.
22. Бабичков А.М., Егорченко В.Ф. Тяга поездов ГТЖИ, Москва, 1962, 412 с.
23. Хаяси Т. Нелинейные колебания в физических системах. Мир, 1968, 20 с.
24. Андропов А. А., Винт А. А., Хайкин С. Э. Теория колебаний, м., ФМЛ, 1959, 395 с.
25. Бутенин Н.В., Неймарк Ю.И., Фуфаев Н.А. Введение в теорию нелинейных колебаний. Изд. 2, перераб. 1987. Твердый переплет. 59 с.
26. Каннингхем В. Введение в теорию нелинейных систем. М., Гоэнергоиздат, 1962, 62с.
27. Розенфельд В.Е., Исаев И.П., Сидоров Н.Н. Электрическая тяга транс., Ж., Н., 1983,331с.
28. Гребенюк П.Т., Долганов А.Н., Скворцова А.И. Тяговые расчеты: Справочник/Под ред. П. Т. Гребенюка. – М.: Транспорт, 1987. – 272 с.
29. Карапидис С., Трапаидзе Л., Канкадзе П., Маглакелидзе Т., Азикури А. Некоторые соображения по усовершенствованию тяговых расчетов. ეურბალი ტრანსპორტი, 2007, №1(25), თბილისი გვ. 3-10.
30. Ломоносов Ю.В. Тяговые расчеты М.: 1992, 356 с.
31. Макаров Е.Г. Инженерные расчеты в Mathcad. Учебный курс, издатель. дом Питер 2005, 193 с.
32. Васильков Ю.В., Василькова Н.Н. — Компьютерные технологии вычислений в математическом моделировании, Москва: "Финансы и статистика", 2002, 40 с.
33. ს. კარიპიძი, თ. მაღლაკელიძე, პ. ბარბაკაძე, დ. მაღლაკელიძე. „მოტორ-გენერატორულ სისტემაში მიმღევრობითი და შერეული აღგზების გენერატორის ავტონევების შესახებ, «ტრანსპორტი და მანქანათმუნებლობა», თბილისი, საქართველოს ტექნიკური უნივერსიტეტი - №2(10) 2008, 18-29გვ.
34. С. Карапидис, Т. Маглакелидзе, П. Барбакадзе, Д. Саникидзе, Ю.Схиртладзе. "Применение методов фазовой плоскости для исследования различных режимов работы тяговых машин последовательного возбуждения". «Транспорт и машиностроение» Научно-технический журнал. №4 (12) 2008. с 48-66.
35. С. Карапедис, Ш. Хурцилава, Дж. Саникидзе, Ю. Схиртладзе, П. Барбакадзе."Статический преобразователь для питания обмоток возбуждения Тяговых двигателей электрозвозов постоянного тока и цепей управления". Транспорт. Научно-технический журнал. «Транспорт». 2008 г. №3-4 (31-32). с 3-7.

36. С. Карипедис, Ш. Хурцилава, Дж. Саникидзе, Ю. Схиртладзе, П. Барбакадзе. “Статический преобразователь для Вспомогательных цепей и прочих нагрузок электропоездов постоянного тока”. Транспорт. Научно-технический журнал. «Транспорт». 2008 г. №3-4 (31-32). с 7-11.
37. С. Карипедис, Т.Маглакелидзе П.Барбакадзе. “Метод расчета величины эквивалентного активного сопротивления контура вихревых токов тяговых машин постоянного тока”. Научно-технический журнал. «Транспорт». 2010 г. №3-4 (39-40). с 13-18.